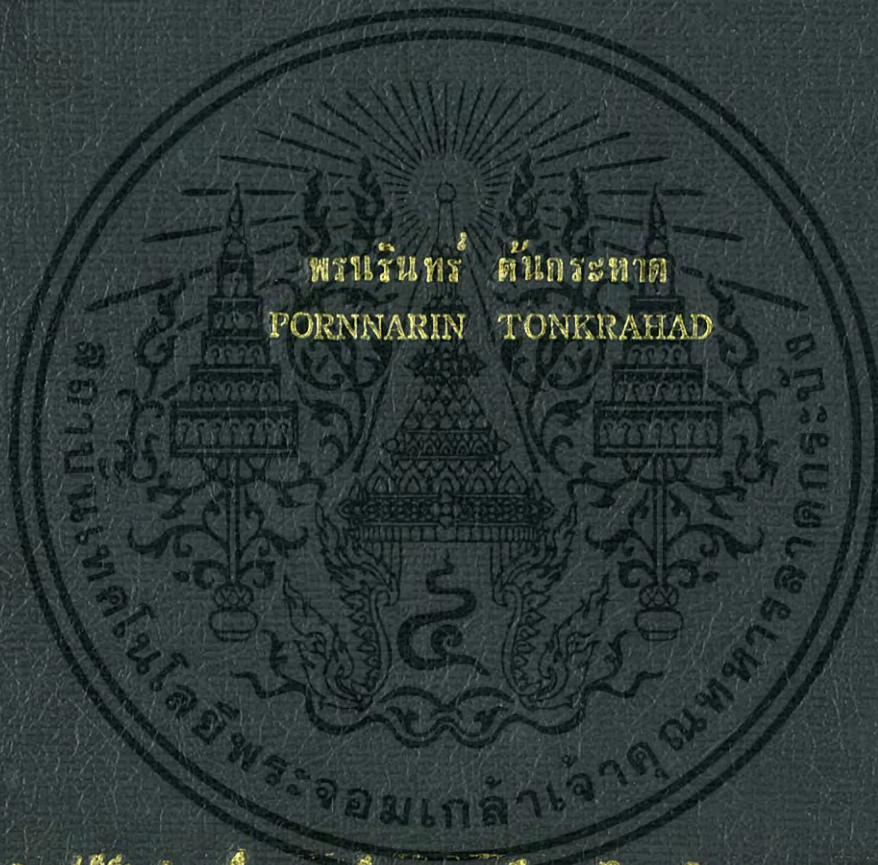


โครงข่ายเซนเซอร์ความชื้นในดินสำหรับควบคุมการให้น้ำพืช

SOIL MOISTURE SENSOR NETWORK FOR IRRIGATION CONTROL



วิทยานิพนธ์นี้เป็นส่วนหนึ่งของงานวิจัยทางเทคโนโลยีการเกษตรและวิศวกรรมคอมพิวเตอร์  
ของสถาบันเทคโนโลยีพระจอมเกล้าธนบุรี

สาขาวิชาวิศวกรรมเกษตร

คณะวิศวกรรมศาสตร์

สถาบันเทคโนโลยีพระจอมเกล้าธนบุรี

พ.ศ. 2556

KMITL-2013-EN-M-100-165

โครงข่ายเซนเซอร์ความชื้นในดินสำหรับควบคุมการให้น้ำพืช

SOIL MOISTURE SENSOR NETWORK FOR IRRIGATION CONTROL



วิทยานิพนธ์นี้เป็นส่วนหนึ่งของการศึกษาตามหลักสูตรปริญญาวิศวกรรมศาสตรมหาบัณฑิต

สาขาวิชาวิศวกรรมเกษตร

คณะวิศวกรรมศาสตร์

สถาบันเทคโนโลยีพระจอมเกล้าเจ้าคุณทหารลาดกระบัง

พ.ศ.2556

KMITL-2013-EN-M-100-165

เอกสารนี้เป็นเอกสารที่สงวนไว้สำหรับการใช้งานเพื่อการศึกษาเท่านั้น ไม่อนุญาตให้นำไปใช้ประโยชน์ด้านการค้า  
ไม่ว่ากรณีใดๆทั้งสิ้น อีกทั้งห้ามมิให้ตัดแปลงเนื้อหา และต้องอ้างอิงถึงเจ้าของเอกสารทุกครั้งที่มีการนำไปใช้

SOIL MOISTURE SENSOR NETWORK FOR IRRIGATION CONTROL



A THESIS SUBMITTED IN PARTIAL FULFILLMENT  
OF THE REQUIREMENT FOR THE DEGREE OF

MASTER OF ENGINEERING IN AGRICULTURAL ENGINEERING

FACULTY OF ENGINEERING

KING MONGKUT'S INSTITUTE OF TECHNOLOGY LADKRABANG

2013

KMITL-2013-EN-M-100-165

เอกสารนี้เป็นเอกสารที่สงวนไว้สำหรับการใช้งานเพื่อการศึกษาเท่านั้น ไม่อนุญาตให้นำไปใช้ประโยชน์ด้านการค้า  
ไม่ว่ากรณีใดๆทั้งสิ้น อีกทั้งห้ามมิให้ตัดแปลงเนื้อหา และต้องอ้างอิงถึงเจ้าของเอกสารทุกครั้งที่มีการนำไปใช้



COPYRIGHT 2013

FACULTY OF ENGINEERING

KING MONGKUT'S INSTITUTE OF TECHNOLOGY LADKRABANG

เอกสารนี้เป็นเอกสารที่สงวนไว้สำหรับการใช้งานเพื่อการศึกษาเท่านั้น ไม่อนุญาตให้นำไปใช้ประโยชน์ด้านการค้า  
ไม่ว่ากรณีใดๆทั้งสิ้น อีกทั้งห้ามมิให้ดัดแปลงเนื้อหา และต้องอ้างอิงถึงเจ้าของเอกสารทุกครั้งที่มีการนำไปใช้

คณะวิศวกรรมศาสตร์  
สถาบันเทคโนโลยีพระจอมเกล้าเจ้าคุณทหารลาดกระบัง  
ใบรับรองวิทยานิพนธ์

หัวข้อวิทยานิพนธ์ โครงข่ายเซนเซอร์ความชื้นในดินสำหรับควบคุมการให้น้ำพืช  
Thesis Title Soil Moisture Sensor Network for Irrigation Control  
นักศึกษา นายพรนรินทร์ ตันกระหาด  
รหัสประจำตัว 55612308  
ปริญญา วิศวกรรมศาสตรมหาบัณฑิต  
สาขาวิชา วิศวกรรมเกษตร  
อาจารย์ที่ปรึกษาวิทยานิพนธ์ ผศ.ดร.ทรงวุฒิ แสงจันทร์  
หมายเลขวิทยานิพนธ์ KMITL-2013-EN-M-100-165

คณะกรรมการสอบวิทยานิพนธ์		ลายมือชื่อ
ดร.ประสันต์	ชุ่มใจหาญ	
ดร.วสุ	อุดมแพทยกุล	
ผศ.ดร.ภัทรภรณ์	เมฆพฤษาวงค์	
รศ.ดร.วินัย	กล้าจริง	
ผศ.ดร.ทรงวุฒิ	แสงจันทร์	

วัน / เดือน / ปี ที่สอบ วันจันทร์ที่ 5 สิงหาคม พ.ศ. 2556 เวลา 10.00-12.00 น.  
สถานที่สอบ ณ อาคาร A ชั้น 5 ห้องประชุม 4

สถาบันเทคโนโลยีพระจอมเกล้าเจ้าคุณทหารลาดกระบัง  
KING MONGKUT'S INSTITUTE OF TECHNOLOGY LADKRABANG

คณะวิศวกรรมศาสตร์ รับรองแล้ว

(ศาสตราจารย์ ดร.สุชวีร์ สุวรรณสวัสดิ์)

คณบดี คณะวิศวกรรมศาสตร์

เอกสารนี้เป็นเอกสารที่สงวนไว้สำหรับการใช้งานเพื่อการศึกษาเท่านั้น  
ไม่ว่ากรณีใดๆทั้งสิ้น อีกทั้งห้ามมิให้ตัดแปลงเนื้อหา และต้องอ้างอิงถึงเจ้าของเอกสารทุกครั้งที่มีการนำไปใช้

วันที่ 5 สิงหาคม พ.ศ. 2556

หัวข้อวิทยานิพนธ์	โครงข่ายเซนเซอร์ความชื้นในดินสำหรับควบคุมการให้น้ำพืช
นักศึกษา	นายพรนรินทร์ ตันกระหาด
รหัสประจำตัว	55612308
ปริญญา	วิศวกรรมศาสตรมหาบัณฑิต
สาขาวิชา	วิศวกรรมเกษตร
พ.ศ.	2556
อาจารย์ที่ปรึกษาวิทยานิพนธ์	ผศ.ดร.ทรงวุฒิ แสงจันทร์

### บทคัดย่อ

การศึกษาวิจัยนี้มีวัตถุประสงค์เพื่อออกแบบโครงข่ายเซนเซอร์สำหรับตรวจจับความชื้นในดินเพื่อควบคุมการให้น้ำพืช โดยใช้ไมโครคอนโทรลเลอร์ในการประมวลผลความชื้นในดินและควบคุมการให้น้ำอัตโนมัติซึ่งสามารถปรับตั้งค่าความชื้นที่ต้องการได้ตามความต้องการ โดยระบบมีส่วนประกอบ 2 ส่วนคือ ส่วนควบคุมการทำงานหลัก และส่วนตรวจวัดความชื้น ซึ่งทำงานโดยระบบไร้สายระหว่างชุดเซนเซอร์ในแปลงกับชุดควบคุมหลัก ได้ทำการทดลองโดยใช้เซนเซอร์ตรวจจับความชื้นในดินเพื่อสร้างแบบจำลองความสัมพันธ์ระหว่างค่าความชื้นของดินกับค่าต่างศักย์ ซึ่งได้จากกระแสไฟฟ้าที่ส่งไปยังเซนเซอร์ โดยที่กระแสไฟฟ้าจะไหลกลับมาน้อยขึ้นขึ้นอยู่กับความชื้นของดิน ไมโครคอนโทรลเลอร์ทำหน้าที่รับค่าความต่างศักย์ ( $V_{OUT}$ ) จากกระแสไฟฟ้า DC ที่ส่งออกไปเพื่อเข้าสู่กระบวนการ ADC Conversion ซึ่งจะทำการแปลงค่าจาก analog เป็น digital และบันทึกค่าไว้ในไมโครคอนโทรลเลอร์ ทั้งนี้เพื่อนำข้อมูลไปใช้อ้างอิงสำหรับสร้างสมการแบบจำลองความสัมพันธ์ในการเขียนโปรแกรมควบคุม ซึ่งจะเป็นการสร้างระบบโครงข่ายที่สามารถทำงานประสานกันได้อย่างมีประสิทธิภาพ และสามารถประเมินขนาดพื้นที่ที่เหมาะสมสำหรับจำนวนเซนเซอร์ได้ และได้ทำการศึกษาดูตัวแปรอื่นๆ ที่อาจมีผลต่อการตรวจจับความชื้น เช่น อุณหภูมิ ชนิดของดิน pH ดิน ระยะห่างของเซนเซอร์ตรวจจับกับส่วนควบคุมหลัก

Thesis	Soil moisture sensor network for irrigation control
Student	Mr.Pornnarin Tonkrahad
Student ID.	55612308
Degree	Master of Engineering
Program	Agricultural Engineering
Year	2013
Thesis Advisor	Asst. Prof. Dr. Songvoot Saengchan

## ABSTRACT

This study aims to design a sensor network for monitoring soil moisture to control the Watering. Using microcontroller to process and control the moisture in the soil , which can automatically adjust the humidity as needed. The system consists of two main parts: the control unit. The humidity sensor. It works by wireless. Experiments were conducted using a soil moisture sensor to modeling the relationship between soil moisture and the potential difference. The electricity is sent to the sensor. The electricity will flow back much less depends on the moisture content of the soil. Microcontroller is to receive the voltage ( $V_{OUT}$ ) of the DC power output to enter ADC Conversion process, which will be converted from analog to digital and save it to the microcontroller. The data used to create the reference for the model in relation to programming. This will create a network that can work together effectively. And to assess the appropriate size for the number of sensors. And factors affecting on soil moisture such as temperature, soil type, distance from the sensor to the main controller were study

## กิตติกรรมประกาศ

วิทยานิพนธ์เล่มนี้สำเร็จได้ด้วยความกรุณาจากอาจารย์ที่ปรึกษา ผศ.ดร.ทรงวุฒิ แสงจันทร์ ที่ให้ความรู้ คำแนะนำ ความช่วยเหลือ ตลอดจนให้คำชี้แนะช่วยแก้ไขปัญหาและให้ประสบการณ์ที่ดีแก่ข้าพเจ้า อันเป็นประโยชน์ต่องานวิจัยเป็นอย่างยิ่ง ขอขอบพระคุณ รศ.ดร.ปานมนัส ศิริสมบุรณ์ ที่กรุณาเอื้อเฟื้อสถานที่รวมถึงเครื่องมืออุปกรณ์ต่างๆในการทดลองตลอดงานวิจัย

ขอขอบคุณคณะวิศวกรรมศาสตร์ สถาบันเทคโนโลยีพระจอมเกล้าเจ้าคุณทหารลาดกระบังที่ให้การสนับสนุนเงินทุนการศึกษาวิจัย และให้โอกาสจนสามารถทำการวิจัยนี้สำเร็จได้เป็นอย่างดี

ขอขอบคุณ นาย วี ตันกระหาด(บิดา) นาง ชิวเอ็ง ตันกระหาด(มารดา)และนาง พรรณพัชร์ สรคุณากร(ป้า) ที่สนับสนุนและเอื้อเฟื้อสถานที่ทดลองในครั้งนี้ งานวิจัยสำเร็จลุล่วงไปด้วยดี

พรนรินทร์ ตันกระหาด

เอกสารนี้เป็นเอกสารที่สงวนไว้สำหรับการใช้งานเพื่อการศึกษาเท่านั้น ไม่อนุญาตให้นำไปใช้ประโยชน์ด้านการค้า ไม่ว่ากรณีใดๆทั้งสิ้น อีกทั้งห้ามมิให้ตัดแปลงเนื้อหา และต้องอ้างอิงถึงเจ้าของเอกสารทุกครั้งที่มีการนำไปใช้

## สารบัญ

บทคัดย่อ(ภาษาไทย).....	i
บทคัดย่อ(ภาษาไทย).....	ii
กิตติกรรมประกาศ.....	iii
สารบัญ.....	iv
สารบัญภาพ.....	ix
สารบัญตาราง.....	xiii
บทที่ 1 บทนำ.....	1
1.1 ที่มาและความสำคัญ.....	1
1.2 วัตถุประสงค์.....	1
1.3 ขอบเขตของการศึกษา.....	2
1.4 ผลที่คาดว่าจะได้รับ.....	2
บทที่ 2 หลักการและทฤษฎี.....	3
2.1 ทฤษฎีน้ำในดิน (Theory of water in the soil) [6].....	3
2.1.1 น้ำอิสระ(Gravitational water).....	3
2.1.2 น้ำซึบ (Capillary water).....	3
2.1.3 น้ำเยื่อ (Hygroscopic water).....	3
2.2 สภาพของน้ำในดิน ( Condition of water in soil.) [6].....	4
2.2.1 สภาพดินที่อิ่มตัวด้วยน้ำ (Saturated soil).....	4
2.2.2 สภาพดินที่ไม่อิ่มตัวด้วยน้ำ (Unsaturated soil).....	5
2.2.3 สภาพความจุความชื้นภาคสนาม (Field capacity : FC).....	5
2.2.4 สภาพน้ำเยื่อ (Hygroscopic coefficient).....	5
2.2.5 สภาพจุดเหี่ยวถาวรของพืช (Permanent wilting point).....	5
2.3 การซึมลงดินของน้ำ (Infiltration rate of water into soil)[7].....	7
2.4 ทฤษฎีของดิน และ โครงสร้างของดิน ( Theory of soil and soil structure.)[8].....	13

เอกสารนี้เป็นเอกสารที่สงวนไว้สำหรับการใช้งานเพื่อการศึกษาเท่านั้น ไม่อนุญาตให้นำไปใช้ประโยชน์ด้านการค้า  
ไม่ว่ากรณีใดๆทั้งสิ้น อีกทั้งห้ามมิให้ตัดแปลงเนื้อหา และต้องอ้างอิงถึงเจ้าของเอกสารทุกครั้งที่มีการนำไปใช้

2.4.1 ดินทราย (Sandy Soil) .....	13
2.4.2 ดินร่วน (Loam) .....	13
2.4.3 ดินเหนียว (Clay) .....	14
2.4.4 ความชื้นในดิน (Soil Moisture) .....	15
2.4.5 ระบอบความชื้นในดิน (Soil Moisture Regime) .....	15
2.4.6 น้ำใต้ดิน (Ground Water) [7].....	17
2.5 ทฤษฎีกำหนดการให้น้ำพืช (Watering plants) [9] .....	17
2.5.1 แหล่งน้ำที่พืชใช้ได้ (Water Resource Use).....	18
2.5.2 ปริมาณน้ำฝนที่เป็นประโยชน์ต่อพืช (The rainfall useful plants.) .....	18
2.5.3 ข้อมูลที่ต้องทราบก่อนการให้น้ำพืช (Tips for Watering Plants).....	18
2.6 ทฤษฎีการให้น้ำแบบสปริงเกอร์(The water sprinkler.) [11].....	21
2.7 เครื่องวัดความชื้นในดิน ( Measurement of Soil Moisture ) [12] .....	21
2.7.1 เทนซิโอมิเตอร์ (Tensiometer).....	22
2.7.2 แท่งวัดความชื้น (Moisture block).....	24
2.7.3 เครื่องมือวัดการแผ่รังสีนิวตรอน (Neutron moisture gauge).....	24
2.7.4 Soil moisture Mete .....	24
2.8 pH Meter.....	25
2.9 ความสัมพันธ์ระหว่างความชื้นดินกับแรงดึงความชื้นดิน.....	26
2.9.1 กราฟความสัมพันธ์แรงดึงความชื้นดินกับความชื้นดิน.....	27
2.9.2 โปรแกรม swrc fit (swrc fit program)[15-20].....	27
2.10 การตรวจสอบความสม่ำเสมอในการให้น้ำ และการประเมินประสิทธิภาพการชลประทาน[14] .....	30
2.11 หลักการทั่วไปของไมโครคอนโทรลเลอร์ (Microcontroller) [21].....	30
2.12 ขบวนการ A/D Convertor [23] .....	31
2.13 ทฤษฎีอุปกรณ์ส่งสัญญาณ x-bee [24,25].....	32
2.13.1 คุณสมบัติของZigbee .....	32
2.13.2 ส่วนประกอบของ Zigbee.....	32

เอกสารนี้เป็นเอกสารที่สงวนไว้สำหรับการใช้งานเพื่อการศึกษาเท่านั้น ไม่อนุญาตให้นำไปใช้ประโยชน์ด้านการค้า  
ไม่ว่ากรณีใดๆทั้งสิ้น อีกทั้งห้ามมิให้ตัดแปลงเนื้อหา และต้องอ้างอิงถึงเจ้าของเอกสารทุกครั้งที่มีการนำไปใช้

บทที่ 3 การดำเนินงานวิจัย.....	34
3.1 ศึกษาอกระบบการทำงานของอุปกรณ์ต่างๆ.....	35
3.2 สร้างวงจรขับไฟฟ้าและ รับ OUTPUT สัญญาณความชื้นดิน .....	35
3.3 ออกแบบวงจรและซอฟต์แวร์ควบคุมระบบ .....	36
3.3.1 วงจร Key pad .....	37
3.3.2 ชุดจอแสดงผล ( The display assembly) .....	37
3.3.3 ชุดวงจรขับ RELAY .....	38
3.3.4 ชุดประมวลผล(Microcontroller).....	39
3.3.5 Module รับ-ส่งสัญญาณ( X-Bee Series 1 ).....	40
3.3.6 หลักการทำงานของซอฟต์แวร์ ( Software control ).....	40
3.4 ทดลองและวิเคราะห์ข้อมูล .....	47
3.4.1 การทดลองหาขนาดที่เหมาะสมของเซนเซอร์.....	47
3.4.2 การทดลอง calibrate ค่าแรงดึงความชื้นดินกับค่า ADC.....	48
3.4.3 การทดสอบประสิทธิภาพของเซนเซอร์กับปัจจัยอุณหภูมิที่อาจส่งผลต่อเซนเซอร์.....	51
3.4.4 ทดสอบประสิทธิภาพของเซนเซอร์กับปัจจัยค่า pH ดินที่เปลี่ยนแปลง.....	52
3.4.5 ทดสอบประสิทธิภาพของระบบกับปัจจัยการส่งสัญญาณ .....	54
ทดสอบการทำงานของระบบโครงข่าย.....	54
3.4.6 การทดสอบการทำงานของระบบ .....	55
3.4.6.1 การทดสอบระบบในห้องทดลองเพื่อทดสอบการทำงานอย่างเป็นระบบ .....	55
3.4.6.2 การทดสอบในแปลงจริงเพื่อหาประสิทธิภาพการทำงานของระบบ.....	55
บทที่ 4 ผลการทดลอง.....	58
4.1 การหาขนาดเหมาะสมและเปรียบเทียบความจำเป็นในการหุ้มวัสดุประเภทปูนปาสเตอร์ที่หัวเซนเซอร์ที่ เหมาะสม .....	58
4.2 การวัดค่า ADC ซึ่งได้จากไมโครคอนโทรลเลอร์แปลงค่าความต่างศักย์จาก analog เป็น digital เพื่อ calibrate ค่ากับค่าแรงดึงความชื้นดินมาตรฐาน.....	61
4.3 การทดสอบประสิทธิภาพของระบบกับปัจจัยทางอุณหภูมิและชนิดดินที่อาจมีผลต่อการทำงานของระบบ .....	63

เอกสารนี้เป็นเอกสารที่สงวนไว้สำหรับการใช้งานเพื่อการศึกษาเท่านั้น ไม่อนุญาตให้นำไปใช้ประโยชน์ด้านการค้า  
ไม่ว่ากรณีใดๆทั้งสิ้น อีกทั้งห้ามมิให้ตัดแปลงเนื้อหา และต้องอ้างอิงถึงเจ้าของเอกสารทุกครั้งที่มีการนำไปใช้

4.4 การทดสอบประสิทธิภาพของระบบกับปัจจัย pH ของดินที่เปลี่ยนแปลงซึ่งอาจมีผลต่อการทำงานของระบบ.....	65
4.5 การทดสอบประสิทธิภาพของระบบกับปัจจัยการส่งสัญญาณในแต่ละระดับความชื้น.....	67
4.6 การทดสอบการทำงานของระบบ.....	67
4.6.1 การทดสอบระบบในห้องทดลองเพื่อทดสอบการทำงานอย่างเป็นระบบ.....	67
4.6.2 การทดสอบในแปลงทดลองเพื่อหาประสิทธิภาพการทำงานของระบบ.....	69
บทที่ 5 สรุปผลการทดลองและข้อเสนอแนะ.....	79
5.1 การทดลองหาขนาดที่เหมาะสมและเปรียบเทียบความจำเป็นในการหุ้มวัสดุประเภทปูนปาสเตอร์ที่หัวเซนเซอร์.....	79
5.2 การทดลองวัดค่า ADC ซึ่งได้จากไมโครคอนโทรลเลอร์แปลงค่าความต่างศักย์จาก analog เป็น digital เพื่อ calibrate ค่ากับค่าแรงดึงความชื้นดินมาตรฐาน.....	79
5.3 การทดสอบประสิทธิภาพของระบบกับปัจจัยทางอุณหภูมิและชนิดดินที่อาจมีผลต่อการทำงานของระบบ.....	80
5.4 การทดสอบประสิทธิภาพของระบบกับปัจจัยการส่งสัญญาณในแต่ละระดับความชื้น.....	80
5.5 การทดสอบประสิทธิภาพของระบบกับปัจจัย pH ดินที่อาจมีผลต่อการทำงานของระบบ.....	81
5.6 การทดสอบการทำงานของระบบ.....	81
5.7 ข้อเสนอแนะ.....	81
เอกสารอ้างอิง.....	83
ภาคผนวก.....	86
ภาคผนวก ก ซอฟต์แวร์ที่ใช้ในงานวิจัยและการทำเซนเซอร์.....	87
1. เครื่องมือที่ใช้ในการทำโครงการวิจัย.....	88
1.1 โปรแกรม X - CTU.....	88
1.2 โปรแกรม CodeVisionAVR.....	89
1.3 โปรแกรม Design Explorer DXP.....	89
1.4 โปรแกรม SWRC FIT.....	90
2. การสร้างเซนเซอร์วัดความชื้นในดินและทดลองใช้งาน.....	90
ภาคผนวก ข. ตารางบันทึกผลการทดลอง.....	92

เอกสารนี้เป็นเอกสารที่สงวนไว้สำหรับการใช้งานเพื่อการศึกษาเท่านั้น ไม่อนุญาตให้นำไปใช้ประโยชน์ด้านการค้า  
ไม่ว่ากรณีใดๆทั้งสิ้น อีกทั้งห้ามมิให้ตัดแปลงเนื้อหา และต้องอ้างอิงถึงเจ้าของเอกสารทุกครั้งที่มีการนำไปใช้

ภาคผนวก ค. การเปรียบเทียบเชิงสถิติ.....	105
1.การวิเคราะห์ข้อมูลอุณหภูมิ.....	106
จากกราฟวิเคราะห์ผลอุณหภูมิดินกับค่า ADC จะได้ .....	106
ตารางที่ค.1 ตารางเทียบผลต่างของอุณหภูมิและ ADC ที่มีผลต่อแรงดึงความชื้น .....	106
จากตารางหากคิด % ความต่างที่อุณหภูมิดิน 25°C .....	106
2 การเปรียบเทียบเชิงสถิติของผลต่าง pH.....	106
ภาคผนวก ง. การออกแบบระบบการให้น้ำสำหรับการทดลองที่4.6.2.....	108
ภาคผนวก จ. ลายวงจร.....	114
ภาคผนวก ฉ. ประมวลรูปภาพ.....	119
ภาคผนวก ช. โค้ดโปรแกรม.....	131
ภาคผนวก ซ. คู่มือการใช้งาน.....	182



เอกสารนี้เป็นเอกสารที่สงวนไว้สำหรับการใช้งานเพื่อการศึกษาเท่านั้น ไม่อนุญาตให้นำไปใช้ประโยชน์ด้านการค้า  
ไม่ว่ากรณีใดๆทั้งสิ้น อีกทั้งห้ามมิให้ดัดแปลงเนื้อหา และต้องอ้างอิงถึงเจ้าของเอกสารทุกครั้งที่มีการนำไปใช้

## สารบัญภาพ

รูปที่ 2.1 ประเภทของน้ำในดิน.....	4
รูปที่ 2.2 แสดงสภาพของน้ำในดิน.....	6
รูปที่ 2.3 แสดง GROUND WATER.....	7
รูปที่ 2.4 ลักษณะการดูดซึมน้ำของดิน.....	8
รูปที่ 2.5 เปรียบเทียบลักษณะการแผ่กระจายความชื้นของดินร่วนปนทราย (SANDY LOAM) และดินร่วนปนดินเหนียว (CLAY LOAM) ที่ระยะเวลาต่าง ๆ หลังให้น้ำ.....	9
รูปที่ 2.6 แสดงลักษณะช่องว่างในดินแบบต่างๆ.....	11
รูปที่ 2.7 โครงสร้างของดินร่วน - ดินเหนียว - ดินทราย.....	14
รูปที่ 2.8 รูปแสดงการดูดน้ำของรากพืช.....	19
รูปที่ 2.9 แสดงองค์ประกอบของ เทนซิโอมิเตอร์ และรูปขยายกระเปาะดินเผา เมื่อสัมผัสอยู่กับอนุภาคดินโดยมีฟิล์มน้ำเป็นตัวเชื่อม.....	22
รูปที่ 2.10 เครื่องมือวัดการแผ่รังสีนิวตรอน (NEUTRON MOISTURE GAUGE).....	24
รูปที่ 2.11 หลักการ PH METER.....	25
รูปที่ 2.12 การความสัมพันธ์ความชื้นดินกับความเครียดเมตริกหรือแรงดึงความชื้น.....	27
รูปที่ 2.13 กราฟแบบจำลองการเทียบค่าความชื้นเชิงปริมาตรกับแรงดึงความชื้นดินที่ได้จากโปรแกรม.....	29
รูปที่ 2.14 ส่วนประกอบของกระบวนการ AVD CONVERTOR.....	31
รูปที่ 2.15 ตัวอย่างการสร้างเครือข่ายของอุปกรณ์ ZIGBEE.....	33
รูปที่ 3.1 ไดอะแกรมผังการดำเนินงานศึกษาวิจัย.....	34
รูปที่ 3.2 ผังการทำงานของอุปกรณ์.....	35

เอกสารนี้เป็นเอกสารที่สงวนไว้สำหรับการใช้งานเพื่อการศึกษาเท่านั้น ไม่อนุญาตให้นำไปใช้ประโยชน์ด้านการค้าไม่ว่ากรณีใดๆทั้งสิ้น อีกทั้งห้ามมิให้ตัดแปลงเนื้อหา และต้องอ้างอิงถึงเจ้าของเอกสารทุกครั้งที่มีการนำไปใช้

รูปที่ 3.3 เซนเซอร์ตรวจจับความชื้นดิน.....	36
รูปที่ 3.4 วงจรตรวจจับความชื้นดิน .....	36
รูปที่ 3.5 วงจรKEY PAD.....	37
รูปที่ 3.6 วงจรแสดงผลทางจอLCD.....	38
รูปที่ 3.7 วงจรขับ RELAY.....	38
รูปที่ 3.8 วงจรชุดประมวลผลหลัก .....	39
รูปที่ 3.9 วงจรประมวลผลเซนเซอร์ .....	39
รูปที่ 3.10 วงจรรับ-ส่งสัญญาณ .....	40
รูปที่ 3.11 โครงสร้างการจับคู่ระหว่าง RELAY บีม กับ เซนเซอร์ .....	41
รูปที่ 3.12 FLOW CHART การทำงานของไมโครคอนโทรลเลอร์ SENSOR (ATMEGA8).....	42
รูปที่ 3.13 FLOW CHART แสดงการทำงานของ X-BEE ต้นทาง.....	43
รูปที่ 3.14 FLOW CHART การทำงานของX-BEE ปลายทาง .....	44
รูปที่ 3.15 FLOW CHART การทำงานของระบบควบคุมหลัก .....	47
รูปที่ 3.16 ลักษณะเซนเซอร์ตรวจจับความชื้นดิน.....	48
รูปที่ 3.17 โพล์ชาร์ตขั้นตอนการลดความชื้นดินเพื่อวัดค่า ADC.....	49
รูปที่ 3.18 โปรแกรม SWRC FIT แปลงค่าความชื้นเป็นแรงดึงความชื้น .....	50
รูปที่ 3.20 การเตรียมดินให้เป็นเบส.....	53
รูปที่ 3.21 การเตรียมดินให้เป็นกรด .....	54
รูปที่ 3.22 การวัดระยะการส่งสัญญาณเพื่อประเมินพื้นที่ .....	54

เอกสารนี้เป็นเอกสารที่สงวนไว้สำหรับการใช้งานเพื่อการศึกษาเท่านั้น ไม่อนุญาตให้นำไปใช้ประโยชน์ด้านการค้า  
ไม่ว่ากรณีใดๆทั้งสิ้น อีกทั้งห้ามมิให้ตัดแปลงเนื้อหา และต้องอ้างอิงถึงเจ้าของเอกสารทุกครั้งที่มีการนำไปใช้

รูปที่ 3.23 การทดลองวัดความชื้นดินเทียบกับ SOIL MOISTURE METER.....	55
รูปที่ 3.24 แบบแปลงการทดลองควบคุมการให้น้ำโดยเกษตรกร.....	56
รูปที่ 3.25 แบบแปลงทดลองควบคุมการให้น้ำโดยระบบโครงข่ายความชื้นดินควบคุมการให้น้ำพืช.....	57
รูปที่ 4.1 ลักษณะเซนเซอร์ตรวจจับความชื้นดิน.....	58
รูปที่ 4.2 ความสัมพันธ์ระหว่างแรงดึงความชื้นกับ ADC.....	61
รูปที่ 4.3 กราฟความสัมพันธ์ค่า ADC กับ อุณหภูมิดิน.....	64
รูปที่ 4.4 กราฟความสัมพันธ์เทียบเคียงค่า ADC แรงดันไฟฟ้า และแรงดึงความชื้นดิน ของดินร่วนปนทรายและดินเหนียว.....	65
รูปที่ 4.4 การทดลองวัดความชื้นดินเทียบกับ SOIL MOISTURE METER.....	67
รูปที่ 4.5 แสดงการเปรียบเทียบการวัดค่าความชื้นของดินโดยใช้โครงข่ายเซนเซอร์กับ SOIL MOISTURE METER.....	68
รูปที่ 4.6 แปลงทดลองที่เกษตรกรควบคุมการให้น้ำพืช.....	69
รูปที่ 4.7 การไถเตรียมแปลง.....	70
รูปที่ 4.8 ติดตั้งระบบให้น้ำแบบสปริงเกอร์.....	70
รูปที่ 4.9 การหยอดเมล็ดผักบุ้ง.....	71
รูปที่ 4.10 เปิดให้ระบบให้น้ำทำงานควบคุมปิด-เปิดโดยเกษตรกร.....	71
รูปที่ 4.11 แปลงทดลองที่ติดตั้งระบบโครงข่ายเซนเซอร์ความชื้นดินควบคุมการให้น้ำพืช.....	69
รูปที่ 4.12 การไถเตรียมแปลงทดลอง.....	70
รูปที่ 4.13 ติดตั้งระบบให้น้ำแบบสปริงเกอร์.....	70
รูปที่ 4.14 การหยอดเมล็ดผักบุ้ง.....	71
รูปที่ 4.15 ติดตั้งเซนเซอร์วัดความชื้นดิน.....	71

เอกสารนี้เป็นเอกสารที่สงวนไว้สำหรับการใช้งานเพื่อการศึกษาเท่านั้น ไม่อนุญาตให้นำไปใช้ประโยชน์ด้านการค้า  
ไม่ว่ากรณีใดๆทั้งสิ้น อีกทั้งห้ามมิให้ดัดแปลงเนื้อหา และต้องอ้างอิงถึงเจ้าของเอกสารทุกครั้งที่มีการนำไปใช้

รูปที่ 4.16 ติดตั้งระบบควบคุมหลักเพื่อควบคุมปั๊ม.....	72
รูปที่ 4.17 แสดงการทำงานของระบบให้น้ำพืชควบคุมโดยเกษตรกรเมื่อผ่านไป 10 วัน.....	72
รูปที่ 4.18 แสดงการทำงานของระบบโครงข่ายความชื้นดินควบคุมการให้น้ำพืชเมื่อผ่านไป 10 วัน.....	72
รูปที่ 4.19 แสดงการทำงานของระบบให้น้ำพืชควบคุมโดยเกษตรกรเมื่อผ่านไป 25 วัน.....	73
รูปที่ 4.20 แสดงการทำงานของระบบให้น้ำพืชควบคุมโดยเกษตรกรเมื่อผ่านไป 25 วัน.....	73
รูปที่ 4.21 แสดงการทำงานของระบบให้น้ำพืชโดยเกษตรกร.....	74
รูปที่ 4.22 แสดงการทำงานของระบบโครงข่ายความชื้นดินควบคุมการให้น้ำพืชเมื่อผ่านไป 25 วัน.....	73
รูปที่ 4.23 แสดงการทำงานของระบบโครงข่ายความชื้นดินควบคุมการให้น้ำพืชเมื่อผ่านไป 25 วัน.....	73
รูปที่ 4.24 แสดงการทำงานของระบบโครงข่ายความชื้นดิน.....	74



เอกสารนี้เป็นเอกสารที่สงวนไว้สำหรับการใช้งานเพื่อการศึกษาเท่านั้น ไม่อนุญาตให้นำไปใช้ประโยชน์ด้านการค้า  
ไม่ว่ากรณีใดๆทั้งสิ้น อีกทั้งห้ามมิให้ตัดแปลงเนื้อหา และต้องอ้างอิงถึงเจ้าของเอกสารทุกครั้งที่มีการนำไปใช้

## สารบัญตาราง

ตารางที่ 2.1 ความสัมพันธ์ระหว่างความชื้นของดินในระดับต่างๆกับเนื้อดิน.....	5
ตารางที่ 2.1 ค่าอัตราการซึมพื้นฐานของน้ำผ่านผิวดินโดยประมาณ.....	8
ตารางที่ 2.2 การแบ่งกลุ่มขนาดของดิน(SOIL SEPERATE).....	15
ตารางที่ 2.3 ระดับความเครียดเมตริกที่สมควรให้น้ำชลประทานกับพืชชนิดต่าง ๆ ที่ปลูกในดินลึกและระบายน้ำได้ดีเพื่อให้ได้ผลผลิตสูงสุด.....	20
ตารางที่ 2.4 ความหมายของค่าที่อ่านได้จากเทนซิโอมิเตอร์.....	23
ตารางที่ 2.5 สมการ SOIL HYDRAULIC MODELS.....	28
ตารางที่ 4.1 ผลการทดลองความเร็วในการตรวจจับความชื้นดินของเซนเซอร์แต่ละขนาด.....	59
ตารางที่ 4.2 ผลการทดลองปรับค่า pH ดินที่ผ่านการวิเคราะห์ความแปรปรวนแบบ CRD.....	66
ตารางที่ 4.2 แสดงการเปรียบเทียบแปลงทดลองและบันทึกผลการทดลองระหว่างแปลงทดลองใช้เกษตรกรควบคุมระบบและแปลงที่ควบคุมโดยระบบโครงข่ายเซนเซอร์ความชื้นดินควบคุมการให้น้ำพืช.....	69
ตารางที่ 4.3 บันทึกผลการทดลองเปรียบเทียบน้ำหนักผักบั้งแต่ละแปลง.....	74
ตารางที่ 4.4 สรุปค่าใช้จ่ายระหว่างแปลงทดลองที่ใช้เกษตรกรควบคุมระบบกับแปลงที่ใช้ระบบโครงข่ายเซนเซอร์ความชื้นดินควบคุมการให้น้ำพืชที่แตกต่างกัน.....	77

เอกสารนี้เป็นเอกสารที่สงวนไว้สำหรับการใช้งานเพื่อการศึกษาเท่านั้น ไม่อนุญาตให้นำไปใช้ประโยชน์ด้านการค้า  
ไม่ว่ากรณีใดๆทั้งสิ้น อีกทั้งห้ามมิให้ตัดแปลงเนื้อหา และต้องอ้างอิงถึงเจ้าของเอกสารทุกครั้งที่มีการนำไปใช้

# บทที่ 1

## บทนำ

### 1.1 ที่มาและความสำคัญ

ในปัจจุบันโลกได้เปลี่ยนแปลงไปมาก ประชากรของโลกเพิ่มมากขึ้นอย่างต่อเนื่อง(7,000 ล้านคน, ปี 2012) [1]ทำให้มีความต้องการทรัพยากรทางด้านต่างๆมากขึ้น โดยเฉพาะทางด้านอาหาร ซึ่งเป็นผลิตที่ได้จากการเกษตร แต่แรงงานทางด้านเกษตรมีจำนวนลดลงมาก อีกทั้งพื้นที่ทำการเกษตรนั้นมีลดลง [2] เป็นผลมาจากการขยายตัวของเมืองและประชากรซึ่งไม่สอดคล้องกัน ดังนั้นเทคโนโลยีที่ทันสมัยจึงมีบทบาทสำคัญต่อการเกษตรในยุคปัจจุบัน

ปัจจัยหลักที่มีผลต่อการเจริญเติบโตของพืชได้แก่ น้ำ ปุ๋ย (แร่ธาตุต่างๆ) แสง อุณหภูมิที่พอเหมาะ และคาร์บอนไดออกไซด์(CO<sub>2</sub>) ซึ่งพืชแต่ละชนิดต้องการปัจจัยเหล่านี้แต่ต่างกันขึ้นอยู่กับชนิดและอายุของพืช[3] ถ้าหากพืชได้รับปัจจัยดังกล่าวอย่างพอเพียงและสม่ำเสมอไม่มากไม่น้อยจนเกินไปพืชก็จะให้ผลผลิตที่มีคุณภาพและได้ปริมาณผลผลิตที่มากขึ้น แต่หากได้รับปัจจัยดังกล่าวไม่เพียงพอหรือมากเกินไปก็จะทำให้พืชให้ผลผลิตได้ปริมาณไม่เท่าที่ควร ดังนั้นหากต้องการผลผลิตที่มีคุณภาพและปริมาณมากเราควรจะต้องควบคุมปัจจัยเหล่านี้ให้พอเหมาะ โดยใช้เทคโนโลยีที่มีในปัจจุบันมาเป็นตัวควบคุมปัจจัย ซึ่งโครงการวิจัยนี้จะเริ่มศึกษาวิจัยระบบการให้น้ำพืชที่สามารถปรับความชื้นของน้ำในดินที่ให้แก่พืชได้ตลอดเวลาสะดวกต่อการใช้งาน[4,5] และมีความแม่นยำ อีกทั้งยังประหยัดแรงงานในการควบคุมระบบ ทำให้เกษตรกรมีเวลาในการดูแลพืชมากขึ้น ทำให้ผลผลิตที่ได้มีคุณภาพและได้ปริมาณสูงเหมาะสมกับสถานการณ์ในปัจจุบัน โดยระบบนี้จะมีส่วนประกอบหลักคือ เซนเซอร์วัดความชื้นดิน ตัวส่งสัญญาณ และ Microcontroller เพื่อประมวลผลและสั่งการปั้มน้ำอัตโนมัติ โดยจะทำงานประสานกันอย่างเป็นระบบโดยมีวัตถุประสงค์เพื่อออกแบบระบบการควบคุมการให้น้ำพืชอัตโนมัติแบบไร้สายเป็นโครงข่ายสัญญาณที่มีประสิทธิภาพและเหมาะสมกับลักษณะการใช้งานที่สภาวะต่างๆ

### 1.2 วัตถุประสงค์

งานวิจัยนี้ได้ทำการศึกษาวิธีการให้น้ำพืชโดยมีวัตถุประสงค์หลักดังต่อไปนี้ คือ

- 1.ออกแบบสร้างโครงข่ายเซนเซอร์ความชื้นดินสำหรับอุปกรณ์ให้น้ำพืชอัตโนมัติแบบไร้สาย
- 2.สอบเทียบค่าระหว่างค่าแรงดึงความชื้นและค่า ADC เพื่อสร้างสมการตรวจสอบแรงความชื้นของดิน
- 3 ทดสอบการทำงานของระบบและหาความเหมาะสมของการใช้เซนเซอร์หนึ่งหน่วยต่อพื้นที่การใช้งาน

เอกสารนี้เป็นเอกสารที่สงวนไว้สำหรับการใช้งานเพื่อการศึกษาเท่านั้น ไม่อนุญาตให้นำไปใช้ประโยชน์ด้านการค้าไม่ว่ากรณีใดๆทั้งสิ้น อีกทั้งห้ามมิให้ตัดแปลงเนื้อหา และต้องอ้างอิงถึงเจ้าของเอกสารทุกครั้งที่มีการนำไปใช้

### 1.3 ขอบเขตของการศึกษา

ทดลองรับส่งสัญญาณและประมวลผลและทำงานประสานกันอย่างเป็นระบบ มุ่งเน้นการออกแบบระบบการให้น้ำพืชให้มีประสิทธิภาพ ออกแบบสร้างระบบเซนเซอร์แบบโครงข่ายไร้สายโดยมีภาคส่งคือเซนเซอร์วัดความชื้นดินที่ติดตั้งไว้บริเวณต่างๆทั่วแปลง(ทั้งนี้ความเหมาะสมจำนวนเซนเซอร์นั้นจะทำการทดลองเพื่อหาความเหมาะสม) และภาครับคือชุดไมโครคอนโทรลเลอร์ซึ่งเป็นตัวหลักในการควบคุมและประมวลผลจากข้อมูลความชื้นที่เซนเซอร์ได้ส่งมาเพื่อสั่งการให้ระบบให้น้ำทำงาน

### 1.4 ผลที่คาดว่าจะได้รับ

- 1) สามารถใช้ระบบควบคุมน้ำอัตโนมัติ เพื่อใช้ในการเกษตรกรรมได้สามารถประหยัดเวลา ประหยัดพลังงานน้ำ(หากช่วงนั้นฝนมีปริมาณมาก ระบบจะหยุดการให้น้ำแก่พืช) และท่นแรงงานคน
- 2) ได้ปริมาณน้ำที่พืชจะนำไปใช้ประโยชน์ได้อย่างแท้จริง
- 3) ประหยัดแรงงานในการให้น้ำพืช
- 4) มีระบบประมวลผลการให้น้ำที่หลากหลายเพื่อประโยชน์การเลือกใช้ของเกษตรกร

เอกสารนี้เป็นเอกสารที่สงวนไว้สำหรับการใช้งานเพื่อการศึกษาเท่านั้น ไม่อนุญาตให้นำไปใช้ประโยชน์ด้านการค้า ไม่ว่ากรณีใดๆทั้งสิ้น อีกทั้งห้ามมิให้ตัดแปลงเนื้อหา และต้องอ้างอิงถึงเจ้าของเอกสารทุกครั้งที่มีการนำไปใช้

## บทที่ 2

### หลักการและทฤษฎี

ในการสร้างระบบโครงข่ายเซนเซอร์ควบคุมการให้น้ำแก่พืชควรคำนึงถึง พืช การใช้งาน ความปลอดภัยและต้นทุนในการออกแบบเป็นหลัก ซึ่งหลักการและทฤษฎีสำหรับนำมาประกอบการออกแบบอุปกรณ์และการทดลองมีดังนี้

#### 2.1 ทฤษฎีน้ำในดิน (Theory of water in the soil) [6]

น้ำที่อยู่ภายในดินจะแบ่งออกเป็น 3 ชนิดตามระดับของน้ำที่ถูกยึดไว้ โดยเริ่มจากชั้นนอกสุดไปยังชั้นในสุดดังนี้คือ

2.1.1 น้ำอิสระ(Gravitational water) เป็น น้ำที่ขังอยู่ชั้นนอกสุดของเม็ดดิน หากแรงยึดเหนี่ยวระหว่างน้ำกับน้ำ และน้ำกับดินน้อยกว่าแรงดึงดูดของโลก น้ำในส่วนนี้จะถูกไปยังชั้นด้านล่างของดินด้วยแรงดึงดูดของโลก น้ำในส่วนนี้อยู่ในช่องว่างขนาดใหญ่ของดิน หากอยู่ในดินเป็นระยะเวลานานจะทำให้พืชขาดอากาศและจะเป็นอันตรายต่อพืช โดยจุดที่ระดับความชื้นที่มีน้ำอิสระอยู่เกือบเต็มช่องว่างนี้จะเรียกว่า “จุดความชื้นอิ่มตัว (water saturated)”

2.1.2 น้ำซับ (Capillary water) หลังจากที่ถูกการให้น้ำต่อพืชแล้ว และน้ำอิสระได้ระบายสู่ส่วนล่างซึ่งจะใช้เวลาประมาณ 24 - 48 ชั่วโมง น้ำในดินที่เหลือจะถูกยึดด้วยดินให้อยู่ในช่องว่างขนาดเล็กของดินด้วยแรงที่ มากพอที่จะต้านแรงดึงดูดของโลกแต่ในช่องว่างขนาดใหญ่ของดินจะมีแต่อากาศ ซึ่งความชื้นในดินที่ระดับนี้จะเรียกว่า “จุดความชื้นระดับสนาม (field capacity)” หรือจุดความชื้นชลประทาน ที่จุดนี้ถือว่าเป็นระดับสูงสุดของความชื้นในดินที่เป็นประโยชน์ต่อพืช (available water) เนื่องจากพืชสามารถนำน้ำส่วนนี้ไปใช้ได้ โดยทั่วไปน้ำส่วนนี้จะถูกดึงด้วยแรงระหว่าง 1/3 - 1/10 ของบรรยากาศ เมื่อความชื้นในดินลดลงจนถึงระดับที่ความชื้นไม่เพียงพอสำหรับการคายน้ำพืช จะเริ่มเหี่ยวเฉาอย่างถาวร ความชื้นจุดนี้เรียกว่า “จุดเหี่ยวถาวร (permanent wilting point)”

2.1.3 น้ำเยื่อ (Hygroscopic water) เป็นน้ำที่อยู่ติดกับอนุภาคดินมากที่สุด โดยน้ำส่วนนี้จะถูกยึดด้วยแรงประมาณ 31 เท่าของบรรยากาศเป็น น้ำส่วนที่เหลือจากน้ำซบที่พืชไม่สามารถนำไปใช้ประโยชน์ได้เลย เมื่อระดับความชื้นในดินอยู่ที่ระดับนี้ พืชอาจจะตายเพราะอาการขาดน้ำได้

ดินสามารถเก็บน้ำไว้ได้โดยที่น้ำจะแทรกตัวอยู่ ระหว่างช่องว่างของดินและยึดเหนี่ยวกันไว้ด้วยแรงยึดเหนี่ยวของน้ำในดิน ซึ่งประกอบด้วยแรงสองแรงคือ

1. Adhesive Force เป็นแรงยึดเหนี่ยวระหว่างโมเลกุลของดินกับโมเลกุลของน้ำ
2. Cohesive Force เป็นแรงยึดเหนี่ยวระหว่างโมเลกุลของน้ำกับโมเลกุลของน้ำ

รวมเรียกว่า แรงยึดเหนี่ยวของน้ำในดิน (Capillary Force) = Adhesive Force + Cohesive

Force

เอกสารนี้เป็นเอกสารที่สงวนไว้สำหรับการใช้งานเพื่อการศึกษาเท่านั้น ไม่อนุญาตให้นำไปใช้ประโยชน์ด้านการค้าไม่ว่ากรณีใดๆทั้งสิ้น อีกทั้งห้ามมิให้ตัดแปลงเนื้อหา และต้องอ้างอิงถึงเจ้าของเอกสารทุกครั้งที่มีการนำไปใช้



รูปที่ 2.1 ประเภทของน้ำในดิน

## 2.2 สภาพของน้ำในดิน ( Condition of water in soil.) [6]

ในช่องว่างของดินจะมีน้ำและอากาศเป็นองค์ประกอบที่สำคัญถ้าช่องว่างของดินมีปริมาณน้ำมากหรือมีน้ำขังตลอดเวลาย่อมแสดงว่าไม่มีอากาศอยู่ในช่องว่างดังนั้นสามารถแบ่งสภาพของน้ำในดินออกได้ตามความแตกต่างของน้ำที่มีอยู่ในดินได้ดังต่อไปนี้

2.2.1 สภาพดินที่อิ่มตัวด้วยน้ำ (Saturated soil) คือดินที่มีน้ำอยู่เต็มในสัดส่วนของเปอร์เซ็นต์ของอากาศและเปอร์เซ็นต์ของน้ำในส่วนประกอบของดินได้แก่ดินที่อยู่ในสภาพน้ำขัง

เอกสารนี้เป็นเอกสารที่สงวนไว้สำหรับการใช้งานเพื่อการศึกษาเท่านั้น ไม่อนุญาตให้นำไปใช้ประโยชน์ด้านการค้าไม่ว่ากรณีใดๆทั้งสิ้น อีกทั้งห้ามมิให้ตัดแปลงเนื้อหา และต้องอ้างอิงถึงเจ้าของเอกสารทุกครั้งที่มีการนำไปใช้

2.2.2 สภาพดินที่ไม่อิ่มตัวด้วยน้ำ (Unsaturated soil) คือดินที่มีน้ำอยู่ไม่เต็มในสัดส่วนของเปอร์เซ็นต์ของอากาศและเปอร์เซ็นต์ของน้ำในส่วนประกอบของดิน ได้แก่ดินที่ตอนที่ใช้ทำการเกษตรกรรมโดยทั่วไป

2.2.3 สภาพความจุความชื้นภาคสนาม (Field capacity : FC) คือสภาพของดินที่สามารถอุ้มน้ำหรือดูดยึดน้ำได้มากที่สุดซึ่งอยู่ในช่วงความลึกจากผิวดินลงไป 6 นิ้ว ช่องว่างขนาดเล็กในดินจะอิ่มตัวด้วยน้ำส่วนน้ำที่อยู่ในช่องว่างขนาดใหญ่จะเคลื่อนที่ออกหมดโดยแรงดึงดูดของโลก (รูปที่ 2.1)

2.2.4 สภาพน้ำเยื่อ (Hygroscopic coefficient) เป็นสภาพที่น้ำจะอยู่ในรูปเยื่อบางๆ รอบอนุภาคดินน้ำจะถูกยึดด้วยแรงดึงดูดที่สูงมากตั้งแต่ 31 บรรยากาศจนถึง 10,000 บรรยากาศสภาพเช่นนี้พืชไม่สามารถนำไปใช้ประโยชน์ (รูปที่ 2.1)

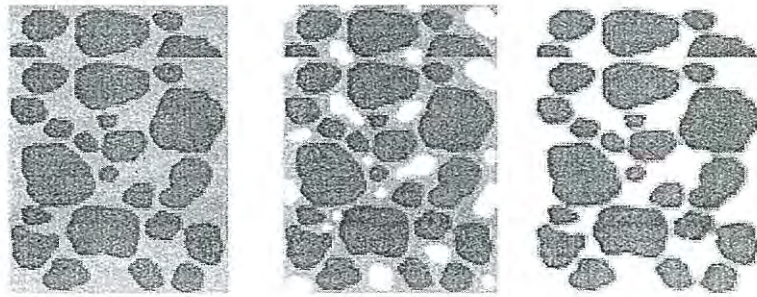
2.2.5 สภาพจุดเหี่ยวถาวรของพืช (Permanent wilting point) เป็นสภาพที่เกิดขึ้นเนื่องจากในช่องว่างขนาดเล็กของดินมีปริมาณน้ำอยู่น้อยประกอบกับมีแรงยึดเพิ่มขึ้น ในเวลากลางวันพืชจะต้องคายน้ำทำให้อัตราการคายน้ำมากกว่าอัตราการดูดน้ำของพืชทำให้พืชแสดงอาการเหี่ยวเฉาแบบชั่วคราว เมื่อเราเติมน้ำให้กับดินอาการเช่นนี้ก็หายไป ในกรณีที่เราไม่เติมน้ำให้แก่ดินปริมาณน้ำในดินก็จะน้อยลงไปเรื่อยๆ ประกอบกับแรงดูดยึดมีค่ามากขึ้นทำให้ปริมาณการดูดน้ำของพืชได้น้อยและยากกว่าเดิม ทำให้พืชแสดงอาการเหี่ยวเฉาแบบรุนแรงมากสภาพเช่นนี้จะทำให้พืชเหี่ยวเฉา อย่างถาวร

น้ำที่เป็นประโยชน์ต่อพืชจะมากหรือน้อยขึ้นอยู่กับเนื้อดินเป็นหลัก ดินเหนียวซึ่งเป็นดินเนื้อละเอียด พบว่าน้ำที่เป็นประโยชน์ต่อพืชมีช่วงกว้างกว่าดินร่วนและดินทรายการใช้น้ำอย่างมีประสิทธิภาพสูงสุดในการเพาะปลูกต้องคำนึงเนื้อดินเป็นองค์ประกอบด้วยถ้าเนื้อดินเป็นดินทรายการให้น้ำต้องบ่อยครั้งมากกว่าดินร่วนและดินเหนียวในการหาน้ำที่เป็นประโยชน์ต่อพืชหาได้ดังนี้ น้ำที่เป็นประโยชน์ = ความจุความชื้นภาคสนาม - ความชื้นที่จุดเหี่ยวถาวรซึ่งสามารถแสดงความสัมพันธ์ระหว่างความชื้นของดินในระดับต่างๆกับเนื้อดิน ดังตารางที่ 2.1 [6]

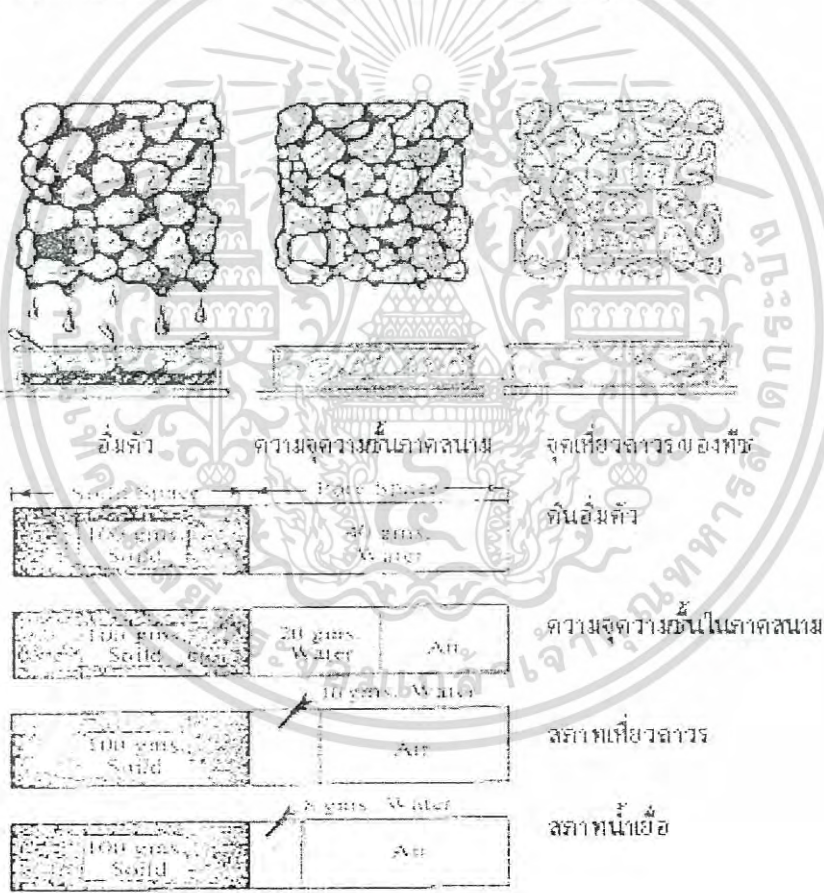
ตารางที่ 2.1 ความสัมพันธ์ระหว่างความชื้นของดินในระดับต่างๆกับเนื้อดิน

เนื้อดิน	ระดับความชื้นของดิน (%)		
	ความจุความชื้นในภาคสนาม	จุดเหี่ยวถาวร	น้ำที่เป็นประโยชน์ต่อพืช
หยาบ	5.5	2.0	3.5
ค่อนข้างหยาบ	22.2	12.0	10.2
ปานกลาง	34.6	20.3	14.3
ค่อนข้างละเอียด	33.8	21.3	12.5
ละเอียด	33.5	20.2	13.3

เอกสารนี้เป็นเอกสารที่สงวนไว้สำหรับการใช้งานเพื่อการศึกษาเท่านั้น ไม่อนุญาตให้นำไปใช้ประโยชน์ด้านการค้าไม่ว่ากรณีใดๆทั้งสิ้น อีกทั้งห้ามมิให้ตัดแปลงเนื้อหา และต้องอ้างอิงถึงเจ้าของเอกสารทุกครั้งที่มีการนำไปใช้



น้ำอิสระ                      น้ำขั้ม                      น้ำเยื่อ  
gravitational water      capillary water      hygroscopic water



รูปที่ 2.2 แสดงสภาพของน้ำในดิน[6]

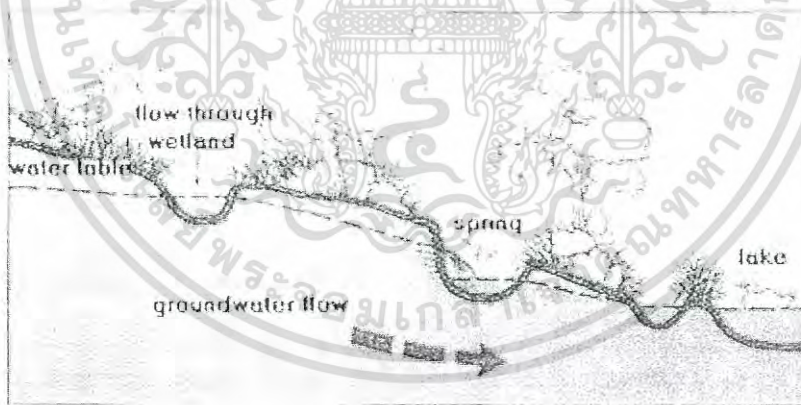
เอกสารนี้เป็นเอกสารที่สงวนไว้สำหรับการใช้งานเพื่อการศึกษาเท่านั้น ไม่อนุญาตให้นำไปใช้ประโยชน์ด้านการค้า ไม่ว่าจะกรณีใดๆทั้งสิ้น อีกทั้งห้ามมิให้ดัดแปลงเนื้อหา และต้องอ้างอิงถึงเจ้าของเอกสารทุกครั้งที่มีการนำไปใช้

## 2.3 การซึมลงดินของน้ำ (Infiltration rate of water into soil)[7]

กระบวนการซึมลงดินเริ่มต้นขึ้นเมื่อมีน้ำตกลงสู่ผิวดินน้ำจะซึมผ่านผิวดินและแพร่ลงไปในดินตามแรงดึงดูดความชื้นจนกระทั่งดินอิ่มตัวด้วยน้ำ จากนั้นแรงดึงดูดของโลกจะทำให้น้ำไหลลึกซึมลงไปในดินสามารถพิจารณาแยกปริมาณความชื้นในดินได้เป็น 4 ส่วน คือ

1. ส่วนที่อิ่มตัวด้วยน้ำ (Saturation zone) ซึ่งเป็นส่วนที่อยู่ใกล้กับผิวดิน
2. ส่วนที่น้ำแพร่ผ่าน (Transmission zone) เป็นส่วนที่น้ำไหลผ่านชั้นดิน ขณะที่ดินยังไม่อิ่มตัวโดยปริมาณความชื้นตลอดหน้าตัดใกล้เคียงกัน
3. ส่วนที่กำลังเปียก (Wetting zone) เป็นส่วนที่ความชื้นกำลังเพิ่มขึ้นโดยในชั้นดินที่ลึกลงไปจะมีความชื้นน้อย
4. หน้าตัดที่กำลังเปียก (Wetting front) เป็นหน้าตัดที่เริ่มเปียกน้ำและกำลังมีการเปลี่ยนความชื้นอย่างรวดเร็ว

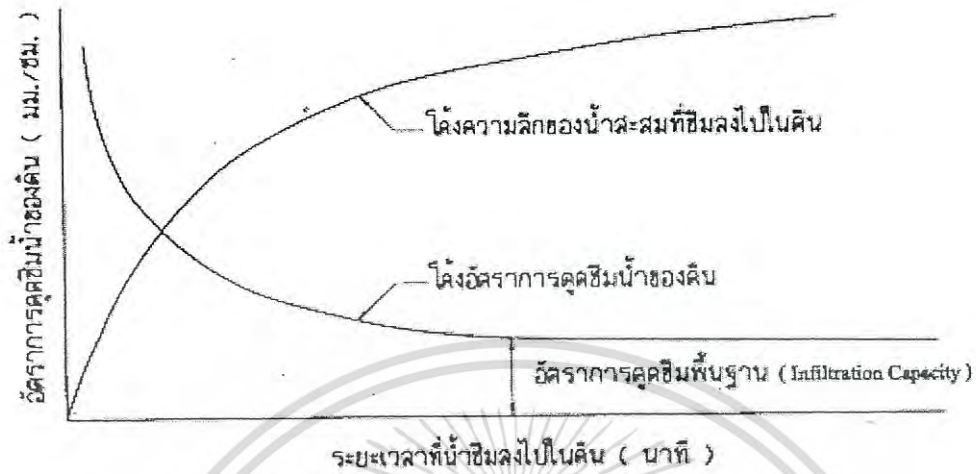
ซึ่งบริเวณนี้ ดินจะมีความชื้นแตกต่างกันมาก จนสามารถแยกกระหว่างดินเปียกกับดินแห้งได้อย่างชัดเจน



รูปที่ 2.3 แสดง ground water

วัตถุประสงค์หลักของการศึกษาด้านการซึมลงดิน คือการหาค่าอัตราการซึมลงดิน ณ เวลาต่างๆ การเปลี่ยนแปลงอัตราการซึมนั้นเป็นผลจากทั้งอิทธิพลของแรงดึงดูดของโลก (gravity force) และแรงดันหรือแรงดันน้ำ (pressure force)

เอกสารนี้เป็นเอกสารที่สงวนไว้สำหรับการใช้งานเพื่อการศึกษาเท่านั้น ไม่อนุญาตให้นำไปใช้ประโยชน์ด้านการค้าไม่ว่ากรณีใดๆทั้งสิ้น อีกทั้งห้ามมิให้ตัดแปลงเนื้อหา และต้องอ้างอิงถึงเจ้าของเอกสารทุกครั้งที่มีการนำไปใช้



รูปที่ 2.4 ลักษณะการดูดซึมน้ำของดิน

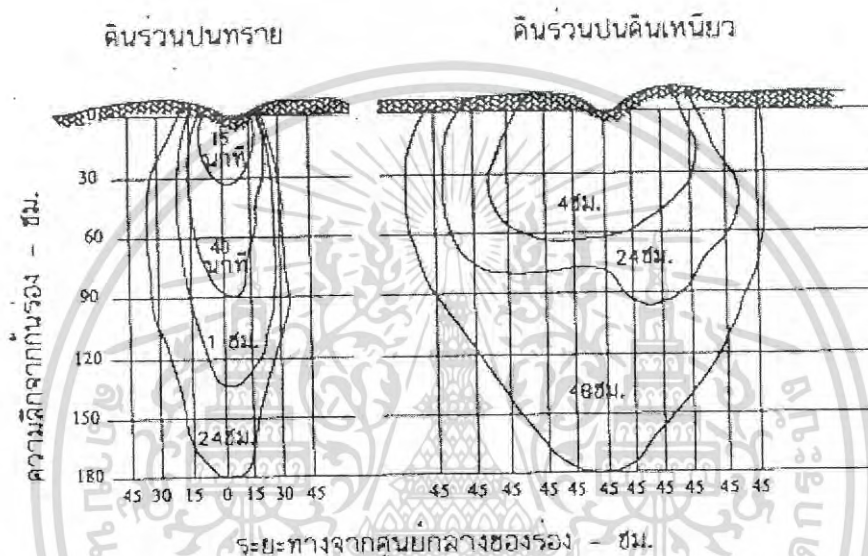
ตารางที่ 2.1 ค่าอัตราการซึมพื้นฐานของน้ำผ่านผิวดินโดยประมาณ

ชนิดของดิน	อัตราการซึมโดยประมาณ (มิลลิเมตร/ชั่วโมง)
ดินร่วนปนทราย	เฉลี่ย 25
ดินร่วน	เฉลี่ย 15
ดินร่วนเหนียว	เฉลี่ย 10
ดินเหนียว	เฉลี่ย 5

ค่าอัตราการซึมพื้นฐานของน้ำที่ผ่านผิวดิน จะมีประโยชน์ 2 ประการ คือ ประการแรก ใช้พิจารณาว่าจะให้น้ำแก่พืชนานเท่าใด ตัวอย่างเช่น ถ้าต้องการให้น้ำแก่พืช คิดเป็นความลึกของน้ำ 100 มิลลิเมตร ดินเป็นดินทราย ถ้าให้น้ำด้วยระบบผิวดิน ระยะเวลาให้น้ำอย่างน้อยที่สุดจะเท่ากับความลึกของน้ำที่จะให้ หากด้วยอัตราการซึมน้ำของดิน คือ 100 มิลลิเมตร หากด้วย 25 มิลลิเมตร/ชั่วโมง เท่ากับ 4 ชั่วโมง เป็นต้น ประการที่ 2 ใช้ในการเลือกหัวจ่ายน้ำแบบฉีดฝอย สำหรับการให้น้ำด้วยระบบฉีดฝอย จะต้องเลือกหัวจ่ายน้ำที่จะให้กับต้นพืช จะต้องม้ออัตราการจ่ายน้ำน้อยกว่าอัตราการซึมของดิน ซึ่งถ้าหาก

เอกสารนี้เป็นเอกสารที่สงวนไว้สำหรับการใช้งานเพื่อการศึกษาเท่านั้น ไม่อนุญาตให้นำไปใช้ประโยชน์ด้านการค้า ไม่ว่าจะกรณีใดๆทั้งสิ้น อีกทั้งห้ามมิให้ดัดแปลงเนื้อหา และต้องอ้างอิงถึงเจ้าของเอกสารทุกครั้งที่มีการนำไปใช้

เลือกใช้อัตราการจ่ายน้ำมากกว่าอัตราการซึมน้ำของดินจะทำให้เกิดน้ำไหลบ่า ทำให้สิ้นเปลืองน้ำและอาจเป็นอันตรายต่อต้นพืชได้ รูปที่ 2.5 เป็นการเปรียบเทียบระยะเวลาการไหลของน้ำที่ความลึก 180 เซนติเมตร พบว่า ดินร่วนปนทรายจะมีรูปร่างเรียบแคบตามแนวดิ่ง ความกว้างของเส้นผ่าศูนย์กลางเปียกน้ำประมาณ 90 เซนติเมตร และใช้เวลาเพียง 24 ชั่วโมง ส่วนดินร่วนปนดินเหนียวจะใช้เวลาจนถึง 48 ชั่วโมง และให้เส้นผ่าศูนย์กลางถึง 150 เซนติเมตร



รูปที่ 2.5 เปรียบเทียบลักษณะการแผ่กระจายความชื้นของดินร่วนปนทราย (SANDY LOAM) และดินร่วนปนดินเหนียว (CLAY LOAM) ที่ระยะเวลาต่าง ๆ หลังให้น้ำ

โดยสิ่งที่มีผลต่อการซึมน้ำลงดินสามารถสรุปได้ ดังนี้

- (1) อัตราการตกของน้ำฝน น้ำชลประทาน หรือความลึกของน้ำที่ขังบนผิวดิน
- (2) ความสามารถในการนำน้ำของดิน
- (3) ปริมาณความชื้นในดินขณะเริ่มต้น
- (4) ความลาดชันและความขรุขระของผิวดิน
- (5) คุณสมบัติทางเคมีของดิน
- (6) คุณสมบัติทางกายภาพและทางเคมีของน้ำ

เอกสารนี้เป็นเอกสารที่สงวนไว้สำหรับการใช้งานเพื่อการศึกษาเท่านั้น ไม่อนุญาตให้นำไปใช้ประโยชน์ด้านการค้า ไม่ว่าจะกรณีใดๆทั้งสิ้น อีกทั้งห้ามมิให้ตัดแปลงเนื้อหา และต้องอ้างอิงถึงเจ้าของเอกสารทุกครั้งที่มีการนำไปใช้

(ก) สภาพน้ำที่ผิวดินและปริมาณน้ำที่ตกลงบนผิวดิน

อัตราการซึมลงดินนี้ขึ้นอยู่กับปัจจัยหลายอย่าง สภาพน้ำที่ผิวดินและปริมาณน้ำที่ตกลงบนผิวดินจะเป็น

ตัวหนึ่งที่กำหนดว่าน้ำจะซึมลงดินอย่างไร ซึ่งแบ่งได้เป็น 3 ลักษณะ ดังนี้

1. สภาพที่ไม่มีน้ำขังที่ผิว (No ponding)

$$Y(t) = 0, \quad f(t) = w(t) \leq f_c(t)$$

ในสภาพที่ไม่มีน้ำขังอยู่บนผิวดิน  $Y(t) = 0$  ซึ่งเป็นช่วงที่ฝนเริ่มตกหรือช่วงเริ่มให้น้ำชลประทาน อัตราการซึมลงดินจะเท่ากับอัตราการให้น้ำที่ผิวดิน  $[f(t) = w(t)]$  แต่จะมีปริมาณไม่เกินอัตราการซึมลงดินสูงสุด  $[f(t) \leq f_c(t)]$  หากอัตราที่น้ำตกลงผิวดินมากกว่าอัตราการซึมลงดินสูงสุดแล้ว น้ำก็จะเริ่มขังที่ผิวดิน

2. สภาพมีน้ำขังที่ผิวดิน (Saturation from above)

$$Y(t) > 0, \quad f(t) = f_c(t) \leq w(t)$$

ในสภาพที่มีน้ำขังอยู่บนผิวดิน  $Y(t) > 0$  อัตราการซึมลงดินจะเท่ากับอัตราการซึมลงดินสูงสุด  $[f(t) = f_c(t)]$  แต่จะมีปริมาณไม่เกินอัตราการตกของน้ำที่ผิวดิน  $[f(t) \leq w(t)]$  หากอัตราที่น้ำตกลงผิวดินน้อยกว่าอัตราการซึมลงดินสูงสุดแล้ว น้ำก็จะซึมลงดินจนกระทั่งไม่มีน้ำขังบนผิวดิน การซึมลงดินจะเปลี่ยนกลับเป็นสภาพแรก

3. สภาพดินด้านล่างอิ่มตัวด้วยน้ำ (Saturation from below)

$$Y(t) > 0, \quad f(t) = 0$$

หากดินชั้นล่างลึกลงไปอิ่มตัวด้วยน้ำแล้ว ไม่ว่าจะมียน้ำขังบนผิวดินหรือไม่  $Y(t) > 0$  จะไม่มีการซึมลงดิน

อีกต่อไป  $[f(t) = 0]$

$f(t)$  : อัตราการซึมลงดิน (Infiltration rate)

$w(t)$  : อัตราการตกของน้ำที่ผิวดิน (Water-input rate) ซึ่งอาจเป็นน้ำฝนหรือน้ำชลประทาน

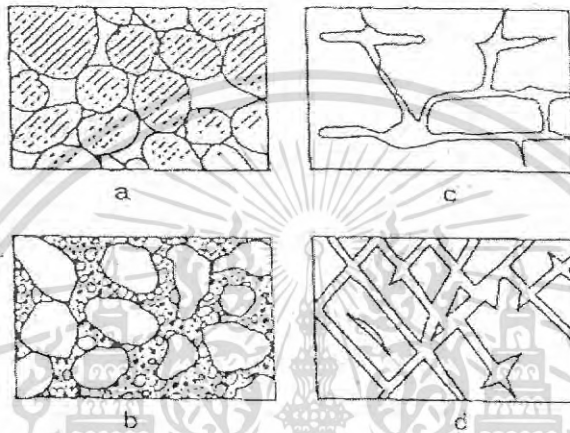
$f_c(t)$  : อัตราการซึมลงดินสูงสุด (Infiltration capacity) ค่า  $f_c$  นี้จะมีค่ามากในช่วงแรก

เอกสารนี้เป็นเอกสารที่สงวนไว้สำหรับการใช้งานเพื่อการศึกษาเท่านั้น ไม่อนุญาตให้นำไปใช้ประโยชน์ด้านการค้า ไม่ว่าจะกรณีใดๆทั้งสิ้น อีกทั้งห้ามมิให้ตัดแปลงเนื้อหา และต้องอ้างอิงถึงเจ้าของเอกสารทุกครั้งที่มีการนำไปใช้

เนื่องจากเมื่อฝนเริ่มตก ในขณะที่ดินแห้ง แรงดึงดูดความชื้นจะมีค่ามาก แต่เมื่อเวลาผ่านไปค่า  $f_c$  นี้จะลดลงและคงที่ โดยจะมีค่าใกล้เคียงกับ hydraulic conductivity ของดินอิ่มตัวด้วยน้ำ

$Y(t)$  : ความลึกของน้ำที่ขังเหนือผิวดิน (depth of ponding)

(ข) ความสามารถในการนำน้ำของดิน (Hydraulic Conductivity)



รูปที่ 2.6 แสดงลักษณะช่องว่างในดินแบบต่างๆ

(a) ลักษณะการเรียงตัวของหินทรายที่ทำให้มีช่องว่างสูง (b) การเรียงตัวของหินทรายที่ทำให้มีช่องว่างน้อย (c) มีการเรียงตัวของหินปูน (d) ชั้นหินร้าว

อัตราการซึมลงดินสูงสุด (infiltration capacity) มีค่าลดลงตามระยะเวลา โดยลดลงถึงค่าต่ำสุด และคงที่โดยค่าต่ำสุดนี้จะใกล้เคียงกับ hydraulic conductivity ของดินอิ่มตัวด้วยน้ำ โดยค่าของ hydraulic conductivity นั้นจะขึ้นอยู่กับเนื้อดินเป็นหลัก ถึงกระนั้นยังมีปัจจัยอื่นๆ ที่ทำให้อัตราการซึมมากหรือน้อยกว่านี้ อาทิ

- ชั้นอินทรีย์วัตถุที่ผิวดิน เช่น ซากใบไม้ ฮิวมัส ซึ่งอาจรวมถึงการขอนไชดินของรากพืช ไล้เดือนและแมลงในดินจะช่วยให้ดินมีช่องว่างมากขึ้น จึงทำให้ดินนำน้ำได้ดีขึ้น
- ผิวดินที่แข็งตัวเนื่องจากอากาศเย็นจัด เมื่ออากาศเย็นจัดจะทำให้น้ำในดินแข็งตัวบริเวณผิวซึ่งจะปิดกั้นไม่ให้ น้ำซึมลงดินได้
- การบวม หรือหดตัวของดิน เมื่อความชื้นในดินเปลี่ยนไป ดินบางชนิดที่มีดินเหนียวเป็นส่วนประกอบ จะมีคุณสมบัติบวมเมื่อเปียกน้ำและหดตัวเมื่อแห้ง คุณสมบัตินี้จะส่งผลทำให้การซึมลงดินในพื้นที่เดียวกัน

เอกสารนี้เป็นเอกสารที่สงวนไว้สำหรับการใช้งานเพื่อการศึกษาเท่านั้น ไม่อนุญาตให้นำไปใช้ประโยชน์ด้านการค้า ไม่ว่ากรณีใดๆทั้งสิ้น อีกทั้งห้ามมิให้ตัดแปลงเนื้อหา และต้องอ้างอิงถึงเจ้าของเอกสารทุกครั้งที่มีการนำไปใช้

เกิดการเปลี่ยนแปลงไปได้ตามฤดูกาล โดยในฤดูฝนขณะดินเปียกการซึมลงดินจะมีค่าน้อย ในขณะที่ในฤดูแล้งเมื่อดินแห้งและหดตัวจะทำให้เกิดรอยแตกซึ่งการซึมลงดินจะมาก

- การที่ตกตะกอนดินถูกชะลงมาอุดตันช่องว่างในดิน ขณะที่ฝนตกตะกอนขนาดเล็กๆ จะถูกชะล้างและพัดพาไปมาในช่องว่างระหว่างดิน ซึ่งจะทำให้การซึมลดลง
- ผลจากการกระทำของมนุษย์ เช่น ฝักรากหรือคอนกรีต ล้วนแต่เป็นตัวที่ทำให้อัตราการซึมลดลง รวมถึงการทำการเกษตรแม้ว่าการพรวนดินจะช่วยให้การซึมลงดินดีขึ้นเป็นการชั่วคราว แต่ในระยะยาวการใช้เครื่องจักรและสารเคมีในการเกษตร มีผลทำให้ดินแน่นขึ้นและลดการซึมลงดิน

#### (ค) ปริมาณความชื้นในช่องว่างเม็ดดิน

แม้ว่า เมื่อปริมาณความชื้นในดินเพิ่มขึ้นจะทำให้ค่า hydraulic conductivity เพิ่มขึ้นตาม แต่ในทางตรงข้ามจะมีผลทำให้แรงดึงดูดความชื้นในดินลดลงเมื่อพิจารณาผลรวมของแรงทั้งสองแล้วเมื่อความชื้นในดินเพิ่มขึ้นการซึมลงดินจะลดลงในกรณีที่สภาพดินชั้นล่างมีชั้นน้ำใต้ดินตื้นหรือมีน้ำใต้ดินไหลมาเพิ่มจากพื้นที่อื่นจะมีผลให้ชั้นดินที่อึดตัวด้วยน้ำสูงขึ้นมาใกล้ผิวดิน จนทำให้น้ำไม่สามารถซึมลงได้อีก

#### (ง) ความลาดชันและความขรุขระของผิวดิน

ความลาดชันและความขรุขระของผิวดินมีอิทธิพลต่อการเกิดน้ำข้างบนผิวดิน ในสภาพผิวดินที่ไม่มีน้ำข้างอัตราการซึมลงดินจะขึ้นอยู่กับอัตราการตกของน้ำที่ผิวดิน ซึ่งจะมีอัตราการซึมต่ำกว่ากรณีที่น้ำข้างบนผิวดินในพื้นที่ซึ่งมีการซึมลงดินจะขึ้นอยู่กับอัตราการตกของน้ำที่ผิวดินซึ่งจะมีอัตราการซึมต่ำกว่ากรณีที่น้ำข้างบนผิวดินในพื้นที่ซึ่งมีความลาดชันสูงและไม่มีสิ่งปกคลุมจะมีปริมาณน้ำผิวดินมากและไหลอย่างรวดเร็ว ในทางตรงข้าม จะมีปริมาณน้ำที่ซึมลงดินน้อย

#### (จ) คุณสมบัติทางเคมีของดิน

สารอินทรีย์วัตถุบางชนิดในดินมีลักษณะเป็นมัน เมื่อสัมผัสกับน้ำ จะยึดน้ำไว้ที่ผิวแทนที่จะปล่อยให้ น้ำแทรกลงไปตามช่องว่างของดิน กระบวนการลักษณะนี้ มีอิทธิพลต่อการซึมไม่มากนักในพื้นที่ป่าธรรมชาติแต่ในกรณีที่เกิดไฟป่า พื้นที่เปลี่ยนสภาพเป็นดินโล่งทำให้สารเหล่านี้ขึ้นมาสะสมบริเวณผิวดินซึ่งมีผลให้อัตราการซึมลงดินลดลงอย่างมาก

#### (ฉ) คุณสมบัติทางกายภาพและทางเคมีของน้ำ

คุณสมบัติของน้ำทั้งในด้านแรงตึงผิว (surface tension) ความหนาแน่น (density) ความหนืด (viscosity) ล้วนแล้วแต่มีอิทธิพลต่อการไหลของน้ำในดิน ซึ่งคุณสมบัติเหล่านี้ขึ้นอยู่กับอุณหภูมิ โดยเฉพาะอย่างยิ่งความหนืดของน้ำซึ่งจะเพิ่มขึ้นเมื่ออุณหภูมิต่ำมากๆ มีผลให้อัตราการซึมลงดินลดลง

เอกสารนี้เป็นเอกสารที่สงวนไว้สำหรับการใช้งานเพื่อการศึกษาเท่านั้น ไม่อนุญาตให้นำไปใช้ประโยชน์ด้านการค้า ไม่ว่ากรณีใดๆทั้งสิ้น อีกทั้งห้ามมิให้ตัดแปลงเนื้อหา และต้องอ้างอิงถึงเจ้าของเอกสารทุกครั้งที่มีการนำไปใช้

## 2.4 ทฤษฎีของดิน และ โครงสร้างของดิน ( Theory of soil and soil structure.)[8]

ดิน คือ วัตถุตามธรรมชาติที่เกิดขึ้นจากผลของการผุพังสลายตัวของหินและแร่ ต่างๆผสมคลุกเคล้ารวมกับอินทรีย์วัตถุหรืออินทรีย์สารที่ได้มาจากการสลายตัวของเศษซากพืชและสัตว์จนเป็นเนื้อเดียวกันมีลักษณะร่วนไม่เกาะกันแข็งเป็นหิน เกิดขึ้นปกคลุมพื้นผิวโลกอยู่เป็นชั้นบางๆและเป็นที่ยึดเหนี่ยวในการเจริญเติบโตของพืช ในที่นี้เราจะกล่าวถึงส่วนประกอบของดินที่เป็นส่วนประกอบหลักของดิน นั่นก็คือ ส่วนที่เป็นอนินทรีย์วัตถุ

อนินทรีย์วัตถุ หรือ แร่ธาตุ เป็นส่วนประกอบที่มีปริมาณมากที่สุดในดินทั่วไปได้มาจากการผุพังสลายตัวของหินและแร่ธาตุต่างๆอนินทรีย์วัตถุอยู่ในดินในลักษณะของชิ้นส่วนที่เรียกว่าอนุภาคดินซึ่งมีหลายรูปร่างและมีขนาดแตกต่างกันไป แบ่งได้เป็น 3 กลุ่มใหญ่ ได้แก่

### 2.4.1 ดินทราย (Sandy Soil)

ดินทราย(Sandy Soil) เกิดจากเมล็ดดินขนาดใหญ่(2.00-0.05 มม.) มาจับตัวรวมกัน ดินประเภทนี้จะมีช่องว่างระหว่างเม็ดดินกว้างที่สุด ทำให้ดินชนิดนี้มีความสามารถในการอุ้มน้ำได้ไม่ดึ๊งง่ายต่อการกัดกร่อน ความสามารถในการแลกเปลี่ยนธาตุอาหารต่ำ ความอุดมสมบูรณ์ตามธรรมชาติต่ำมาก วัตถุต้นกำเนิดดินเป็นตะกอนเนื้อหยาบหรือตะกอนทรายชายฝั่งทะเลพบได้ทั้งในพื้นที่ลุ่มและพื้นที่ดอนประเภทของดินทราย

1. ดินทรายในพื้นที่ดอนพบตามบริเวณหาดทรายสันทรายชายทะเลหรือบริเวณพื้นที่ลาดถึงที่ลาดเชิงเขาเนื้อดินเป็นทรายตลอดมีการระบายน้ำดีมากจนถึงดีมากเกินไปดินไม่อุ้มน้ำและเกิดการชะล้างพังทลายได้ง่ายเนื่องจากอนุภาคดินมีการเกาะตัวกันน้อยมากการใช้ประโยชน์ส่วนใหญ่ใช้ปลูกพืชไร่เช่น มันสำปะหลังสับปะรด

2. ดินทรายในพื้นที่ลุ่มมักพบตามที่ลุ่มระหว่างสันหาดหรือเนินทรายชายฝั่งทะเลหรือบริเวณที่ราบที่อยู่ใกล้ภูเขาหินทรายดินมีการระบายน้ำเร็วหรือค่อนข้างเร็วการใช้ประโยชน์ทำนาปลูกพืชไร่เช่น อ้อยและปอและบางแห่งเป็นที่ทิ้งร้างหรือทุ่งหญ้าธรรมชาติ

3. ดินทรายที่มีชั้นดานอินทรีย์เป็นดินทรายที่มีลักษณะเฉพาะตัวคือชั้นดินตอนบนจะเป็นทรายสีขาวแต่เมื่อขุดลึกลงไปจะพบชั้นทรายสีน้ำตาลปนแดงที่เกิดจากการจับตัวกันของสารประกอบพวกเหล็กและอินทรีย์วัตถุอัดแน่นเป็นชั้นดานในตอนล่างฤดูแล้งชั้นดานในดินนี้จะแห้งแข็งมากจนรากพืชไม่สามารถชอนไชผ่านไปได้ส่วนใหญ่เป็นพื้นที่ป่าเสม็ดป่าชายหาดป่าละเมาะบางแห่งใช้ปลูกมะพร้าวมะม่วงหิมพานต์

### 2.4.2 ดินร่วน (Loam)

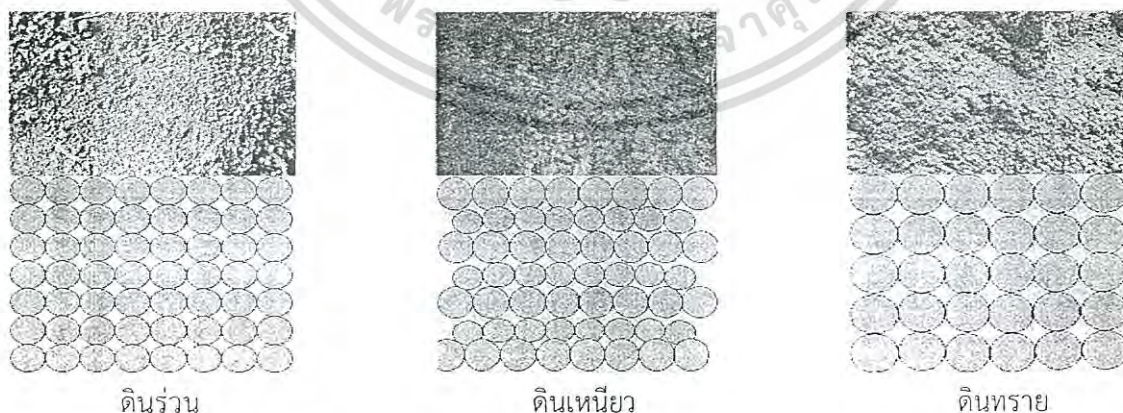
ดินร่วน (Loam) เป็นดินที่มีเนื้อดินไม่ละเอียดหรือหยาบมากเกินไปมีการอุ้มน้ำและการระบายน้ำดี พอเหมาะกับความต้องการของพืชทั่วไปจึงจัดเป็นเนื้อดินที่เหมาะสมสำหรับการเพาะปลูกในธรรมชาติมักไม่ค่อยพบแต่จะพบดินที่มีเนื้อดินใกล้เคียงกันมากกว่า สีของดินสีของดินจะทำให้เราทราบถึง

เอกสารนี้เป็นเอกสารที่สงวนไว้สำหรับการใช้งานเพื่อการศึกษาเท่านั้น ไม่อนุญาตให้นำไปใช้ประโยชน์ด้านการค้าไม่ว่ากรณีใดๆทั้งสิ้น อีกทั้งห้ามมิให้ตัดแปลงเนื้อหา และต้องอ้างอิงถึงเจ้าของเอกสารทุกครั้งที่มีการนำไปใช้

ความอุดมสมบูรณ์ปริมาณอินทรีย์วัตถุที่ปะปนอยู่และแปรสภาพเป็นฮิวมัสในดินทำให้สีของดินต่างกันถ้ามีฮิวมัสน้อยสีจะจางลงมีความอุดมสมบูรณ์น้อยในธรรมชาติ ดินร่วนมักพบโดยปะปนอยู่กับดินชนิดอื่นๆ โดยอาจเป็นดินร่วนปนทราย ดินร่วนปนเหนียว หรือ แบบอื่นๆ เป็นต้น ช่องว่างระหว่างเมล็ดดินของดินร่วน จะมากกว่าของดินเหนียว แต่จะน้อยกว่าของดินทราย เมื่อก้าวถึงดินดินร่วนในทางเกษตรกรรม จะนึกถึงดินที่มีอนุภาคของทราย ทรายแป้ง และดินเหนียวในปริมาณใกล้เคียงกัน (อนุภาคขนาดดินเหนียว ร้อยละ 7-27 อนุภาคขนาดทรายแป้งร้อยละ 28-50 และมีอนุภาคขนาดทรายน้อยกว่าร้อยละ 52) ในสภาพดินแห้งจะจับกันเป็นก้อนแข็งพอประมาณ ในสภาพดินชื้นจะยึดหยุ่นได้บ้างเมื่อสัมผัสหรือคลึงดิน จะรู้สึกนุ่มมือแต่อาจจะรู้สึกสากมืออยู่บ้างเล็กน้อยเมื่อกำดินให้แน่นในฝ่ามือแล้วคลายมือออก ดินจะจับกันเป็นก้อนไม่แตกออกจากกัน

### 2.4.3 ดินเหนียว (Clay)

ดินเหนียว (Clay) เป็นดินเนื้อละเอียด ซึ่งมีคุณสมบัติ ทึบน้ำ เหนียว เมื่อให้น้ำในปริมาณที่เหมาะสม จะสามารถนำมาปั้นเป็นรูปทรงต่าง ๆ ได้ เมื่อนำไปเผาจะแปรสภาพเป็นวัตถุแข็ง ไม่เปลี่ยนรูปด้วยคุณสมบัติที่ทึบน้ำ ทำให้ดินเหนียวมีความสามารถในการเพาะปลูกต่ำ มีพืชเพียงไม่กี่ชนิดที่ขึ้นในดินเหนียวได้ดี ดินเหนียวจะมีช่องว่างในดินขนาดเล็กที่สุด เนื่องมาจากการจัดเรียงตัวของดินขนาดเล็กมาก ทำให้เกิดการเกาะตัวของดินอย่างหนาแน่นโดยดินเหนียวเกิดจากตะกอนที่พัดพามาที่บถมกัน ธรรมชาติของดินเหนียว จะประกอบด้วยแร่เคลอิไนต์ (kaolinite) เป็นส่วนใหญ่ โดยแร่เคลอิไนต์ที่พบในดินเหนียวมักมีผลึกที่ไม่สมบูรณ์และมีขนาดเล็กนอกจากนี้ยังพบแร่ดินชนิดอื่นๆ อาทิ มอนมอริลโลไนต์ (monmorillonite) อิลไลต์ (illite) ควอร์ทซ์ (quartz) แร่ไมกา (mica) แร่เหล็กออกไซด์ (iron oxide) รวมทั้งมักมีสารอินทรีย์ปะปนอยู่เสมอดินเหนียวมีสีต่างๆ เกิดจากการมีแร่ธาตุชนิดต่างๆ ในปริมาณที่แตกต่างกัน อาทิ สีดำเทา ครีมน้ำตาล ดินเหนียวที่มีสีเทาหรือดำนั้น จะมีอินทรีย์วัตถุปนมากส่วนดินเหนียวสีครีมหรือน้ำตาล มาจากแร่เหล็กที่ปะปนอยู่ โครงสร้างและการแบ่งขนาดของดินชนิดต่าง



รูปที่ 2.7 โครงสร้างของดินร่วน - ดินเหนียว - ดินทราย

เอกสารนี้เป็นเอกสารที่สงวนไว้สำหรับการใช้งานเพื่อการศึกษาเท่านั้น ไม่อนุญาตให้นำไปใช้ประโยชน์ด้านการค้า ไม่ว่าจะกรณีใดๆทั้งสิ้น อีกทั้งห้ามมิให้ตัดแปลงเนื้อหา และต้องอ้างอิงถึงเจ้าของเอกสารทุกครั้งที่มีการนำไปใช้

ตารางที่ 2.2 การแบ่งกลุ่มขนาดของดิน(Soil separate)[8]

Seperate	(1) Diameter(mm.)	(2) Diameter(mm.)
Very coarse sand ทรายหยาบ มาก	2.00 - 1.00	-
Coarse sand ทรายหยาบ	1.00 - 0.50	2.00 - 0.20
Medium sand ทรายปานกลาง	0.50 - 0.25	-
Find sand ทรายละเอียด	0.25 - 0.10	0.20 - 0.02
Very find sand ทรายละเอียด มาก	0.10 - 0.05	-
Silt ทรายแป้ง	0.05 - 0.002	0.02 - 0.002
Clay ดินเหนียว	< 0.002	< 0.002

#### 2.4.4 ความชื้นในดิน (Soil Moisture)

นอกจากน้ำที่ปรากฏอยู่บนผิวดินตามอ่างเก็บน้ำทะเลสาบและอื่นๆแล้วยังมีความชื้นที่เกาะอยู่ตามเม็ดดินซึ่งความชื้นเหล่านี้เกิดจากการซึมของหยดน้ำลงดินและถูกดูดซับโดยอนุภาคของดินไว้ ความชื้นดังกล่าวอยู่ในดินจนกระทั่งเกิดการระเหยหรือถูกดูดซับโดยรากพืชนำไปใช้ตามปกติความชื้นในดินจะมีการเปลี่ยนแปลงตลอดเวลาขึ้นอยู่กับปริมาณน้ำฝนและอัตราการระเหยของน้ำและขึ้นอยู่กับความจุน้ำของในดิน (Field of Capacity of Water) ซึ่งอยู่กับประเภทของเนื้อดินเช่นดินทรายจะมีความจุน้ำของดินต่ำสุดส่วนดินเหนียวจะมีความจุน้ำสูงสุดทั้งนี้ความหยาบของเนื้อดินจะยอมให้น้ำผ่านได้ง่ายกว่าเนื้อดินที่ละเอียด

#### 2.4.5 ระบอบความชื้นในดิน (Soil Moisture Regime)

ระบอบความชื้นในดินได้ถูกศึกษาโดย C.W.Thornthwaite นักภูมิอากาศวิทยาโดยแบ่งระบอบความชื้นในดินออกเป็น 8 กลุ่มด้วยกันคำว่า "ระบอบ" หมายถึงลักษณะเด่นหรือรูปแบบที่โดดเด่นเกี่ยวกับการเปลี่ยนแปลงที่เกิดกับความชื้นในดินในรอบปีสามารถจำแนกได้ดังนี้

1) ระบอบศูนย์สูตร (Equatorial Regime) เป็นระบอบความชื้นในดินที่ค่าของน้ำฝนจะสูงกว่าค่าศักยภาพการระเหยของน้ำจากดินและพืชตลอดปีปริมาณความชื้นที่เหลือซึ่งปรากฏออกมาในรูปของน้ำไหลผ่านผิวดินมากตลอดทั้งปีเช่นเดียวกันจึงทำให้การเพาะปลูกทำได้ตลอดทั้งปีและการเจริญเติบโตของพืชพรรณธรรมชาติมีอัตราสูง

เอกสารนี้เป็นเอกสารที่สงวนไว้สำหรับการใช้งานเพื่อการศึกษาเท่านั้น ไม่อนุญาตให้นำไปใช้ประโยชน์ด้านการค้าไม่ว่ากรณีใดๆทั้งสิ้น อีกทั้งห้ามมิให้ตัดแปลงเนื้อหา และต้องอ้างอิงถึงเจ้าของเอกสารทุกครั้งที่มีการนำไปใช้

2) ระเบียบสะวันนา (Tropical Wet-Dry Regime) ระเบียบนี้ความชื้นในดินตลอดปีมีค่อนข้างมากปริมาณน้ำฝนจะตกน้อยลงในช่วงบริเวณที่ได้รับแสงเฉียงจากดวงอาทิตย์เดือนพฤศจิกายนถึงเดือนกุมภาพันธ์ส่วนช่วงเดือนมิถุนายนถึงเดือนกันยายนปริมาณน้ำฝนจะมีมากทำให้ความชื้นในดินมีมาก แต่ความชื้นในดินจะขาดในช่วงฤดูแล้งซึ่งส่งผลต่อพืชพรรณอันเนื่องมาจากความไม่แน่นอนของลมประจำถิ่นที่พัดผ่าน

3) ระเบียบเมดิเตอร์เรเนียน (Mediterranean Regime) เป็นระเบียบความชื้นในดินที่พบรอบๆ ทะเลเมดิเตอร์เรเนียนและในบริเวณชายฝั่งตะวันตกที่ตั้งอยู่ระหว่างละติจูด 30 - 50 องศา ค่ำกึ่งภาพการระเหยของน้ำจากดินและพืชจะสูงมากในฤดูร้อนแต่การขาดแคลนความชื้นในดินปรากฏในช่วงฤดูร้อนเช่นเดียวกันส่วนในช่วงฤดูหนาวความชื้นในดินจะเพิ่มขึ้นแต่ไม่ถึงกับเกิดสภาพความชื้นเหลือการเพาะปลูกในบริเวณนี้จะได้ผลดีจึงต้องอาศัยการชลประทานเพื่อเพิ่มความชื้นในดินให้พอเพียงกับความต้องการของพืช

4) ระเบียบทะเลทรายร้อน (Tropical Desert Regime) ตามปกติแล้วความชื้นในดินระบอบนี้จะขาดแคลนเกือบตลอดทั้งปีความจุน้ำของดินจะมีค่าใกล้เคียงศูนย์ตลอดเวลา ค่ำกึ่งภาพการระเหยของน้ำจากดินและพืชสูงตลอดปีแต่หยาดน้ำฟ้าที่ตกลงมามีค่อนข้างน้อยด้วยเหตุนี้เองจึงทำให้พืชพรรณที่ปรากฏอยู่ในเขตทะเลทรายเบาบางมาก

5) ระเบียบทะเลทรายภาคพื้นทวีป (Continental Desert Regime) เป็นระเบียบความชื้นที่ปรากฏอยู่ตอนกลางของอเมริกาเหนือหรือทะเลทรายในเขตอบอุ่นตามปกติแล้วค่าของหยาดน้ำฟ้าจะต่ำกว่าค่า ค่ำกึ่งภาพการระเหยของน้ำจากดินและพืชตลอดทั้งปีดังนั้นสภาพทั่วไปของความชื้นในดินจึงขาดแคลนจะมีความชื้นลงไปเพิ่มเติมในดินบ้างในช่วงฤดูหนาวแต่มีปริมาณเพียงเล็กน้อยไม่พอเพียงกับความต้องการของพืช

6) ระเบียบความชุ่มชื้นภาคพื้นทวีป (Continental Humid Regime) เป็นระเบียบความชื้นในดินอยู่ติดกับระเบียบเมดิเตอร์เรเนียน ค่ำกึ่งภาพการระเหยของน้ำจากดินและพืชสูงกว่าปริมาณหยาดน้ำฟ้าที่ตกลงมาในระหว่างเดือนมิถุนายนถึงเดือนตุลาคมดังนั้นความชื้นในดินขาดจะเกิดขึ้นเพียงเล็กน้อยในช่วงฤดูร้อนส่วนปริมาณน้ำเหลือจะเกิดในฤดูใบไม้ผลิ ส่วนช่วงฤดูหนาวค่าการระเหยของน้ำจากดินและพืชมีค่าใกล้เคียงศูนย์ระหว่างเดือนธันวาคมถึงเดือนกุมภาพันธ์

7) ระเบียบชุ่มชื้นชายฝั่งตะวันตก (Wet West Coastal Regime) เป็นระเบียบความชื้นที่ปรากฏอยู่ในเขตอบอุ่นชายฝั่งตะวันตกของทวีปโดยเฉพาะอย่างยิ่งในแถบยุโรปตะวันตก ลักษณะทั่วไปของค่าหยาดน้ำฟ้าและ ค่ำกึ่งภาพการระเหยของน้ำจากดินและพืชจะแตกต่างกันไม่มากนักในฤดูร้อนค่าของหยาด

เอกสารนี้เป็นเอกสารที่สงวนไว้สำหรับการใช้งานเพื่อการศึกษาเท่านั้น ไม่อนุญาตให้นำไปใช้ประโยชน์ด้านการค้าไม่ว่ากรณีใดๆทั้งสิ้น อีกทั้งห้ามมิให้ตัดแปลงเนื้อหา และต้องอ้างอิงถึงเจ้าของเอกสารทุกครั้งที่มีการนำไปใช้

น้ำฟ้าจะลดลงในทางตรงกันข้ามค่าศักยภาพการระเหยของน้ำจากดินและพืชจะเพิ่มขึ้นโดยเฉลี่ยแล้ว ความชื้นในดินของระบบนี้จะเหลือตลอดทั้งปีจึงเป็นผลทำให้การเพาะปลูกกระทำได้ดีตลอดทั้งปี เช่นเดียวกันซึ่งเป็นที่น่าสังเกตว่าในระบบความชื้นแบบชุ่มชื้นชายฝั่งตะวันตกปริมาณน้ำที่ไหลลงตามลำน้ำจะสม่ำเสมอตลอดทั้งปีจึงสะดวกในการนำมาใช้ในการเดินเรือและผลิตพลังไฟฟ้าอย่างพอเพียง

8) ระบบอาร์กติก (Arctic Regime) เนื่องจากพื้นดินปกคลุมด้วยน้ำแข็งตลอดระยะเวลา 9 เดือน (กันยายน - พฤษภาคม) ดังนั้นค่าศักยภาพการระเหยของน้ำจากดินและพืชจึงเป็นศูนย์แต่ในช่วงฤดูร้อนที่เหลืออีกประมาณ 3 เดือนค่าศักยภาพการระเหยของน้ำจากดินและพืชจะสูงกว่าค่าของหยาดน้ำฟ้า อย่างไรก็ตามเป็นที่น่าสังเกตว่าระบบความชื้นในดินที่น้ำมากแล้วไ้ข้างบนจะเข้าไปเกี่ยวข้องกับลักษณะภูมิอากาศอย่างใกล้ชิดดังนั้นถ้าหากผู้อ่านต้องการทราบว่าจะระบบความชื้นในดินแต่ละชนิดจะปรากฏอยู่ในบริเวณใดของโลกจะใช้เปรียบเทียบกับการจำแนกเขตภูมิอากาศของโลกสำหรับสภาพงบทูลของความชื้นในดินนับว่าเป็นสิ่งแวดล้อมทางธรรมชาติที่สำคัญต่อสิ่งมีชีวิตการพิจารณาในเรื่องความชื้นเหลือหรือความชื้นขาดไม่เพียงแต่จะทำให้เข้าใจเกี่ยวกับการปรับตัวของพืชและสัตว์ให้เข้ากับสภาพแวดล้อมเท่านั้นแต่ยังช่วยให้เข้าใจโอกาสและข้อจำกัดในการใช้ทรัพยากรธรรมชาติของมนุษย์อีกด้วย

#### 2.4.6 น้ำใต้ดิน (Ground Water) [7]

น้ำใต้ดินหมายถึงน้ำที่มีอยู่ในชั้นดินบนผิวโลกซึ่งอยู่ในช่องว่างระหว่างดินและหินซึ่งต้นกำเนิดของน้ำใต้ดินจะมาจากน้ำในบรรยากาศและจากน้ำผิวดินต่างๆโดยปกติคุณภาพของน้ำใต้ดินมักมีคุณภาพดีอันเนื่องมาจากการถูกรองด้วยชั้นดินและหินแต่อาจมีแร่ธาตุและสารเคมีบางชนิดเจือปนอยู่ในปริมาณมากกว่าน้ำผิวดินน้ำใต้ดินเป็นส่วนหนึ่งของน้ำฝนที่ตกลงมายังผิวโลกและไหลซึมลงไปตามชั้นดินลงไปถึงชั้นที่น้ำมีการสะสมตัวรวมกันจึงมีผลทั้งในแง่ของการละลายการพัดพาการทับถมโดยน้ำใต้ดินมีการกระทำเพียงสองชนิดคือการกักเก็บและการทับถมซึ่งเกิดจากการไหลซึมผ่านชั้นดินและหินลงไป ในบางพื้นที่น้ำใต้ดินจะมีการไหลเหมือนกับน้ำบนผิวดินเพียงแต่ว่าอยู่ลึกจากผิวดินลงไปซึ่งมักพบเสมอในบริเวณที่เป็นถ้ำ ฤดูกาลก็เป็นปัจจัยหนึ่งที่สำคัญต่อการพัดพาของน้ำใต้ดินเนื่องจากมีน้ำหลากมากทำให้เกิดการพัดพาการกักเก็บมากขึ้นตามไปด้วยดังนั้นน้ำใต้ดินจึงถือว่าเป็นกระบวนการระบายน้ำออกจากผิวดินได้อีกแบบหนึ่งเช่นกัน

### 2.5 ทฤษฎีกำหนดการให้น้ำพืช (Watering plants) [9]

การให้น้ำแก่พืช หมายถึง การเติมน้ำลงในช่องว่างระหว่างเม็ดดินเพื่อให้ดินมีความชุ่มชื้นพอเหมาะกับการเจริญเติบโตของพืชน้ำที่เติมลงไปจะต้องไม่มากเกินไปจนเป็นอันตรายต่อรากพืช โดยทั่วไปน้ำที่เติมลงไปจะต้องมีสัดส่วนที่เหมาะสมหรือประมาณร้อยละ 25 ขององค์ประกอบของดินที่ดี

วัตถุประสงค์ของการให้น้ำเพื่อให้ดินมีความชุ่มชื้นพอเหมาะกับการเจริญเติบโตของพืชพืชสามารถนำไปใช้ได้ทั้งหมดน้ำยังช่วยชะล้างหรือควบคุมความเข้มข้นของเกลือในดินบริเวณเขตรากพืช เอกสารนี้เป็นเอกสารที่สงวนไว้สำหรับการใช้งานเพื่อการศึกษาเท่านั้น ไม่อนุญาตให้นำไปใช้ประโยชน์ด้านการค้า ไม่ว่าจะกรณีใดๆทั้งสิ้น อีกทั้งห้ามมิให้ดัดแปลงเนื้อหา และต้องอ้างอิงถึงเจ้าของเอกสารทุกครั้งที่มีการนำไปใช้

ไม่ให้มีความเข้มข้นมากเกินไปจนเป็นอันตรายต่อพืชและเพื่อให้ดินอ่อนนุ่มสะดวกต่อการไถเตรียมดินและรากพืชสามารถขยายตัวได้ดีในดินความสำคัญของการให้น้ำพืช คือเพื่อให้พืชมีน้ำใช้อย่างเพียงพอและทันต่อความต้องการอยู่ตลอดเวลาที่ทำการเพาะปลูกป้องกันความเสียหายของพืชจากการขาดน้ำและเพิ่มผลผลิตพืชไม่ชะงักการเจริญเติบโตจากการขาดน้ำ และช่วยเพิ่มประสิทธิภาพการใช้น้ำของพืชเนื่องจากรากพืชจะดูดซึมแร่ธาตุอาหารในรูปของสารละลายซึ่งจำเป็นต้องใช้น้ำเป็นตัวทำละลาย

### 2.5.1 แหล่งน้ำที่พืชใช้ได้ (Water Resource Use)

1. ความชื้นหรือน้ำที่เหลืออยู่ในดินหลังจากทำการเก็บเกี่ยวพืชผลไปแล้ว
2. น้ำฝนที่ตกลงในพื้นที่เพาะปลูกในส่วนที่เป็นประโยชน์สำหรับพืชคือส่วนของน้ำในพืช

สามารถดูนำไปใช้ได้

3. แหล่งน้ำใต้ดินที่ไหลซึมขึ้นมาตามช่องว่างระหว่างเม็ดดิน
4. น้ำชลประทานหรือการให้น้ำพืชซึ่งเป็นน้ำที่ให้โดยมนุษย์เป็นปริมาณน้ำที่พืชต้องการเพิ่มเติม

นอกเหนือจากสามส่วนแรก

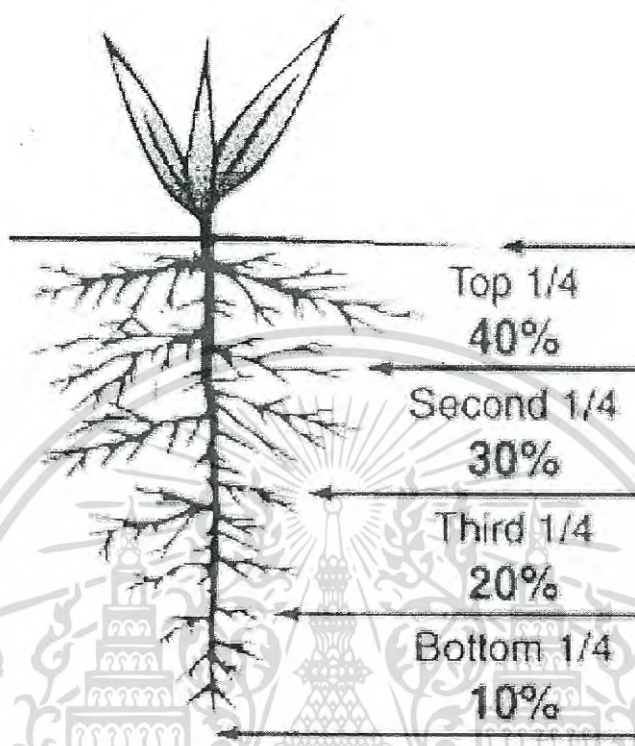
### 2.5.2 ปริมาณน้ำฝนที่เป็นประโยชน์ต่อพืช (The rainfall useful plants.)

ปริมาณน้ำฝนที่เป็นประโยชน์ต่อพืชหมายถึงปริมาณน้ำฝนที่ตกลงในพื้นที่เพาะปลูกและดินสามารถเก็บกักไว้ให้พืชใช้ได้ทั้งหมดปริมาณน้ำฝนที่ตกลงในพื้นที่จะต้องไม่มากจนเป็นอันตรายต่อพืช

### 2.5.3 ข้อมูลที่ต้องทราบก่อนการให้น้ำพืช (Tips for Watering Plants)

ปริมาณน้ำที่พืชต้องการที่ระยะเวลาต่างๆการให้น้ำพืชจะต้องให้เมื่อพืชต้องการเป็นสิ่งที่ดีที่สุดแต่ในทางปฏิบัติแล้วพืชต้องการน้ำอยู่ตลอดเวลาเนื่องจากพืชใช้น้ำตลอดเวลาแต่ปริมาณน้ำที่ต้องการในแต่ละช่วงเวลาอาจจะแตกต่างกันไปขึ้นอยู่กับช่วงของอายุการเจริญเติบโต สภาพอากาศ เป็นต้นดังนั้นจึงมีความจำเป็นที่จะต้องเก็บน้ำไว้ให้พืชได้ใช้อยู่ตลอดเวลาอันหมายความว่าดินจะต้องมีความสามารถในการเก็บน้ำไว้ได้อย่างพอเพียงต่อความต้องการของพืชแต่เมื่อพืชดูดน้ำจากดินไปใช้ปริมาณน้ำในดินก็จะลดลงถ้าหากไม่มีฝนตกลงมาหรือไม่มีการให้น้ำแก่ดินเพื่อชดเชยน้ำที่สูญเสียไปเมื่อถึงจุดๆ หนึ่งพืชจะชะงักเนื่องจากมีน้ำใช้ไม่เพียงพอกับการคายน้ำจึงจำเป็นต้องทราบจุดต่ำสุดที่จะยอมให้น้ำในดินลดลงได้เมื่อน้ำในดินลดลงจนเกือบจะถึงจุดที่ยอมให้ลดลงได้ก็มีความจำเป็นที่จะต้องทำการให้น้ำแก่พืชก่อนที่จะกระทบกระเทือนต่อพืชสิ่งที่ต้องทราบอีกอย่างหนึ่งก็คือปริมาณน้ำที่ดินสามารถเก็บกักเอาไว้ได้ซึ่งจะเป็นตัวกำหนดว่าพืชจะสามารถใช้น้ำได้นานเท่าไรโดยไม่มีกรให้น้ำแก่ดินนอกจากนี้สิ่งที่สำคัญที่สุดก็คือปริมาณน้ำที่จะหามาทำการชลประทานหรือให้แก่พืชหากรู้ว่าควรจะให้เมื่อไร ปริมาณเท่าไรแต่ไม่สามารถจัดหาน้ำมาได้ตามปริมาณความต้องการก็จะไม่เกิดประโยชน์อะไรจำเป็นอย่างยิ่งที่จะต้องมีแหล่งน้ำที่เพียงพอทั้งปริมาณและคุณภาพกำหนดการให้น้ำพืชเป็นสิ่งสำคัญที่สุดที่จะต้องทราบในการให้น้ำแก่พืช คือต้องรู้ว่าพืชใช้น้ำเท่าไร ควรให้เมื่อใด และจะต้องให้นานเท่าใด

เอกสารนี้เป็นเอกสารที่สงวนไว้สำหรับการใช้งานเพื่อการศึกษาเท่านั้น ไม่อนุญาตให้นำไปใช้ประโยชน์ด้านการค้าไม่ว่ากรณีใดๆทั้งสิ้น อีกทั้งห้ามมิให้ตัดแปลงเนื้อหา และต้องอ้างอิงถึงเจ้าของเอกสารทุกครั้งที่มีการนำไปใช้



รูปที่ 2.8 รูปแสดงการดูดน้ำของรากพืช

โดยความชื้นที่พืชนำไปใช้ได้มีสูตรคือ

$$\text{ความชื้นที่ยอมให้พืชนำไปใช้ได้} = \frac{1}{4} \times \text{ความลึกของราก} \times \text{น้ำที่ดินอุ้มไว้ให้พืชนำไปใช้ได้} \times \frac{1}{2} \text{ kpa (2.1)}$$

โดยระยะเวลาในการให้น้ำมีสูตรคือ

$$\text{ระยะเวลาในการให้น้ำ} = \frac{\text{ปริมาณน้ำที่จะให้ในแต่ละรอบเวร}}{\text{อัตราการให้น้ำของระบบให้น้ำที่เลือกใช้}} \text{ วัน (2.2)}$$

เอกสารนี้เป็นเอกสารที่สงวนไว้สำหรับการใช้งานเพื่อการศึกษาเท่านั้น ไม่อนุญาตให้นำไปใช้ประโยชน์ด้านการค้า  
ไม่ว่ากรณีใดๆทั้งสิ้น อีกทั้งห้ามมิให้ตัดแปลงเนื้อหา และต้องอ้างอิงถึงเจ้าของเอกสารทุกครั้งที่มีการนำไปใช้

ตารางที่ 2.3 ระดับความเครียดเมตริกที่สมควรให้น้ำชลประทานกับพืชชนิดต่าง ๆ ที่ปลูกในดินลึกและระบายน้ำได้ดีเพื่อให้ได้ผลผลิตสูงสุด[10]

ชนิดพืช	ความเครียดเมตริก, บาร์
ถั่วเมล็ดแบน (beans)	0.75 - 2.00
กะหล่ำดอก	0.60 - 0.70
ถั่วเมล็ดกลม (peas)	0.30 - 0.50
เซเลอรี (celery)	0.20 - 0.30
ข้าวโพดหวาน	0.50 - 1.00
หอมใหญ่ - ระยะแรกของการเติบโต	0.45- 0.55
- ระยะกำลังมีหัว	0.55 - 0.65
มันฝรั่ง	0.30 - 0.50
แครร์รอต	0.55 - 0.65
บล็อกโคลี่ - ระยะแรกของการเติบโต	0.45 - 0.55
- หลังจากแตกตาออก	0.60 - 0.70
กะหล่ำปลี	0.60 - 0.70
สั้ม	0.20 - 1.00
ไม้ผลผลัดใบ	0.50 - 0.80
องุ่น - ระยะแรกของการเติบโต	0.40 - 0.50
- ระยะเมื่อโตเต็มที่	1.00
สตรอเบอร์รี่	0.20 - 0.30
แคนตาลูป (cantaloupe)	0.35 - 0.40

เอกสารนี้เป็นเอกสารที่สงวนไว้สำหรับการใช้งานเพื่อการศึกษาเท่านั้น ไม่อนุญาตให้นำไปใช้ประโยชน์ด้านการค้าไม่ว่ากรณีใดๆทั้งสิ้น อีกทั้งห้ามมิให้ตัดแปลงเนื้อหา และต้องอ้างอิงถึงเจ้าของเอกสารทุกครั้งที่มีการนำไปใช้

มะเขือเทศ		0.80 - 1.50
กล้วย		0.3 - 1.50
ข้าวโพด	- ระยะเติบโตทางต้นและใบ	0.5
	- ระยะแก่	8.00 - 12.00
ธัญพืชเมล็ดเล็ก	- ระยะเติบโตทางต้นและใบ	0.40 - 0.50
	- ระยะแก่	8.00 - 12.00

## 2.6 ทฤษฎีการให้น้ำแบบสปริงเกอร์(The water sprinkler.) [11]

การให้น้ำแบบสปริงเกอร์คือการให้น้ำโดยการฉีดน้ำออกจากหัวสปริงเกอร์ขึ้นไปในอากาศแล้วให้เม็दनน้ำตกลงมาบนแปลงเพราะปลูก โดยมีรูปทรงการแผ่กระจายของเม็दनน้ำที่สม่ำเสมอ โดยมีลักษณะเช่นเดียวกับฝน ส่วนประกอบของการให้น้ำแบบสปริงเกอร์

1. เครื่องสูบน้ำ (Pumping unit) ทำหน้าที่สูบน้ำจากแหล่งน้ำและดันไปตามท่อผ่านหัวฉีดไปสู่อากาศ โดยอาศัยกำลังจากมอเตอร์ หรือเครื่องยนต์
2. ท่อประธาน (Main line) ทำหน้าที่นำน้ำจากเครื่องสูบน้ำไปยังท่อแขนง
3. ท่อแขนง (Lateral pipe) ทำหน้าที่นำน้ำจากท่อประธานไปยังหัวฉีด
4. หัวฉีด (Sprinkler Head) ทำหน้าที่ฉีดน้ำออกเป็นฝอยคล้ายกับฝน โดยปกติจะมี 2 รู รูฉีดน้ำออกไปได้ไกลอีกรูหนึ่งฉีดระยะใกล้

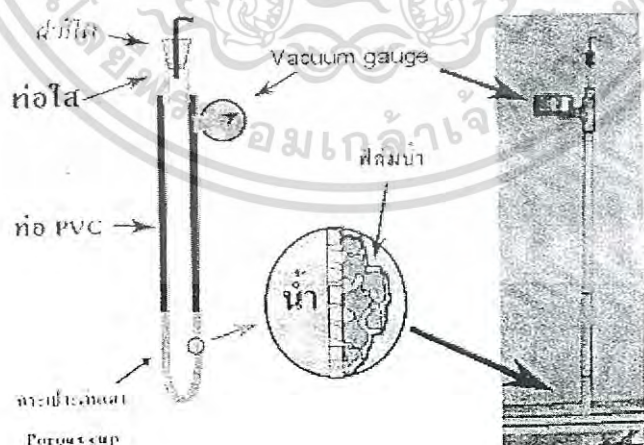
## 2.7 เครื่องวัดความชื้นในดิน ( Measurement of Soil Moisture ) [12]

เครื่องมือสำหรับใช้ศึกษาความชื้นในดินโดยวัดสมบัติบางประการของดินที่สัมพันธ์กับปริมาณน้ำเมื่อวัดด้วยเครื่องมือแล้วจึงนำมาเทียบหาปริมาณน้ำจากเส้นกราฟมาตรฐานเครื่องมือที่นิยมใช้ได้แก่ เทนซิโอมิเตอร์ แห่งวัดความชื้น และเครื่องวัดการกระจายของนิวตรอน

### 2.7.1 เทนซิโอมิเตอร์ (Tensiometer)

เทนซิโอมิเตอร์เป็นเครื่องมือวัดความเครียดเมตริก (metric suction) ของความชื้นในดินที่ใช้กันอย่างแพร่หลายเพื่อกำหนดตารางและปริมาณการให้น้ำชลประทานแก่พืชและยังสามารถใช้ศึกษาทดลองเกี่ยวกับความชื้นในดินได้อย่างกว้างขวาง ความเครียดเมตริกของความชื้นในดินเกิดจากการที่อนุภาคของดินดูดยึดความชื้นไว้ที่ผิวของอนุภาคและในช่องว่างขนาดเล็กในดิน (Capillary pores) จึงทำให้ความชื้นในดินอยู่ในสภาวะที่ไม่อิสระซึ่งจะมีผลถึงความยากง่ายในการที่รากพืชจะดูดน้ำไปใช้จากดินที่ระดับความชื้นหนึ่งๆ กล่าวคือพืชจะต้องใช้พลังงานต่อหนึ่งหน่วยปริมาตรของน้ำอย่างน้อยเท่ากับความเครียดของน้ำในดินจึงจะดูดน้ำไปใช้ได้การบอกปริมาณน้ำในดินเพียงอย่างเดียวเป็นการไม่เพียงพอเพราะเราไม่ทราบว่าน้ำในดินขณะนั้นมีระดับความเป็นประโยชน์ต่อพืชมากน้อยแค่ไหน แต่ถ้าเราบอกเป็นระดับความเครียดของน้ำในดินบอกให้ทราบถึงระดับความเป็นประโยชน์ของน้ำในดินต่อพืชในขณะนั้นๆ ซึ่งระดับความเครียดเมตริกของน้ำในดินสามารถวัดโดย เทนซิโอมิเตอร์ (อิทธิสุนทร นันทกิจ, 2544) องค์ประกอบของเทนซิโอมิเตอร์ แสดงอยู่ในภาพที่ 2.7 ซึ่งประกอบด้วย 4 ส่วนคือ

1. กระจาเปาะดินเผา (porous ceramic cup) จะฝังอยู่ในดินระดับความลึกที่ต้องการวัดความเครียดของน้ำในดิน
2. ท่อกลวงเชื่อมระหว่างกระจาเปาะดินเผากับเครื่องวัดความเครียด
3. เครื่องวัดความเครียดซึ่งมีอยู่หลายแบบคือ เกยสูญญากาศ (vacuum gauge) มาโนมิเตอร์ปรอท (mercury manometer) หรือเครื่องมืออื่นก็ได้
4. ฝาปิดเป็นทางเติมน้ำและปล่อยอากาศออกจากเทนซิโอมิเตอร์ ขณะใช้งาน ส่วนต่างๆ ของเทนซิโอมิเตอร์ จะบรรจุน้ำเต็มทุกส่วน



รูปที่ 2.9 แสดงองค์ประกอบของ เทนซิโอมิเตอร์ และรูปขยายกระจาเปาะดินเผา เมื่อสัมผัสอยู่กับอนุภาคดินโดยมีฟิล์มน้ำเป็นตัวเชื่อม [12]

เอกสารนี้เป็นเอกสารที่สงวนไว้สำหรับการใช้งานเพื่อการศึกษาเท่านั้น ไม่อนุญาตให้นำไปใช้ประโยชน์ด้านการค้าไม่ว่ากรณีใดๆทั้งสิ้น อีกทั้งห้ามมิให้ตัดแปลงเนื้อหา และต้องอ้างอิงถึงเจ้าของเอกสารทุกครั้งที่มีการนำไปใช้

หลักการการทำงานของ เทนซิโอมิเตอร์ จากภาพที่ 2.7 ซึ่งแสดงให้เห็นส่วนขยายของกระเปาะดินเผาขณะที่สัมผัสกับอนุภาคของดินผนังของกระเปาะดินเผาจะมีคุณสมบัติพิเศษโดยมีช่องว่างขนาดเล็ก และมีขนาดค่อนข้างสม่ำเสมออยู่เป็นจำนวนมากขณะที่กระเปาะดินเผาเปียกช่องในผนังกระเปาะดินเผาจะบรรจุน้ำเต็มทุกส่วนความตึงผิวของน้ำที่ผิวสัมผัสระหว่างน้ำกับอากาศ จะเป็นตัวอุดรูของช่องว่างขนาดเล็กนี้ไว้โดยน้ำสามารถไหลผ่านช่องนี้ได้แต่ฟิล์มน้ำจะอุดไม่ยอมให้อากาศเคลื่อนผ่านโดยฟิล์มน้ำจะทำหน้าที่คล้ายแผ่นยางบางๆ เคลือบปิดช่องว่างนี้และฟิล์มน้ำนั้นก็เชื่อมต่อไปเป็นผืนเดียวกับฟิล์มน้ำที่ล้อมรอบอนุภาคของดินขณะที่ดินแห้งฟิล์มน้ำที่ล้อมรอบอนุภาคดินจะบางลงและยึดติดกับอนุภาคดินด้วยแรงที่มากขึ้นและจะเกิดแรงดึงน้ำออกจากเทนซิโอมิเตอร์ ผ่านทางช่องที่ผนังของกระเปาะดินเผาทำให้น้ำใน เทนซิโอมิเตอร์ เกิดความเครียด (tension) ขึ้นและความเครียดนี้จะสูงขึ้นเรื่อยๆ จนกระทั่งการไหลของน้ำจากภายในเทนซิโอมิเตอร์ออกสู่ดินหยุด จุดนี้ความเครียดน้ำในดินจะเท่ากับความเครียดในน้ำเทนซิโอมิเตอร์ ในทางกลับกันถ้ามีการให้น้ำแก่ดินอาจจะเนื่องจากฝนตกหรือให้น้ำชลประทานความเครียดของน้ำในดินจะลดลงขณะที่ความเครียดของน้ำใน เทนซิโอมิเตอร์ ยังคงสูงอยู่ น้ำจะไหลจากดินเข้าสู่เทนซิโอมิเตอร์ ผ่านทางช่องในกระเปาะดินเผาผลให้ความเครียดของน้ำในเทนซิโอมิเตอร์ ลดลงจนความเครียดเท่ากับของน้ำในดินน้ำก็จะหยุดไหล ค่าความเครียดของน้ำในดินที่ระดับความชื้นหนึ่งๆ สามารถอ่านได้จากเครื่องวัดความเครียดของเทนซิโอมิเตอร์ถ้าการให้น้ำแก่ดินมากจนกระทั่งดินอิ่มตัวค่าที่อ่านได้จากเทนซิโอมิเตอร์จะอ่านได้ศูนย์ แสดงว่าน้ำขณะนั้นไม่มีความเครียดอยู่เลยตัวอย่างการแปลความหมายของค่าที่อ่านได้จากเทนซิโอมิเตอร์แสดงในตารางที่ 2.3

ตารางที่ 2.4 ความหมายของค่าที่อ่านได้จากเทนซิโอมิเตอร์

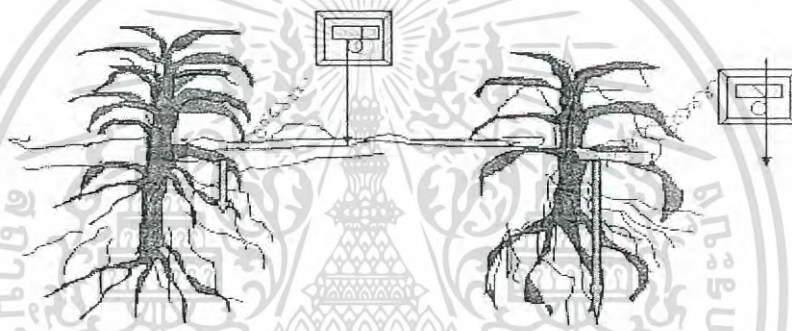
ค่าที่อ่านได้(kPa)	ความหมาย
0	เปียกมากดินอิ่มตัวด้วยน้ำ
0 – 15	ความชื้นประมาณจุดความชื้นชลประทานเหมาะกับการปลูกพืชที่ต้องการความชื้นสูง
25	พืชแสดงอาการขาดน้ำ
สูงกว่า 25	พืชที่ไวต่อการขาดน้ำรากสั้นอยู่ตื้น ในกระถางที่ดินเนื้อหยาบแสดงอาการขาดน้ำให้ปรากฏ
40 – 50	
70	
80	พืชที่มีรากประมาณ 50 เซนติเมตร เริ่มแสดงอาการขาดน้ำ พืชที่มีรากประมาณ 75 เซนติเมตร เริ่มแสดงอาการขาดน้ำ ควรให้น้ำได้แล้วไม่ว่ากรณีใดๆ

ที่มา [13]

เอกสารนี้เป็นเอกสารที่สงวนไว้สำหรับการใช้งานเพื่อการศึกษาเท่านั้น ไม่อนุญาตให้นำไปใช้ประโยชน์ด้านการค้าไม่ว่ากรณีใดๆทั้งสิ้น อีกทั้งห้ามมิให้ตัดแปลงเนื้อหา และต้องอ้างอิงถึงเจ้าของเอกสารทุกครั้งที่มีการนำไปใช้

### 2.7.2 แท่งวัดความชื้น (Moisture block)

แท่งวัดความชื้นเป็นเครื่องมือที่ใช้สำหรับวัดความชื้นของดิน ที่ใช้ความผันแปรของการนำไฟฟ้า (electrical conductivity) หรือความต้านทานไฟฟ้า (electrical resistance) ของวัตถุพูนบางชนิดกับความชื้นของวัตถุพูน หลักการใช้ แท่งวัดความชื้นมีว่าความนำไฟฟ้าของ แท่งวัดความชื้นเพิ่มขึ้น ซึ่งความต้านทานไฟฟ้าของแท่งวัดความชื้นลดลง เมื่อระดับความชื้นของ แท่งวัดความชื้นมากขึ้นดังนั้นเมื่อนำเอา แท่งวัดความชื้นที่แห้งไปสัมผัสกับดิน ถ้าดินมีความชื้นความชื้นจะซึมเข้าไปใน แท่งวัดความชื้นการนำไฟฟ้าจะดีกว่า เมื่อแท่งวัดความชื้นแห้งปริมาณความชื้นที่ซึมเข้าไปในแท่งวัดความชื้นย่อมผันแปรโดยความชื้นของดินที่สัมผัสกับแท่งวัดความชื้นดังนั้นความนำไฟฟ้าของแท่งวัดความชื้นโดยผันแปรโดยตรงกับระดับความชื้นของดินที่สัมผัสกับ แท่งวัดความชื้น



รูปที่ 2.10 เครื่องมือวัดการแผ่รังสีนิวตรอน (Neutron moisture gauge) [12]

### 2.7.3 เครื่องมือวัดการแผ่รังสีนิวตรอน (Neutron moisture gauge)

เครื่องมือนี้ทำเป็นกล่องหรือตู้ที่มีหัวนิวตรอนที่สามารถต่อสายหรือหย่อนลงไปในดินทางท่ออลูมิเนียมที่ฝังไว้ในดินหัววัดจะทำหน้าที่คือผลิตรังสีนิวตรอนที่มีพลังงานหรือความเร็วสูงเมื่อไปชนกับโมเลกุลของน้ำแล้วจะเปลี่ยนเป็นนิวตรอนช้าแล้วขยายสัญญาณส่งต่อไปยังเครื่องนับจำนวนบนกล่องการชนกันของไฮโดรเจนของน้ำกับนิวตรอนเป็นการชนกันแบบ 1 : 1 จำนวนนิวตรอนที่ถูกลดพลังงานจะมีความสัมพันธ์กับโมเลกุลของน้ำในดินซึ่งปริมาณตัวเลขที่วัดได้ต้องนำไปเทียบแล้วหาปริมาณน้ำในดินจากเส้นเปรียบเทียบดินที่เตรียมไว้ล่วงหน้า

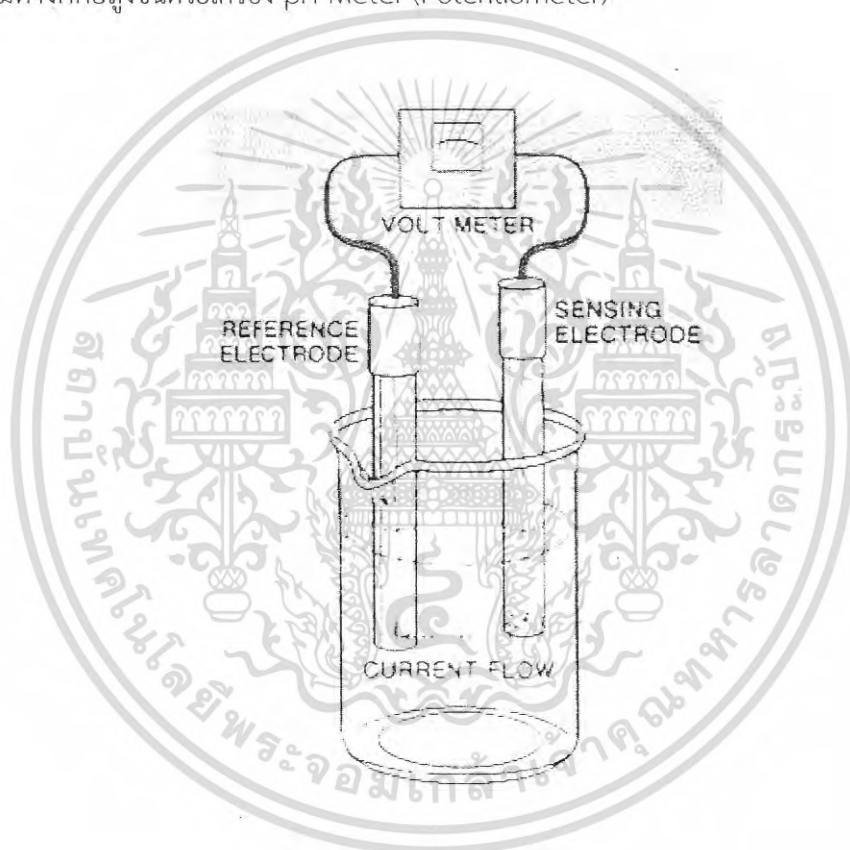
### 2.7.4 Soil moisture Mete

เครื่องวัดความชื้นในดิน จะวัดความชื้นที่เหลืออยู่ในดิน หลักการทำงาน มีวงจรสร้างความถี่สูงอยู่ที่ขั้วหนึ่ง ถ้ามีความชื้น ความถี่สูง ก็จะสามารรถข้ามไปหาอีกขั้วหนึ่งได้ ขึ้นอยู่กับระดับความชื้นระหว่างขั้ว โดยค่าที่อ่านได้ จะอ่านเป็นค่าเปอร์เซ็นต์มีระบบ Auto Calibrate เพื่อปรับค่าวัดให้เป็นมาตรฐาน

เอกสารนี้เป็นเอกสารที่สงวนไว้สำหรับการใช้งานเพื่อการศึกษาเท่านั้น ไม่อนุญาตให้นำไปใช้ประโยชน์ด้านการค้าไม่ว่ากรณีใดๆทั้งสิ้น อีกทั้งห้ามมิให้ตัดแปลงเนื้อหา และต้องอ้างอิงถึงเจ้าของเอกสารทุกครั้งที่มีการนำไปใช้

## 2.8 pH Meter

หลักการ pH Meter การวัด pH คือ การวัดสภาพความเป็นกรด หรือเป็นด่างของสารละลาย ที่มีน้ำเป็นตัวทำละลาย (Aqueous Solution) โดยใช้หลักการ Electrochemistry โดยวัดความต่างศักย์ที่เกิดขึ้น (Potential) ระหว่างอิเล็กโทรดอ้างอิง (Reference Electrode) กับอิเล็กโทรดตรวจวัด (Sensing Electrode) ความต่างศักย์ที่เกิดจากจำนวนของไฮโดรเจนไอออน ( $H^+$ ) ความต่างศักย์ที่เกิดจากไอออน (Ionic Potential) จะถูกเปลี่ยนให้เป็นความต่างศักย์ทางไฟฟ้า (Electronic Potential) แล้วขยายให้มีความต่างศักย์สูงขึ้นด้วยเครื่อง pH Meter (Potentiometer)



รูปที่ 2.11 หลักการ pH Meter

pH Meter คือ เครื่องมือทางไฟฟ้าที่ใช้วัด pH ของสารละลาย โดยหลักการวัดความต่างศักย์ (Potentiometer) ประกอบด้วยส่วนสำคัญ 2 ส่วน ที่ทำให้เครื่องสามารถทำงานได้ครบวงจร ส่วนประกอบทั้ง 2 คือ อิเล็กโทรด และตัวเครื่อง

1. อิเล็กโทรด ทำหน้าที่เป็นภาคตรวจรับ ความเข้มข้นของไฮโดรเจนไอออนในสารละลายที่ pH 7 (Standard pH Buffer) ความต่างศักย์ระหว่างอิเล็กโทรดทั้ง 2 คือ อิเล็กโทรดอ้างอิงกับอิเล็กโทรดตรวจวัด จะมีค่าความต่างศักย์เท่ากับศูนย์มิลลิโวลต์ ( $10^0$  V) ถ้าความเข้มข้นของไฮโดรเจนไอออนเพิ่มขึ้น

เอกสารนี้เป็นเอกสารที่สงวนไว้สำหรับการใช้งานเพื่อการศึกษาเท่านั้น ไม่อนุญาตให้นำไปใช้ประโยชน์ด้านการค้า ไม่ว่าจะกรณีใดๆทั้งสิ้น อีกทั้งห้ามมิให้ตัดแปลงเนื้อหา และต้องอ้างอิงถึงเจ้าของเอกสารทุกครั้งที่มีการนำไปใช้

หรือลดลง ความต่างศักย์ก็จะเพิ่มขึ้นหรือลดลงตามความเข้มข้นของ ไฮโดรเจนไอออนในสารละลายนั้น โดยมีอิเล็กโทรดเป็นตัวทำหน้าที่รับสัญญาณ

2. ตัวเครื่อง pH Meter ก็คือ Potentiometer หรือ Volt Meter ทำหน้าที่สำคัญ 3 ประการ คือ

2.1 ปรับความต่างศักย์ให้กับอิเล็กโทรดอ้างอิง ให้มีค่าความต่างศักย์เป็นศูนย์และคงที่

2.2 แปลงสัญญาณจากความต่างศักย์ของไอออนของอิเล็กโทรดให้เป็นความต่างศักย์ทางไฟฟ้า

2.3 ขยายสัญญาณค่าความต่างศักย์ทางไฟฟ้า ให้เพิ่มมากขึ้นอย่างเพียงพอให้แสดงผลที่มิเตอร์

แบบเข็ม หรือตัวเลข

## 2.9 ความสัมพันธ์ระหว่างความชื้นดินกับแรงดึงความชื้นดิน

ความเครียดที่เกิดกับน้ำในดินโดยการดูดยึดของอนุภาคของแข็งในดินนี้ เรียกว่าความเครียดเมตริก (metric tension) หรือแรงดึงความชื้นดิน ความเครียดอีกชนิดหนึ่งซึ่งเกิดกับน้ำในดินคือ ความเครียดที่เกิดจากการที่มีสารละลายชนิดต่างๆละลายอยู่ในน้ำ สารละลายทั้งหลายเมื่อละลายน้ำมันจะแตกตัวออกเป็นโมเลกุลหรือไอออนแทรกตัวอยู่ ระหว่างโมเลกุลของน้ำ และมีแรงดึงดูดกับโมเลกุลของน้ำ ทำให้โมเลกุลของน้ำมีอิสระที่จะเคลื่อนไหวได้ช้าลง เช่น จะระเหยกลายเป็นไอได้ช้าลง เป็นต้น

ความเครียดที่เกิดจากการมีสารละลายในน้ำเรียกว่าความเครียดออสโมติก (osmotic tension)

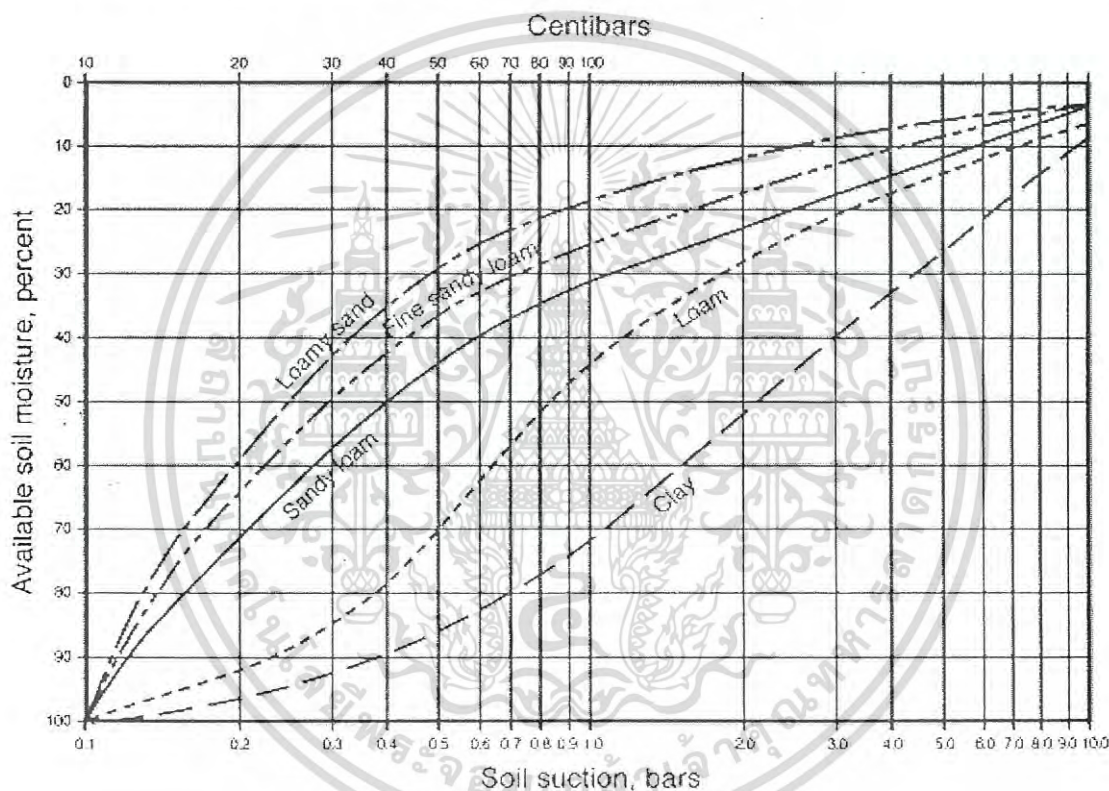
ความเครียดของน้ำในดินเป็นปัจจัยกำหนดระดับความเป็นประโยชน์ (degree of availability) ของน้ำในดินต่อพืช กล่าวคือพืชจะดูดกิน (uptake) น้ำจากดินได้ยากหรือง่ายเพียงใดขึ้นอยู่กับความเครียดของน้ำในดิน ถ้าความเครียดของน้ำในดินสูง (น้ำในดินถูกดูดยึดอยู่ด้วยแรงสูง) พืชก็ดูดกินน้ำจากดินได้ยาก เรียกว่าน้ำในดินนั้นมีระดับความเป็นประโยชน์ต่ำ พืชจะดูดกินแต่ละโมเลกุลของน้ำในดินได้จะต้องออกแรงเอาชนะความเครียดของน้ำโมเลกุลนั้นให้ได้ นอกจากนี้ความเครียดของน้ำในดินยังเป็นปัจจัยที่ทำให้เกิดการเคลื่อนที่ของน้ำในดิน (นอกเหนือไปจากแรงดึงดูดของโลก) น้ำในดินจะเคลื่อนที่จากที่มีความเครียดต่ำไปยังที่มีความเครียดสูง การ ศึกษาเรื่องความเครียดของน้ำในดินจึงเป็นสิ่งจำเป็นสำหรับความเข้าใจเรื่องความเป็นประโยชน์และการเคลื่อนที่ของน้ำในดิน

ความเครียดของน้ำในดินวัดได้โดยตรง โดยใช้เทนซิโอมิเตอร์ (tensiometer) หรืออาจวัดได้โดยทางอ้อมด้วยมอยซ์เจอร์บล็อก (moisture block) ถ้าหากมีกราฟหรือตารางแสดงความสัมพันธ์ระหว่างค่าความนำไฟฟ้าของมอยซ์เจอร์บล็อกกับความเครียดของความชื้นไว้แล้ว. ในการศึกษาเกี่ยวกับความเครียดของความชื้นดิน. เราสามารถบังคับให้ดินตัวอย่างมีความเครียดมากน้อยตามต้องการได้ โดยอาศัยเครื่องมือที่เรียกว่าเพรสเซอร์เพลต เอกซ์แทรคเตอร์ (pressure plate extractor). จากตัวอย่างดินที่ได้บังคับให้ความชื้นดินมีความเครียดระดับ ต่าง ๆ กันนั้น เมื่อนำไปวัดปริมาณความชื้นเราจะได้ค่าปริมาณความชื้นที่สมดุลกับความเครียดระดับต่าง ๆ ซึ่งนำไป เขียนเป็นกราฟได้. ภาพ 2.3 คือกราฟที่

เอกสารนี้เป็นเอกสารที่สงวนไว้สำหรับการใช้งานเพื่อการศึกษาเท่านั้น ไม่อนุญาตให้นำไปใช้ประโยชน์ด้านการค้าไม่ว่ากรณีใดๆทั้งสิ้น อีกทั้งห้ามมิให้ตัดแปลงเนื้อหา และต้องอ้างอิงถึงเจ้าของเอกสารทุกครั้งที่มีการนำไปใช้

แสดงความสัมพันธ์ระหว่างปริมาณความชื้นโดยน้ำหนักกับความเครียดเมตริก ของความชื้นสำหรับ  
 ตัวแทนดินเหนียว ดินร่วน และดินทรายบางชุดในประเทศไทย. ในตำราว่าด้วยความสัมพันธ์ ระหว่าง  
 ดินกับน้ำทั้งหลายมักเรียกเส้นกราฟนี้ว่า soil moisture characteristic , soil moisture release  
 curve, หรือ pF = curve. ซึ่งในการวิจัยนี้จะนำเสนอการหาค่าแรงดึงความชื้นหรือความเครียดของน้ำ  
 ในดิน 2 วิธีได้แก่[14]

### 2.9.1 กราฟความสัมพันธ์แรงดึงความชื้นดินกับความชื้นดิน



Adapted (with permission) from the *BC Trickle Irrigation Manual*, BC Ministry of Agriculture and Food, Irrigation Industry Association of British Columbia (T.W. Van der Gulik)  
 Note: 1 kpa = 1 centibar; 100 centibars = 1 bar

รูปที่ 2.12 การความสัมพันธ์ความชื้นดินกับความเครียดเมตริกหรือแรงดึงความชื้น

### 2.9.2 โปรแกรม swrc fit (swrc fit program)[15-20]

โปรแกรม SWRC FIT เป็นโปรแกรม nonlinear fitting ของโมเดลที่ได้จากศึกษาความสัมพันธ์  
 การเคลื่อนที่ของน้ำในดินทั้งหมด 5 โมเดลรวมกันเป็น Levenberg-Marquardt method โดยโมเดลทั้ง  
 5 มีรูปสมการ Soil hydraulic models ได้แก่

เอกสารนี้เป็นเอกสารที่สงวนไว้สำหรับการใช้งานเพื่อการศึกษาเท่านั้น ไม่อนุญาตให้นำไปใช้ประโยชน์ด้านการค้า  
 ไม่ว่ากรณีใดๆทั้งสิ้น อีกทั้งห้ามมิให้ตัดแปลงเนื้อหา และต้องอ้างอิงถึงเจ้าของเอกสารทุกครั้งที่มีการนำไปใช้

ตารางที่ 2.5 สมการ Soil hydraulic models

Model	Reference	Equation
BC	Brooks and Corey(1964)	$s_e = \begin{cases} \left(\frac{h}{h_b}\right)^{-\lambda} & (h > h_b) \\ 1 & (h \leq h_b) \end{cases}$
VG	Van Genuchten(1980)	$s_e = \left[ \frac{1}{1 + (\alpha h)^n} \right]^m \quad (m = 1 - 1/n)$
LN	Kosugi(1996)	$s_e = Q \left[ \frac{\ln(h/h_m)}{\sigma} \right]$
DB	Durner(1994)	$s_e = \left[ \frac{1}{1 + (\alpha_1 h)^{n_1}} \right]^{m_1} + (1 - w_1) \left[ \frac{1}{1 + (\alpha_2 h)^{n_2}} \right]^{m_2}$ <p><math>(m = 1 - 1/n_i)</math></p>
BL	Seki(2007)	$s_e = w_1 Q \left[ \frac{\ln(h/h_{m1})}{\sigma_1} \right] + (1 - w_1) w_2 Q \left[ \frac{\ln(h/h_{m2})}{\sigma_2} \right]$

เอกสารนี้เป็นเอกสารที่สงวนไว้สำหรับการใช้งานเพื่อการศึกษาเท่านั้น ไม่อนุญาตให้นำไปใช้ประโยชน์ด้านการค้า  
ไม่ว่ากรณีใดๆทั้งสิ้น อีกทั้งห้ามมิให้ตัดแปลงเนื้อหา และต้องอ้างอิงถึงเจ้าของเอกสารทุกครั้งที่มีการนำไปใช้

$h$  = suction head

$\theta$  = volumetric water content

$S_e$  = effective water

$Q(x)$  = ฟังก์ชันการแจกแจงปกติแบบเสถียร

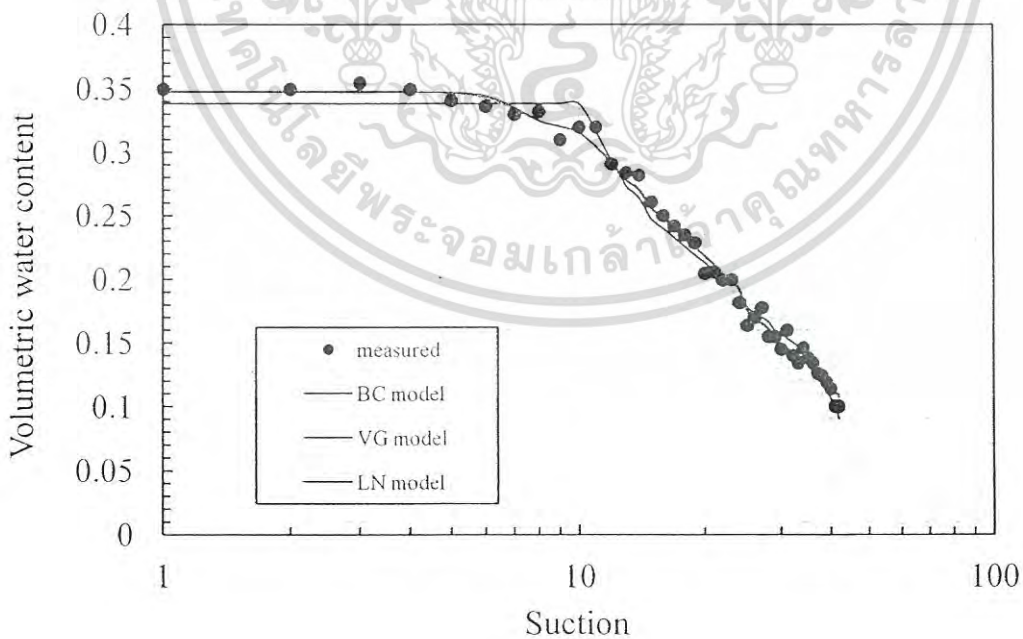
$\Phi(x)$  = รูปปกติของฟังก์ชันการแจกแจงปกติแบบเสถียร

โดย

$$S_e = \frac{\theta - \theta_r}{\theta_s - \theta_r}$$

หรือ  $\theta = \theta_r + (\theta_s - \theta_r)S_e$  (2.3)

$$Q(x) = 1 - \Phi(x)$$



รูปที่ 2.13 กราฟแบบจำลองการเทียบค่าความชื้นเชิงปริมาตรกับแรงดึงความชื้นดินที่ได้จากโปรแกรม

เอกสารนี้เป็นเอกสารที่สงวนไว้สำหรับการใช้งานเพื่อการศึกษาเท่านั้น ไม่อนุญาตให้นำไปใช้ประโยชน์ด้านการค้า ไม่ว่ากรณีใดๆทั้งสิ้น อีกทั้งห้ามมิให้ตัดแปลงเนื้อหา และต้องอ้างอิงถึงเจ้าของเอกสารทุกครั้งที่มีการนำไปใช้

## 2.10 การตรวจสอบความสม่ำเสมอในการให้น้ำ และการประเมินประสิทธิภาพการชลประทาน[14]

การตรวจสอบความสม่ำเสมอในการให้น้ำเป็นการพิจารณาว่า ระบบการให้น้ำที่ออกแบบหรือก่อสร้างติดตั้งระบบแล้ว มีความทั่วถึงได้น้ำพอเพียงหรือไม่ ซึ่งมีวิธีการพิจารณาดังนี้

(1) ระบบให้น้ำแบบผิวดิน เรียกว่า ประสิทธิภาพการแพร่กระจายน้ำ (Distribution Efficiency)

$$Ed = \frac{d_{min}}{d_a} \times 100 \quad (2.4)$$

เมื่อ Ed = Distribution efficiency  $\geq 80\%$  ขึ้นไป

$d_{min}$  = ค่าความลึกของน้ำที่วัดได้ต่ำสุด (มม.)

$d_a$  = ค่าความลึกของน้ำเฉลี่ย (มม.)

(2) ระบบให้น้ำแบบฉีดฝอย เรียกว่า สัมประสิทธิ์ความสม่ำเสมอ (Uniformity Coefficient)

$$Cu = 100 \left( 1.00 - \frac{\sum x}{m \cdot n} \right) \quad (2.5)$$

เมื่อ Cu = สัมประสิทธิ์ความสม่ำเสมอ  $\geq 75\%$  ถือว่ายอมรับได้

$\sum x$  =  $\sum$  absolute ของผลต่างความลึกของน้ำ

m = ค่าเฉลี่ยของความลึกของน้ำที่วัดได้

n = จำนวนค่าของหน่วยที่วัด

## 2.11 หลักการทั่วไปของไมโครคอนโทรลเลอร์ (Microcontroller) [21]

เป็นอุปกรณ์ไอซี (IC: Integrated Circuit) ที่สามารถโปรแกรมการทำงานได้ซับซ้อน สามารถรับข้อมูลในรูปสัญญาณดิจิทัลเข้าไปทำการประมวลผลแล้วส่งผลลัพธ์ข้อมูลดิจิทัลออกมาเพื่อนำไปใช้งานตามที่ต้องการได้

ไมโครคอนโทรลเลอร์ภายในชิปจะมีหน่วยความจำ, Port อยู่ในชิปเพียงตัวเดียวซึ่งอาจจะเรียกได้ว่าเป็นคอมพิวเตอร์ชิปเดี่ยว ไมโครคอนโทรลเลอร์เป็นไมโครโพรเซสเซอร์ชนิดหนึ่ง เช่นเดียวกับหน่วยประมวลผลกลาง (CPU: Central Processing Unit) ที่ใช้ในคอมพิวเตอร์ แต่ได้รับการพัฒนาแยกออกมาภายหลังเพื่อนำไปใช้ในวงจรทางด้านงานควบคุม คือ แทนที่ในการใช้งานจะต้องวางรวมภายนอกต่าง ๆ เพิ่มเติมเช่นเดียวกับไมโครโพรเซสเซอร์ ก็จะทำให้การรวมวงจรถ้าจำเป็น เช่น หน่วยความจำ, ส่วนอินพุท/เอาต์พุตนี้เป็นเอกสารที่สงวนไว้สำหรับการใช้งานเพื่อการศึกษาเท่านั้น ไม่อนุญาตให้นำไปใช้ประโยชน์ด้านการค้าไม่ว่ากรณีใดๆทั้งสิ้น อีกทั้งห้ามมิให้ดัดแปลงเนื้อหา และต้องอ้างอิงถึงเจ้าของเอกสารทุกครั้งที่มีการนำไปใช้

เอาท์พุท บางส่วนเข้าไปในตัว ไอซีเดียวกัน และเพิ่มวงจรบางอย่างเข้าไปด้วยเพื่อให้มีความสามารถเหมาะสมกับการใช้งานควบคุม เช่น วงจรตั้งเวลา, วงจรการสื่อสารอนุกรม วงจรแปลงสัญญาณ Analog เป็น digital เป็นต้น สรุปคือ

$$\text{Microcontroller} = \text{Microprocessor} + \text{Memory} + \text{I/O}$$

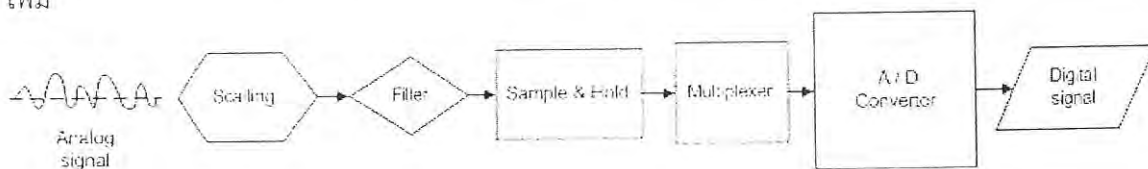
ไมโครคอนโทรลเลอร์สามารถนำไปประยุกต์ใช้งานอย่างกว้างขวาง โดยมักจะเป็นการนำไปใช้ฝังในระบบของอุปกรณ์อื่น ๆ (Embedded Systems) เพื่อใช้ควบคุมการทำงานบางอย่าง เช่น ใช้ในรถยนต์, เต้าอบไมโครเวฟ, เครื่องปรับอากาศ, เครื่องซักผ้าอัตโนมัติ เป็นต้น เพราะไมโครคอนโทรลเลอร์มีข้อดีเหมาะสมต่อการใช้งานควบคุมหลายประการ เช่น

- ชิพไอซีและระบบที่ได้มีขนาดเล็ก
- ระบบที่ได้มีราคาถูกกว่าการใช้ชิพไมโครโพรเซสเซอร์
- วงจรที่ได้จะมีความซับซ้อนน้อย ช่วยลดข้อผิดพลาดที่อาจเกิดขึ้นได้ในการต่อวงจร
- มีคุณสมบัติเพิ่มเติมสำหรับงานควบคุมโดยเฉพาะซึ่งใช้งานได้ง่าย
- ช่วยลดระยะเวลาในการพัฒนาระบบได้

ในโครงการนี้จะใช้ไมโครคอนโทรลเลอร์ ATmega 32 ซึ่งเป็นไมโครคอนโทรลเลอร์(MCU) ที่ได้รวบรวมอุปกรณ์สนับสนุนการทำงานของ CPU ไว้มากมาย อาทิเช่น Analog to Digital , SPI , UART ,Timer ,Counter , PWM ซึ่งอุปกรณ์สนับสนุนการทำงานเหล่านี้ทำให้ MCU สามารถทำงานได้กว้างและใช้อุปกรณ์ต่อร่วมจากภายนอกได้มาก และสามารถประมวลคำสั่งได้ภายใน 1 clock

## 2.12 ขบวนการ A/D Convertor [23]

A/D convertor หรือ Analog to Digital Convertor เป็นโมดูลที่ทำหน้าที่ในการรับค่าสัญญาณอนาล็อกอินพุตจากภายนอก PIC แล้วนำสัญญาณอนาล็อกที่ได้มาทำการแปลงสัญญาณให้เป็นดิจิตอลเพื่อให้ PIC สามารถนำสัญญาณที่ได้มาประมวลผลเพราะสัญญาณภายใน PIC นั้นจะเป็นสัญญาณดิจิตอล (ลอจิก 0 หรือลอจิก 1) ประโยชน์ของการมีโมดูล A/D Convertor คือสามารถรับค่าสัญญาณอนาล็อกจากแหล่งอินพุตเข้าสู่ไมโครคอนโทรลเลอร์ PIC ได้โดยตรงไม่จำเป็นต้องใช้ไอซี A/D Convertor เพิ่ม



รูปที่ 2.14 ส่วนประกอบของกระบวนการ A/D Convertor

เอกสารนี้เป็นเอกสารที่สงวนไว้สำหรับการใช้งานเพื่อการศึกษาเท่านั้น ไม่อนุญาตให้นำไปใช้ประโยชน์ด้านการค้าไม่ว่ากรณีใดๆทั้งสิ้น อีกทั้งห้ามมิให้ตัดแปลงเนื้อหา และต้องอ้างอิงถึงเจ้าของเอกสารทุกครั้งที่มีการนำไปใช้

## 2.13 ทฤษฎีอุปกรณ์ส่งสัญญาณ x-bee [24,25]

X-beeเป็นอุปกรณ์ที่มี Microcontroller และ RF IC อยู่ภายใน (อ้างอิงได้จาก Schematic ) ทำหน้าที่เป็น อุปกรณ์ transceiver (อุปกรณ์รับ-ส่งสัญญาณ) แบบ แบบ Half Duplex ย่านความถี่ 2.4 Ghz มีการจัดการโดยใช้พลังงานต่ำ ใช้งานง่าย มี interface ที่ใช้รับและส่งข้อมูลกับ X-bee เป็น UART (TTL) ซึ่งสามารถใช้ติดต่อสื่อสาร UART ของไมโครคอนโทรลเลอร์ ได้เลย

X-bee สามารถใช้งานตามมาตรฐาน Zigbeeได้ โดยที่ไม่ต้องเขียนโปรแกรมสร้าง เครือข่าย Zigbeeเลย เพราะมีfirmware ที่จะโหลดเข้าไปในตัว X-bee จึงทำให้สามารถset parameter ผ่าน software interface (X-CTU หรือโปรแกรมที่เขียนขึ้นเอง) , ผ่านทาง At command (เหมือนกับการควบคุม GSM Module ) โดยใช้ Hyper terminal หรือ ผ่านทางการรับส่งข้อมูลด้วย ไมโครคอนโทรลเลอร์ ได้อย่างง่ายดาย โดยเมื่อ set X-bee ให้ทำงานเป็นอุปกรณ์ในเครือข่าย Zigbee แล้ว จะเรียก X-bee แต่ละตัวว่าเป็น Node (parameter ของ X-bee นั้นมีหลาย Firmware ที่ใช้กับ X-beeจะใช้โหลดผ่านโปรแกรม X-CTU ได้เลย จึงง่ายต่อการพัฒนา

### 2.13.1 คุณสมบัติของ Zigbee

- (1) อัตราการส่งข้อมูล 250 kbps (2.4 GHz), 40 kbps ( 915 MHz), and 20 kbps (868 MHz)
- (2) High throughput และ low latency Duty Cycle ต่ำ (< 0.1%)
- (3) มี การเข้าถึง Channel แบบ Channel access using Carrier Sense Multiple Access with Collision Avoidance (CSMA - CA)
- (4) สามารถรองรับ Address ได้ ถึง 64 bit IEEE address ( 65535 network)
- (5) รับประกันการส่งแบบ Full hand shaken protocol
- (6) เชื่อมต่อ Topology ได้ หลายแบบเช่น Star, Peer-to-peer, Mesh
- (7) ใช้พลังงานต่ำ (สามารถใช้ได้ หลายเดือนจนถึงปี )
- (8) ระยะทางการส่งพื้นฐาน 5-500 เมตร

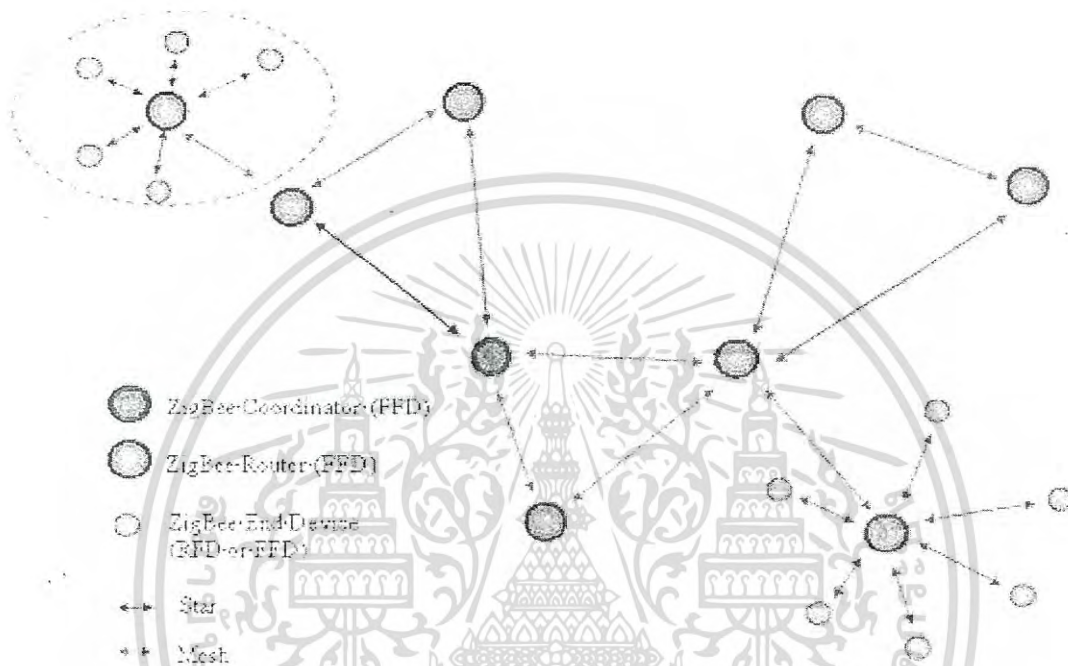
### 2.13.2 ส่วนประกอบของ Zigbee

Zigbeeแบ่งออกเป็น 3 ส่วนคือ

- (1) Zigbee Coordinator ทำหน้าที่ สร้างโครงข่ายจัดการโหนดในโครงข่ายและเก็บข่าวสารของโหนดในโครงข่าย
- (2) Zigbee Router ทำหน้าที่ จัดการเส้นทางของข้อมูลที่ ส่งผ่านภายในโครงข่ายระหว่างโหนด
- (3) Zigbee end Device เป็นจุดปลายของโครงข่ายอยู่ในส่วนของผู้ใช้งาน โดยสามารถเป็นได้ ทั้งแบบ RFD และ FFD

เอกสารนี้เป็นเอกสารที่สงวนไว้สำหรับการใช้งานเพื่อการศึกษาเท่านั้น ไม่อนุญาตให้นำไปใช้ประโยชน์ด้านการค้า ไม่ว่ากรณีใดๆทั้งสิ้น อีกทั้งห้ามมิให้ตัดแปลงเนื้อหา และต้องอ้างอิงถึงเจ้าของเอกสารทุกครั้งที่มีการนำไปใช้

ซึ่งส่วนประกอบต่างๆของZigbeeได้ แสดงไว้ ดังรูปที่ 2.11



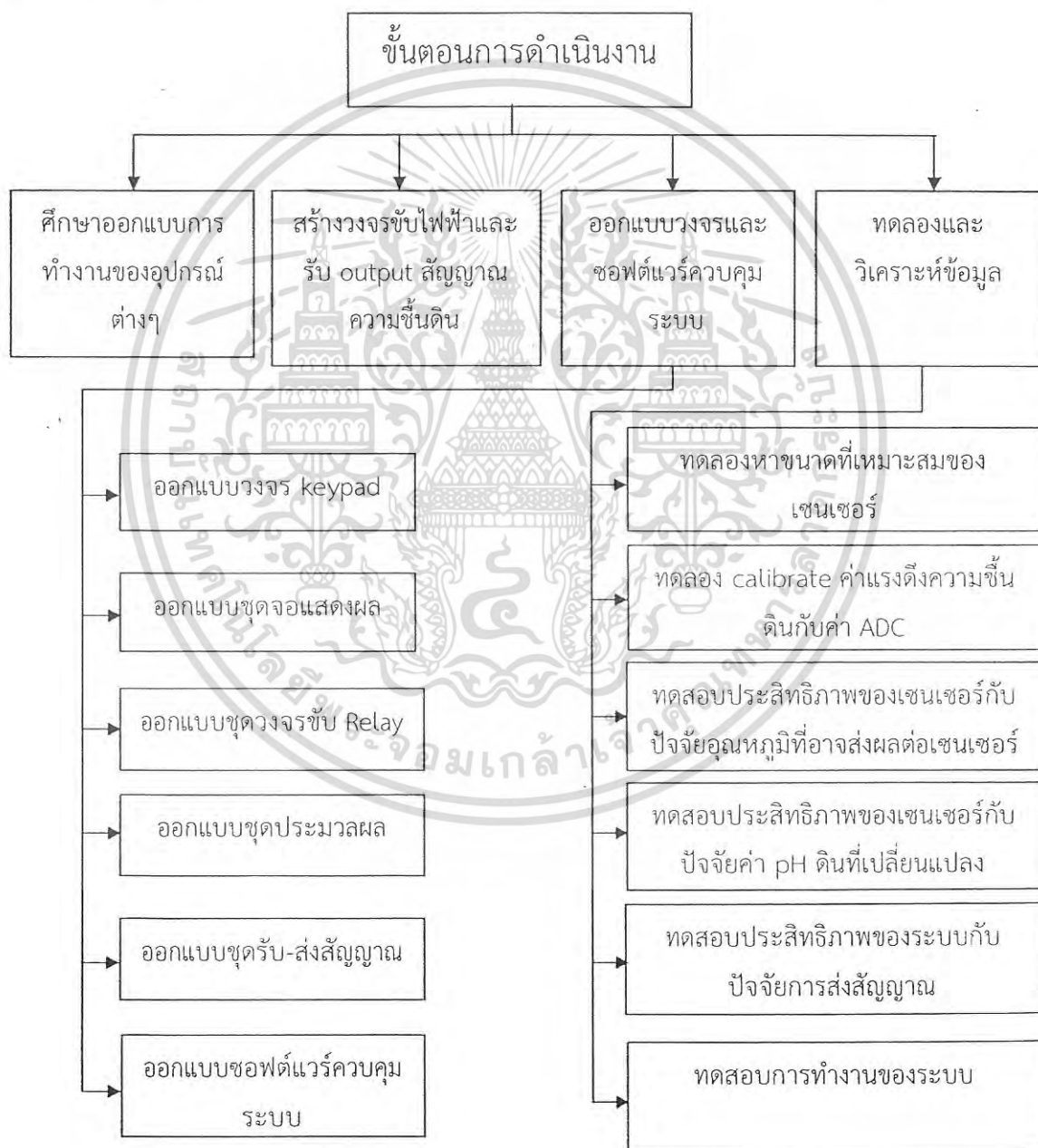
รูปที่ 2.15 ตัวอย่างการสร้างเครือข่ายของอุปกรณ์ Zigbee

เอกสารนี้เป็นเอกสารที่สงวนไว้สำหรับการใช้งานเพื่อการศึกษาเท่านั้น ไม่อนุญาตให้นำไปใช้ประโยชน์ด้านการค้า  
ไม่ว่ากรณีใดๆทั้งสิ้น อีกทั้งห้ามมิให้ดัดแปลงเนื้อหา และต้องอ้างอิงถึงเจ้าของเอกสารทุกครั้งที่มีการนำไปใช้

### บทที่ 3

## การดำเนินงานวิจัย

เพื่อให้บรรลุตามวัตถุประสงค์ตามเป้าหมายจึงเริ่มทำการศึกษาจาก โครงสร้างและหลักการ ทำงานของระบบการสร้างเซนเซอร์วัดความชื้นดินโดยมีขั้นตอนการดำเนินงานแสดงในไดอะแกรม

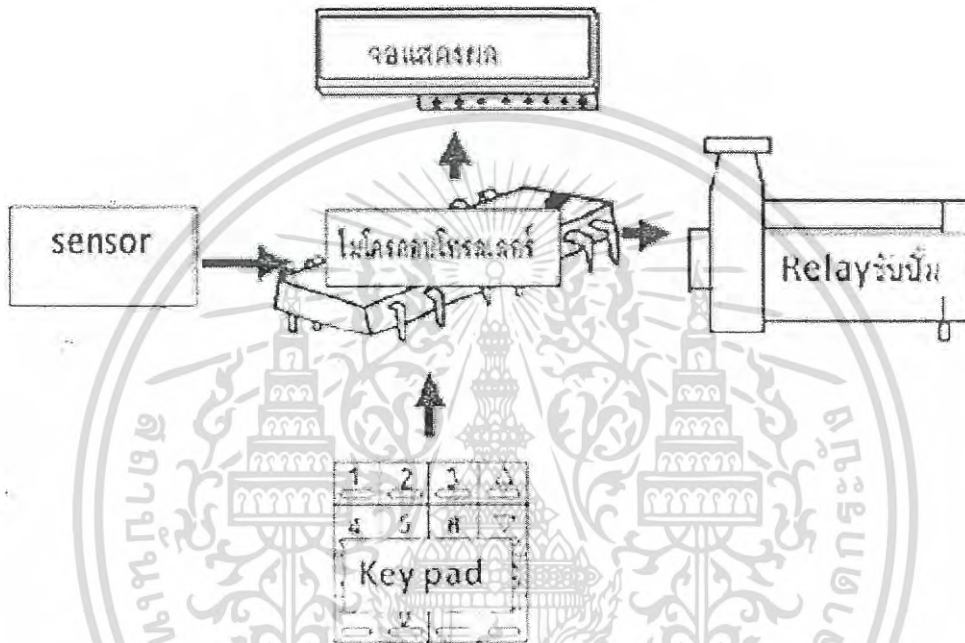


รูปที่ 3.1 ไดอะแกรมผังการดำเนินงานศึกษาวิจัย

เอกสารนี้เป็นเอกสารที่สงวนไว้สำหรับการใช้งานเพื่อการศึกษาเท่านั้น ไม่อนุญาตให้นำไปใช้ประโยชน์ด้านการค้า ไม่ว่าจะกรณีใดๆทั้งสิ้น อีกทั้งห้ามมิให้ดัดแปลงเนื้อหา และต้องอ้างอิงถึงเจ้าของเอกสารทุกครั้งที่มีการนำไปใช้

### 3.1 ศึกษาอกระบบการทำงานของอุปกรณ์ต่างๆ

การออกแบบระบบจะเริ่มจากการศึกษาระบบโครงข่าย และการสร้างเซนเซอร์ตรวจจับความชื้นในดินเพื่อประเมินงบประมาณและออกแบบซอฟต์แวร์ควบคุมฮาร์ดแวร์ต่างๆให้ทำงานต่างๆตามวัตถุประสงค์ โดยอุปกรณ์ควบคุมระบบหลักๆแสดงดังรูปที่ 3.2

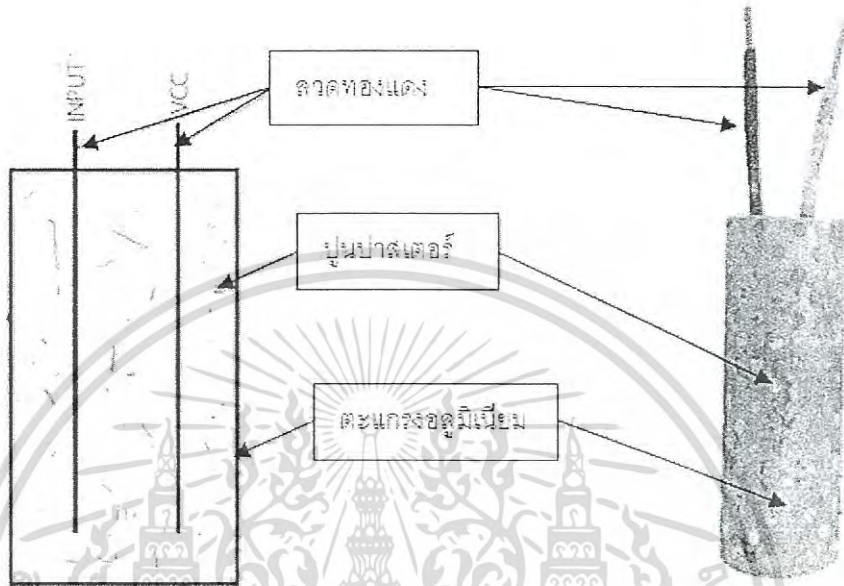


รูปที่ 3.2 ผังการทำงานของอุปกรณ์

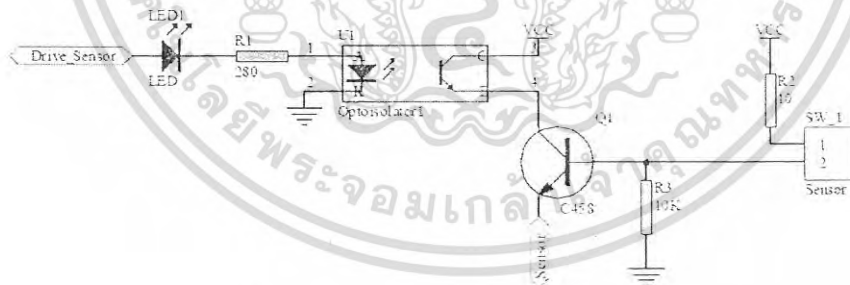
### 3.2 สร้างวงจรขับไฟฟ้าและ รับ OUTPUT สัญญาณความชื้นดิน

การทดลองหาค่า ADC จากแรงดันไฟฟ้าที่แปลงออกมาจากความต้านทานในดินจำเป็นต้องสร้างวงจรขับไฟฟ้าและรับ output ในการประมวลผลสัญญาณที่ถูกส่งมาทั้งนี้เพื่อเปรียบเทียบกับความชื้นของดินที่ความชื้นต่างๆ โดยเซนเซอร์ตรวจวัดความชื้นในดินสำหรับวิจัยนี้ใช้หลอดทองแดงหุ้มด้วยปูนปาสเตอร์เพื่อดึงความชื้นจากดินมาใช้ตรวจสอบความชื้นซึ่งแสดงใน รูปที่ 3.3 โดยใช้หลักการตรวจจับค่าความต้านทานที่เปลี่ยนแปลงไปจากค่าความชื้นที่เปลี่ยนโดยใช้ optoisolator ในการกำหนดการอ่านและขยายสัญญาณที่ได้จากเซนเซอร์เพื่อตรวจจับความต้านทานโดยอาศัยการวัดแรงดันไฟฟ้า 0-5 VDC ซึ่งเป็นวงจรที่ใช้หลักการไมซ์ซ็อนและมีความเสถียรในการรับส่งแรงดันไฟฟ้า โดยไอซีเบอร์ ATMEGA 8 เป็นไอซี analog to digital ซึ่งนำค่าที่ได้นั้นไป สอบเทียบเพื่อหาสมการแนวโน้มแล้วนำไปเขียนโปรแกรมเพื่อประมวลผลความชื้นดินต่อไปดังแสดงใน รูปที่ 3.3

เอกสารนี้เป็นเอกสารที่สงวนไว้สำหรับการใช้งานเพื่อการศึกษาเท่านั้น ไม่อนุญาตให้นำไปใช้ประโยชน์ด้านการค้าไม่ว่ากรณีใดๆทั้งสิ้น อีกทั้งห้ามมิให้ตัดแปลงเนื้อหา และต้องอ้างอิงถึงเจ้าของเอกสารทุกครั้งที่มีการนำไปใช้



รูปที่ 3.3 เซนเซอร์ตรวจจับความชื้นดิน



รูปที่ 3.4 วงจรตรวจจับความชื้นดิน

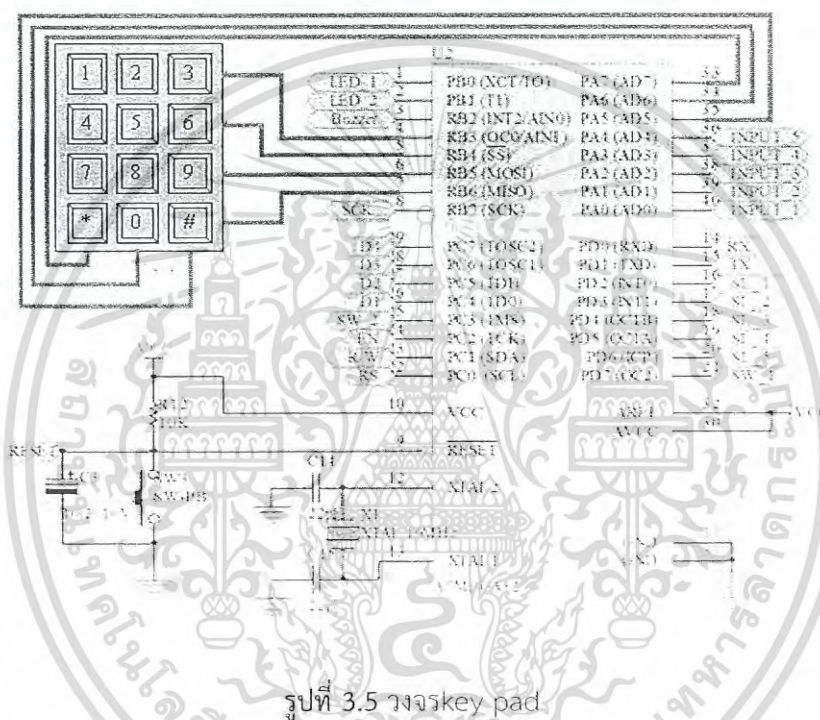
### 3.3 ออกแบบวงจรและซอฟต์แวร์ควบคุมระบบ

ระบบโครงข่ายความชื้นดินจำเป็นต้องมีฮาร์ดแวร์และซอฟต์แวร์เพื่อควบคุมระบบโดยมีวงจรที่เกี่ยวข้องกับระบบและซอฟต์แวร์โครงสร้างระบบดังนี้

เอกสารนี้เป็นเอกสารที่สงวนไว้สำหรับการใช้งานเพื่อการศึกษาเท่านั้น ไม่อนุญาตให้นำไปใช้ประโยชน์ด้านการค้า ไม่ว่าจะกรณีใดๆทั้งสิ้น อีกทั้งห้ามมิให้ดัดแปลงเนื้อหา และต้องอ้างอิงถึงเจ้าของเอกสารทุกครั้งที่มีการนำไปใช้

### 3.3.1 วงจร Key pad

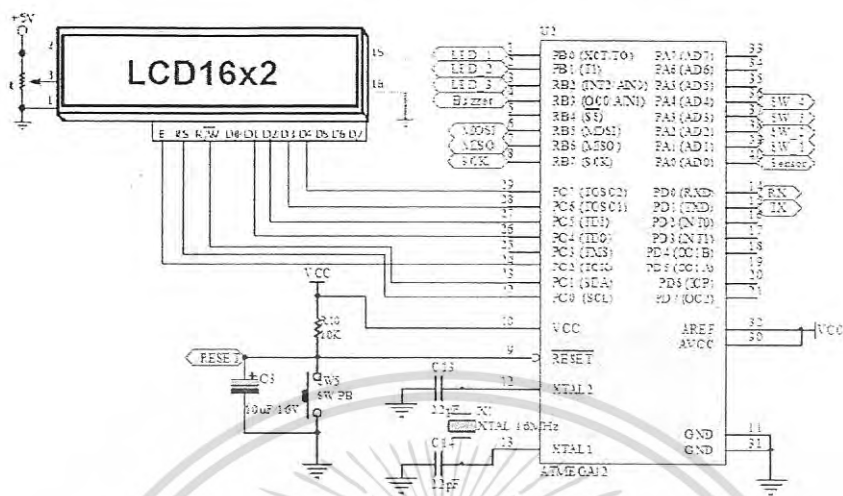
Module keypad เป็นชุดMatrix Keyboard 4x3 โดยจะมี PIN ใช้ต่อกับไมโครคอนโทรลเลอร์ทั้งหมด 7 PIN โดยจะเป็นInput เพื่อให้ไมโครคอนโทรลเลอร์อ่านค่ารหัสของคีย์ที่ถูกกด เพื่ออ่านค่า max และ min ของความชื้นและจับ relay กับ sensor ซึ่งถูกป้อนค่าลงสู่โปรแกรมโดยผู้ใช้งาน [6] โดยซึ่งวงจรแสดงดังรูปที่ 3.5



### 3.3.2 ชุดจอแสดงผล ( The display assembly)

การทำงานในภาคจะแสดงผลการทำงานของโปรแกรมตลอดการทำงานตั้งแต่เซตค่าความชื้นจนถึงรันแสดงค่าความชื้นของเซนเซอร์แต่ละตัวซึ่งแสดงผลออกทางหน้าจอ LCD 16x2 ในภาคนี้อาจแสดงผลข้อมูลตามอักษรในตาราง asciiดังรูปที่ 3.6

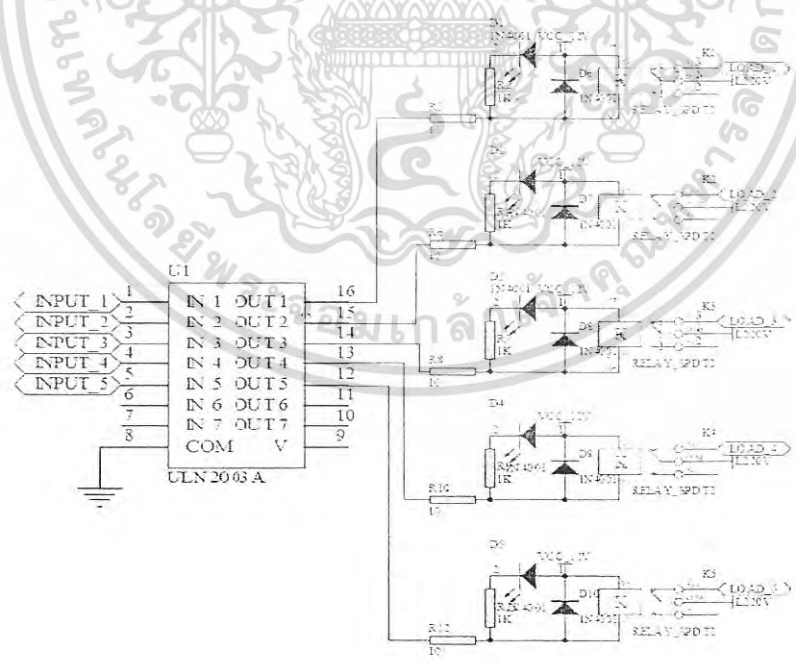
เอกสารนี้เป็นเอกสารที่สงวนไว้สำหรับการใช้งานเพื่อการศึกษาเท่านั้น ไม่อนุญาตให้นำไปใช้ประโยชน์ด้านการค้าไม่ว่ากรณีใดๆทั้งสิ้น อีกทั้งห้ามมิให้ดัดแปลงเนื้อหา และต้องอ้างอิงถึงเจ้าของเอกสารทุกครั้งที่มีการนำไปใช้



รูปที่ 3.6 วงจรแสดงผลทางจอLCD

### 3.3.3 ชุดวงจรขับ RELAY

ชุดวงจรขับRELAY ใช้ IC เบอร์ ULN2003 A เป็น IC ขับโหลด RELAY ซึ่งจะคอยรับการสั่งการจากโปรแกรมควบคุมหลักซึ่งควบคุมโดย IC เบอร์ ATMEGA32A ซึ่งวงจรแสดงดังรูปที่ 3.7

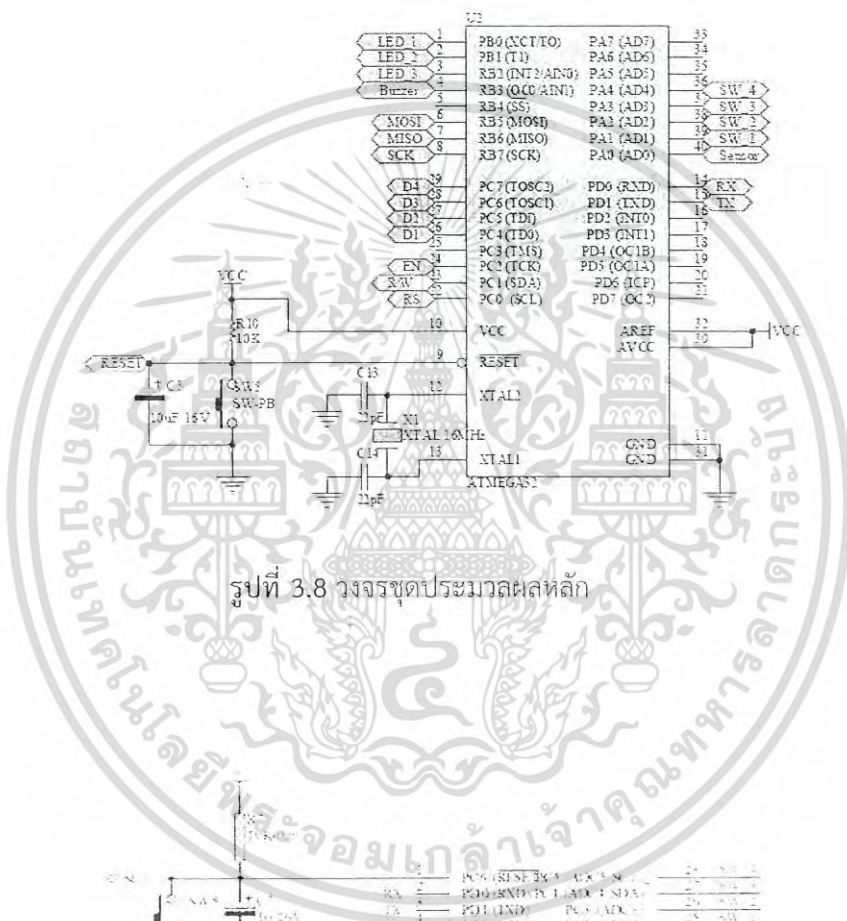


รูปที่ 3.7 วงจรขับ Relay

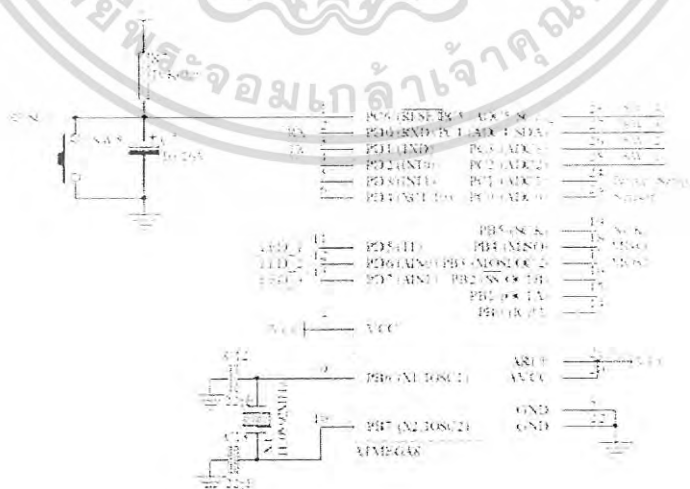
เอกสารนี้เป็นเอกสารที่สงวนไว้สำหรับการใช้งานเพื่อการศึกษาเท่านั้น ไม่อนุญาตให้นำไปใช้ประโยชน์ด้านการค้า ไม่ว่าจะกรณีใดๆทั้งสิ้น อีกทั้งห้ามมิให้ตัดแปลงเนื้อหา และต้องอ้างอิงถึงเจ้าของเอกสารทุกครั้งที่มีการนำไปใช้

### 3.3.4 ชุดประมวลผล(Microcontroller)

ชุดประมวลผลหลักใช้ IC เบอร์ ATMEGA32 เป็นตัวประมวลผลหลักซึ่งเขียนโปรแกรมโดยใช้โปรแกรม Code Vision AVR และบันทึกหรือ burn ลงในไมโครคอนโทรเลอร์ AVR-ATMEGA32 ซึ่งวงจรการทดลองแสดงดังรูปที่ 3.8 ส่วนชุดประมวลผลเซนเซอร์ใช้ AVR-ATMEGA8 ในการประมวลผลซึ่งแสดงดังรูปที่ 3.9



รูปที่ 3.8 วงจรชุดประมวลผลหลัก

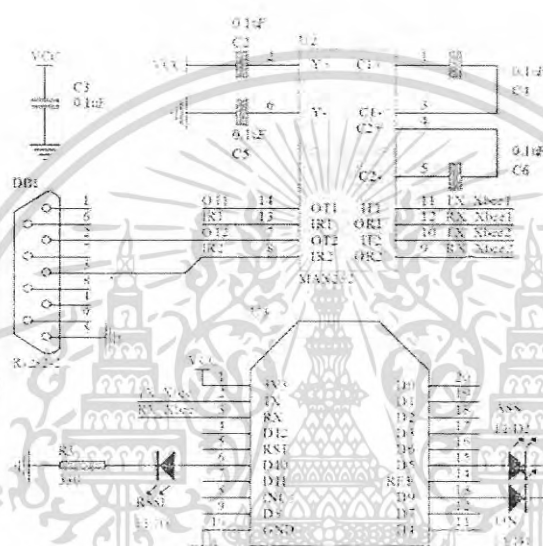


รูปที่ 3.9 วงจรประมวลผลเซนเซอร์

เอกสารนี้เป็นเอกสารที่สงวนไว้สำหรับการใช้งานเพื่อการศึกษาเท่านั้น ไม่อนุญาตให้นำไปใช้ประโยชน์ด้านการค้า ไม่ว่าจะกรณีใดๆทั้งสิ้น อีกทั้งห้ามมิให้ตัดแปลงเนื้อหา และต้องอ้างอิงถึงเจ้าของเอกสารทุกครั้งที่มีการนำไปใช้

### 3.3.5 Module รับ-ส่งสัญญาณ( X-Bee Series 1 )

X-bee เป็นอุปกรณ์ที่มี Microcontroller และ RF IC อยู่ใน ทำหน้าที่เป็นอุปกรณ์ transceiver รับ-ส่งสัญญาณแบบ Half Duplex ย่านความถี่ 2.4 Ghz มีการจัดการโดยใช้พลังงานต่ำ มี interface ที่ใช้รับและส่งข้อมูลกับ X-bee เป็น UART ดังรูปที่ 3.10

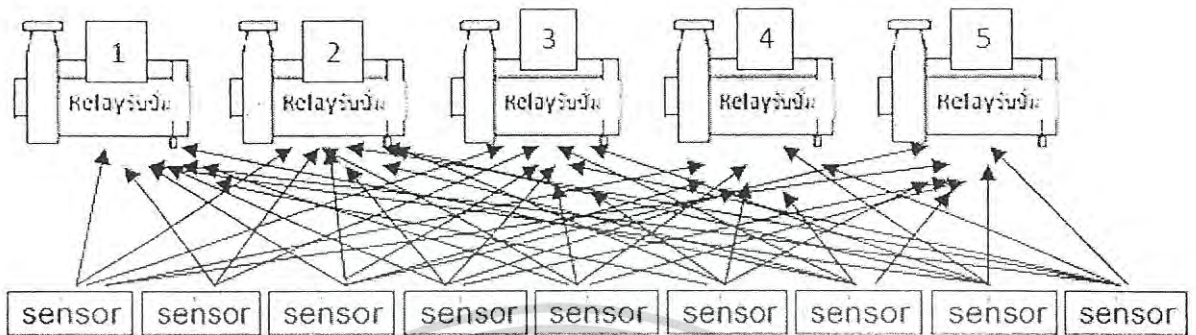


รูปที่ 3.10 วงจรรับ-ส่งสัญญาณ

### 3.3.6 หลักการทำงานของซอฟต์แวร์ ( Software control )

เริ่มจากการติดตั้งเซนเซอร์ในแปลงปลูกแล้วเปิดการทำงานของระบบโครงข่ายเซนเซอร์ จากนั้น เซตค่าความขึ้น max และ min ของ Relay หรือปั๊มแต่ละตัวที่ต้องการให้ระบบทำงานจากนั้นกด Enter จากนั้นโปรแกรมจะให้ผู้ใช้เลือกจับคู่ระหว่างเซนเซอร์กับ Relay ซึ่งสามารถเลือกใช้ได้ตามการใช้งาน โดยระบบจะทำงานสั่งให้ปั๊มทำงานตามความขึ้นของเซนเซอร์ตัวที่อ่านค่าได้น้อยที่สุด ซึ่งความขึ้นทั้งหมดของเซนเซอร์แต่ละตัวจะถูกส่งมาแสดงค่าที่หน้าจอ LCD หลังจากปั๊มทำงานจ่ายน้ำไปยังระบบจนพื้นที่แปลงปลูกนั้นมีความขึ้นเพียงพอระบบจึงจะตัดการทำงานโดยระบบการจับคู่ เซนเซอร์และ relay ปั๊มจะแสดงไว้ดังรูปที่ 3.11

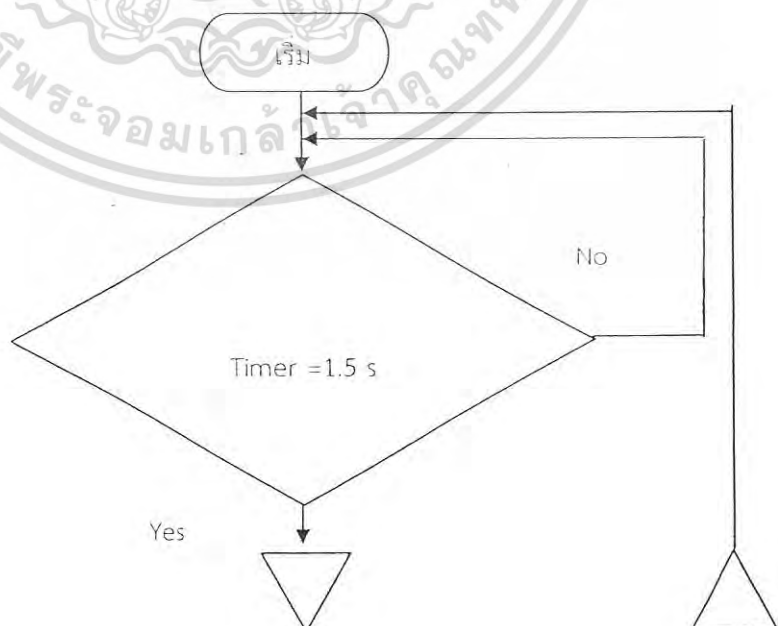
เอกสารนี้เป็นเอกสารที่สงวนไว้สำหรับการใช้งานเพื่อการศึกษาเท่านั้น ไม่อนุญาตให้นำไปใช้ประโยชน์ด้านการค้า ไม่ว่าจะกรณีใดๆทั้งสิ้น อีกทั้งห้ามมิให้ตัดแปลงเนื้อหา และต้องอ้างอิงถึงเจ้าของเอกสารทุกครั้งที่มีการนำไปใช้



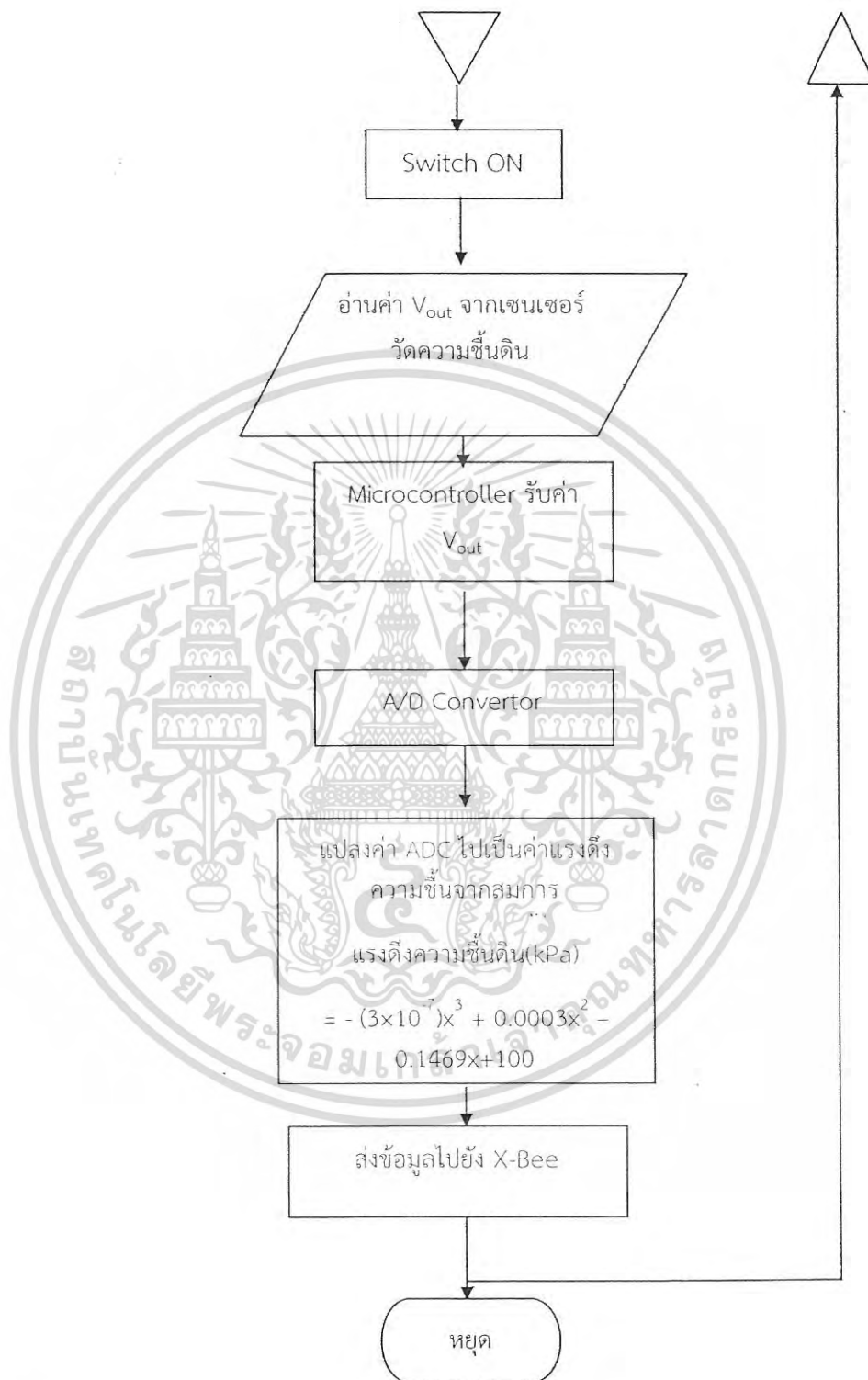
รูปที่ 3.11 โครงสร้างการจับคู่ระหว่าง relay บั้ม กับ เซนเซอร์

โดยการทำงานของระบบจะแสดงเป็น Flow chart ดังรูปที่ 3.11 , 3.12, 3.13 และ 3.14 สามารถอธิบายหลักการทำงานของระบบได้คือ

- เมื่อ timer อ่านค่าจนครบเงื่อนไขก็จะสั่งให้เปิดสวิตซ์เพื่ออ่านค่าสัญญาณไฟฟ้า OUTPUT จาก sensor วัดความชื้นดิน
- แรงดันที่มาจากเซนเซอร์จะเข้าสู่กระบวนการ ADC Conversion ความละเอียด 8 bit และนำค่าไปคำนวณในสมการที่ได้จากการทดลองเพื่อแสดงเป็นค่าแรงดึงความชื้นดินก่อนจะส่งให้ X-Bee Coordinator



เอกสารนี้เป็นเอกสารที่สงวนไว้สำหรับการใช้งานเพื่อการศึกษาเท่านั้น ไม่อนุญาตให้นำไปใช้ประโยชน์ด้านการค้า ไม่ว่าจะกรณีใดๆทั้งสิ้น อีกทั้งห้ามมิให้ตัดแปลงเนื้อหา และต้องอ้างอิงถึงเจ้าของเอกสารทุกครั้งที่มีการนำไปใช้



รูปที่ 3.12 Flow chart การทำงานของไมโครคอนโทรลเลอร์ sensor (ATMEGA8)

เอกสารนี้เป็นเอกสารที่สงวนไว้สำหรับการใช้งานเพื่อการศึกษาเท่านั้น ไม่อนุญาตให้นำไปใช้ประโยชน์ด้านการค้า ไม่ว่ากรณีใดๆทั้งสิ้น อีกทั้งห้ามมิให้ตัดแปลงเนื้อหา และต้องอ้างอิงถึงเจ้าของเอกสารทุกครั้งที่มีการนำไปใช้

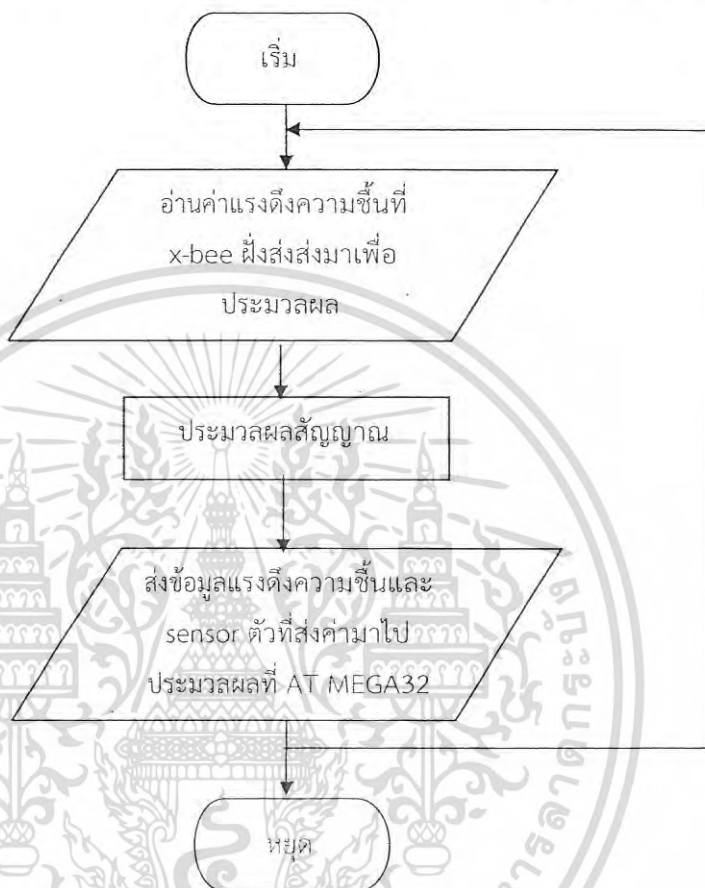
- โหนด x-Bee จะทำการตรวจสอบข้อมูลที่ได้รับข้อมูลหรือไม่ เมื่อได้รับข้อมูล ขึ้นต่อมาจะตรวจสอบว่า x-Bee ฝั่งส่งต่อกับไมโครคอนโทรลเลอร์หรือไม่ ดังแสดงในรูปที่ 3.13 เมื่อพบว่า x-Bee ฝั่งส่ง ต่อกับไมโครคอนโทรลเลอร์อยู่ จะทำการส่งข้อมูลที่เป็น package ไปยัง x-Bee ฝั่งรับต่อไป



รูปที่ 3.13 Flow chart แสดงการทำงานของ X-Bee ต้นทาง

เอกสารนี้เป็นเอกสารที่สงวนไว้สำหรับการใช้งานเพื่อการศึกษาเท่านั้น ไม่อนุญาตให้นำไปใช้ประโยชน์ด้านการค้า ไม่ว่าจะกรณีใดๆทั้งสิ้น อีกทั้งห้ามมิให้ดัดแปลงเนื้อหา และต้องอ้างอิงถึงเจ้าของเอกสารทุกครั้งที่มีการนำไปใช้

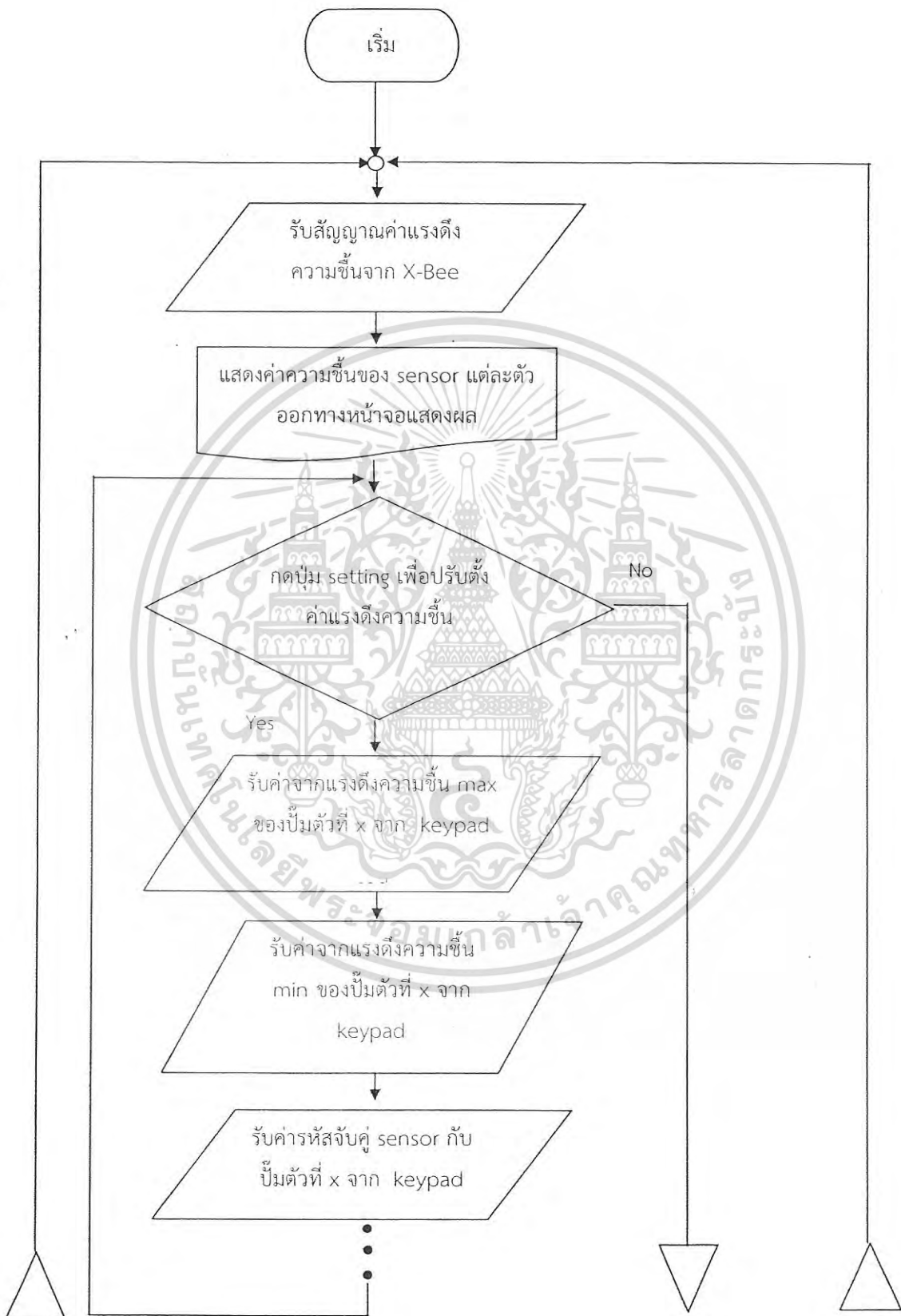
เมื่อ x-Bee ปลายทาง ได้รับข้อมูลจากต้นทาง จะทำการส่ง package ที่ได้ไปยัง ไมโครคอนโทรลเลอร์ AT MEGA 32 หรือไมโครคอนโทรลเลอร์เพื่อประมวลผลข้อมูล ดังรูปที่ 3.14



รูปที่ 3.14 Flow chart การทำงานของX-Bee ปลายทาง

- ระบบโครงข่ายเซนเซอร์ความชื้นดินจะรับค่าแรงดึงความชื้นดินจาก x-Bee แล้วแสดงผลออกทางหน้าจอแสดงผล
- หากมีการกดปุ่ม setting ค้างโปรแกรมจะเข้าสู่เมนูควบคุมระบบทันที โดยปรับตั้งค่าแรงดึงความชื้น max , min และตั้งค่าจับคู่ sensor กับ Relay แต่หากไม่มีการกดโปรแกรมจะทำงานปกติ
- เมื่อโปรแกรมทำงานปกติโปรแกรมจะทำการตรวจสอบเงื่อนไขแรงดึงความชื้น max ที่ถูกส่งมาประมวลผลหาเข้าตามเงื่อนไขระบบจะทำการขับ Relay บีมตัวที่ตั้งไว้ให้ทำงาน
- เมื่อโปรแกรมทำการขับ Relay บีมแล้วบีมจะหยุดการทำงานก็ต่อเมื่อเงื่อนไขของโปรแกรมแรงดึงความชื้น min ตรงตามเงื่อนไข
- ระบบจะหยุดการทำงานทั้งหมดหากมีการกดปุ่มหยุดหรือปุ่มรีเซตโปรแกรม

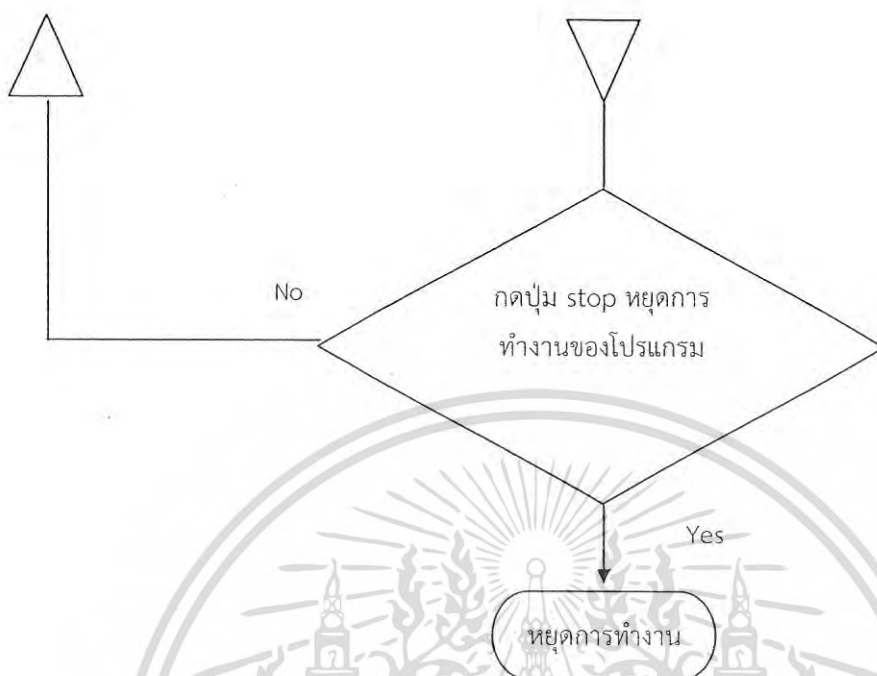
เอกสารนี้เป็นเอกสารที่สงวนไว้สำหรับการใช้งานเพื่อการศึกษาเท่านั้น ไม่อนุญาตให้นำไปใช้ประโยชน์ด้านการค้า ไม่ว่ากรณีใดๆทั้งสิ้น อีกทั้งห้ามมิให้ดัดแปลงเนื้อหา และต้องอ้างอิงถึงเจ้าของเอกสารทุกครั้งที่มีการนำไปใช้



เอกสารนี้เป็นเอกสารที่สงวนไว้สำหรับการใช้งานเพื่อการศึกษาเท่านั้น ไม่อนุญาตให้นำไปใช้ประโยชน์ด้านการค้า ไม่ว่าจะกรณีใดๆทั้งสิ้น อีกทั้งห้ามมิให้ดัดแปลงเนื้อหา และต้องอ้างอิงถึงเจ้าของเอกสารทุกครั้งที่มีการนำไปใช้



เอกสารนี้เป็นเอกสารที่สงวนไว้สำหรับการใช้งานเพื่อการศึกษาเท่านั้น ไม่อนุญาตให้นำไปใช้ประโยชน์ด้านการค้า  
ไม่ว่ากรณีใดๆทั้งสิ้น อีกทั้งห้ามมิให้ตัดแปลงเนื้อหา และต้องอ้างอิงถึงเจ้าของเอกสารทุกครั้งที่มีการนำไปใช้



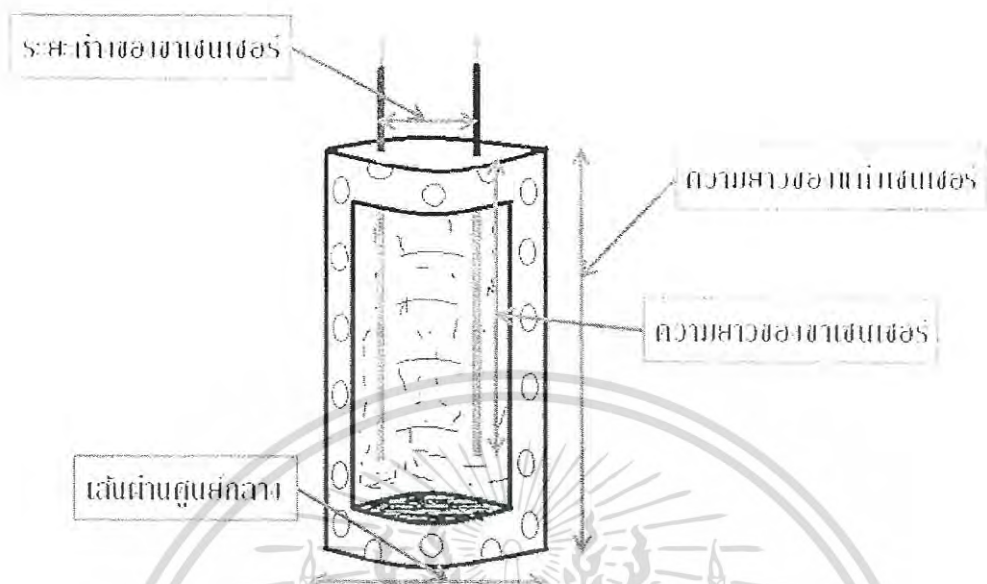
รูปที่ 3.15 Flow chart การทำงานของระบบควบคุมหลัก

### 3.4 ทดลองและวิเคราะห์ข้อมูล

#### 3.4.1 การทดลองหาขนาดที่เหมาะสมของเซนเซอร์

การทดลองนี้เป็นการทดลองเพื่อหาความเหมาะสมของขนาดเซนเซอร์โดยต้องคำนึงถึงความยากง่ายและต้นทุนในผลิตรด้วย โดยเก็บค่า ADC หรือค่าความต่างศักย์ ( $V_{OUT}$ ) ที่ไมโครคอนโทรลเลอร์แปลงค่าจาก analog เป็น digital ซึ่งการทดลองนี้ได้ทำการจำลองสร้าง sensor ขึ้นมาดังรูปที่ 3.16 โดยทำการทดลองตัวอย่างที่ไม่หุ้มวัสดุปูนปลาสเตอร์ทำการทดลองที่ดินชนิดต่างๆ และเปรียบเทียบกับตัวอย่างที่หุ้มปูนปลาสเตอร์ และทดลองวัดความเร็วการตรวจจับความชื้นของเซนเซอร์ขนาดต่างๆ (ทดสอบวัดที่แรงดึงความชื้นดินเป็น 0 kPa) และเปรียบเทียบความจำเป็นในการหุ้มตาข่ายที่เซนเซอร์และปัจจัยอื่นๆ เช่น เวลาในการตรวจจับ

เอกสารนี้เป็นเอกสารที่สงวนไว้สำหรับการใช้งานเพื่อการศึกษาเท่านั้น ไม่อนุญาตให้นำไปใช้ประโยชน์ด้านการค้า ไม่ว่าจะกรณีใดๆทั้งสิ้น อีกทั้งห้ามมิให้ดัดแปลงเนื้อหา และต้องอ้างอิงถึงเจ้าของเอกสารทุกครั้งที่มีการนำไปใช้



รูปที่ 3.16 ลักษณะเซนเซอร์ตรวจจับความชื้นดิน

ทำการทดลองโดยสร้างเซนเซอร์ขนาดต่างๆ ดังตารางที่ 4.1 จากนั้นทำการทดลองโดยใช้บีกเกอร์ขนาด 250 ml ใส่ดินจนเต็มจากนั้นฝังเซนเซอร์ที่สร้างขึ้นไป เติมน้ำจนดินอิ่มตัวเริ่มวัดค่า ADC จับเวลาการวัดไปจนค่าเริ่มไม่เปลี่ยนแปลง แล้วนำไปชั่งน้ำหนักเพื่อหาค่าความชื้นจากนั้นแปลงค่าความชื้นเป็นแรงดึงความชื้นโดยใช้โปรแกรม swrc fit [14-18] จากนั้นนำไปอบไล่ความชื้นเป็นเวลาห่างกันครั้งละ 1 ชั่วโมง แล้วนำมาเก็บข้อมูลความชื้นและค่า ADC อีกครั้ง ซึ่งผลที่ได้ นำข้อมูลไปวิเคราะห์ผลทางสถิติอีกครั้งดังหัวข้อ 3.2.2

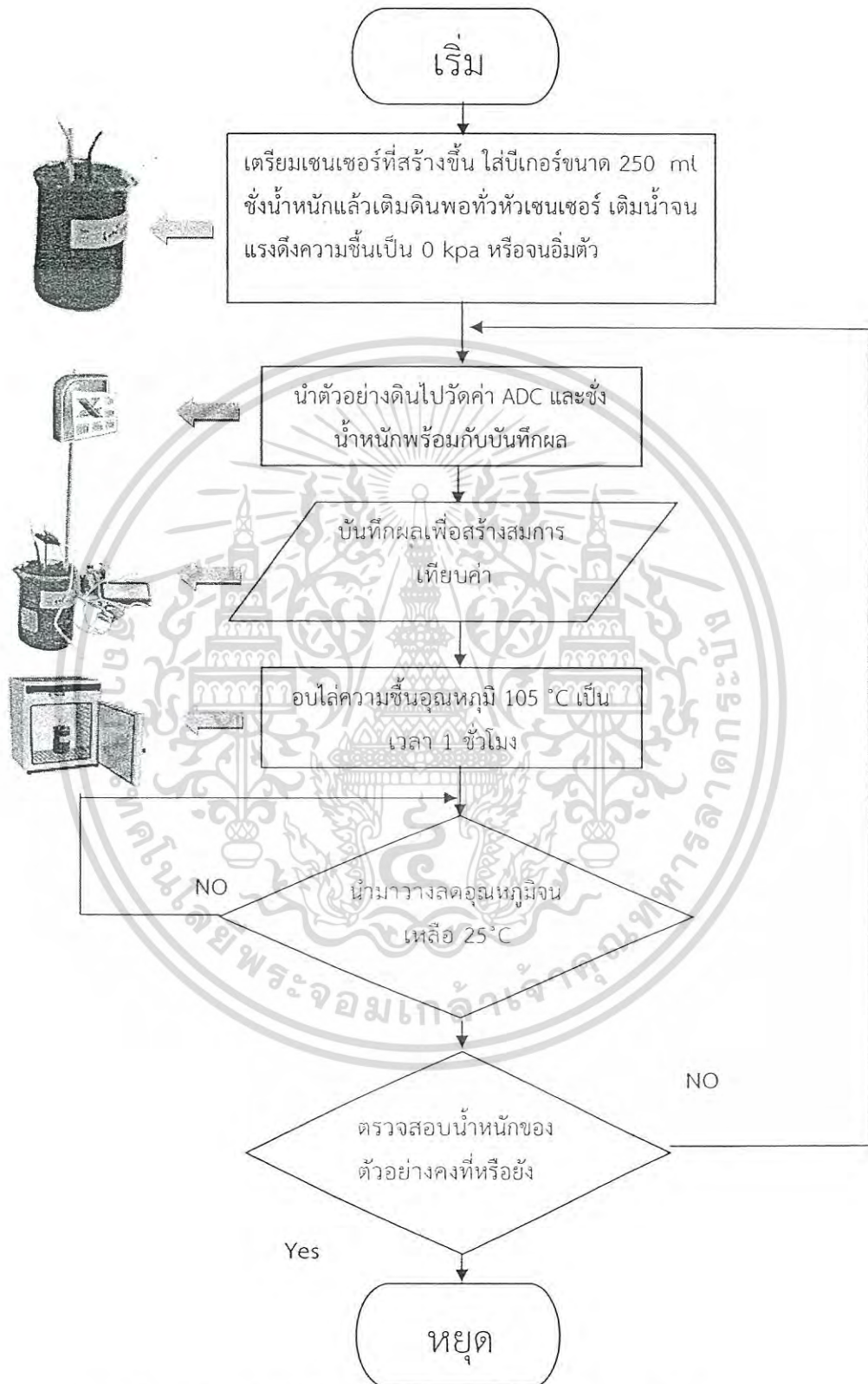
### 3.4.2 การทดลอง calibrate ค่าแรงดึงความชื้นดินกับค่า ADC

จากการสร้างเซนเซอร์วัดความชื้นในดินขึ้นโดยอาศัยหลักการความต้านทานไฟฟ้า ได้ออกมาเป็นค่าทางไฟฟ้า ( $V_{out}$ ) ทำให้ต้องมีการเทียบเคียงค่าของแรงดันไฟฟ้าที่ได้จากเซนเซอร์วัดความชื้นในดินที่สร้างขึ้น ทำการทดลองเทียบเคียงกับค่าแรงดึงความชื้นโดยใช้เซนเซอร์วัดแรงดึงความชื้นดินที่สร้างขึ้นซึ่งมีขั้นตอนดังนี้

#### 3.4.2.1 ทดลองวัดค่า ADC แรงดันไฟฟ้าและชั่งน้ำหนัก โดยวัดที่ความชื้นในแต่ละช่วง

การทดลองทำโดยนำเซนเซอร์ที่เตรียมไว้ใส่บีกเกอร์ขนาด 250 ml แล้วใส่ดินพอท่วมเซนเซอร์ เติมน้ำจนแรงดึงความชื้นดินเป็น 0 kPa จากนั้นวัดค่า ADC เริ่มต้นและชั่งน้ำหนัก ต่อมานำดินไปอบไล่ความชื้นที่อุณหภูมิ 105°C เป็นเวลา 1 ชั่วโมง แล้วนำตัวอย่างมาลดอุณหภูมิจนเท่ากับอุณหภูมิห้องหรือ 25°C แล้วจึงวัดค่า ADC และชั่งน้ำหนักอีกครั้ง เก็บตัวอย่างอย่างนี้เรื่อยไป จนกว่าดินจะแห้ง โดยขั้นตอนการลดความชื้นเพื่อวัดเทียบเคียงค่า ADC กับแรงดึงความชื้นจะแสดงไว้ในรูปที่ 3.17

เอกสารนี้เป็นเอกสารที่สงวนไว้สำหรับการใช้งานเพื่อการศึกษาเท่านั้น ไม่อนุญาตให้นำไปใช้ประโยชน์ด้านการค้า ไม่ว่าจะกรณีใดๆทั้งสิ้น อีกทั้งห้ามมิให้ตัดแปลงเนื้อหา และต้องอ้างอิงถึงเจ้าของเอกสารทุกครั้งที่มีการนำไปใช้



รูปที่ 3.17 โฟลว์ชาร์ตขั้นตอนการลดความชื้นดินเพื่อวัดค่า ADC

เอกสารนี้เป็นเอกสารที่สงวนไว้สำหรับการใช้งานเพื่อการศึกษาเท่านั้น ไม่อนุญาตให้นำไปใช้ประโยชน์ด้านการค้า ไม่ว่าจะกรณีใดๆทั้งสิ้น อีกทั้งห้ามมิให้ดัดแปลงเนื้อหา และต้องอ้างอิงถึงเจ้าของเอกสารทุกครั้งที่มีการนำไปใช้

### 3.4.2.2 คำนวณหาเปอร์เซ็นต์ความชื้นดินโดยน้ำหนัก

จากสูตร

$$P_w = \left( \frac{W_w}{W_s} \right) \times 100 \quad (3.1)$$

เมื่อ

$P_w$  = เปอร์เซ็นต์ความชื้นโดยเทียบกับน้ำหนักของดินแห้ง

$W_w$  = น้ำหนักของน้ำในดิน

$W_s$  = น้ำหนักของดินอบแห้งโดยเตาอบ

### 3.4.2.3 หาค่าความชื้นดินโดยปริมาตร

จากสูตร

$$P_v = P_w \times A_s \quad (3.2)$$

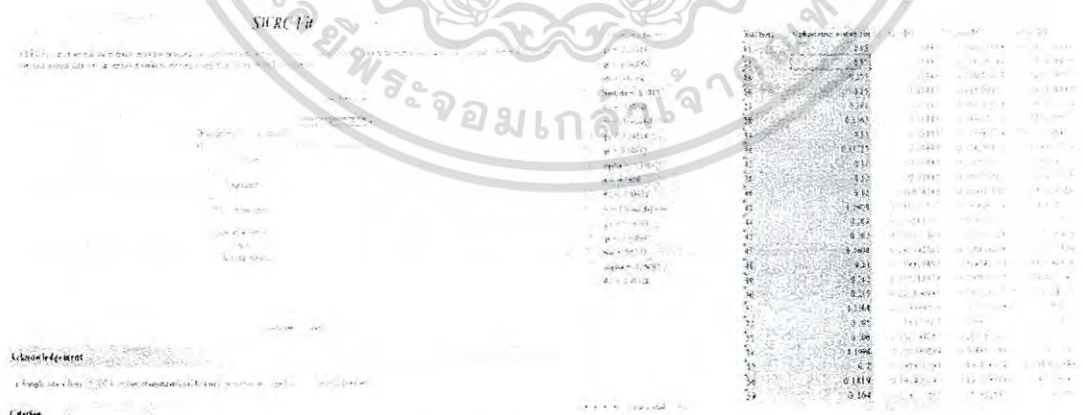
เมื่อ

$P_v$  = เปอร์เซ็นต์ความชื้นโดยปริมาตร

$P_w$  = เปอร์เซ็นต์ความชื้นโดยน้ำหนัก

$A_s$  = ความถ่วงจำเพาะปรากฏ

3.4.2.4 ทำการแปลงค่าความชื้นที่ได้เป็นค่าแรงดึงความชื้นโดยใช้โปรแกรม SWRC Fit ซึ่งเป็นโปรแกรมที่จำลองมาจาก BC model, VG model, LN model, DB model, BL model [14-19]

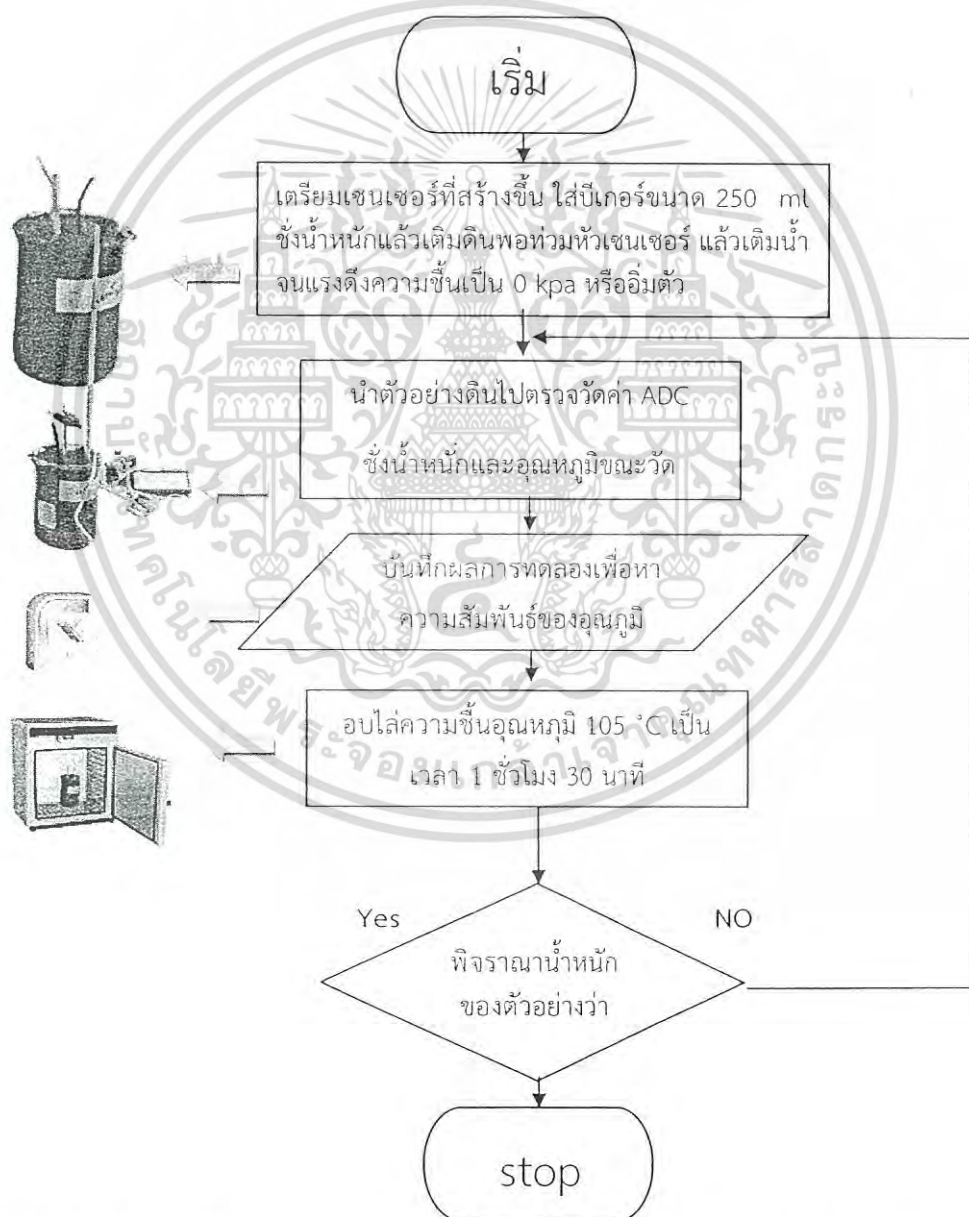


รูปที่ 3.18 โปรแกรม swrc fit แปลงค่าความชื้นเป็นแรงดึงความชื้น

เอกสารนี้เป็นเอกสารที่สงวนไว้สำหรับการใช้งานเพื่อการศึกษาเท่านั้น ไม่อนุญาตให้นำไปใช้ประโยชน์ด้านการค้า ไม่ว่าจะกรณีใดๆทั้งสิ้น อีกทั้งห้ามมิให้ตัดแปลงเนื้อหา และต้องอ้างอิงถึงเจ้าของเอกสารทุกครั้งที่มีการนำไปใช้


### 3.4.3 การทดสอบประสิทธิภาพของเซนเซอร์กับปัจจัยอุณหภูมิที่อาจส่งผลต่อเซนเซอร์

การทดลองนี้ทำการทดลองเพื่อหาความสัมพันธ์ระหว่างค่า ADC ที่ไมโครคอนโทรลเลอร์วัดได้กับอุณหภูมิดินว่ามีผลมากน้อยเพียงใดในการวัดค่าแรงดึงความชื้นแต่ละครั้งทำการทดลองโดยใช้เซนเซอร์ที่สร้างขึ้นใส่ลงไปในบีกเกอร์ขนาด 250ml กับดินแล้วเซตให้มีความชื้นดินเริ่มต้นให้ดินอึดตัวจากนั้นนำไปอบเพื่อลดความชื้นที่อุณหภูมิ 105°C เป็นเวลา 1 ชั่วโมง 30 นาทีที่ตู้อบลมร้อนโดยแต่ละครั้งก็นำไปอบไล่ความชื้นจะนำมาวัดอุณหภูมิดินไปพร้อมกับวัดค่า ADC แล้วบันทึกผลการทดลองเป็นระยะๆ ห่างกันครั้งละ 1 ชั่วโมง 30 นาที โดยมีขั้นตอนการทดลองดังโฟลว์ชาร์ต รูปที่ 3.19



รูปที่ 3.19 โฟลว์ชาร์ตขั้นตอนการทดลองวัดค่าอุณหภูมิเปรียบเทียบความสัมพันธ์กับค่า ADC

เอกสารนี้เป็นเอกสารที่สงวนไว้สำหรับการใช้งานเพื่อการศึกษาเท่านั้น ไม่อนุญาตให้นำไปใช้ประโยชน์ด้านการค้า ไม่ว่าจะกรณีใดๆทั้งสิ้น อีกทั้งห้ามมิให้ตัดแปลงเนื้อหา และต้องอ้างอิงถึงเจ้าของเอกสารทุกครั้งที่มีการนำไปใช้

จากนั้นนำผลน้ำหนักตัวอย่างในแต่ละช่วงที่ได้ไปหาค่าปอร์เซ็นต์ความชื้น เสร็จแล้วแปลงค่าให้เป็นค่าแรงดึงความชื้นโดยใช้โปรแกรม SWRC  ดังการทดลองหัวข้อ 3.4.2.2 - 3.4.2.4 จากนั้นนำผลการทดลองทั้งหมดที่ได้มาวิเคราะห์หาความสัมพันธ์ระหว่างอุณหภูมิกับค่า ADC หรือค่าแรงดึงความชื้นที่วัดได้จากเซนเซอร์ที่ทำงานขึ้นถึงการเปลี่ยนแปลงของค่า ADC มากน้อยเพียงใดสามารถวิเคราะห์ได้จากกราฟสรุปผลการทดลอง

### 3.4.4 ทดสอบประสิทธิภาพของเซนเซอร์กับปัจจัยค่า pH ดินที่เปลี่ยนแปลง

การทดลองนี้มีจุดประสงค์เพื่อหาความสัมพันธ์ระหว่างค่า ADC ที่ไมโครคอนโทรลเลอร์วัดได้จากเซนเซอร์ที่พัฒนาขึ้น และค่าความเป็นกรดต่างของดินซึ่งในที่นี้วัดความเป็นกรดต่างโดยใช้ pH meter ดินซึ่งมีช่วงการวัดอยู่ระหว่าง pH= 3 ถึง 8 (ช่วงที่ pH ที่เหมาะกับการเพาะปลูกพืชทั่วไป) โดยการเตรียมดินที่ใช้ในการทดลองในการวิจัยนี้ใช้ดินร่วนปนทรายที่มีค่า pH = 6.5 การทดลองซึ่งการเตรียมดินให้เป็นต่างจะใช้ปูนขาวในอัตราส่วน 1:9 ในการปรับค่า pH ให้ครั้งละ 0.5

**ตัวอย่าง** การผสมเตรียมดินให้เป็นต่าง

ถ้าหากจะเตรียมดินให้มีค่า pH = 8 โดยดินตัวอย่างเริ่มต้นมี pH = 6.5 หากใช้ดิน 1 กิโลกรัมควรใช้ปูนขาวเท่ากับ ?

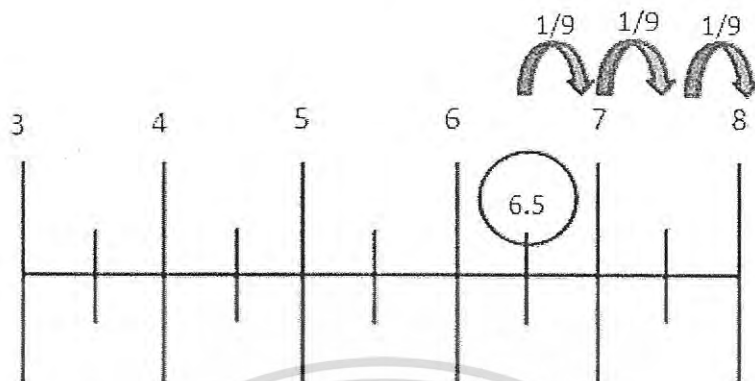
**วิธีทำ**

ถ้าดินตัวอย่างมี pH เริ่มต้น 6.5 น้ำหนัก = 1 กิโลกรัม

ดังนั้นหากต้องการผสมดินให้มี pH เท่ากับ 8 ควรใช้ปูนขาวหนัก =  $(\frac{1}{9} \times 3) \times 1$

= 0.33 กิโลกรัม

เอกสารนี้เป็นเอกสารที่สงวนไว้สำหรับการใช้งานเพื่อการศึกษาเท่านั้น ไม่อนุญาตให้นำไปใช้ประโยชน์ด้านการค้าไม่ว่ากรณีใดๆทั้งสิ้น อีกทั้งห้ามมิให้ตัดแปลงเนื้อหา และต้องอ้างอิงถึงเจ้าของเอกสารทุกครั้งที่มีการนำไปใช้



PH  
รูปที่ 3.20 การเตรียมดินให้เป็นเบส

การเตรียมดินให้เป็นกรดจะใช้กำมะถันในอัตราส่วน 1:20 ในการปรับค่า pH ให้ลดลงครึ่งละ 0.5

**ตัวอย่าง** การผสมเตรียมดินลงให้เป็นกรด

ถ้าหากจะเตรียมดินให้มีค่า pH = 3 โดยดินตัวอย่างเริ่มต้นมี pH = 6.5 หากใช้ดิน 1 กิโลกรัมควรใช้กำมะถันผงเท่ากับ ?

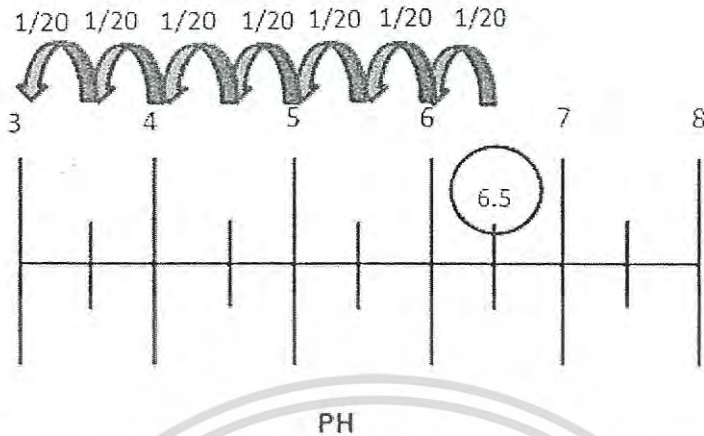
**วิธีทำ**

ถ้าดินตัวอย่างมี pH เริ่มต้น 6.5 น้ำหนัก = 1 กิโลกรัม

ดังนั้นหากต้องการผสมดินให้มี pH เท่ากับ 3 ควรใช้กำมะถันหนัก =  $\left(\frac{1}{20} \times 7\right) \times 1$

= 0.35 กิโลกรัม

เอกสารนี้เป็นเอกสารที่สงวนไว้สำหรับการใช้งานเพื่อการศึกษาเท่านั้น ไม่อนุญาตให้นำไปใช้ประโยชน์ด้านการค้า  
ไม่ว่ากรณีใดๆทั้งสิ้น อีกทั้งห้ามมิให้ตัดแปลงเนื้อหา และต้องอ้างอิงถึงเจ้าของเอกสารทุกครั้งที่มีการนำไปใช้

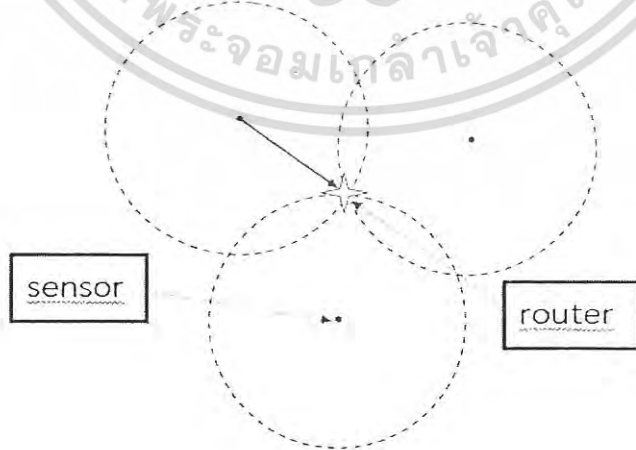


รูปที่ 3.21 การเตรียมดินให้เป็นกรด

จากนั้นนำดินตัวอย่างดินที่เตรียมไว้ไปผสมน้ำเพื่อปรับค่าความชื้นดินในช่วงต่างๆ 3 ช่วง แล้วทำการวัดค่า pH ของดินโดยใช้เครื่อง pH meter , ค่า ADC ที่ไมโครคอนโทรลเลอร์อ่านได้ และค่าแรงดึงความชื้นทำการทดลองแล้วบันทึกผลการทดลอง ซึ่งค่าแรงดึงความชื้นสามารถหาได้ดังหัวข้อ 3.4.2.2 - 3.4.2.3

### 3.4.5 ทดสอบประสิทธิภาพของระบบกับปัจจัยการส่งสัญญาณ

ทดสอบการทำงานของระบบโครงข่าย ทดสอบในสถานที่จริงพร้อมทั้งหาความสัมพันธ์และประเมินความเป็นไปได้ของจำนวนเซนเซอร์ต่อการใช้น้ำหนึ่งหน่วยพื้นที่โดยการใช้เซนเซอร์จำนวน 10 ตัวทดสอบวัดค่าความชื้น ดังรูปที่ 3.22



รูปที่ 3.22 การวัดระยะการส่งสัญญาณเพื่อประเมินพื้นที่

เอกสารนี้เป็นเอกสารที่สงวนไว้สำหรับการใช้งานเพื่อการศึกษาเท่านั้น ไม่อนุญาตให้นำไปใช้ประโยชน์ด้านการค้า ไม่ว่าจะกรณีใดๆทั้งสิ้น อีกทั้งห้ามมิให้ตัดแปลงเนื้อหา และต้องอ้างอิงถึงเจ้าของเอกสารทุกครั้งที่มีการนำไปใช้

โดยทำการทดลองโดยการเซตค่าความชื้นที่ปักเกอร์ 3 ระดับความชื้นวัดอุณหภูมิดินให้อยู่ในระดับเท่าๆกัน จากนั้นให้ผู้ทดลองถือชุดเซนเซอร์พร้อมกับปักเกอร์ดินที่ระดับความชื้นต่างๆ โดยให้คอนโทรลเลอร์ตัวหลักอยู่ตรงกลางวัดหาระยะสัญญาณแบบสุ่มโดยความชื้นที่แตกต่างก่อนแล้ววัดระยะทางจากคอนโทรลเลอร์ตัวหลักจนถึงเซนเซอร์ ซึ่งขนาดพื้นที่ที่เซนเซอร์ 1 ตัวครอบคลุมหากพิจารณาเพียงระยะสัญญาณสามารถหาได้จากสูตร

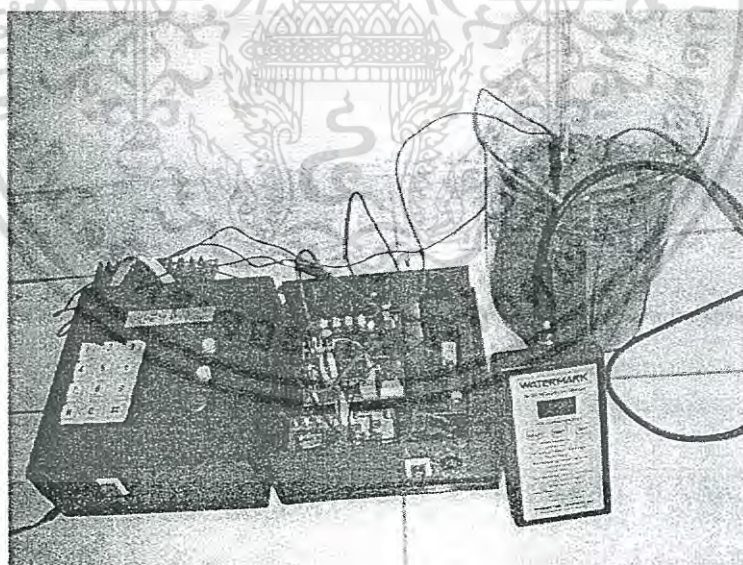
$$\text{ขนาดพื้นที่ที่เซนเซอร์ 1 ตัวครอบคลุม (m}^2\text{)} = \pi \times (\text{ระยะสัญญาณของเซนเซอร์})^2 \quad (3.3)$$

### 3.4.6 การทดสอบการทำงานของระบบ

แบ่งออกเป็นสองส่วนคือ

#### 3.4.6.1 การทดสอบระบบในห้องทดลองเพื่อทดสอบการทำงานอย่างเป็นระบบ

โดยเริ่มจากการวัดค่าแรงดึงความชื้นเทียบกับเครื่องมือวัดมาตรฐาน ซึ่งในกรณีวิจัยนี้ใช้เครื่องมือวัดความชื้นดิน Soil Moisture Meter ซึ่งวัดค่าแรงดึงความชื้นออกมาเป็นเซนติบาร์ หรือ kPa ดังรูปที่ .

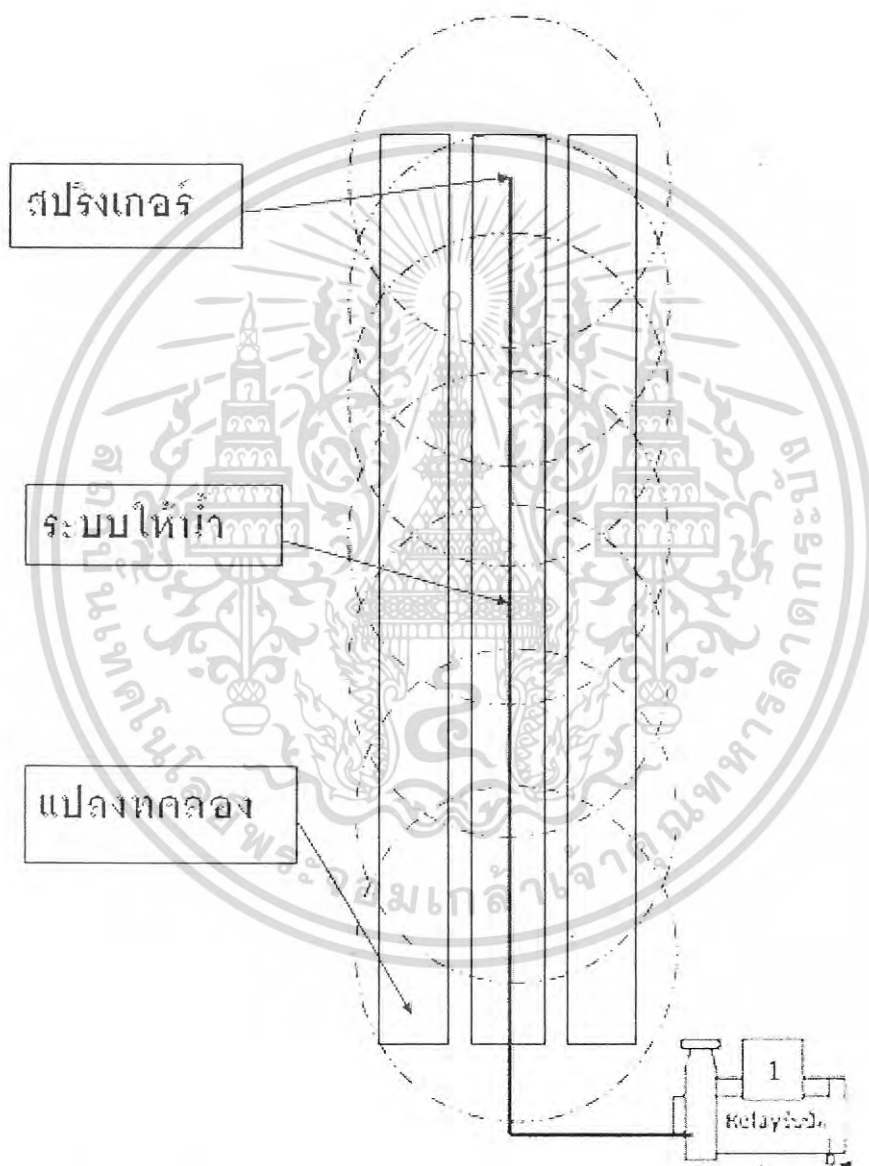


รูปที่ 3.23 การทดลองวัดความชื้นดินเทียบกับ Soil Moisture Meter

#### 3.4.6.2 การทดสอบในแปลงจริงเพื่อหาประสิทธิภาพการทำงานของระบบ

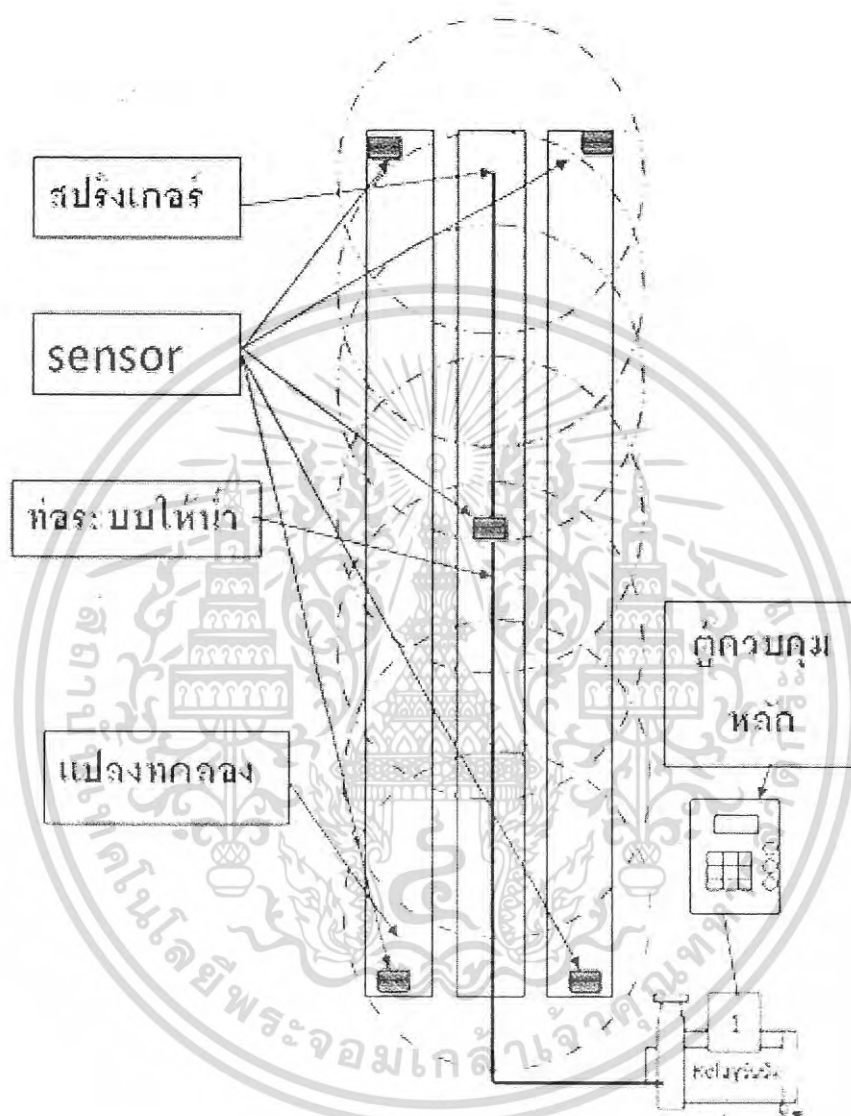
การทดลองนี้จะเป็นการทดลองในแปลงจริงซึ่งทำการทดลองโดยการเตรียมแปลงปลูกในการวิจัยนี้เลือกใช้ผักบุ้งในการทดลองโดยแบ่งแปลงปลูกออกเป็น 6 แปลง ขนาดแปลงละ 1 × 30 m ติดเอกสารนี้เป็นเอกสารที่สงวนไว้สำหรับการใช้งานเพื่อการศึกษาเท่านั้น ไม่อนุญาตให้นำไปใช้ประโยชน์ด้านการค้า ไม่ว่าจะกรณีใดๆทั้งสิ้น อีกทั้งห้ามมิให้ตัดแปลงเนื้อหา และต้องอ้างอิงถึงเจ้าของเอกสารทุกครั้งที่มีการนำไปใช้

ระบบให้น้ำระบบสปริงเกอร์เหมือนกัน แต่แบ่งแปลง 3 แปลงปลูกเป็นแปลงที่ใช้ระบบโครงข่าย เซนเซอร์ความชื้นดินเป็นตัวควบคุมความชื้นโดยต่อปั้ม 1 ตัวเข้าไปกับระบบโครงข่าย ส่วนแปลงทดลอง อีก 3 แปลงก็ติดตั้งระบบใช้น้ำแบบสปริงเกอร์เหมือนกันแต่ใช้เกษตรกรควบคุมระบบเองซึ่งทำงานตาม ความต้องการของเกษตรกรหรือทำงานโดยการควบคุมของผู้ใช้งานดังรูปที่ 3.24 และ 3.25



รูปที่ 3.24 แบบแปลงการทดลองควบคุมการให้น้ำโดยเกษตรกร

เอกสารนี้เป็นเอกสารที่สงวนไว้สำหรับการใช้งานเพื่อการศึกษาเท่านั้น ไม่อนุญาตให้นำไปใช้ประโยชน์ด้านการค้า ไม่ว่ากรณีใดๆทั้งสิ้น อีกทั้งห้ามมิให้ตัดแปลงเนื้อหา และต้องอ้างอิงถึงเจ้าของเอกสารทุกครั้งที่มีการนำไปใช้



รูปที่ 3.25 แบบแปลงทดลองควบคุมการให้น้ำโดยระบบโครงข่ายความชื้นดินควบคุมการให้น้ำพืช

จากนั้นทำการวิเคราะห์ผลการทำงานเพื่อหาประสิทธิภาพการทำงานและพิจารณาถึงความเหมาะสมของจำนวนการติดตั้งเซนเซอร์ในแปลงรวมถึงวิเคราะห์ถึงต้นทุนในการใช้งานระบบโครงข่ายเซนเซอร์ความชื้นในดินเพื่อควบคุมการให้น้ำพืช

เอกสารนี้เป็นเอกสารที่สงวนไว้สำหรับการใช้งานเพื่อการศึกษาเท่านั้น ไม่อนุญาตให้นำไปใช้ประโยชน์ด้านการค้า ไม่ว่าจะกรณีใดๆทั้งสิ้น อีกทั้งห้ามมิให้ตัดแปลงเนื้อหา และต้องอ้างอิงถึงเจ้าของเอกสารทุกครั้งที่มีการนำไปใช้

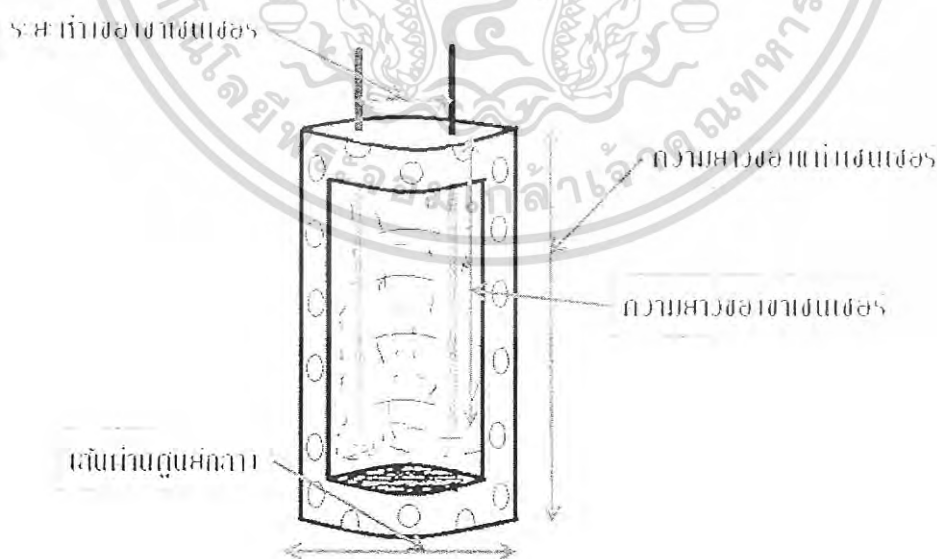
## บทที่ 4

### ผลการทดลอง

การศึกษาร่างแบบจำลองเทียบเคียงและการทดสอบระบบโครงข่ายเซนเซอร์ความชื้นดินสำหรับควบคุมการให้น้ำพืชสามารถแบ่งศึกษาออกเป็นส่วนหลักๆ คือ การหาขนาดที่เหมาะสมของหัวเซนเซอร์ การเทียบเคียงค่า  $V_{out}$  ADC และค่าแรงดึงความชื้น การทดสอบหัวเซนเซอร์กับอุณหภูมิ pH ดิน และชนิดดินต่างๆ การหาระยะการส่งสัญญาณระหว่างชุดเซนเซอร์ในแปลงและส่วนควบคุมหลัก และการทดสอบติดตั้งระบบในแปลงทดลองจริงเพื่อหาผลผลิตที่เพิ่มขึ้นและจุดคุ้มทุนของอุปกรณ์ ดังนั้นจึงแบ่งการศึกษา ดังนี้

#### 4.1 การหาขนาดเหมาะสมและเปรียบเทียบความจำเป็นในการหุ้มวัสดุประเภทปูนปาสเตอร์ที่หัวเซนเซอร์ที่เหมาะสม

การทดลองนี้ได้ทำการจำลองสร้าง sensor ขึ้นมาดังรูปที่ 4.1 โดยทำการทดลองตัวอย่างที่ไม่หุ้มวัสดุปูนปาสเตอร์ทำการทดลองที่ดินชนิดต่างๆ และเปรียบเทียบกับตัวอย่างที่หุ้มปูนปาสเตอร์ และทดลองวัดความเร็วการตรวจจับความชื้นของเซนเซอร์ขนาดต่างๆ (ทดสอบวัดที่แรงดึงความชื้นดินเป็น 0 kPa) และเปรียบเทียบความจำเป็นในการหุ้มตาข่ายที่เซนเซอร์และปัจจัยอื่นๆ เช่น เวลาในการตรวจจับ



รูปที่ 4.1 ลักษณะเซนเซอร์ตรวจจับความชื้นดิน

เอกสารนี้เป็นเอกสารที่สงวนไว้สำหรับการใช้งานเพื่อการศึกษาเท่านั้น ไม่อนุญาตให้นำไปใช้ประโยชน์ด้านการค้า ไม่ว่าจะกรณีใดๆทั้งสิ้น อีกทั้งห้ามมิให้ตัดแปลงเนื้อหา และต้องอ้างอิงถึงเจ้าของเอกสารทุกครั้งที่มีการนำไปใช้

ทำการทดลองโดยสร้างเซนเซอร์ขนาดต่างๆ ดังตารางที่ 4.1 จากนั้นทำการทดลองโดยใช้บีกเกอร์ขนาด 250 ml ใส่ดินจนเต็มจากนั้นฝังเซนเซอร์ที่สร้างขึ้นลงไป เติมน้ำจนดินอิ่มตัวเริ่มวัดค่า ADC จับเวลาการวัดไปจนค่าเริ่มไม่เปลี่ยนแปลง แล้วนำไปชั่งน้ำหนักเพื่อหาค่าความชื้นจากนั้นแปลงค่าความชื้นเป็นแรงดึงความชื้นโดยใช้โปรแกรม swrc fit จากนั้นนำไปบไล์ความชื้นเป็นเวลาห่างกันครั้งละ 1 ชั่วโมง แล้วนำมาเก็บข้อมูลความชื้นและค่า ADC อีกครั้ง ซึ่งผลที่ได้ นำข้อมูลไปวิเคราะห์ผลทางสถิติอีกครั้ง

ตารางที่ 4.1 ผลการทดลองความเร็วในการตรวจจับความชื้นดินของเซนเซอร์แต่ละขนาด

ลักษณะของหัวเซนเซอร์				เวลาในการตรวจจับ (วินาที)	ความสะดวกต่อการใช้งานและลักษณะการตรวจจับ	หมายเหตุ
ความกว้างหลอด (cm)	ขนาดหลอดขาเซนเซอร์ (mm)	ความยาวของเซนเซอร์ (cm)	เส้นผ่านศูนย์กลาง (cm)			
0.5	2.5	6.5	2.5	45	แตกหักได้ยากขึ้น เนื่องจากหุ้มตะแกรงหลอด	
0.5	2.5	6.5	2.5	20	อาจแตกหักหรือชำรุดได้ง่ายเนื่องจากเปราะบางไม่คงทน	ไม่หุ้มตะแกรงอลูมิเนียม
1	2.5	6.5	2.5	50	มีการนำไฟฟ้าได้ดี เหมาะแก่การตรวจจับ	
1.5	2.5	6.5	2.5	57	มีการนำไฟฟ้าได้ดี เหมาะแก่การตรวจจับ	
1	3	6.5	2.5	43	มีการนำไฟฟ้าได้ดีที่สุดแต่ลำบากในการผลิต	

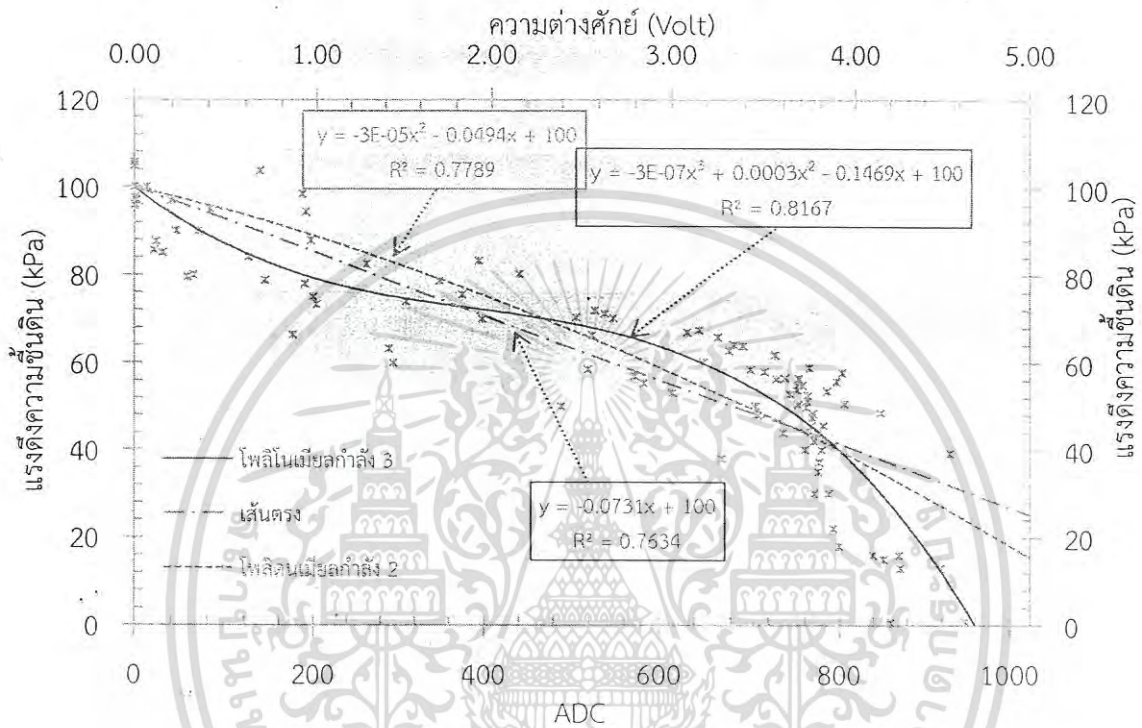
เอกสารนี้เป็นเอกสารที่สงวนไว้สำหรับการใช้งานเพื่อการศึกษาเท่านั้น ไม่อนุญาตให้นำไปใช้ประโยชน์ด้านการค้า ไม่ว่าจะกรณีใดๆทั้งสิ้น อีกทั้งห้ามมิให้ตัดแปลงเนื้อหา และต้องอ้างอิงถึงเจ้าของเอกสารทุกครั้งที่มีการนำไปใช้

ลักษณะของหัวเซนเซอร์				เวลาในการ ตรวจจับ (วินาที)	ความสะดวกต่อการใช้ งานและลักษณะการ ตรวจจับ	หมายเหตุ
ความ กว้างหลอด (cm)	ขนาดหลอด ขา เซนเซอร์ (mm)	ความยาว ของ เซนเซอร์ (cm)	เส้นผ่าน ศูนย์กลาง (cm)			
1	2	6.5	2.5	58	มีการนำไฟฟ้าได้ดีปาน กลาง	
1	2.5	7	2.5	54	มีการนำไฟฟ้าได้ดีแต่ไม่ ค่อยสะดวกต่อการใช้ งานจริง	
1	2.5	6	2.5	47	มีการนำไฟฟ้าได้ดี เหมาะแก่การตรวจจับ	
1	2.5	6.5	3	60	มีการนำไฟฟ้าได้ดีแต่ เวลาในการตรวจจับช้า สุด	
1	2.5	6.5	2	45	มีการนำไฟฟ้าดีแต่ผลิต ยากเนื่องจากขอบขา เซนเซอร์ติดเกินไป	

เอกสารนี้เป็นเอกสารที่สงวนไว้สำหรับการใช้งานเพื่อการศึกษาเท่านั้น ไม่อนุญาตให้นำไปใช้ประโยชน์ด้านการค้า  
ไม่ว่ากรณีใดๆทั้งสิ้น อีกทั้งห้ามมิให้ตัดแปลงเนื้อหา และต้องอ้างอิงถึงเจ้าของเอกสารทุกครั้งที่มีการนำไปใช้

## 4.2 การวัดค่า ADC ซึ่งได้จากไมโครคอนโทรลเลอร์แปลงค่าความต่างศักย์จาก analog เป็น digital เพื่อ calibrate ค่ากับค่าแรงดึงความขึ้นดินมาตรฐาน

จากการทดลอง calibrate ของค่าแรงดึงความขึ้นดินและค่า ADC ได้ดังกราฟรูปที่ 4.2



รูปที่ 4.2 ความสัมพันธ์ระหว่างแรงดึงความขึ้นดินกับ ADC

ค่า ADC ของไมโครคอนโทรลเลอร์ที่ใช้ในการทดลองมีค่าในช่วง 0 - 1023 โดยค่า ADC มีความสัมพันธ์กับค่าความต่างศักย์ของไฟฟ้า 0 - 5 Volt มีความสัมพันธ์ดังรูปสมการคือ

$$ADC = \frac{\text{ความต่างศักย์ไฟฟ้า(Volt)} \times 1023}{5 \text{ (volt)}}$$

จากรูปสมการหากความต่างศักย์ไฟฟ้า 5 V. ผ่าน input ของไมโครคอนโทรลเลอร์ ไมโครคอนโทรลเลอร์จะอ่านค่า ADC ได้เท่ากับ 1023 แต่ในความเป็นจริงแล้วในการทดลองวัดค่า ADC นั้นมีความต่างศักย์สูงสุดที่รับได้คือ 4.6 V.หรือมีค่า ADC เท่ากับ 940 ทั้งนี้เนื่องจากดินและปุ๋ยปัสเตอร์

เอกสารนี้เป็นเอกสารที่สงวนไว้สำหรับการใช้งานเพื่อการศึกษาเท่านั้น ไม่อนุญาตให้นำไปใช้ประโยชน์ด้านการค้า ไม่ว่าจะกรณีใดๆทั้งสิ้น อีกทั้งห้ามมิให้ตัดแปลงเนื้อหา และต้องอ้างอิงถึงเจ้าของเอกสารทุกครั้งที่มีการนำไปใช้

เป็นวัสดุกึ่งนำไฟฟ้าแต่ไม่ใช่วัสดุนำไฟฟ้า ดังนั้นกระแสไฟฟ้าที่ส่งลงไป ( 5 V.) เพื่อวัดปริมาณน้ำ ซึ่งอาจรับกลับมาได้ไม่ถึงปริมาณที่ส่งลงไปในสถานะดินอ้อมตัว

จากกราฟรูปที่ 4.4 รูปสมการเทียบเคียงค่าความสัมพันธ์ระหว่างค่า ADC กับค่า แรงดึงความชื้นดิน (kPa) จำลองจากค่าผลการทดลอง 100 ค่า สามารถจำลองความสัมพันธ์ค่าแรงดึงความชื้นดินได้ดังนี้

- สมการจำลองค่าความสัมพันธ์ระหว่างค่า ADC กับค่าแรงดึงความชื้นดิน (แบบสมการเส้นตรง)

ได้รูปสมการคือ

$$Y = -0.0731x + 100$$

$$R^2 = 0.7634$$

ค่า ADC สูงสุดของการวัดจริงมีค่า 940 ดังนั้น หากใช้สมการเส้นตรงเป็นแบบจำลองความสัมพันธ์ในการเทียบค่าได้ค่าแรงดึงความชื้นที่สามารถวัดได้ 100 kPa ถึง 31.28 kPa ดังนั้นหากปลูกพืชที่ต้องการแรงดึงความชื้นต่ำกว่า 31.28 จึงไม่สามารถใช้งานได้

- สมการจำลองค่าความสัมพันธ์ระหว่างค่า ADC กับค่าแรงดึงความชื้นดิน (แบบโพลีโนเมียลกำลัง 2 )

ได้รูปสมการคือ

$$Y = -(3 \times 10^{-3})x^2 - 0.0494x + 100$$

$$R^2 = 0.7789$$

ค่า ADC สูงสุดของการวัดจริงมีค่า 940 ดังนั้น หากใช้สมการโพลีโนเมียลกำลัง 2 เป็นแบบจำลองความสัมพันธ์ในการเทียบค่าได้ค่าแรงดึงความชื้นที่สามารถวัดได้ 100 kPa ถึง 27.05 kPa ผลที่ได้สมการโพลีโนเมียลกำลัง 2 มีได้ช่วงการวัดแรงดึงความชื้นดีกว่าสมการเส้นตรงเล็กน้อย แต่ถ้าหากปลูกพืชที่ต้องการแรงดึงความชื้นต่ำกว่า 27.05 ก็ยังไม่สามารถใช้งานได้

เอกสารนี้เป็นเอกสารที่สงวนไว้สำหรับการใช้งานเพื่อการศึกษาเท่านั้น ไม่อนุญาตให้นำไปใช้ประโยชน์ด้านการค้า ไม่ว่าจะกรณีใดๆทั้งสิ้น อีกทั้งห้ามมิให้ดัดแปลงเนื้อหา และต้องอ้างอิงถึงเจ้าของเอกสารทุกครั้งที่มีการนำไปใช้

- สมการจำลองค่าความสัมพันธ์ระหว่างค่า ADC กับค่าแรงดึงความชื้นดิน (แบบโพลีโนเมียลกำลัง 3 )

ได้รูปสมการคือ

$$y = -(3 \times 10^{-7})x^3 + 0.0003x^2 - 0.1469x + 100$$

$$R^2 = 0.8167$$

ค่า ADC สูงสุดของการวัดจริงมีค่า 940 ดังนั้น หากใช้สมการโพลีโนเมียลกำลัง 3 เป็นแบบจำลองความสัมพันธ์ในการเทียบค่าได้ค่าแรงดึงความชื้น สามารถวัดได้ 100 kPa ถึง -22.18 kPa ผลที่ได้สมการโพลีโนเมียลกำลัง 3 ได้ช่วงการวัดแรงดึงความชื้นดีที่สุดเมื่อเปรียบเทียบกับสมการเส้นตรงและโพลีโนเมียลกำลัง 2 แต่ค่าแรงดึงความชื้นดินนั้นมีค่าต่ำสุดที่ 0 kPa ที่สภาวะดินอิ่มตัวซึ่งสมการโพลีโนเมียลกำลัง 3 .จำลองแรงดึงความชื้นดินเป็น 0 kPa ได้ต่อเมื่อค่า ADC ที่ตรวจวัดได้มีค่า 875 ดังนั้นหากนำสมการโพลีโนเมียลกำลัง 3 ไปใช้พัฒนาซอฟต์แวร์จึงควรเขียนตั้งเงื่อนไขซอฟต์แวร์ให้ค่า ADC ตั้งแต่ 875 ขึ้นไปอ่านค่าแรงดึงความชื้นดินได้เป็น 0 kPa

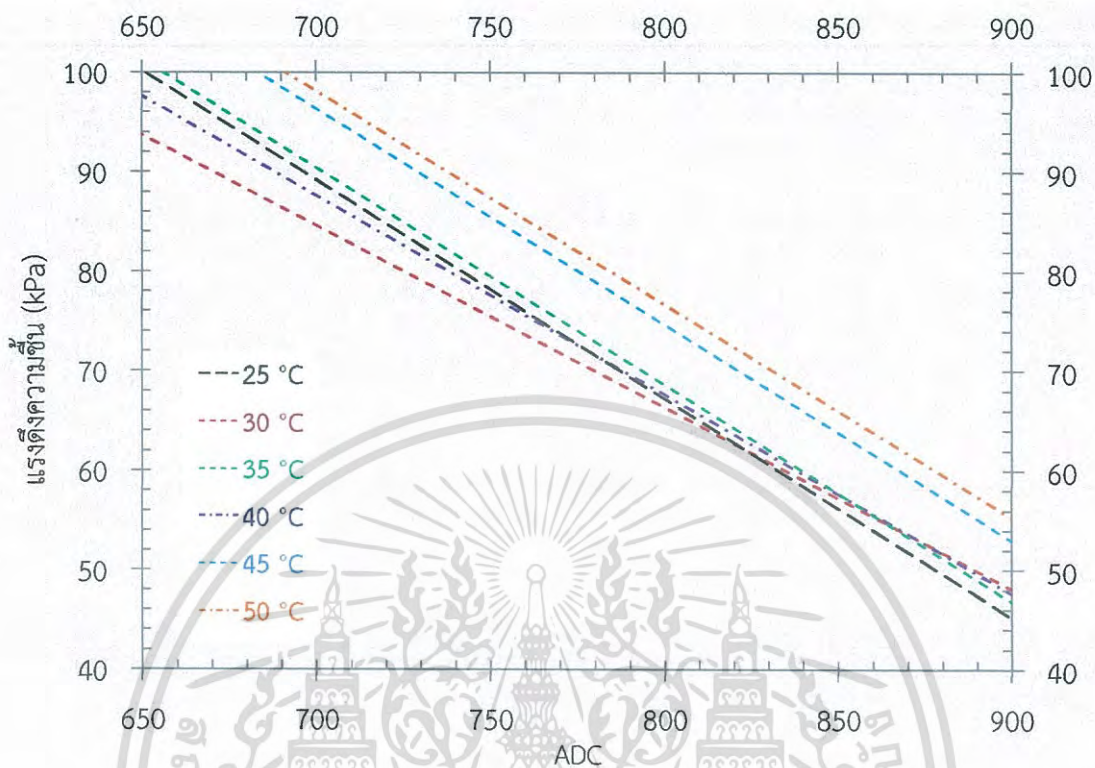
หมายเหตุ:  $x =$  ค่า ADC ,  $y =$  ค่าแรงดึงความชื้นดิน

#### 4.3 การทดสอบประสิทธิภาพของระบบกับปัจจัยทางอุณหภูมิและชนิดดินที่อาจมีผลต่อการทำงานของระบบ

##### 4.3.1 การทดสอบประสิทธิภาพของระบบกับปัจจัยทางอุณหภูมิ

จากผลการทดลองสามารถนำผลการทดลองทั้งหมดที่ได้มาวิเคราะห์หาความสัมพันธ์ระหว่างอุณหภูมิกับค่า ADC ที่วัดได้จากเซนเซอร์ที่ทำงานขึ้นถึงการเปลี่ยนแปลงของค่า ADC มากน้อยเพียงใดสามารถวิเคราะห์ได้จากกราฟสรุปผลการทดลองรูปที่ 4.3

เอกสารนี้เป็นเอกสารที่สงวนไว้สำหรับการใช้งานเพื่อการศึกษาเท่านั้น ไม่อนุญาตให้นำไปใช้ประโยชน์ด้านการค้าไม่ว่ากรณีใดๆทั้งสิ้น อีกทั้งห้ามมิให้ตัดแปลงเนื้อหา และต้องอ้างอิงถึงเจ้าของเอกสารทุกครั้งที่มีการนำไปใช้

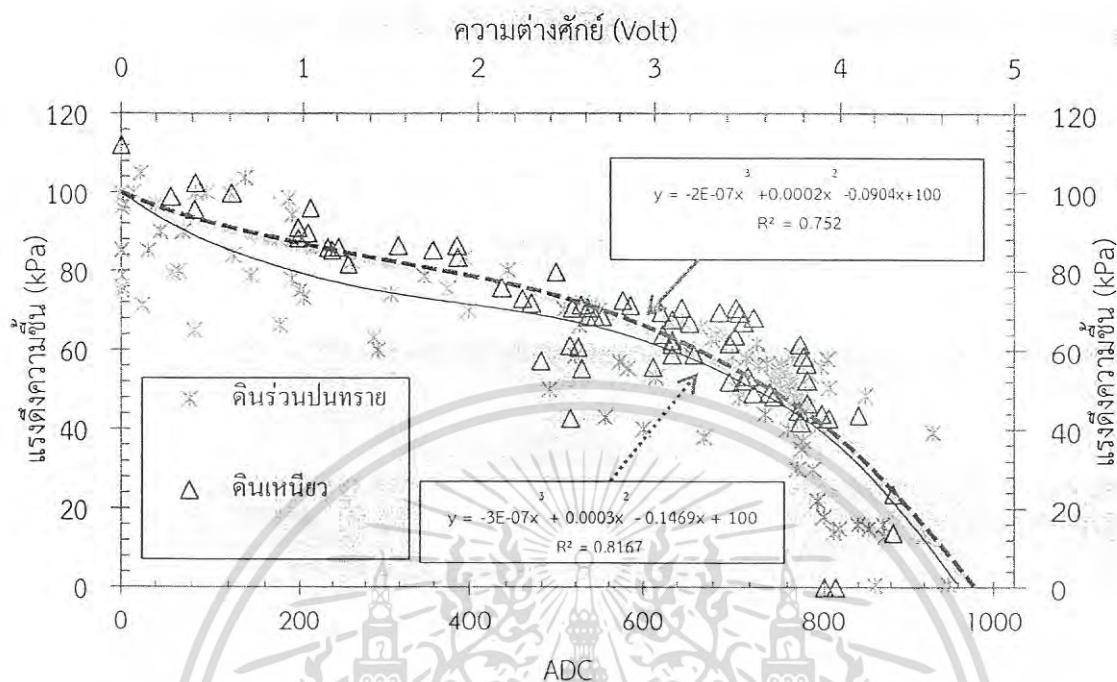


รูปที่ 4.3 กราฟความสัมพันธ์ค่า ADC กับ อุดมภูมิดิน

จากกราฟรูปที่ 4.3 เส้นสมการจำลองความสัมพันธ์ระหว่างค่า ADC กับแรงดึงความชื้นดินแบบเส้นตรงในอุณหภูมิต่างๆ พบว่าหากสร้างแบบจำลองที่อุณหภูมิ 25°C ช่วงอุณหภูมิดินถึง 40°C จะมีความแตกต่างน้อยเมื่อเปรียบเทียบเปอร์เซ็นต์ความแตกต่างแล้ว แต่เมื่ออุณหภูมิดินเริ่มสูงขึ้นเกิน 45°C ไปแล้ว ค่าเปอร์เซ็นต์ความแตกต่างของสมการจำลองจะเริ่มสูงขึ้นจนทำให้แบบจำลองผิดพลาดได้สูง(ทั้งนี้แสดงการเปรียบเทียบแบบจำลองไว้ที่ภาคผนวก ค.)

#### 4.3.1 การทดสอบประสิทธิภาพของระบบกับปัจจัยชนิดของดิน

จากผลการทดลอง เทียบเคียงค่าแรงดึงความชื้น (kPa) ค่าแรงดันไฟฟ้า (V) และค่า ADC ของดิน ร่วนปนทรายสามารถนำผลการทดลองทั้งหมดที่ได้มาวิเคราะห์หาความสัมพันธ์กับการทดลองเทียบเคียงค่าแรงดึงความชื้น (kPa) ค่าแรงดันไฟฟ้า (V) และค่า ADC ของดินเหนียว ที่อุณหภูมิคงที่ที่ 25 °C และดิน pH 6.5 สามารถวิเคราะห์ได้จากกราฟสรุปผลการทดลองรูปที่ 4.4



รูปที่ 4.4 กราฟความสัมพันธ์เทียบเคียงค่า ADC แรงดันไฟฟ้า และแรงดึงความชื้นดิน ของดินร่วนปนทรายและดินเหนียว

จากกราฟรูปที่ 4.4 การเทียบเคียงค่าแรงดึงความชื้น (kPa) ค่าแรงดันไฟฟ้า (V) และค่า ADC ของดินร่วนปนทราย กับกราฟการทดลองเทียบเคียงค่าแรงดึงความชื้น (kPa) ค่าแรงดันไฟฟ้า (V) และค่า ADC ของดินเหนียว ที่อุณหภูมิคงที่ที่ 25 °C และดิน pH 6.5 พบว่ามีลักษณะของกราฟทำนายผลที่คล้ายๆกันซึ่งเทียบผลต่างของสมการจำลองเทียบเคียงค่าแรงดึงความชื้นกับค่า ADC ของทั้งสองเส้น พบว่ามีความแตกต่างกันสูงสุดไม่เกิน 8 % ดังนั้นสรุปได้ว่า สมการจำลองค่าแรงดึงความชื้นดินที่ทดลองด้วยดินร่วนปนทรายนั้นสามารถนำไปใช้งานกับดินชนิดอื่นๆได้ด้วย

#### 4.4 การทดสอบประสิทธิภาพของระบบกับปัจจัย pH ของดินที่เปลี่ยนแปลงซึ่งอาจมีผลต่อการทำงานของระบบ

การทดลองนี้มีจุดประสงค์เพื่อหาความสัมพันธ์ระหว่างค่า ADC ที่ไมโครคอนโทรลเลอร์วัดได้จากเซนเซอร์ที่พัฒนาขึ้น และค่าความเป็นกรดต่างของดินซึ่งในที่นี้วัดความเป็นกรดต่างโดยใช้ pH meter ดิน ซึ่งมีช่วงการวัดอยู่ระหว่าง pH= 3 ถึง 8 (ช่วงที่ pH ที่เหมาะกับการเพาะปลูกพืชทั่วไป) ซึ่งผลการทดลองที่ได้สามารถนำไปวิเคราะห์ผลทางสถิติเพื่อวิเคราะห์ความแตกต่างด้วยวิธี CRD ดังตารางที่ 4.2 ผลการ

เอกสารนี้เป็นเอกสารที่สงวนไว้สำหรับการใช้งานเพื่อการศึกษาเท่านั้น ไม่อนุญาตให้นำไปใช้ประโยชน์ด้านการค้าไม่ว่ากรณีใดๆทั้งสิ้น อีกทั้งห้ามมิให้ตัดแปลงเนื้อหา และต้องอ้างอิงถึงเจ้าของเอกสารทุกครั้งที่มีการนำไปใช้

ทดลองปรับค่า pH ดิน โดยใช้แผนการทดลองแบบ CRD ค่า pH ไม่มีผลต่อ Vout และ ADC ที่ได้จากหัวเซนเซอร์ซึ่งไม่ว่า pH ของดินจะเปลี่ยนแปลงไปเล็กน้อยเพียงใดก็ตาม

ตารางที่ 4.2 ผลการทดลองปรับค่า pH ดินที่ผ่านการวิเคราะห์ความแปรปรวนแบบ CRD

ตารางบันทึกผลการทดลองปรับค่า pH ดิน					
ที่แรงดึงความชื้น 0 kPa		ที่แรงดึงความชื้น 50 kPa		ที่แรงดึงความชื้น 100 kPa	
ค่า ADC เฉลี่ย	pH ดิน	ค่า ADC เฉลี่ย	pH ดิน	ค่า ADC เฉลี่ย	pH ดิน
934 <sup>a</sup>	3	768 <sup>b</sup>	3	23 <sup>c</sup>	3
934 <sup>a</sup>	3.5	756 <sup>b</sup>	3.5	17 <sup>c</sup>	3.5
936 <sup>a</sup>	4	765 <sup>b</sup>	4	20 <sup>c</sup>	4
936 <sup>a</sup>	4.5	761 <sup>b</sup>	4.5	20 <sup>c</sup>	4.5
940 <sup>a</sup>	5	763 <sup>b</sup>	5	19 <sup>c</sup>	5
936 <sup>a</sup>	5.5	761 <sup>b</sup>	5.5	18 <sup>c</sup>	5.5
939 <sup>a</sup>	6	765 <sup>b</sup>	6	22 <sup>c</sup>	6
935 <sup>a</sup>	6.5	766 <sup>b</sup>	6.5	23 <sup>c</sup>	6.5
941 <sup>a</sup>	7	764 <sup>b</sup>	7	20 <sup>c</sup>	7
937 <sup>a</sup>	7.5	761 <sup>b</sup>	7.5	18 <sup>c</sup>	7.5

หมายเหตุ: ตัวอักษรที่เหมือนกันไม่แตกต่างกันในทางสถิติ

เอกสารนี้เป็นเอกสารที่สงวนไว้สำหรับการใช้งานเพื่อการศึกษาเท่านั้น ไม่อนุญาตให้นำไปใช้ประโยชน์ด้านการค้า  
ไม่ว่ากรณีใดๆทั้งสิ้น อีกทั้งห้ามมิให้ดัดแปลงเนื้อหา และต้องอ้างอิงถึงเจ้าของเอกสารทุกครั้งที่มีการนำไปใช้

#### 4.5 การทดสอบประสิทธิภาพของระบบกับปัจจัยการส่งสัญญาณในแต่ละระดับความชื้น

ผลการทดลองหากพิจารณาเพียงระยะสัญญาณสามารถหาได้จากสูตร

$$\text{ขนาดพื้นที่ที่เซนเซอร์ 1 ตัวครอบคลุม (m}^2\text{)} = \pi \times (\text{ระยะสัญญาณของเซนเซอร์})^2$$

ซึ่งจากการทดลองหาระยะสัญญาณโดยใช้ X-bee series 1 ได้ระยะสัญญาณในที่โล่งแจ้งคือ 138 - 88 m หากใช้ระยะสัญญาณต่ำสุดในการคำนวณพื้นที่จะได้

$$\text{ขนาดพื้นที่ที่เซนเซอร์ 1 ตัวครอบคลุม (m}^2\text{)} = \pi \times (88)^2$$

$$\text{ขนาดพื้นที่ที่เซนเซอร์ 1 ตัวครอบคลุม (m}^2\text{)} = 24,316.16 \text{ m}^2 = 15.1976 \text{ ไร่}$$

#### 4.6 การทดสอบการทำงานของระบบ

แบ่งออกเป็นสองส่วนคือ

##### 4.6.1 การทดสอบระบบในห้องทดลองเพื่อทดสอบการทำงานอย่างเป็นระบบ

โดยเริ่มจากทำการวัดค่าแรงดึงความชื้นเทียบกับเครื่องมือวัดแรงดึงความชื้นดิน ซึ่งในการวิจัยนี้ใช้เครื่องมือวัดความชื้นดิน Soil Moisture Meter ของบริษัท irrometer รุ่น watermark ซึ่งวัดค่าแรงดึงความชื้นออกมาเป็นเซนติบาร์ หรือ kPa ดังรูปที่ 4.4



รูปที่ 4.4 การทดลองวัดความชื้นดินเทียบกับ Soil Moisture Meter

เอกสารนี้เป็นเอกสารที่สงวนไว้สำหรับการใช้งานเพื่อการศึกษาเท่านั้น ไม่อนุญาตให้นำไปใช้ประโยชน์ด้านการค้า ไม่ว่าจะกรณีใดๆทั้งสิ้น อีกทั้งห้ามมิให้ดัดแปลงเนื้อหา และต้องอ้างอิงถึงเจ้าของเอกสารทุกครั้งที่มีการนำไปใช้

โดยผลการทดลองสามารถสรุปผลได้ดังกราฟรูปที่ 4.5



รูปที่ 4.5 แสดงการเปรียบเทียบการวัดค่าความชื้นของดินโดยใช้โครงข่ายเซนเซอร์กับ Soil Moisture Meter

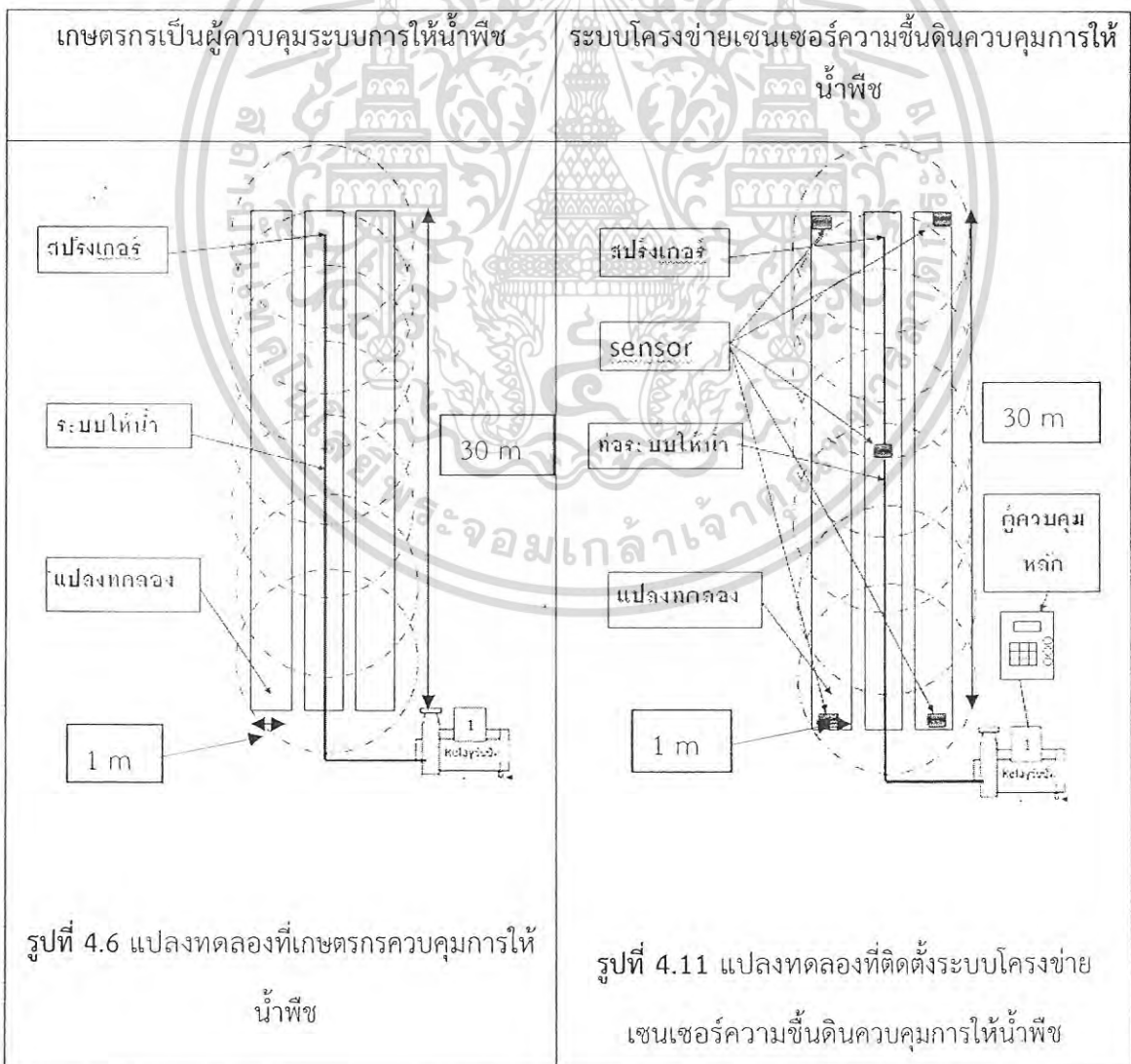
จากกราฟรูปที่ 4.5 สามารถสรุปได้ว่า error ของโครงข่ายเซนเซอร์ เมื่อเทียบกับ Soil Moisture Meter มี error อยู่ที่ 0-8 ถึงถือว่าน้อย หากนำไปใช้งานจริงโครงข่ายเซนเซอร์จะมีเวลาในการวัดค่อนข้างช้ากว่านิดหน่อย ซึ่งอาจเกิดจากวัสดุที่เป็นตัวกลางสำหรับเป็นสื่อไฟฟ้า(สำหรับการวิจัยนี้ใช้ปูนปาสเตอร์)

เอกสารนี้เป็นเอกสารที่สงวนไว้สำหรับการใช้งานเพื่อการศึกษาเท่านั้น ไม่อนุญาตให้นำไปใช้ประโยชน์ด้านการค้า ไม่ว่าจะกรณีใดๆทั้งสิ้น อีกทั้งห้ามมิให้ตัดแปลงเนื้อหา และต้องอ้างอิงถึงเจ้าของเอกสารทุกครั้งที่มีการนำไปใช้

4.6.2 การทดสอบในแปลงทดลองเพื่อหาประสิทธิภาพการทำงานของระบบ

การทดลองนี้จะเป็นการทดลองในแปลงจริงซึ่งทำการทดลองโดยการเตรียมแปลงปลูก( ในการวิจัยนี้เลือกใช้ผักบุ้งในการทดลอง ) โดยแบ่งแปลงปลูกออกเป็น 6 แปลง ขนาดแปลงละ 1 × 30 m ติดระบบให้น้ำระบบสปริงเกอร์เหมือนกัน แต่แบ่งแปลง 3 แปลงปลูกเป็นแปลงที่ใช้ระบบโครงข่ายเซนเซอร์ความชื้นดินเป็นตัวควบคุมความชื้นโดยต่อบีม 1 ตัวเข้าไปกับระบบโครงข่าย ส่วนแปลงทดลองอีก 3 แปลงก็ติดตั้งระบบใช้น้ำแบบสปริงเกอร์เหมือนกันแต่ใช้เกษตรกรควบคุมระบบเองซึ่งทำงานตามความต้องการของเกษตรกรหรือทำงานโดยการควบคุมของผู้ใช้งานโดยผลการทดลองเปรียบเทียบดังตารางที่ 4.2

ตารางที่ 4.2 แสดงการเปรียบเทียบแปลงทดลองและบันทึกผลการทดลองระหว่างแปลงทดลองใช้เกษตรกรควบคุมระบบและแปลงที่ควบคุมโดยระบบโครงข่ายเซนเซอร์ความชื้นดินควบคุมการให้น้ำพืช



เอกสารนี้เป็นเอกสารที่สงวนไว้สำหรับการใช้งานเพื่อการศึกษาเท่านั้น ไม่อนุญาตให้นำไปใช้ประโยชน์ด้านการค้าไม่ว่ากรณีใดๆทั้งสิ้น อีกทั้งห้ามมิให้ตัดแปลงเนื้อหา และต้องอ้างอิงถึงเจ้าของเอกสารทุกครั้งที่มีการนำไปใช้

เริ่มจากไถเตรียมแปลงโดยแบ่งออกเป็น 3 แปลง ความกว้างของแปลงกว้างแปลงละ 1 m ยาวแปลงละ 30 m ติดตั้งระบบให้น้ำเป็นแบบสปริงเกอร์ โดยเดินแนวท่อไว้ที่แปลงกลางติดตั้งปั๊มขนาด 1500 w 2' 1 ตัวควบคุมระบบไฟฟ้าเพื่อควบคุมการให้น้ำโดยเกษตรกรเป็นผู้กำหนดการให้น้ำ ติดตั้งระบบที่เขตตำบลสระวาน พระยา อำเภอบรรพตพิสัย จังหวัดนครราชสีมา เริ่มปลูกผักบุ้งเมื่อวันที่ 14 มีนาคม 2556 โดยใช้ผักบุ้งจีน ใบเฝื่อน ตราไฟทอง 999 มีอัตราการงอก 98 % ในการศึกษาวิจัยโดยหยอดเป็นแถวแต่ละแถวห่างกันประมาณ 10 cm ใช้เมล็ดผักบุ้งทั้งหมด 1.5 Kg



รูปที่ 4.7 การไถเตรียมแปลง

เริ่มจากไถเตรียมแปลงโดยแบ่งออกเป็น 3 แปลง ความกว้างของแปลงกว้างแปลงละ 1 m ยาวแปลงละ 30 m ติดตั้งระบบให้น้ำเป็นแบบสปริงเกอร์ โดยเดินแนวท่อไว้ที่แปลงกลางติดตั้งปั๊มขนาด 1500 w 2' 1 ตัวควบคุมระบบไฟฟ้าเพื่อควบคุมการให้น้ำโดยระบบโครงข่ายเซนเซอร์ความชื้นดินควบคุมการให้น้ำพืชติดตั้งระบบที่เขตตำบลสระวาน พระยา อำเภอบรรพตพิสัย จังหวัดนครราชสีมา เริ่มปลูกผักบุ้งเมื่อวันที่ 14 มีนาคม 2556 โดยใช้ผักบุ้งจีน ใบเฝื่อน ตราไฟทอง 999 มีอัตราการงอก 98 % ในการศึกษาวิจัยโดยหยอดเป็นแถวแต่ละแถวห่างกันประมาณ 10 cm ใช้เมล็ดผักบุ้งทั้งหมด 1.5 Kg



รูปที่ 4.12 การไถเตรียมแปลงทดลอง



รูปที่ 4.8 ติดตั้งระบบให้น้ำแบบสปริงเกอร์



รูปที่ 4.13 ติดตั้งระบบให้น้ำแบบสปริงเกอร์

เอกสารนี้เป็นเอกสารที่สงวนไว้สำหรับการใช้งานเพื่อการศึกษาเท่านั้น ไม่อนุญาตให้นำไปใช้ประโยชน์ด้านการค้า ไม่ว่าจะกรณีใดๆทั้งสิ้น อีกทั้งห้ามมิให้ตัดแปลงเนื้อหา และต้องอ้างอิงถึงเจ้าของเอกสารทุกครั้งที่มีการนำไปใช้



รูปที่ 4.9 การหยอดเมล็ดผักบุ้ง



รูปที่ 4.14 การหยอดเมล็ดผักบุ้ง



รูปที่ 4.10 เปิดให้ระบบให้น้ำทำงานควบคุมปิด

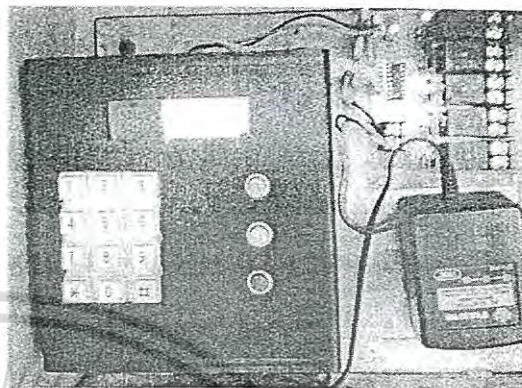
เปิดโดยเกษตรกร

จากประมวลภาพวันทำการทดลองปลูกและ  
ติดตั้งระบบบรรยากาศมีเมฆมากและมีฝนตกลง  
มา อุณหภูมิ 39°C



รูปที่ 4.15 ติดตั้งเซนเซอร์วัดความชื้นดิน

เอกสารนี้เป็นเอกสารที่สงวนไว้สำหรับการใช้งานเพื่อการศึกษาเท่านั้น ไม่อนุญาตให้นำไปใช้ประโยชน์ด้านการค้า  
ไม่ว่ากรณีใดๆทั้งสิ้น อีกทั้งห้ามมิให้ดัดแปลงเนื้อหา และต้องอ้างอิงถึงเจ้าของเอกสารทุกครั้งที่มีการนำไปใช้



รูปที่ 4.16 ติดตั้งระบบควบคุมหลักเพื่อควบคุมปั๊ม

- ติดตั้งระบบควบคุมหลักจากนั้นปรับค่าแรงดันถึงความดันสูงสุดที่ยอมรับได้ คือ 35 เซนติบาร์ หรือ 0.35 บาร์

ประมวลภาพแปลงทดลองเมื่อวันที่ 25 มีนาคม 2556 ซึ่งผักบุ้งมีอายุ 10 วัน



รูปที่ 4.17 แสดงการทำงานของระบบให้น้ำพืชควบคุมโดยเกษตรกรเมื่อผ่านไป 10 วัน



รูปที่ 4.18 แสดงการทำงานของระบบโครงข่ายความชื้นดินควบคุมการให้น้ำพืชเมื่อผ่านไป 10 วัน

เอกสารนี้เป็นเอกสารที่สงวนไว้สำหรับการใช้งานเพื่อการศึกษาเท่านั้น ไม่อนุญาตให้นำไปใช้ประโยชน์ด้านการค้า ไม่ว่าจะกรณีใดๆทั้งสิ้น อีกทั้งห้ามมิให้ตัดแปลงเนื้อหา และต้องอ้างอิงถึงเจ้าของเอกสารทุกครั้งที่มีการนำไปใช้

ประมวลภาพแปลงทดลองเมื่อวันที่ 9 เมษายน 2556 ซึ่งผักบุ้งมีอายุ 25 วัน



รูปที่ 4.19 แสดงการทำงานของระบบให้น้ำพืช  
ควบคุมโดยเกษตรกรเมื่อผ่านไป 25 วัน



รูปที่ 4.20 แสดงการทำงานของระบบให้น้ำพืช  
ควบคุมโดยเกษตรกรเมื่อผ่านไป 25 วัน

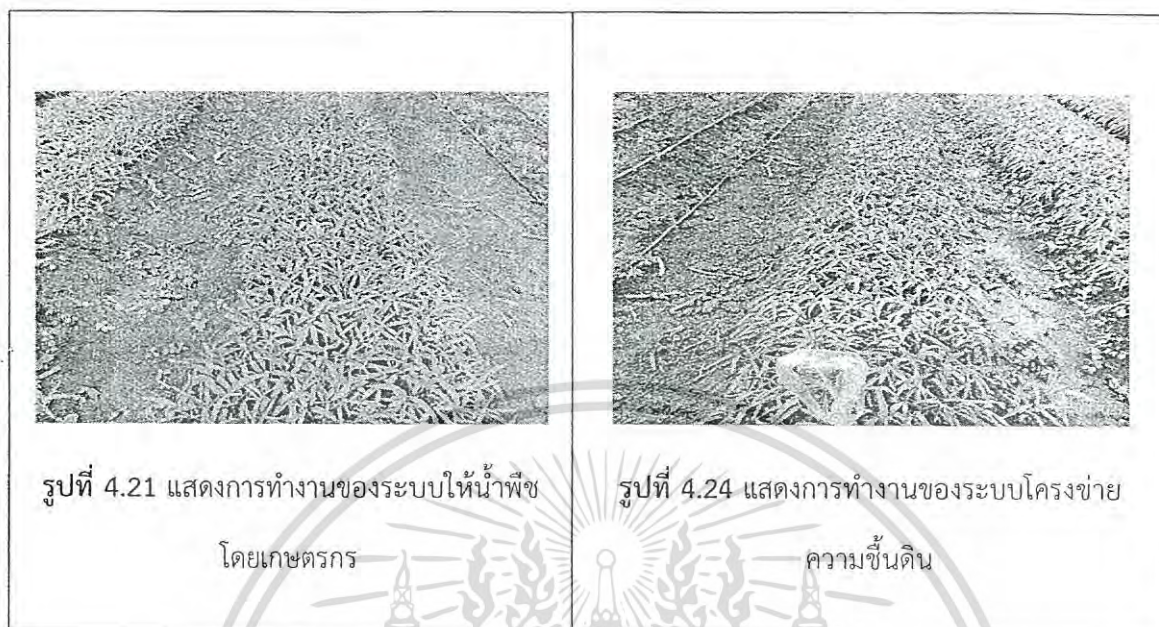


รูปที่ 4.22 แสดงการทำงานของระบบโครงข่าย  
ความชื้นดินควบคุมการให้น้ำพืชเมื่อผ่านไป 25 วัน



รูปที่ 4.23 แสดงการทำงานของระบบโครงข่าย  
ความชื้นดินควบคุมการให้น้ำพืชเมื่อผ่านไป 25 วัน

เอกสารนี้เป็นเอกสารที่สงวนไว้สำหรับการใช้งานเพื่อการศึกษาเท่านั้น ไม่อนุญาตให้นำไปใช้ประโยชน์ด้านการค้า  
ไม่ว่ากรณีใดๆทั้งสิ้น อีกทั้งห้ามมิให้ตัดแปลงเนื้อหา และต้องอ้างอิงถึงเจ้าของเอกสารทุกครั้งที่มีการนำไปใช้



รูปที่ 4.21 แสดงการทำงานของระบบให้น้ำพืช

โดยเกษตรกร

รูปที่ 4.24 แสดงการทำงานของระบบโครงข่าย

ความชื้นดิน

ซึ่งผลการทดลองจะแบ่งออกเป็นการทดลองคือ

- (1) การทดลองการทำงานของระบบซึ่งจะบันทึกการทำงานของระบบทั้งระบบในแต่ละวันที่ระบบทำงานโดยบันทึกเวลาการทำงานในแต่ละวัน ความชื้นที่ระบบอ่านได้ วันที่ฝนตก
- (2) ทดลองหาจุดคุ้มทุนในการลงทุนกับระบบโครงข่ายเช่นเซอร์ความชื้นในดินสำหรับควบคุมการให้น้ำพืชซึ่งทดลองโดยการวัดค่าไฟระบบเดิมและระบบใหม่ที่ใช้ รวมไปถึงปริมาณน้ำหนักที่เพิ่มขึ้น ประเมินกับราคาของพืชที่ปลูกถึงเปอร์เซ็นต์ที่เพิ่มวิเคราะห์ ถึงจุดระยะเวลาในการลงทุน

ตารางที่ 4.3 บันทึกผลการทดลองเปรียบเทียบน้ำหนักผักบึงแต่ละแปลง

แปลงการทดลอง	น้ำหนักผักเมื่อเก็บผลผลิต	น้ำหนักผักเฉลี่ย 3 แปลง
A1	47.30	53.87
A2	63.00	
A3	51.30	
B1	63.50	73.28
B2	81.85	
B3	74.50	

เอกสารนี้เป็นเอกสารที่สงวนไว้สำหรับการใช้งานเพื่อการศึกษาเท่านั้น ไม่อนุญาตให้นำไปใช้ประโยชน์ด้านการค้า  
ไม่ว่ากรณีใดๆทั้งสิ้น อีกทั้งห้ามมิให้ตัดแปลงเนื้อหา และต้องอ้างอิงถึงเจ้าของเอกสารทุกครั้งที่มีการนำไปใช้

หมายเหตุ:A=แปลงทดลองควบคุมระบบให้น้ำโดยเกษตรกร,B=ควบคุมระบบโดยระบบโครงข่าย  
เซนเซอร์ความชื้นดิน

วิธีคิดค่าใช้จ่ายโดยประมาณของโครงข่ายเซนเซอร์

เมื่อ ระบบควบคุมหลักมีราคา 10,500 บาท

เซนเซอร์มีราคาตัวละ 5,000 บาท

- หาค่าใช้จ่ายคงที่ของระบบโครงข่ายเซนเซอร์

1.ค่าเสื่อมราคา( $S = 0.1P, L = 10$  ปี)

$$D = \frac{P-S}{L} = \frac{P-0.1P}{L} = 0.09P/\text{ปี}$$

2. ดอกเบี้ยเงินลงคือค่าเฉลี่ยและหากคิดอัตราดอกเบี้ย 8 %

$$I = \frac{(P+S)}{2} i = \frac{(P+0.1P)0.08}{2} = 0.044P$$

P = ราคาแรกซื้อเครื่องจักร,บาท

S = มูลค่าซาก,บาท

I = ดอกเบี้ยเงินลงทุน

L = ระยะเวลาการซื้อกับการขาย

D = ค่าเสื่อมราคาต่อปี,บาท

3.ภาษีคำนวณที่อัตรา 1.5 % ของราคาแรกซื้อ

$$\text{ภาษี} = 0.015P$$

4.เบี้ยประกันในอัตรา 1 %ของราคาแรกซื้อ

$$\text{เบี้ยประกัน} = 0.01P$$

$$\text{ดังนั้นค่าใช้จ่ายคงที่ของระบบโครงข่ายเซนเซอร์ประมาณ} = 0.09P+0.044P+0.01P$$

$$= 0.144P$$

เอกสารนี้เป็นเอกสารที่สงวนไว้สำหรับการใช้งานเพื่อการศึกษาเท่านั้น ไม่อนุญาตให้นำไปใช้ประโยชน์ด้านการค้า  
ไม่ว่ากรณีใดๆทั้งสิ้น อีกทั้งห้ามมิให้ตัดแปลงเนื้อหา และต้องอ้างอิงถึงเจ้าของเอกสารทุกครั้งที่มีการนำไปใช้

ดังนั้นหากคิดต้นทุนค่าแรงซื้อของการใช้ระบบต่อหน่วยพื้นที่ที่จะได้ = 10,500+(5,000×5)  
บาท/24,316.16 m<sup>2</sup>

$$= 1.46 \text{ บาท/ m}^2$$

หรือ

$$= 2,335.90 \text{ บาทต่อไร่}$$

ดังนั้นค่าใช้จ่ายคงที่ของระบบโครงข่ายเซนเซอร์ต่อไร่คือ  
ต่อไร่

$$= 0.144 \times 2,335.90 \text{ บาท}$$

$$= 336.377 \text{ บาทต่อไร่}$$

-หาค่าใช้จ่ายผันแปรของระบบโครงข่ายเซนเซอร์

จากแปลงทดลองปลูกผักบั้งขนาดพื้นที่ 90 m<sup>2</sup>

ค่าไฟฟ้าตลอดอายุการปลูกผัก

$$= 86.25 \text{ หน่วย}$$

คิดเป็นเงินหากค่าไฟฟ้าหน่วยละ 2.978 บาท จะได้

$$= 86.25 \times 2.978 \text{ บาท/90 m}^2$$

$$= 256.85 \text{ บาท/90 m}^2$$

$$= 4,566.22 \text{ บาท/ไร่}$$

-หาค่าใช้จ่ายผันแปรของระบบควบคุมโดยเกษตรกร

จากแปลงทดลองปลูกผักบั้งขนาดพื้นที่ 90 m<sup>2</sup>

ค่าไฟฟ้าตลอดอายุการปลูกผัก

$$= 34.5 \text{ หน่วย}$$

คิดเป็นเงินหากค่าไฟฟ้าหน่วยละ 2.978 บาท จะได้

$$= 34.5 \times 2.978 \text{ บาท/90 m}^2$$

$$= 102.74 \text{ บาท/90 m}^2$$

$$= 1,826.49 \text{ บาท/ไร่}$$

ค่าจ้างแรงงานในการควบคุมระบบ

$$= 50 \text{ บาทต่อวัน}$$

ระยะเวลาการเพาะปลูก 25 วันรวมค่าใช้จ่ายในการจ้างแรงงานคือ

$$= 25 \times 50 \text{ บาท}$$

$$= 1,250 \text{ บาท}$$

เอกสารนี้เป็นเอกสารที่สงวนไว้สำหรับการใช้งานเพื่อการศึกษาเท่านั้น ไม่อนุญาตให้นำไปใช้ประโยชน์ด้านการค้า  
ไม่ว่ากรณีใดๆทั้งสิ้น อีกทั้งห้ามมิให้ตัดแปลงเนื้อหา และต้องอ้างอิงถึงเจ้าของเอกสารทุกครั้งที่มีการนำไปใช้

ตารางที่ 4.4 สรุปค่าใช้จ่ายระหว่างแปลงทดลองที่ใช้เกษตรกรควบคุมระบบกับแปลงที่ใช้ระบบโครงข่าย เซนเซอร์ความชื้นดินควบคุมการให้น้ำพืชที่ต่างกัน

รายรับรายจ่ายของแปลงเกษตรกรควบคุมระบบ	รายรับรายจ่ายแปลงโครงข่ายเซนเซอร์ควบคุมระบบ
เก็บผักบุงได้ทั้งหมดคิดเป็นน้ำหนักเฉลี่ย 53.87 กิโลกรัม ต่อพื้นที่ 30 m <sup>2</sup> ราคาผักบุงกิโลกรัมละ 15 บาท $= 53.87 \times 15 \text{ บาท} / 30 \text{ m}^2$ หรือ $= 43,096 \text{ บาท/ไร่}$ ในการปลูกผักบุง 1 รอบหรือ 25 วัน	เก็บผักบุงได้ทั้งหมดคิดเป็นน้ำหนักเฉลี่ย 73.28 กิโลกรัม ต่อพื้นที่ 30 m <sup>2</sup> ราคาผักบุงกิโลกรัมละ 15 บาท $= 73.28 \times 15 \text{ บาท} / 30 \text{ m}^2$ หรือ $= 58,624 \text{ บาท/ไร่}$ ในการปลูกผักบุง 1 รอบหรือ 25 วัน
ค่าใช้จ่ายผันแปรของระบบควบคุมโดยเกษตรกร ค่าจ้างแรงงานตลอดการเพาะปลูก = 1,250 บาท ค่าไฟฟ้าตลอดอายุการเพาะปลูก = 1,826.49 บาทต่อไร่ รวมค่าใช้จ่ายตลอดอายุการเพาะปลูก = 3,076.49 บาทต่อไร่	ค่าแรกซื้อโครงข่ายเซนเซอร์ = 2,335.90 บาทต่อไร่ ค่าใช้จ่ายคงที่ = 336.377 บาทต่อไร่ ค่าไฟฟ้าตลอดอายุการเพาะปลูก = 4,566.22 บาทต่อไร่ รวมค่าใช้จ่ายตลอดอายุการเพาะปลูก = 7,238.50 บาทต่อไร่

หมายเหตุ: การวิจัยนี้พิจารณาเฉพาะส่วนต่างของค่าใช้จ่ายของระบบทั้งสองแบบเพื่อแสดงจุดคุ้มทุนสำหรับการใช้เฉพาะอุปกรณ์โครงข่ายเซนเซอร์เท่านั้น

สรุปค่าใช้จ่ายส่วนต่างของระบบที่ควบคุมด้วยเกษตรกรกับระบบที่ควบคุมโดยโครงข่ายเซนเซอร์ความชื้นดินควบคุมการให้น้ำพืช

เอกสารนี้เป็นเอกสารที่สงวนไว้สำหรับการใช้งานเพื่อการศึกษาเท่านั้น ไม่อนุญาตให้นำไปใช้ประโยชน์ด้านการค้า ไม่ว่าจะกรณีใดๆทั้งสิ้น อีกทั้งห้ามมิให้ตัดแปลงเนื้อหา และต้องอ้างอิงถึงเจ้าของเอกสารทุกครั้งที่มีการนำไปใช้

ส่วนต่างของรายได้	= 58,624 – 43,096 บาทต่อไร่
นั่นคือหากใช้ระบบโครงข่ายเซนเซอร์จะมีรายรับเพิ่มขึ้น	= 15,528 บาทต่อไร่
ส่วนต่างของรายจ่าย	= 7,238.50 – 3,076.49 บาทต่อไร่
นั่นคือหากใช้ระบบโครงข่ายเซนเซอร์จะมีรายจ่ายเพิ่มขึ้น	= 4,162 บาทต่อไร่

เมื่อนำรายรับและรายจ่ายทั้งสองมาหักกลับกันจะได้ว่า หากใช้ระบบโครงข่ายเซนเซอร์ในสามารถคืนทุนได้ภายในการปลูกเพียง 1 รอบของการเพาะปลูก ทั้งนี้เป็นผลมาจากผลผลิตที่เพิ่มขึ้น ซึ่งผลผลิตที่เพิ่มขึ้นนั้นคิดเป็นเปอร์เซ็นต์ได้

เปอร์เซ็นต์ผลผลิตที่เพิ่มขึ้น

$$\begin{aligned}
 &= \frac{(\text{น้ำหนักผักเฉลี่ยแปลงระบบโครงข่ายเซนเซอร์ควบคุม} - \text{น้ำหนักผักเฉลี่ยแปลงเกษตรกรควบคุม})}{\text{น้ำหนักผลผลิตแปลงเกษตรกรควบคุม}} \times 100 \\
 &= \frac{(73.28 - 53.87)}{53.87} \times 100 \\
 &= 36.03 \%
 \end{aligned}$$

เอกสารนี้เป็นเอกสารที่สงวนไว้สำหรับการใช้งานเพื่อการศึกษาเท่านั้น ไม่อนุญาตให้นำไปใช้ประโยชน์ด้านการค้า ไม่ว่าจะกรณีใดๆทั้งสิ้น อีกทั้งห้ามมิให้ตัดแปลงเนื้อหา และต้องอ้างอิงถึงเจ้าของเอกสารทุกครั้งที่มีการนำไปใช้

## บทที่ 5

### สรุปผลการทดลองและข้อเสนอแนะ

จากการทดลองสามารถสรุปผลได้ดังนี้

#### 5.1 การทดลองหาขนาดที่เหมาะสมและเปรียบเทียบความจำเป็นในการหุ้มวัสดุประเภทปูนปลาสเตอร์ที่หิวเซนเซอร์

จากการทดลองหาขนาดเซนเซอร์ที่เหมาะสมและการทดลองหุ้มปลาสเตอร์และไม่หุ้มพบว่า การหุ้มปลาสเตอร์จะมีค่าแรงความชื้นคงที่กว่าไม่หุ้มปลาสเตอร์เมื่อเปลี่ยนชนิดของดิน ทั้งนี้เพราะความหนาแน่นของดินที่เปลี่ยนแปลงไปทำให้การนำไฟฟ้าเปลี่ยนไปด้วย ดังนั้นการมีวัสดุเช่น ปูนปลาสเตอร์มาหุ้มย่อมดีกว่าเพราะทำให้การนำไฟฟ้าผ่านวัสดุนี้มีค่าคงที่ ส่วนขนาดที่เหมาะสมนั้นพบว่าขนาดเส้นผ่านศูนย์กลางแห่งเซนเซอร์มีขนาด 2.5 cm เหมาะสมสุดเนื่องจากเป็นขนาดที่ง่ายต่อการผลิต และเป็นขนาดที่ไวต่อการตอบสนองต่อการวัดมากกว่าขนาดเส้นผ่านศูนย์กลาง 3 cm ขนาดความยาวของแท่งเซนเซอร์พบว่าไม่มีผลต่อการวัดค่าต่างๆ แต่หากพิจารณาถึงการใช้งานควรอยู่ระหว่าง 6-7 cm เนื่องจากง่ายต่อการฝังดินขณะใช้งานไม่เล็กหรือใหญ่จนเกินไป ขนาดลวดที่ใช้มีผลต่อการวัดค่าทางไฟฟ้าคือหากลวดเล็กค่าทางไฟฟ้าที่ออกมาจะน้อยลง ดังนั้นหากต้องการใช้งานอย่างสะดวกและมีขายตามท้องตลาดนั้นควรเลือกขนาด 2.5 mm เพราะไม่เล็กหรือใหญ่จนเกินไปเหมาะแก่การทำไปใช้การและสามารถส่งสัญญาณไฟฟ้าได้ดีในระดับหนึ่ง

#### 5.2 การทดลองวัดค่า ADC ซึ่งได้จากไมโครคอนโทรลเลอร์แปลงค่าความต่างศักย์จาก analog เป็น digital เพื่อ calibrate ค่ากับค่าแรงดึงความชื้นดินมาตรฐาน

การทดลองเปรียบเทียบค่าแรงดึงความชื้นกับค่า ADC อ่านได้พบว่าค่าอ่านได้สูงสุดอยู่ที่ในช่วง ADC เท่ากับ 940 ทั้งนี้ Microcontroller สามารถรองรับค่าได้สูงสุดถึง 1023 ซึ่งสาเหตุมาจากปูนปลาสเตอร์และดินเป็นสารกึ่งตัวนำดังนั้นแม้เปียกน้ำมากเท่าใดค่าสูงสุดที่ได้จะไม่ถึง 1023 หรือกระแสไฟฟ้าที่ไหลกลับไม่ถึง 5 V. เพราะปลาสเตอร์และดินยังมีค่าความต้านทานในตัวอยู่ ดังนั้นสมการแบบจำลองแบบเส้นตรงและแบบโพลิโนเมียลกำลังสองจึงไม่เหมาะนำมาใช้ในการทำนายค่าแรงดึงความชื้นดินเพราะไม่สามารถทำนายแรงดึงความชื้นดินได้ถึง 0 kPa ส่วนหากใช้สมการโพลิโนเมียลกำลัง สามเป็นแบบจำลองความสัมพันธ์ในการเทียบค่าได้ค่าแรงดึงความชื้นดิน สามารถวัดค่าแรงดึงความชื้นดินได้ 100 kPa ถึง -22.18 kPa ผลที่ได้สมการโพลิโนเมียลกำลังสาม ได้ช่วงการวัดแรงดึงความชื้นดินที่ดีที่สุดเมื่อเปรียบเทียบกับสมการเส้นตรงและโพลิโนเมียลกำลังสองแต่ค่าแรงดึงความชื้นดินนั้นมีค่าต่ำสุดที่ 0 kPa ที่สภาวะดิน

เอกสารนี้เป็นเอกสารที่สงวนไว้สำหรับการใช้งานเพื่อการศึกษาเท่านั้น ไม่อนุญาตให้นำไปใช้ประโยชน์ด้านการค้าไม่ว่ากรณีใดๆทั้งสิ้น อีกทั้งห้ามมิให้ตัดแปลงเนื้อหา และต้องอ้างอิงถึงเจ้าของเอกสารทุกครั้งที่มีการนำไปใช้

อิมตัวซึ่งสมการโพลีโนเมียลกำลัง 3 จำลองแรงดึงความชื้นดินเป็น 0 kPa ได้ต่อเมื่อค่า ADC ที่ตรวจวัดได้ มีค่า 875 ดังนั้นหากนำสมการโพลีโนเมียลกำลัง 3 ไปใช้พัฒนาซอฟต์แวร์จึงควรเขียนตั้งเงื่อนไขซอฟต์แวร์ให้ ค่า ADC ตั้งแต่ 875 ขึ้นไปอ่านค่าแรงดึงความชื้นดินได้เป็น 0 kPa จึงสามารถนำไปใช้งานได้

สมการที่ได้มีความสัมพันธ์กันแบบโพลีโนเมียลกำลังสาม โดยสูตรความสัมพันธ์ดังกล่าวสามารถนำไปเขียนโปรแกรม calibrate ค่าความชื้นใน Microcontroller ได้ โดยการเขียนโปรแกรมลง Microcontroller จะใช้การเบิร์นโปรแกรมโดย CodeVision AVR ลงที่ ATmega 8 ซึ่งเป็นไอซีของ เซนเซอร์

### 5.3 การทดสอบประสิทธิภาพของระบบกับปัจจัยทางอุณหภูมิและชนิดดินที่อาจมีผลต่อการทำงานของระบบ

การทดลองทดสอบประสิทธิภาพของระบบกับปัจจัยทางอุณหภูมิและชนิดของดินที่มีผลต่อระบบพบว่าที่อุณหภูมิเปลี่ยนไปแต่ละระดับนั้นมีผลโดยตรงกับค่า ADC เมื่ออุณหภูมิสูงขึ้นการนำไฟฟ้าผ่านน้ำจะเป็นไปได้ดีขึ้นทำให้อ่านค่า ADC ได้มากขึ้นดังนั้นหากนำไปใช้งานจริงอุณหภูมิในพื้นที่ที่ใช้งานไม่ควรจะเกิน 40°C เพราะยังอยู่ในช่วงค่าที่ยอมรับได้เพราะยังส่วนเปลี่ยนแปลงเล็กน้อยไม่ถึง 5 % แต่เมื่ออุณหภูมิเกิน 45°C ขึ้นไปแล้วเส้นแนวโน้มของสมการจำลองจะเริ่มแตกต่างกับเส้นสมการจำลองที่ 25°C ขึ้น จนเมื่อถึง อุณหภูมิ 50°C เส้นแนวโน้มที่ได้จะมีเปอร์เซ็นต์ความแตกต่าง ณ ที่แรงดึงความชื้นเดียวกันมากขึ้น จนเกิน 10 % ดังนั้น หากพัฒนาเซนเซอร์และแบบจำลองเทียบค่าแรงดึงขึ้นที่อุณหภูมิ 25°C จะสามารถใช้แบบจำลองนี้ได้ในเขตที่อุณหภูมิดินไม่เกิน 45°C ส่วนชนิดของดินนั้นไม่มีผลในการวัดความชื้นมากนักเพราะปูนปลาสเตอร์เป็นตัวกลางให้น้ำซึมผ่านดังนั้นจึงไม่มีผลหากเปลี่ยนชนิดของดินนั่นเอง

### 5.4 การทดสอบประสิทธิภาพของระบบกับปัจจัยการส่งสัญญาณในแต่ละระดับความชื้น

การทดสอบระดับสัญญาณในแต่ละระดับความชื้นนั้นพบว่าความชื้นในแต่ละระดับไม่มีผลต่อระยะการส่งสัญญาณส่วนการส่งสัญญาณนั้นสำหรับ x-bee Series 1 จากการทดสอบสัญญาณแบบสุ่มพบว่า มีระยะการส่งสัญญาณตั้งแต่ 138 - 88 m ดังนั้นเซนเซอร์ เซนเซอร์ 1 ตัวสามารถครอบคลุมพื้นที่ได้ประมาณ 15 ไร่ ทั้งนี้ต้องพิจารณาจากระบบการส่งน้ำและการใช้งานแต่ละพื้นที่ด้วย ซึ่งการพิจารณาจำนวนเซนเซอร์ต่อไร่ นั้น ควรคำนึงถึงการกระจายตัวของน้ำและจุดที่ได้รับน้ำน้อยด้วย ซึ่งจุดที่ได้รับน้ำน้อยหากระบบการให้น้ำมีการกระจายตัวของน้ำที่ดีแล้ว จุดที่ได้รับน้ำน้อยอาจเป็นจุดในมุมแปลงหรืออาจเป็นจุดที่ไม่ซ้อนทับกันของสปริงเกอร์ ทั้งนี้หากจะพิจารณาปัจจัยเหล่านั้นแล้วควรติดตั้ง sensor ความชื้น

ดินตั้งแต่ 2 ตัวขึ้นไปในพื้นที่ 15 ไร่ หากเกษตรกรใช้อุปกรณ์ในพื้นที่เล็กๆ ก็ไม่ควรติดตั้ง sensor เพียงตัวเดียว เพราะเซนเซอร์อาจเกิดขัดข้องได้

## 5.5 การทดสอบประสิทธิภาพของระบบกับปัจจัย pH ดินที่อาจมีผลต่อการทำงานของระบบ

การทดลองนี้ทดลองเพื่อหาความสัมพันธ์ระหว่างค่า ADC ที่ไมโครคอนโทรลเลอร์วัดได้จากเซนเซอร์ที่พัฒนาขึ้น และค่า pH ซึ่งวัดได้จาก pH meter ดิน โดยหากต้องการเตรียมดินเป็นด่างให้เพิ่มที่ละ 0.5 ควรผสมปูนขาวที่อัตราส่วนเพิ่มขึ้นที่ละ 1:9 แต่หากต้องการปรับ pH ให้ดินเป็นกรดที่ละ 0.5 ควรผสมกำมะถันผงที่ 1:20 ในการปรับ pH ให้ลดลงที่ละ 0.5 ซึ่งจากการทดลองความสัมพันธ์ pH ดิน และค่า ADC ผ่านการวิเคราะห์ความแปรปรวนแบบ CRD แล้วพบว่า pH ของดินไม่มีผลต่อค่า ADC แต่อย่างไร ซึ่งไม่ว่าจะเปลี่ยน pH ดินเป็นเท่าใดก็ตาม ทั้งนี้อาจเป็นผลจากตัวกลางในการส่งไฟฟ้าในการวิจัยนี้เป็นปูนปาสเตอร์ซึ่งมีความหนาแน่นค่อนข้างมากนั่นเอง หรืออาจเป็นผลมาจากโลหะในการส่งและรับไฟฟ้า ทั้ง 2 ขั้วนั้นเป็นวัสดุชนิดเดียวซึ่งอาจไม่มีผลต่อ ค่า pH ของดินก็เป็นได้

## 5.6 การทดสอบการทำงานของระบบ

จากการทดลองทดสอบระบบในภาคสนามพบว่าระบบโครงข่ายเซนเซอร์ยังมีข้อบกพร่องของระบบอยู่คือแบตเตอรี่แห่งของเซนเซอร์หมดเร็วโดยแบตเตอรี่แต่ละตัวสามารถอยู่ได้เพียงสองวันทำให้ผู้ทดลองต้องสลับชาร์ตแบตเตอรี่ในการทดลองเพื่อให้ระบบยังสามารถทำงานได้ต่อไป ซึ่งหากมีการพัฒนาระบบต่อไปควรคำนึงถึงการยืดอายุการใช้งานของแบตเตอรี่ด้วย จากการทดลองการทำงานทั่วไปของระบบสามารถทำงานได้ที่ระบบสามารถทำงานและตัดการทำงานของปั๊มได้ตามที่ปรับค่าไว้ได้อย่างแม่นยำ โดยในการทดลองมีฝนตกลงมาเพียง 2 วันเท่านั้น เมื่อคำนวณถึงต้นทุนและผลตอบแทนที่ได้นั้นก็ถือว่าคุ้มทุนโดยแปลง ที่ใช้เกษตรกรควบคุมระบบนั้นยังมีต้นทุนต่อไร่สูงกว่าการใช้ระบบโครงข่ายเซนเซอร์ควบคุมการให้น้ำพืช แต่ประสิทธิภาพของคอนยังไม่ดีพอสำหรับการประเมินการให้น้ำพืชโดยการประเมินผลจากน้ำหนักของผลผลิตที่ได้นั้นก็ถือว่าระบบโครงข่ายเซนเซอร์ควบคุมการให้น้ำพืชมีประสิทธิภาพในการควบคุมระบบมากกว่าจนถึง 36.03 % ดังนั้นระบบโครงข่ายเซนเซอร์ควบคุมความชื้นดินจึงเป็นอีกหนึ่งตัวเลือกที่ควรแก่การพัฒนา

## 5.7 ข้อเสนอแนะ

1. การตั้งค่าแรงดึงความชื้น max และ min ที่ชุดควบคุมหลักนั้นควรตั้งเผื่อระยะเวลาในการซึมของน้ำลงดินด้วยดังหัวข้อ 2.3 ทั้งนี้ เพื่อเป็นการประหยัดน้ำและเพื่อความแม่นยำในการควบคุมระบบให้มีความชื้นที่พอเหมาะตามต้องการ โดยอาจพิจารณาปัจจัยเหล่านี้เข้ามาในการวิจัยต่อไปด้วย

เอกสารนี้เป็นเอกสารที่สงวนไว้สำหรับการใช้งานเพื่อการศึกษาเท่านั้น ไม่อนุญาตให้นำไปใช้ประโยชน์ด้านการค้าไม่ว่ากรณีใดๆทั้งสิ้น อีกทั้งห้ามมิให้ตัดแปลงเนื้อหา และต้องอ้างอิงถึงเจ้าของเอกสารทุกครั้งที่มีการนำไปใช้

2. วัสดุที่ใช้เป็นตัวกลางให้น้ำซึมผ่านคือปูนปาสเตอร์ ซึ่งหาได้ง่ายแต่อาจยังมีอัตราซึมผ่านยังไม่ดีพอดังนั้นควรมีการทดลองเพื่อหาวัสดุตัวอื่นๆ ที่เหมาะสมกว่าปูนปาสเตอร์ด้วย
3. อุปกรณ์เซนเซอร์ในการวิจัยนี้ยังไม่มีระบบชาร์ตไฟโดยใช้พลังงานแสงอาทิตย์หรือโซลาร์เซลล์ดังนั้น อาจจะมีระยะเวลาที่ใช้งานในแต่ละรอบแบตเตอรี่ไม่นานนักหาก พัฒนาต่อควรออกแบบให้สามารถใส่แบตเตอรี่ได้นานขึ้น
4. เนื่องจากตัวส่งสัญญาณไร้สายในการวิจัยนี้ใช้ x-bee Series 1 จึงอาจมีระยะเวลาการส่งสัญญาณไม่ไกลมากนักดังนั้นหากต้องการเพิ่มระยะเวลาการส่งสัญญาณควรต่อยอดพัฒนาทดสอบกับ x-bee Series อื่นๆ



เอกสารนี้เป็นเอกสารที่สงวนไว้สำหรับการใช้งานเพื่อการศึกษาเท่านั้น ไม่อนุญาตให้นำไปใช้ประโยชน์ด้านการค้า ไม่ว่าจะกรณีใดๆทั้งสิ้น อีกทั้งห้ามมิให้ตัดแปลงเนื้อหา และต้องอ้างอิงถึงเจ้าของเอกสารทุกครั้งที่มีการนำไปใช้

## เอกสารอ้างอิง

- [1] กลองดี สวิตเซอร์แลนด์/กรุงเทพ.2555.WWF Living Planet 2012 (สืบค้นเมื่อ 13 มิถุนายน 2555) <http://www.wwf.or.th/?204772/Risingconsumption-increased-resource-use-by-a-growing-population--puts-unbearable-pressure-on-our-Planet--WWF-2012-Living-Planet-Report>
- [2] สำนักงานสถิติแห่งชาติ.ทิศทางแรงงานไทย (สืบค้นเมื่อ 16 มกราคม 2555) [http://service.nso.go.th/nso/nsopublish/citizen/news/news\\_lfsdirect.jsp](http://service.nso.go.th/nso/nsopublish/citizen/news/news_lfsdirect.jsp)
- [3] มายเฟิร์สเบรนดอทคอม.พีช (สืบค้นเมื่อ 13 มิถุนายน 2555) [http://www.myfirstbrain.com/student\\_view.aspx?ID=72392](http://www.myfirstbrain.com/student_view.aspx?ID=72392)
- [4] รองศาสตราจารย์ ดร. วิบูลย์ บุญยธโรกุลม.2509. “หลักการชลประทาน”.ภาควิชาวิศวกรรมชลประทาน.คณะวิศวกรรมศาสตร์ มหาวิทยาลัยเกษตรศาสตร์
- [5] ราชภัฏนครสวรรค์.ความชื้นของดิน (สืบค้นเมื่อ 17 มิถุนายน 2555) [http://elearning.nsr.u.ac.th/e-learning/soil/lesson\\_4\\_3.pHp](http://elearning.nsr.u.ac.th/e-learning/soil/lesson_4_3.pHp).
- [6] เกษมศรีชัยซ้อน. 2541. “ปฐพีวิทยา” พิมพ์ครั้งที่ 3 .ศูนย์ความรู้ด้านการเกษตร สำนักหอสมุด ม.เกษตรศาสตร์
- [7] มหาวิทยาลัยเกษตรศาสตร์ .อุทกวิทยา (สืบค้นเมื่อ 20 มิถุนายน 2555) <http://pirun.ku.ac.th/~fengvww/chotiga/index.html>.
- [8] บุญชม เปี้ยแดง และคนอื่นๆ.2526. “ปฐพีวิทยา” .ศูนย์ฝึกอบรมวิศวกรรมเกษตร.ปทุมธานี
- [9] พงษ์ศักดิ์ ชลธนะสวัสดิ์. 2548. “ข้อควรรู้ในการให้น้ำพืช”. ภาควิชาเกษตรกลวิธาน. คณะเกษตร มหาวิทยาลัยเกษตรศาสตร์ วิทยาเขตกำแพงแสน. นครปฐม

เอกสารนี้เป็นเอกสารที่สงวนไว้สำหรับการใช้งานเพื่อการศึกษาเท่านั้น ไม่อนุญาตให้นำไปใช้ประโยชน์ด้านการค้า ไม่ว่ากรณีใดๆทั้งสิ้น อีกทั้งห้ามมิให้ตัดแปลงเนื้อหา และต้องอ้างอิงถึงเจ้าของเอกสารทุกครั้งที่มีการนำไปใช้

- [10] Haise, H.H., and R.M. Hagan. 1967. Soil, plant, and evaporative measurements as criteria for scheduling irrigation. Pages 577-606 in : R.M. Hagan, et al. eds. Irrigation of agricultural lands. Amer. Soc. Agron., Madison, Wisconsin.
- [11] สปริงเกอร์ไทยดอทคอม by Rujira Group. หัวสปริงเกอร์แบบต่างๆและการวางระบบสปริงเกอร์. (สืบค้นเมื่อ 20 กรกฎาคม 2555) <http://www.sprinklethai.com>
- [12] อธิสุนทร นันทกิจ. 2526. “เครื่องวัดความชื้นในดินแบบ Tensiometer”วารสารเกษตรพระจอมเกล้า. ปีที่ 1 ฉบับที่ 1 หน้า 7-16.
- [13] นงคราญ กาญจนประเสริฐ. 2549 “ทรัพยากรดิน”. บริษัท สำนักพิมพ์แมคกิด, กรุงเทพฯ.
- [14] วิบูลย์ บุญยจรโรกุล. 2526. “หลักการชลประทาน”. คณะวิศวกรรมศาสตร์. มหาวิทยาลัยเกษตรศาสตร์. 274 หน้า
- [15] Brooks, R. H., and Corey, A.T.: Hydraulic properties of porous media. Hydrol. Paper 3. Colorado State Univ., Fort Collins, CO, USA, 1964.
- [16] Durner, W.: Hydraulic conductivity estimation for soils with heterogeneous pore structure. *Water Resour. Res.*, 30(2): 211--223, 1994.
- [17] Kosugi, K.: Lognormal distribution model for unsaturated soil hydraulic properties. *Water Resour. Res.* 32(9), 2697--2703, 1996.
- [18] Nemes, A., M.G. Shaap, F.J. Leij, and J.H.M. Wosten: Description of the unsaturated soil hydraulic database UNSODA version 2.0. *J. Hydrol.* (Amsterdam) 251:151--162, 2001.
- [19] Seki, K. (2007) SWRC fit - a nonlinear fitting program with a water retention curve for soils having unimodal and bimodal pore structure. *Hydrol. Earth Syst. Sci. Discuss.*, 4: 407-437.

เอกสารนี้เป็นเอกสารที่สงวนไว้สำหรับการใช้งานเพื่อการศึกษาเท่านั้น ไม่อนุญาตให้นำไปใช้ประโยชน์ด้านการค้า  
ไม่ว่ากรณีใดๆทั้งสิ้น อีกทั้งห้ามมิให้ตัดแปลงเนื้อหา และต้องอ้างอิงถึงเจ้าของเอกสารทุกครั้งที่มีการนำไปใช้

- [20] van Genuchten, M.T.: A closed-form equation for predicting the hydraulic conductivity of unsaturated soils. Soil Sci. Soc. Am. J. 44, 892–898, 1980
- [21] เดชฤทธิ์ มณีธรรม และ สำเร็จ เต็มรามคัมภีร์ .2548. “ไมโครคอนโทรลเลอร์ MCS-51” .พิมพ์ครั้งที่ 1 สำนักพิมพ์เคเคพี
- [22] อังคณา นพแก้ว 2541. สเต็ปมอเตอร์ STEPPING MOTOR . (สืบค้นเมื่อ 4 กรกฎาคม 2555)  
[ftp://www.ee.mut.ac.th/Keep%202022july2009/Lab4/.../ADC-DAC.DOC](http://www.ee.mut.ac.th/Keep%202022july2009/Lab4/.../ADC-DAC.DOC)
- [23] เดชฤทธิ์ มณีธรรม สำเร็จ เต็มราม. คัมภีร์ไมโครคอนโทรลเลอร์ (Microcontroller PIC). พิมพ์ครั้งที่ 1 .พิมพ์ที่เพชรเกษมพรี้นตึงกรุ๊ปจำกัด
- [24] ฉัตรสุตา แก้วจันทร์ และ อภิวัดน์ พรหมขวัญ. 2550. “ระบบเครือข่ายเซนเซอร์ไร้สายสำหรับตรวจสอบประสิทธิภาพหัวสปริงเกอร์”.ปริญญาานิพนธ์. ภาควิชาวิศวกรรมไฟฟ้า. คณะวิศวกรรมศาสตร์ .มหาวิทยาลัยศรีปทุม
- [25] ThaiEasyElec.2551. Zigbee and Xbee BASIC ตอน Zigbee คืออะไร (สืบค้นเมื่อ 30 กรกฎาคม 2555)  
<http://www.thaieasyelec.com/index.php?lay=show&ac=article&id=538707976&NtNty=1>



เอกสารนี้เป็นเอกสารที่สงวนไว้สำหรับการใช้งานเพื่อการศึกษาเท่านั้น ไม่อนุญาตให้นำไปใช้ประโยชน์ด้านการค้า  
ไม่ว่ากรณีใดๆทั้งสิ้น อีกทั้งห้ามมิให้ตัดแปลงเนื้อหา และต้องอ้างอิงถึงเจ้าของเอกสารทุกครั้งที่มีการนำไปใช้



ภาคผนวก ก

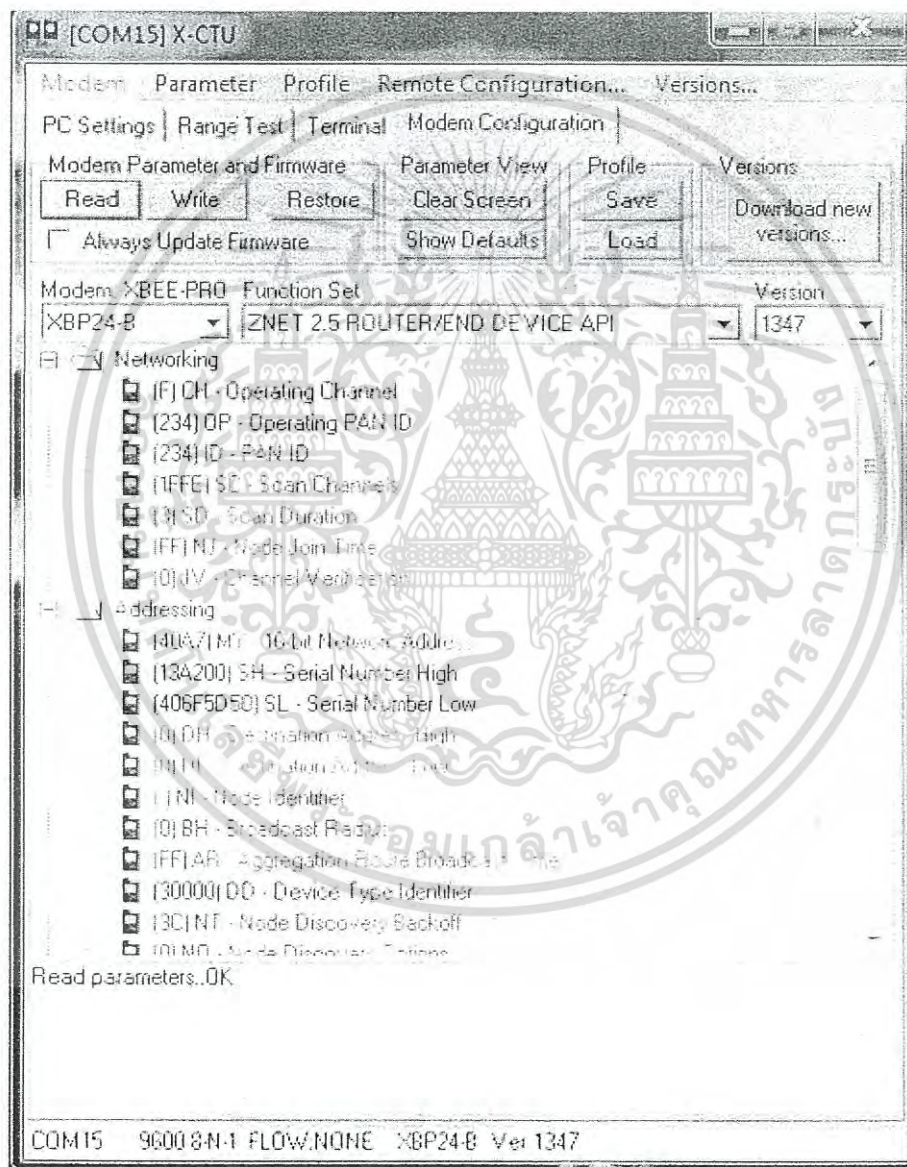
ซอฟต์แวร์ที่ใช้ในงานวิจัยและการทำเซนเซอร์

เอกสารนี้เป็นเอกสารที่สงวนไว้สำหรับการใช้งานเพื่อการศึกษาเท่านั้น ไม่อนุญาตให้นำไปใช้ประโยชน์ด้านการค้า  
ไม่ว่ากรณีใดๆทั้งสิ้น อีกทั้งห้ามมิให้ดัดแปลงเนื้อหา และต้องอ้างอิงถึงเจ้าของเอกสารทุกครั้งที่มีการนำไปใช้

## 1. เครื่องมือที่ใช้ในการทำโครงการวิจัย

### 1.1 โปรแกรม X - CTU

เป็นโปรแกรม update firmware หรือโปรแกรมที่ใช้สำหรับตั้งค่าสัญญาณของ X-bee

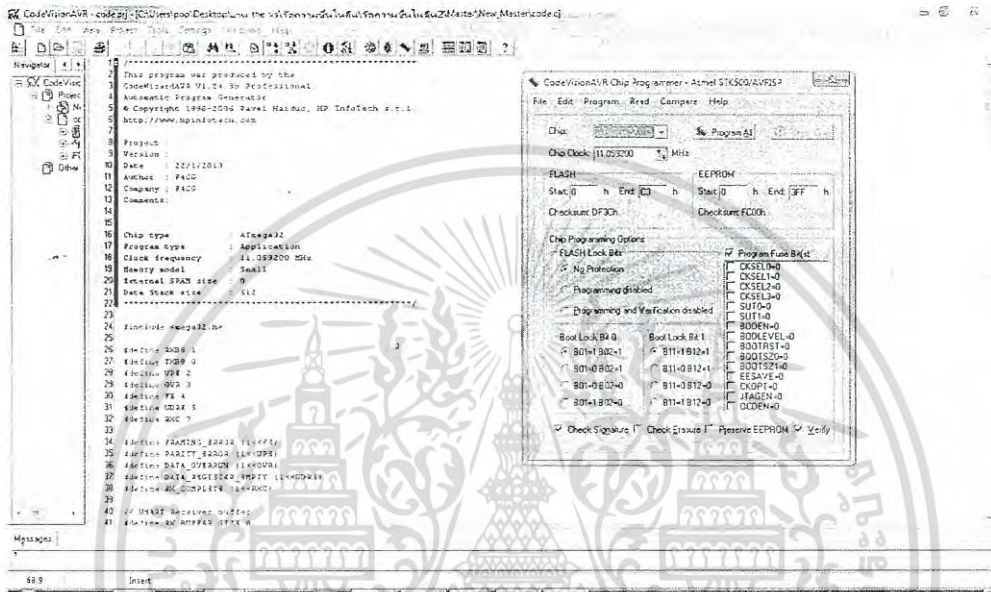


รูปที่ ก.1 โปรแกรม X - CTU

เอกสารนี้เป็นเอกสารที่สงวนไว้สำหรับการใช้งานเพื่อการศึกษาเท่านั้น ไม่อนุญาตให้นำไปใช้ประโยชน์ด้านการค้า ไม่ว่าจะกรณีใดๆทั้งสิ้น อีกทั้งห้ามมิให้ตัดแปลงเนื้อหา และต้องอ้างอิงถึงเจ้าของเอกสารทุกครั้งที่มีการนำไปใช้

## 1.2 โปรแกรม CodeVisionAVR

เป็นโปรแกรมสำหรับเขียนโปรแกรมภาษา C เพื่อCompile เป็น HEX file โปรแกรมลง Flash memory ใน ไอซี ไมโครคอนโทรลเลอร์ตระกูล AVR

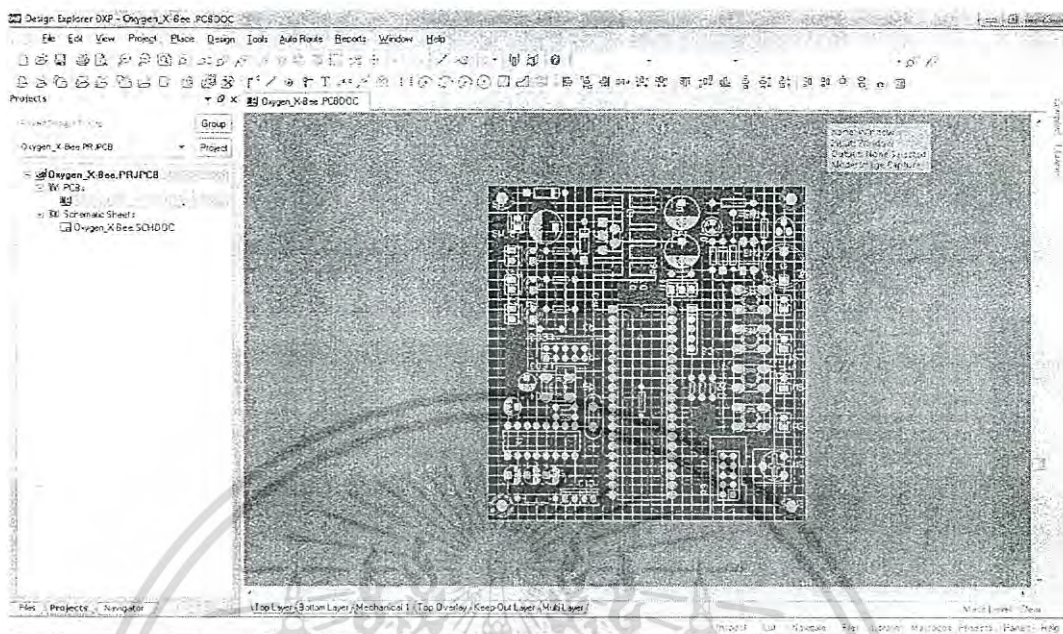


รูปที่ ก.2 โปรแกรม CodeVisionAVR

## 1.3 โปรแกรม Design Explorer DXP

Protel DXP เป็นซอฟต์แวร์ที่ใช้ออกแบบวงจรดิจิทัล และอนาล็อก สามารถวิเคราะห์จำลอง(Simulation) การทำงานของวงจร การจำลองสัญญาณทางไฟฟ้า การสร้างตัวอุปกรณ์ด้วย Schematic Library Editor การสร้างวงจรจาก Sheet Symbol การออกแบบแผ่น PCB ฯลฯ โดยได้รวมการทำงานทั้งหมดไว้ในโปรแกรมชุดเดียว ใช้โปรแกรม ERC(Electrical Rules Check) ตรวจสอบวงจรไฟฟ้าหรืออิเล็กทรอนิกส์

เอกสารนี้เป็นเอกสารที่สงวนไว้สำหรับการใช้งานเพื่อการศึกษาเท่านั้น ไม่อนุญาตให้นำไปใช้ประโยชน์ด้านการค้า ไม่ว่ากรณีใดๆทั้งสิ้น อีกทั้งห้ามมิให้ดัดแปลงเนื้อหา และต้องอ้างอิงถึงเจ้าของเอกสารทุกครั้งที่มีการนำไปใช้



รูปที่ ก.3 โปรแกรม Design Explorer DXP

#### 1.4 โปรแกรม SWRC FIT

SWRC FIT เป็นโปรแกรมจำลองการไหลของน้ำเพื่อวิเคราะห์การเคลื่อนที่ของน้ำในดิน โดยจำลองมาจากการศึกษาของ (1) Brooks and Corey model, (2) van Genuchten model, (3) Kosugi model, (4) Durner model and (5) Seki model เพื่อศึกษาการเคลื่อนที่ของน้ำในดิน

## 2. การสร้างเซนเซอร์วัดความชื้นในดินและทดลองใช้งาน

อุปกรณ์ที่ใช้ในการทำ

1. ปูนปลาสเตอร์
2. ลวด
3. กระแวงอลูมิเนียม

วิธีการทำเซนเซอร์และการทดลอง

1. ใช้กรรไกรตัดตะแกรงอลูมิเนียมตามขนาดที่ต้องการม้วนและยึดให้เป็นทรงกระบอกตามต้องการ
2. นำทองแดง 2 ชั้นมาใส่ในแบบที่เตรียมไว้และเทพูนปลาสเตอร์ใส่ในแบบแล้วรอให้แห้งในชั้นตอนนี้ควรระวังอย่าให้ลวดทองแดงทั้งสองชั้นติดกันเพราะอาจจะทำให้ค่าความชื้นที่วัดได้คลาดเคลื่อนดังแสดงในรูปที่
3. ตัดแต่งปูนส่วนที่เกินให้เรียบร้อย

เอกสารนี้เป็นเอกสารที่สงวนไว้สำหรับการใช้งานเพื่อการศึกษาเท่านั้น ไม่อนุญาตให้นำไปใช้ประโยชน์ด้านการค้า ไม่ว่าจะกรณีใดๆทั้งสิ้น อีกทั้งห้ามมิให้ดัดแปลงเนื้อหา และต้องอ้างอิงถึงเจ้าของเอกสารทุกครั้งที่มีการนำไปใช้

### SWRC Fit

SWRC Fit can fit several soil hydraulic models to measured soil water retention data. Copy your soil water retention data in the textbox below and press 'Calculate' button. Before you use your original data you can see how it looks by selecting a sample data from the pull-down menu.

Soil Water Retention Curve

Description of the soil sample

Soil texture: NS

Your name: NS (NS: Not Specified)

Calculation options:  $\lambda = 0$

Hydraulic models:  Brooks-Corey  van Genuchten

Calculate Clear

#### Acknowledgement

Sample data is from the SWRC database of unsaturated soil hydraulic properties developed by US Salinity Laboratory.

#### Citation

รูปที่ ก.4 โปรแกรม SWRC FIT



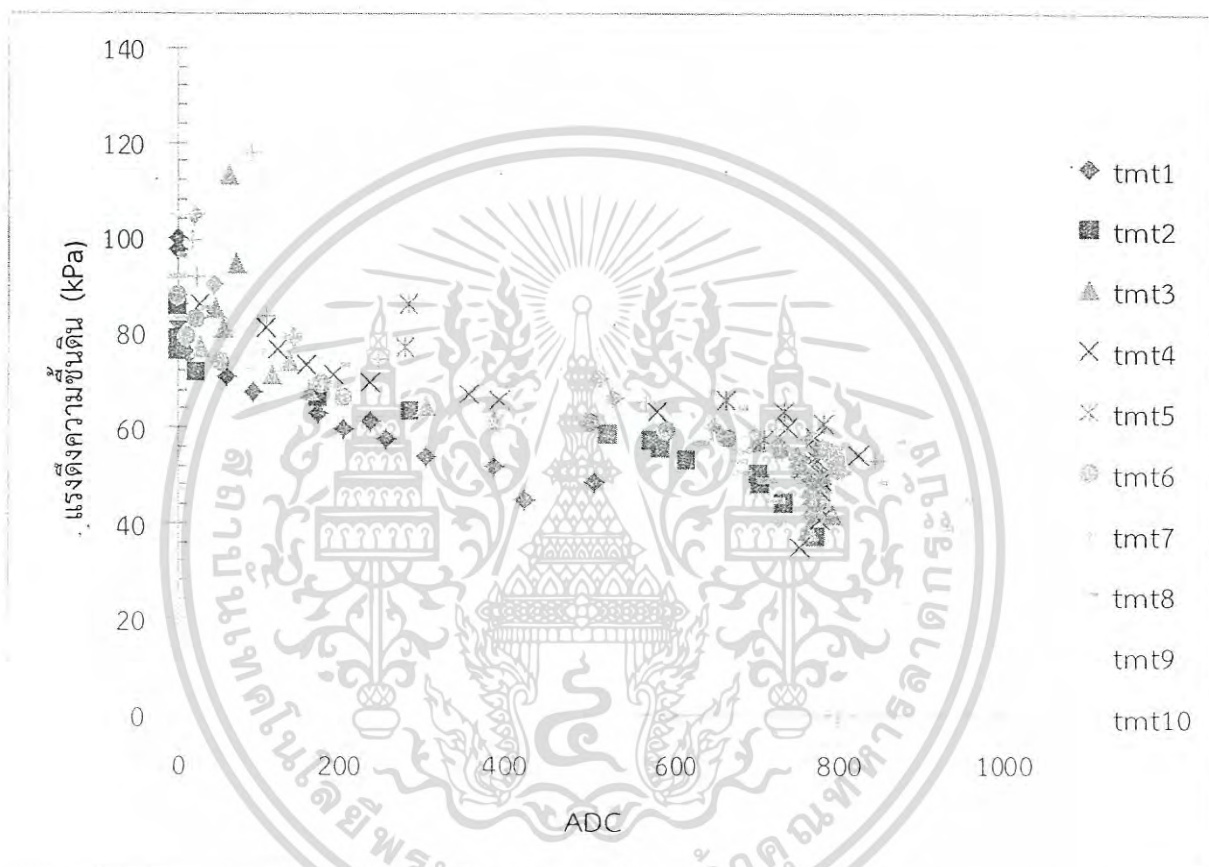
รูปที่ ก.5 การสร้างเซนเซอร์วัดความชื้น (Soil Moisture Sensor)

เอกสารนี้เป็นเอกสารที่สงวนไว้สำหรับการใช้งานเพื่อการศึกษาเท่านั้น ไม่อนุญาตให้นำไปใช้ประโยชน์ด้านการค้า ไม่ว่าจะกรณีใดๆทั้งสิ้น อีกทั้งห้ามมิให้ตัดแปลงเนื้อหา และต้องอ้างอิงถึงเจ้าของเอกสารทุกครั้งที่มีการนำไปใช้



เอกสารนี้เป็นเอกสารที่สงวนไว้สำหรับการใช้งานเพื่อการศึกษาเท่านั้น ไม่อนุญาตให้นำไปใช้ประโยชน์ด้านการค้า  
ไม่ว่ากรณีใดๆทั้งสิ้น อีกทั้งห้ามมิให้ดัดแปลงเนื้อหา และต้องอ้างอิงถึงเจ้าของเอกสารทุกครั้งที่มีการนำไปใช้

กราฟที่ ข.1 ผลการทดลองที่ 1 การหาขนาดในการออกแบบเซนเซอร์ที่เหมาะสม กราฟเปรียบเทียบผลต่างของการนำไฟฟ้าของเซนเซอร์แต่ละตัวอย่าง



หมายเหตุ

Tmt	ความกว้างหลอด (cm)	ขนาดขาเซนเซอร์ (mm)	ความยาวเซนเซอร์ (cm)	เส้นผ่านศูนย์กลาง (cm)
1	0.5	2.5	6.5	2.5
2	1	2.5	6.5	2.5
3	1.5	2.5	6.5	2.5

เอกสารนี้เป็นเอกสารที่สงวนไว้สำหรับการใช้งานเพื่อการศึกษาเท่านั้น ไม่อนุญาตให้นำไปใช้ประโยชน์ด้านการค้า ไม่ว่าจะกรณีใดๆทั้งสิ้น อีกทั้งห้ามมิให้ตัดแปลงเนื้อหา และต้องอ้างอิงถึงเจ้าของเอกสารทุกครั้งที่มีการนำไปใช้

4	1	3	6.5	2.5
5	1	2	6.5	2.5
6	1	2.5	7	2.5
7	1	2.5	6	2.5
8	1	2.5	6.5	3
9	1	2.5	6.5	2
10(ไม่หุ้ม)	1	2.5	6.5	2.5

ตารางที่ ข.1 บันทึกผลการทดสอบการเทียบเคียงค่าความสัมพันธ์ระหว่างแรงดึงความชื้นดินกับ ADC

ตัวอย่าง	%ความชื้นดิน	แรงดึงความชื้นดิน(kPa)	ADC	ความต่างศักย์ (Volt)
1	34.814	0.90	948	4.63
2	30.932	39.22	930	4.54
3	34.811	13.00	919	4.49
4	34.811	13.00	872	4.26
5	34.801	16.00	870	4.25
6	34.814	0.60	860	4.20
7	34.805	15.00	852	4.16
8	24.423	48.58	848	4.14
9	34.801	16.00	839	4.10
10	22.888	50.59	805	3.93
11	18.119	57.77	803	3.92

เอกสารนี้เป็นเอกสารที่สงวนไว้สำหรับการใช้งานเพื่อการศึกษาเท่านั้น ไม่อนุญาตให้นำไปใช้ประโยชน์ด้านการค้า ไม่ว่าจะกรณีใดๆทั้งสิ้น อีกทั้งห้ามมิให้ตัดแปลงเนื้อหา และต้องอ้างอิงถึงเจ้าของเอกสารทุกครั้งที่มีการนำไปใช้

ตัวอย่าง	%ความชื้นดิน	แรงดึงความชื้นดิน(kPa)	ADC	ความต่างศักย์ (Volt)
12	34.786	18.00	799	3.90
13	19.310	55.75	796	3.89
14	29.911	40.99	794	3.88
15	34.709	22.00	792	3.87
16	34.034	30.00	787	3.84
17	20.747	53.55	785	3.83
18	26.707	45.60	781	3.81
19	30.500	40.00	779	3.80
20	31.933	37.18	776	3.79
21	32.793	35.00	775	3.78
22	28.114	43.69	774	3.78
23	29.197	42.11	770	3.76
24	34.034	30.00	770	3.76
25	24.636	48.30	769	3.75
26	25.257	47.50	768	3.75
27	26.760	45.53	767	3.75
28	17.531	58.87	765	3.74
29	21.463	52.53	763	3.73
30	22.434	51.19	762	3.72
31	23.461	49.83	761	3.72

เอกสารนี้เป็นเอกสารที่สงวนไว้สำหรับการใช้งานเพื่อการศึกษาเท่านั้น ไม่อนุญาตให้นำไปใช้ประโยชน์ด้านการค้า  
ไม่ว่ากรณีใดๆทั้งสิ้น อีกทั้งห้ามมิให้ตัดแปลงเนื้อหา และต้องอ้างอิงถึงเจ้าของเอกสารทุกครั้งที่มีการนำไปใช้

ตัวอย่าง	%ความชื้นดิน	แรงดึงความชื้นดิน(kPa)	ADC	ความต่างศักย์ (Volt)
32	30.453	40.08	760	3.71
33	19.883	54.84	757	3.70
34	18.901	56.42	753	3.68
35	19.908	54.81	752	3.67
36	22.996	50.44	752	3.67
37	20.600	53.77	751	3.67
38	21.197	52.90	743	3.63
39	18.815	56.56	738	3.60
40	27.958	43.91	736	3.59
41	18.984	56.28	729	3.56
42	16.160	61.77	727	3.55
43	17.989	58.01	716	3.50
44	24.852	48.02	708	3.46
45	23.219	50.15	706	3.45
46	17.742	58.47	701	3.42
47	15.348	63.81	693	3.38
48	15.246	64.09	683	3.33
49	15.743	62.78	678	3.31
50	31.556	38.00	670	3.27
51	14.671	65.78	666	3.25

เอกสารนี้เป็นเอกสารที่สงวนไว้สำหรับการใช้งานเพื่อการศึกษาเท่านั้น ไม่อนุญาตให้นำไปใช้ประโยชน์ด้านการค้า  
ไม่ว่ากรณีใดๆทั้งสิ้น อีกทั้งห้ามมิให้ดัดแปลงเนื้อหา และต้องอ้างอิงถึงเจ้าของเอกสารทุกครั้งที่มีการนำไปใช้

ตัวอย่าง	%ความชื้นดิน	แรงดึงความชื้นดิน(kPa)	ADC	ความต่างศักย์ (Volt)
52	16.878	60.18	650	3.17
53	14.174	67.45	645	3.15
54	14.323	66.92	632	3.09
55	21.039	53.13	615	3.00
56	19.531	55.39	582	2.84
57	18.572	56.98	572	2.79
58	13.491	70.15	548	2.68
59	13.268	71.17	538	2.63
60	13.119	71.90	527	2.57
61	14.518	66.27	524	2.56
62	17.712	58.52	519	2.53
63	13.452	70.32	506	2.47
64	23.331	50.00	489	2.39
65	11.906	80.22	441	2.15
66	13.525	70.00	398	1.94
67	11.626	83.23	394	1.92
68	12.501	75.48	375	1.83
69	12.074	78.69	349	1.70
70	12.735	74.00	310	1.51
71	16.964	60.00	295	1.44

เอกสารนี้เป็นเอกสารที่สงวนไว้สำหรับการใช้งานเพื่อการศึกษาเท่านั้น ไม่อนุญาตให้นำไปใช้ประโยชน์ด้านการค้า  
ไม่ว่ากรณีใดๆทั้งสิ้น อีกทั้งห้ามมิให้ตัดแปลงเนื้อหา และต้องอ้างอิงถึงเจ้าของเอกสารทุกครั้งที่มีการนำไปใช้

ตัวอย่าง	%ความชื้นดิน	แรงดึงความชื้นดิน(kPa)	ADC	ความต่างศักย์ (Volt)
72	15.565	63.23	290	1.42
73	11.691	82.47	263	1.28
74	12.854	73.31	204	1.00
75	12.574	75.00	200	0.98
76	11.299	87.89	197	0.96
77	10.991	94.39	191	0.93
78	12.157	78.00	190	0.93
79	10.858	98.43	187	0.91
80	14.491	66.36	176	0.86
81	12.060	78.81	144	0.70
82	10.729	103.73	138	0.67
83	11.564	84.00	125	0.61
84	10.968	95.00	83	0.41
85	11.183	90.00	70	0.34
86	11.929	80.00	65	0.32
87	11.980	79.53	58	0.28
88	11.176	90.13	45	0.22
89	10.901	97.00	40	0.20
90	11.480	85.12	31	0.15
91	11.317	87.59	24	0.12

เอกสารนี้เป็นเอกสารที่สงวนไว้สำหรับการใช้งานเพื่อการศึกษาเท่านั้น ไม่อนุญาตให้นำไปใช้ประโยชน์ด้านการค้า  
ไม่ว่ากรณีใดๆทั้งสิ้น อีกทั้งห้ามมิให้ดัดแปลงเนื้อหา และต้องอ้างอิงถึงเจ้าของเอกสารทุกครั้งที่มีการนำไปใช้

ตัวอย่าง	%ความชื้นดิน	แรงดึงความชื้นดิน(kPa)	ADC	ความต่างศักย์ (Volt)
92	11.446	85.60	22	0.11
93	10.815	100.00	14	0.07
94	10.901	97.00	2	0.01
95	10.815	100.00	0	0.00
96	10.931	96.07	0	0.00
97	10.707	104.85	0	0.00
98	10.693	105.60	0	0.00
99	10.941	95.78	0	0.00
100	10.885	97.50	0	0.00

ตารางที่ ข.2 บันทึกผลการทดลองความสัมพันธ์ระหว่างแรงดึงความชื้นดิน,ค่า ADC กับ อุณหภูมิดิน

ลำดับที่	adc	% ความชื้นดิน	แรงดึงความชื้น (kPa)	Temp °C
1	815	17.3899	59.14	25
2	805	11.4693	85.26	25
3	675	10.8151	100.00	25
4	768	10.8151	100.00	25
5	546	10.8151	100.00	25
6	808	11.3892	86.43	25
7	771	14.3287	66.91	25
8	675	10.3797	159.98	25
9	736	13.7955	68.87	25
10	705	13.3790	70.65	25
11	775	10.8151	100.00	25
12	771	16.8375	60.27	25
13	741	14.2439	67.20	25
14	817	19.1799	55.96	25

เอกสารนี้เป็นเอกสารที่สงวนไว้สำหรับการใช้งานเพื่อการศึกษาเท่านั้น ไม่อนุญาตให้นำไปใช้ประโยชน์ด้านการค้า  
ไม่ว่ากรณีใดๆทั้งสิ้น อีกทั้งห้ามมิให้ดัดแปลงเนื้อหา และต้องอ้างอิงถึงเจ้าของเอกสารทุกครั้งที่มีการนำไปใช้

ลำดับที่	adc	% ความชื้นดิน	แรงดึงความชื้น (kPa)	Temp °C
15	813	16.4830	61.03	25
16	797	20.0230	54.63	25
17	824	17.5406	58.85	25
18	821	19.3374	55.70	25
19	777	23.3444	49.98	25
20	781	20.1153	54.49	25
21	883	16.4512	61.10	30
22	687	13.6296	69.55	30
23	773	16.2826	61.49	30
24	816	22.5510	51.04	30
25	822	26.5585	45.80	30
26	783	16.8375	60.27	30
27	800	15.0865	64.54	30
28	834	19.1799	55.96	30
29	815	20.0230	54.63	30
30	831	18.8222	56.55	30
31	785	23.3444	49.98	30
32	805	15.6345	63.06	30
33	680	10.4704	126.96	30
34	839	12.9916	72.56	30
35	827	17.6124	58.71	30
36	811	20.5446	53.85	30
37	812	21.6153	52.32	30
38	850	12.2862	77.00	30
39	860	13.2481	71.26	30
40	800	10.8151	100.00	30
41	685	10.7566	102.44	35
42	835	22.5510	51.04	35
43	837	16.7122	60.53	35
44	846	15.7652	62.72	35
45	827	13.9912	68.12	35
46	854	15.6846	62.93	35
47	795	16.8375	60.27	35

เอกสารนี้เป็นเอกสารที่สงวนไว้สำหรับการใช้งานเพื่อการศึกษาเท่านั้น ไม่อนุญาตให้นำไปใช้ประโยชน์ด้านการค้า  
ไม่ว่ากรณีใดๆทั้งสิ้น อีกทั้งห้ามมิให้ตัดแปลงเนื้อหา และต้องอ้างอิงถึงเจ้าของเอกสารทุกครั้งที่มีการนำไปใช้

ลำดับที่	adc	% ความชื้นดิน	แรงดึงความชื้น (kPa)	Temp °C
48	816	14.3287	66.91	35
49	835	19.1799	55.96	35
50	820	20.0230	54.63	35
51	856	17.5534	58.82	35
52	839	18.4083	57.26	35
53	856	17.3899	59.14	35
54	830	22.5510	51.04	35
55	812	23.3444	49.98	35
56	823	20.1153	54.49	35
57	832	11.8707	80.56	35
58	747	13.3790	70.65	35
59	813	10.8151	100.00	35
60	801	14.2439	67.20	35
61	850	30.5003	40.00	40
62	767	13.4986	70.11	40
63	830	23.3315	50.00	40
64	820	16.8375	60.27	40
65	846	19.1799	55.96	40
66	835	16.4830	61.03	40
67	833	20.0230	54.63	40
68	817	19.3374	55.70	40
69	834	14.6177	65.95	40
70	780	13.7955	68.87	40
71	687	10.8151	100.00	40
72	792	16.2826	61.49	40
73	850	18.8222	56.55	40
74	822	23.3444	49.98	40
75	845	21.6153	52.32	40
76	849	11.4693	85.26	40
77	861	13.5246	70.00	40
78	736	13.6296	69.55	40
79	814	11.3892	86.43	40
80	890	22.5658	51.02	45

เอกสารนี้เป็นเอกสารที่สงวนไว้สำหรับการใช้งานเพื่อการศึกษาเท่านั้น ไม่อนุญาตให้นำไปใช้ประโยชน์ด้านการค้า  
ไม่ว่ากรณีใดๆทั้งสิ้น อีกทั้งห้ามมิให้ตัดแปลงเนื้อหา และต้องอ้างอิงถึงเจ้าของเอกสารทุกครั้งที่มีการนำไปใช้

ลำดับที่	adc	% ความชื้นดิน	แรงดึงความชื้น (kPa)	Temp °C
81	860	26.9836	45.24	45
82	880	13.9912	68.12	45
83	730	10.8151	100.00	45
84	870	18.8222	56.55	45
85	897	26.0255	46.50	45
86	898	25.2557	47.50	45
87	870	15.0865	64.54	45
88	857	23.3444	49.98	45
89	856	12.2862	77.00	45
90	710	10.7042	105.00	45
91	885	20.2398	54.30	45
92	865	17.6124	58.71	45
93	830	23.5408	49.73	45
94	890	17.5406	58.85	45
95	867	19.3374	55.70	45
96	880	20.1153	54.49	45
97	777	16.4512	61.10	45
98	882	11.4693	85.26	45
99	909	15.1075	64.48	45
100	835	20.0230	54.63	50
101	909	26.2222	46.24	50
102	880	21.6153	52.32	50
103	865	15.6846	62.93	50
104	792	22.6934	50.85	50
105	780	13.6296	69.55	50
106	808	16.2826	61.49	50
107	882	12.9916	72.56	50
108	875	19.1799	55.96	50
109	875	20.5446	53.85	50
110	890	13.4986	70.11	50
111	904	11.8707	80.56	50
112	804	19.6353	55.23	50
113	734	10.4704	126.96	50

เอกสารนี้เป็นเอกสารที่สงวนไว้สำหรับการใช้งานเพื่อการศึกษาเท่านั้น ไม่อนุญาตให้นำไปใช้ประโยชน์ด้านการค้า  
ไม่ว่ากรณีใดๆทั้งสิ้น อีกทั้งห้ามมิให้ดัดแปลงเนื้อหา และต้องอ้างอิงถึงเจ้าของเอกสารทุกครั้งที่มีการนำไปใช้

ลำดับที่	adc	% ความชื้นดิน	แรงดึงความชื้น (kPa)	Temp °C
114	760	10.7566	102.44	50
115	875	16.4830	61.03	50
116	902	22.5510	51.04	50
117	890	14.6177	65.95	50
118	863	14.2439	67.20	50
119	870	16.8375	60.27	50

ตารางที่ ข.3.บันทึกผลการทดลองแสดงการเปรียบเทียบการวัดค่าความชื้นดินของโครงข่ายเซนเซอร์กับ Soil Moisture Meter

วันที่	Soil Moisture Meter	โครงข่ายเซนเซอร์	% ความต่าง
1-มี.ค.	0	0	0.00
1-มี.ค.	4	0	100.00
2-มี.ค.	7	1	85.71
2-มี.ค.	15	8	46.67
3-มี.ค.	21	17	19.05
3-มี.ค.	20	17	15.00
4-มี.ค.	23	19	17.39
4-มี.ค.	26	20	23.08
5-มี.ค.	28	22	21.43
5-มี.ค.	31	25	19.35
6-มี.ค.	34	30	11.76
6-มี.ค.	40	35	12.50
7-มี.ค.	48	41	14.58
7-มี.ค.	57	52	8.77
8-มี.ค.	63	59	6.35
8-มี.ค.	75	67	10.67
9-มี.ค.	81	75	7.41
9-มี.ค.	91	83	8.79
10-มี.ค.	97	90	7.22
10-มี.ค.	105	100	4.76

เอกสารนี้เป็นเอกสารที่สงวนไว้สำหรับการใช้งานเพื่อการศึกษาเท่านั้น ไม่อนุญาตให้นำไปใช้ประโยชน์ด้านการค้า  
ไม่ว่ากรณีใดๆทั้งสิ้น อีกทั้งห้ามมิให้ดัดแปลงเนื้อหา และต้องอ้างอิงถึงเจ้าของเอกสารทุกครั้งที่มีการนำไปใช้

ตารางที่ ข.4.บันทึกผลการทดลองปรับค่า pH ดิน

ตารางบันทึกผลการทดลองปรับค่า pH ดิน														
ที่แรงดึงความชื้น 0					ที่แรงดึงความชื้น 50					ที่แรงดึงความชื้น 100				
ค่า ADC				pH ดิน	ค่า ADC				pH ดิน	ค่า ADC				pH ดิน
ซ้ำ 1	ซ้ำ 2	ซ้ำ 3	เฉลี่ย		ซ้ำ 1	ซ้ำ 2	ซ้ำ 3	เฉลี่ย		ซ้ำ 1	ซ้ำ 2	ซ้ำ 3	เฉลี่ย	
930	936	935	934	3	756	769	780	768	3	25	23	22	23	3
938	935	930	934	3.5	761	755	753	756	3.5	18	17	15	17	3.5
938	930	940	936	4	768	758	768	765	4	16	20	25	20	4
940	937	930	936	4.5	771	755	757	761	4.5	21	19	20	20	4.5
941	938	941	940	5	770	750	770	763	5	25	21	11	19	5
935	931	941	936	5.5	760	760	763	761	5.5	17	24	13	18	5.5
931	945	942	939	6	770	762	763	765	6	23	24	20	22	6
933	939	933	935	6.5	764	760	775	766	6.5	17	30	22	23	6.5
936	945	942	941	7	775	765	752	764	7	22	18	20	20	7
931	940	941	937	7.5	751	770	762	761	7.5	15	19	20	18	7.5

เอกสารนี้เป็นเอกสารที่สงวนไว้สำหรับการใช้งานเพื่อการศึกษาเท่านั้น ไม่อนุญาตให้นำไปใช้ประโยชน์ด้านการค้า  
ไม่ว่ากรณีใดๆทั้งสิ้น อีกทั้งห้ามมิให้ตัดแปลงเนื้อหา และต้องอ้างอิงถึงเจ้าของเอกสารทุกครั้งที่มีการนำไปใช้



เอกสารนี้เป็นเอกสารที่สงวนไว้สำหรับการใช้งานเพื่อการศึกษาเท่านั้น ไม่อนุญาตให้นำไปใช้ประโยชน์ด้านการค้า  
ไม่ว่ากรณีใดๆทั้งสิ้น อีกทั้งห้ามมิให้ตัดแปลงเนื้อหา และต้องอ้างอิงถึงเจ้าของเอกสารทุกครั้งที่มีการนำไปใช้

## 1. การวิเคราะห์ข้อมูลอุณหภูมิ

จากกราฟวิเคราะห์ผลอุณหภูมิดินกับค่า ADC จะได้

ตารางที่ค.1 ตารางเทียบผลต่างของอุณหภูมิและ ADC ที่มีผลต่อแรงดึงความชื้น

อุณหภูมิ(°c)	สมการเชิงเส้น	แรงดึงความชื้น(kPa)				
		ที่ADC 700	ที่ADC 750	ที่ADC 800	ที่ADC 850	ที่ADC 900
25	$y = -0.2199x + 243.15$	89.22	78.225	67.23	56.235	45.24
30	$y = -0.1825x + 212.36$	84.61	75.485	66.36	57.235	48.11
35	$y = -0.2179x + 243$	90.47	79.575	68.68	57.785	46.89
40	$y = -0.1999x + 227.6$	87.67	77.675	67.68	57.685	47.69
45	$y = -0.2168x + 248.11$	96.35	85.51	74.67	63.83	52.99
50	$y = -0.2142x + 248.06$	98.12	87.41	76.7	65.99	55.28

จากตารางหากคิด % ความต่างที่อุณหภูมิดิน 25°C – 40°C อยู่ที่ประมาณ 3 % ความต่างมากที่สุดอยู่ที่อุณหภูมิดิน 45°C ถึง 50°C อยู่ที่ประมาณ 10 – 13 %

## 2 การเปรียบเทียบเชิงสถิติของผลต่าง pH ดินกับผลของ ADC ในทางสถิติ

จากตารางบันทึกผลการทดลองที่ ข. สามารถสรุปผลทางสถิติได้ดังนี้

เปรียบเทียบที่แรงดึงความชื้น 0 kPa

ตารางที่ ค.2 วิเคราะห์ความแปรปรวนแบบ CRD ที่แรงดึงความชื้นดิน 0 kPa

SV	Df	SS	MS	F-value
Treatments	10	172.8	17.3	0.8 <sup>NS</sup>
Error	22	498.7	22.7	
Total	32	671.5		

จากผลการวิเคราะห์ทางสถิติของการทดสอบการวัดค่า ADC ที่แรงดึงความชื้น 0 kPa ที่ระดับ pH แตกต่างกันว่าผลต่อการวัดค่า ADC หรือไม่ สรุปได้ว่า การเปลี่ยนแปลงค่า pH ในช่วง 3 – 7.5 ไม่มีผลต่อค่า ADC

เอกสารนี้เป็นเอกสารที่สงวนไว้สำหรับการใช้งานเพื่อการศึกษาเท่านั้น ไม่อนุญาตให้นำไปใช้ประโยชน์ด้านการค้า ไม่ว่ากรณีใดๆทั้งสิ้น อีกทั้งห้ามมิให้ตัดแปลงเนื้อหา และต้องอ้างอิงถึงเจ้าของเอกสารทุกครั้งที่มีการนำไปใช้

- เปรียบเทียบที่แรงดึงความชื้น 50 kPa

ตารางที่ ค.3 วิเคราะห์ความแปรปรวนแบบ CRD ที่แรงดึงความชื้นดิน 50 kPa

SV	Df	SS	MS	F-value
Treatments	10	312.0	31.3	0.5 <sup>NS</sup>
Error	22	1424.0	64.7	
Total	32	1736.0		

จากผลการวิเคราะห์ทางสถิติของการทดสอบการวัดค่า ADC ที่แรงดึงความชื้น 50 kPa ที่ระดับ pH ต่างกันว่ามีผลต่อการวัดค่า ADC หรือไม่ สรุปได้ว่า การเปลี่ยนแปลงค่า pH ในช่วง 3 - 7.5 ไม่มีผลต่อค่า ADC

- เปรียบเทียบที่แรงดึงความชื้น 100 kPa

ตารางที่ ค.3 วิเคราะห์ความแปรปรวนแบบ CRD ที่แรงดึงความชื้นดิน 100 kPa

SV	Df	SS	MS	F-Value
Treatments	10	137.6	31.3	0.8 <sup>NS</sup>
Error	22	395.3	64.7	
Total	32	533.0		

จากผลการวิเคราะห์ทางสถิติของการทดสอบการวัดค่า ADC ที่แรงดึงความชื้น 100 kPa ที่ระดับ pH ต่างกันว่ามีผลต่อการวัดค่า ADC หรือไม่ สรุปได้ว่า การเปลี่ยนแปลงค่า pH ในช่วง 3 - 7.5 ไม่มีผลต่อค่า ADC

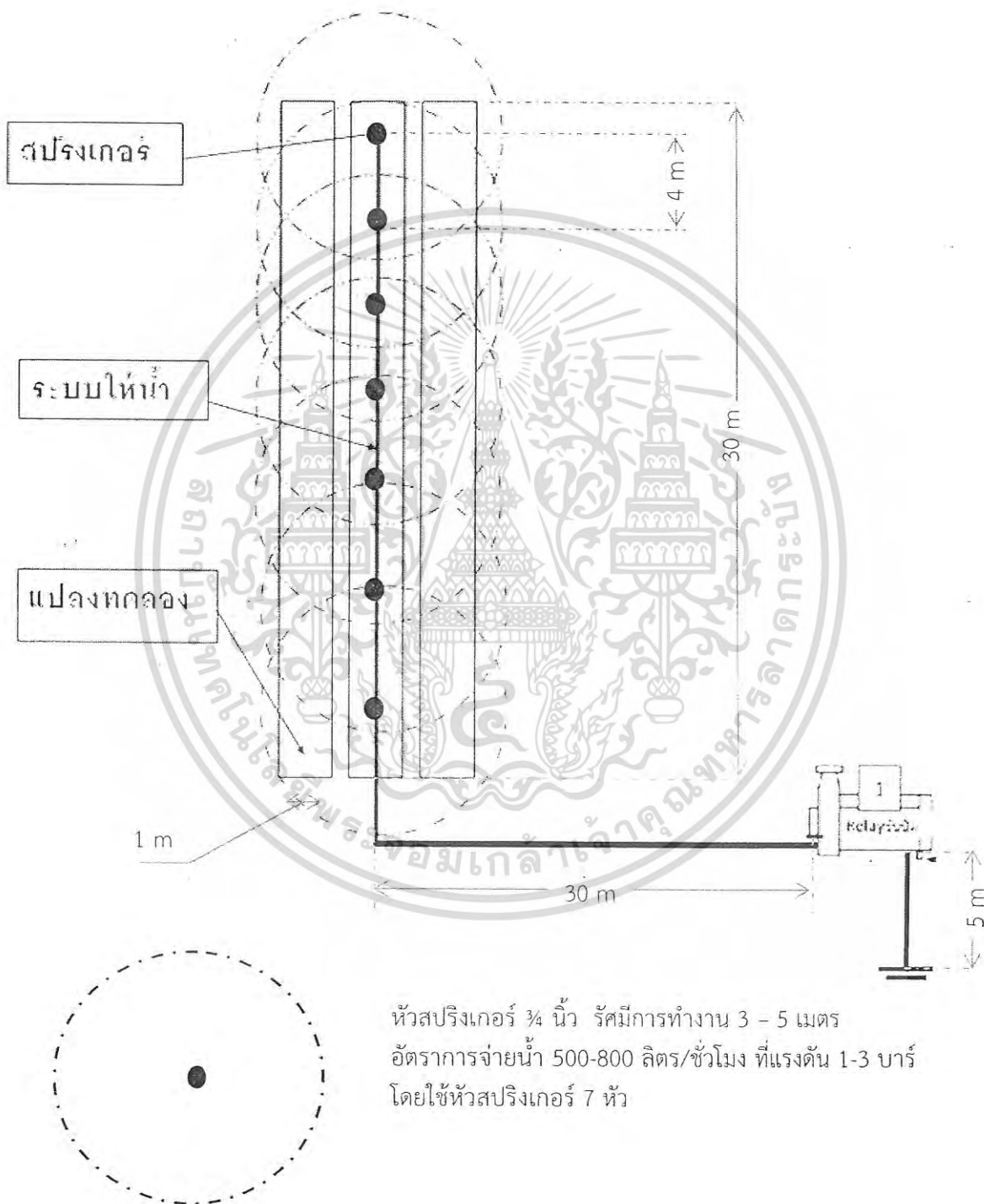
เอกสารนี้เป็นเอกสารที่สงวนไว้สำหรับการใช้งานเพื่อการศึกษาเท่านั้น ไม่อนุญาตให้นำไปใช้ประโยชน์ด้านการค้า  
ไม่ว่ากรณีใดๆทั้งสิ้น อีกทั้งห้ามมิให้ตัดแปลงเนื้อหา และต้องอ้างอิงถึงเจ้าของเอกสารทุกครั้งที่มีการนำไปใช้



ภาคผนวก ง.  
การออกแบบระบบการให้น้ำสำหรับการ  
ทดลองที่ 4.6.2

เอกสารนี้เป็นเอกสารที่สงวนไว้สำหรับการใช้งานเพื่อการศึกษาเท่านั้น ไม่อนุญาตให้นำไปใช้ประโยชน์ด้านการค้า  
ไม่ว่ากรณีใดๆทั้งสิ้น อีกทั้งห้ามมิให้ตัดแปลงเนื้อหา และต้องอ้างอิงถึงเจ้าของเอกสารทุกครั้งที่มีการนำไปใช้

ในการทดลองนั้นต้องควบคุมตัวแปรควบคุมให้เหมือนกัน ตัวแปรควบคุมในที่นี้คือระบบการให้น้ำ ชนิดดิน รวมถึงสภาพแวดล้อมที่ทำการเพาะปลูก



เอกสารนี้เป็นเอกสารที่สงวนไว้สำหรับการใช้งานเพื่อการศึกษาเท่านั้น ไม่อนุญาตให้นำไปใช้ประโยชน์ด้านการค้า  
ไม่ว่ากรณีใดๆทั้งสิ้น อีกทั้งห้ามมิให้ตัดแปลงเนื้อหา และต้องอ้างอิงถึงเจ้าของเอกสารทุกครั้งที่มีการนำไปใช้

1) หาความลึกสูงสุดสุทธิต่อการให้น้ำ 1 ครั้ง

จากสูตร

$$I_x = \frac{SMD}{100} \cdot W_a \cdot z \cdot P_w \quad (1)$$

$I_x$	= ความลึกสูงสุดสุทธิต่อการให้น้ำ 1 ครั้ง	มม.ต่อครั้ง
$SMD$	= ความชื้นที่ยอมให้ลดลงได้	%
$W_a$	= ความสามารถในการอุ้มน้ำของดิน	
$z$	= ความลึกของดินในเขตรากพืช	cm
$P_w$	= เปอร์เซ็นต์พื้นที่เปียกน้ำ	%

แทนค่า

$I_x$	= ?		มม.ต่อครั้ง
$SMD$	= ความชื้นที่ยอมให้ลดลงได้(ผักบุ้ง)	= 45	%
$W_a$	= ความสามารถในการอุ้มน้ำของดินร่วน	= 1.5	
$z$	= ความลึกของดินในเขตรากพืช	= 15	cm
$P_w$	= เปอร์เซ็นต์พื้นที่เปียกน้ำ	= 100	%

$$I_x = \frac{45}{100} \times 1.5 \times 15 \times 1$$

$$I_x = 10.125 \quad \text{มม.ต่อครั้ง}$$

2) หาปริมาณการใช้น้ำของพืช

จากสูตร

$$E_T = K_C \cdot ET_p \quad (2)$$

$E_T$	= ปริมาณการใช้น้ำมีหน่วยเป็น	มม.ต่อวัน
$K_C$	= สัมประสิทธิ์การใช้น้ำของพืช (crop coefficient) ซึ่งจะแปรผันตามชนิดและระยะในการเจริญเติบโต หรืออายุพืช	

เอกสารนี้เป็นเอกสารที่สงวนไว้สำหรับการใช้งานเพื่อการศึกษาเท่านั้น ไม่อนุญาตให้นำไปใช้ประโยชน์ด้านการค้า  
ไม่ว่ากรณีใดๆทั้งสิ้น อีกทั้งห้ามมิให้ตัดแปลงเนื้อหา และต้องอ้างอิงถึงเจ้าของเอกสารทุกครั้งที่มีการนำไปใช้

$ET_p$  = ปริมาณการใช้น้ำของพืชอ้างอิง (potential Evapotranspiration) ส่วนมากจะใช้หญ้าเป็นพืชมาอ้างอิง และสมการวิเคราะห์หาได้จากข้อมูลภูมิอากาศในแต่ละเดือน โดยสูตรของ panmen ผลการวิเคราะห์มีหน่วยเป็น มม.ต่อวัน

การทดลองโดยใช้ผักบุ้งในการทดลอง ปลูกในพื้นที่จังหวัดนครราชสีมา ช่วงเดือน เมษายน  
ดังนั้น

$$K_c = 0.19$$

$$ET_p = 168 \quad \text{มม.ต่อวัน}$$

$$E_T = 0.19 \times 168 = 31.92 \quad \text{มม.ต่อวัน}$$

- 3) หาปริมาณการใช้น้ำสูงสุดเฉลี่ยของพืชต่อวัน  
จากสูตร

$$G = E_T \times A_p \quad (3)$$

$G$  = ปริมาณการใช้น้ำสูงสุดเฉลี่ยของพืชต่อวัน ลิตร ต่อวัน  
 $A_p$  = พื้นที่อาณาเขตพืช เมตร<sup>2</sup>  
ดังนั้น

$$G = 31.92 \times 90 = 2,872.8 \quad \text{ลิตร ต่อวัน}$$

- 4) หาระยะเวลาในการจ่ายน้ำแต่ละครั้ง

จากข้อมูล

- จำนวนน้ำที่ผักบุ้งต้องการต่อวัน (G)	= 2,872.8	ลิตรต่อวัน
- จำนวนหัวปล่อยน้ำที่ใช้	= 7	หัว
- อัตราการจ่ายน้ำของหัวจ่ายน้ำเฉลี่ย	= 650	ลิตรต่อชั่วโมง
- ประสิทธิภาพการให้น้ำ	= 85	%

$$T_a = \frac{G}{e \cdot q_a \cdot E_a} \quad (4)$$

เอกสารนี้เป็นเอกสารที่สงวนไว้สำหรับการใช้งานเพื่อการศึกษาเท่านั้น ไม่อนุญาตให้นำไปใช้ประโยชน์ด้านการค้า  
ไม่ว่ากรณีใดๆทั้งสิ้น อีกทั้งห้ามมิให้ตัดแปลงเนื้อหา และต้องอ้างอิงถึงเจ้าของเอกสารทุกครั้งที่มีการนำไปใช้

$$T_a = \frac{2,872.8}{1 \times 650 \times 0.85} = \text{ชั่วโมง}$$

$$T_a = 0.74 \quad \text{ชั่วโมง}$$

5) ความลึกของน้ำทั้งหมดที่ต้องให้จริง

$$I_g = \frac{100 I_n}{Ea} \quad (5)$$

$I_g$	= ความลึกของน้ำทั้งหมดที่ต้องการให้จริง	มิลลิเมตร
$Ea$	= ประสิทธิภาพของการให้น้ำในแปลง	= 85 %
$I_n$	= ความลึกของน้ำสุทธิที่ต้องให้แต่ละครั้ง	= 10.125 มิลลิเมตร

แทนค่า

$$I_g = \frac{100 \times 10.125}{85} \quad \text{มิลลิเมตร/ครั้ง}$$

6) หาปริมาณน้ำที่ต้องจ่ายทั้งระบบ

จากสูตร

$$Q_s = 1.6 \frac{A}{N} \cdot \frac{I_g}{T_a} \quad (6)$$

$Q_s$	= ปริมาณน้ำที่ต้องจ่ายทั้งระบบ	ม <sup>3</sup> /ชั่วโมง
$A$	= พื้นที่ที่จะต้องจ่ายน้ำทั้งหมด	ไร่
$N$	= จำนวนหัวจ่ายน้ำ	หัว

$$Q_s = 1.6 \times \frac{90}{7} \times \frac{11.91}{0.74} \times \frac{1}{1600} \quad \text{ม}^3/\text{ชั่วโมง}$$

$$Q_s = 0.207 \quad \text{ม}^3/\text{ชั่วโมง}$$

7) คำนวณการสูญเสีย Head ของระบบน้ำ

หมายเหตุ: ให้การสูญเสียเนื่องจากปัจจัยอุปกรณ์ต่อน้อยมากจึงไม่นำมาคิด

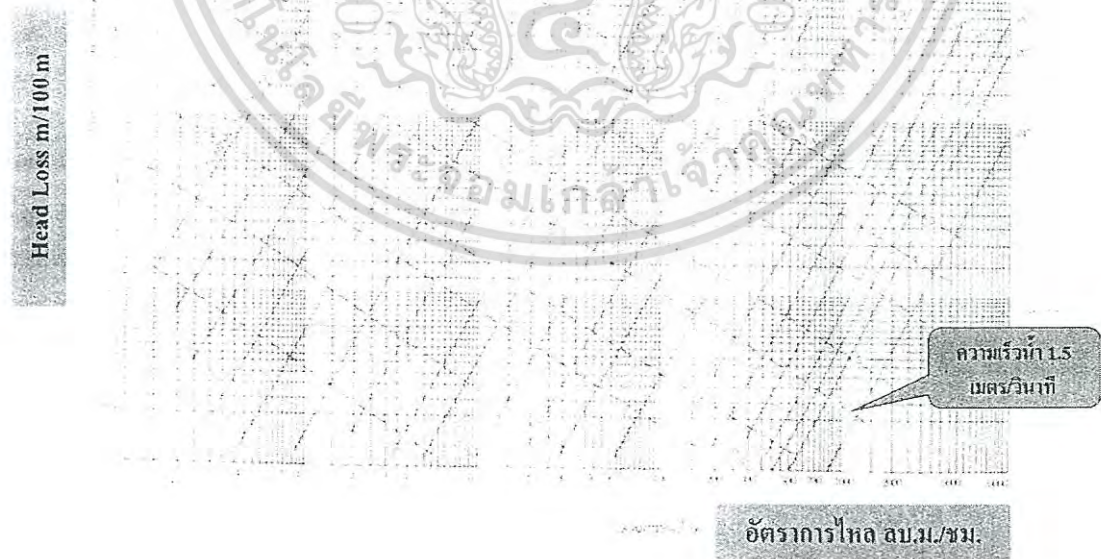
เอกสารนี้เป็นเอกสารที่สงวนไว้สำหรับการใช้งานเพื่อการศึกษาเท่านั้น ไม่อนุญาตให้นำไปใช้ประโยชน์ด้านการค้า  
ไม่ว่ากรณีใดๆทั้งสิ้น อีกทั้งห้ามมิให้ตัดแปลงเนื้อหา และต้องอ้างอิงถึงเจ้าของเอกสารทุกครั้งที่มีการนำไปใช้

ดังนั้น Head ที่สูญเสียรวม =  $H_{\text{ความฝืดในท่อ}} + H_{\text{ความต่างระดับ}}$   
 ซึ่ง Head ความฝืดต่อจากปั๊มจนถึงสปริงเกอร์ตัวสุดท้ายนั้นหาได้จากกราฟความสัมพันธ์  
 จะได้

$H_{\text{ความฝืดในท่อ}}$	= 0.15+0.0105	เมตร
$H_{\text{ความต่างระดับ}}$	= 5+1.5	เมตร
$H_{\text{สูญเสียรวม}}$	= (0.15+0.0105)+(5+1.5)	เมตร
$H_{\text{สูญเสียรวม}}$	= 6.66	เมตร

ดังนั้นหากเลือกปั๊มที่มี head = 20 เมตร  
 Head ที่หัวปล่อยสุดท้ายจะเหลือ = 20 - 6.66 = 13.34 เมตร  
 แปลเป็นหน่วยความดัน = 1.3 bar  
 ซึ่งเป็นความดันที่หัวสปริงเกอร์ชนิดที่เลือกไว้ทำงาน 4 - 5 เมตรพอดี

ดังนั้นควรเลือกปั๊มที่มี head 20 เมตร ขนาด 2 นิ้ว 3000 rpm และ 400 L/min



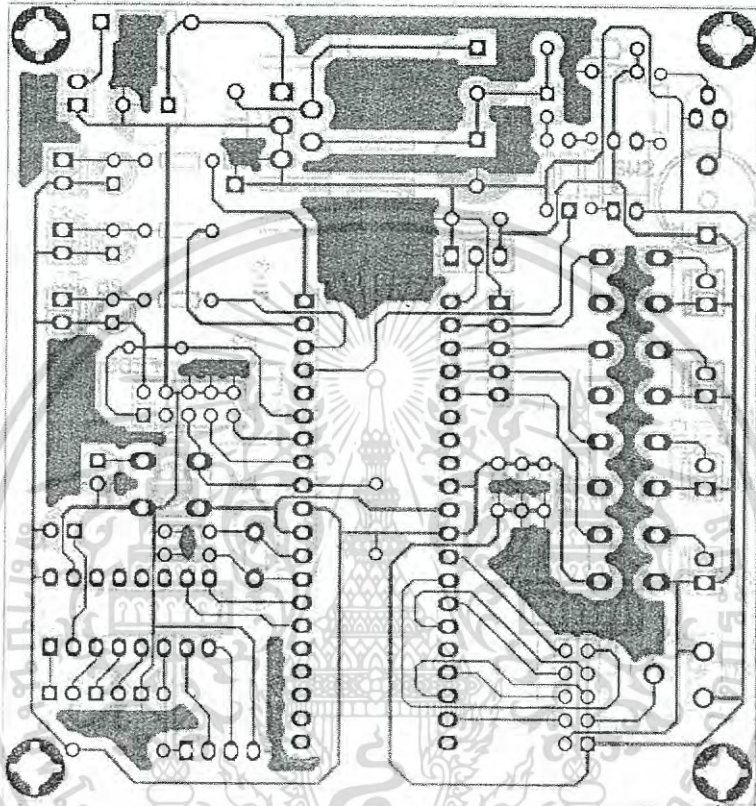
รูปที่ ง.1 กราฟแผนภูมิท่อ

เอกสารนี้เป็นเอกสารที่สงวนไว้สำหรับการใช้งานเพื่อการศึกษาเท่านั้น ไม่อนุญาตให้นำไปใช้ประโยชน์ด้านการค้า  
 ไม่ว่ากรณีใดๆทั้งสิ้น อีกทั้งห้ามมิให้ดัดแปลงเนื้อหา และต้องอ้างอิงถึงเจ้าของเอกสารทุกครั้งที่มีการนำไปใช้

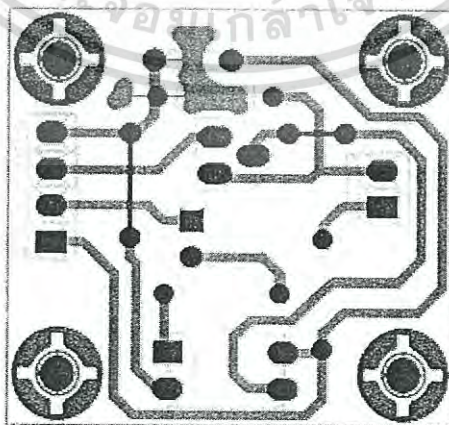


เอกสารนี้เป็นเอกสารที่สงวนไว้สำหรับการใช้งานเพื่อการศึกษาเท่านั้น ไม่อนุญาตให้นำไปใช้ประโยชน์ด้านการค้า  
ไม่ว่ากรณีใดๆทั้งสิ้น อีกทั้งห้ามมิให้ตัดแปลงเนื้อหา และต้องอ้างอิงถึงเจ้าของเอกสารทุกครั้งที่มีการนำไปใช้

## 1. ลายวงจรอุปกรณ์เซนเซอร์



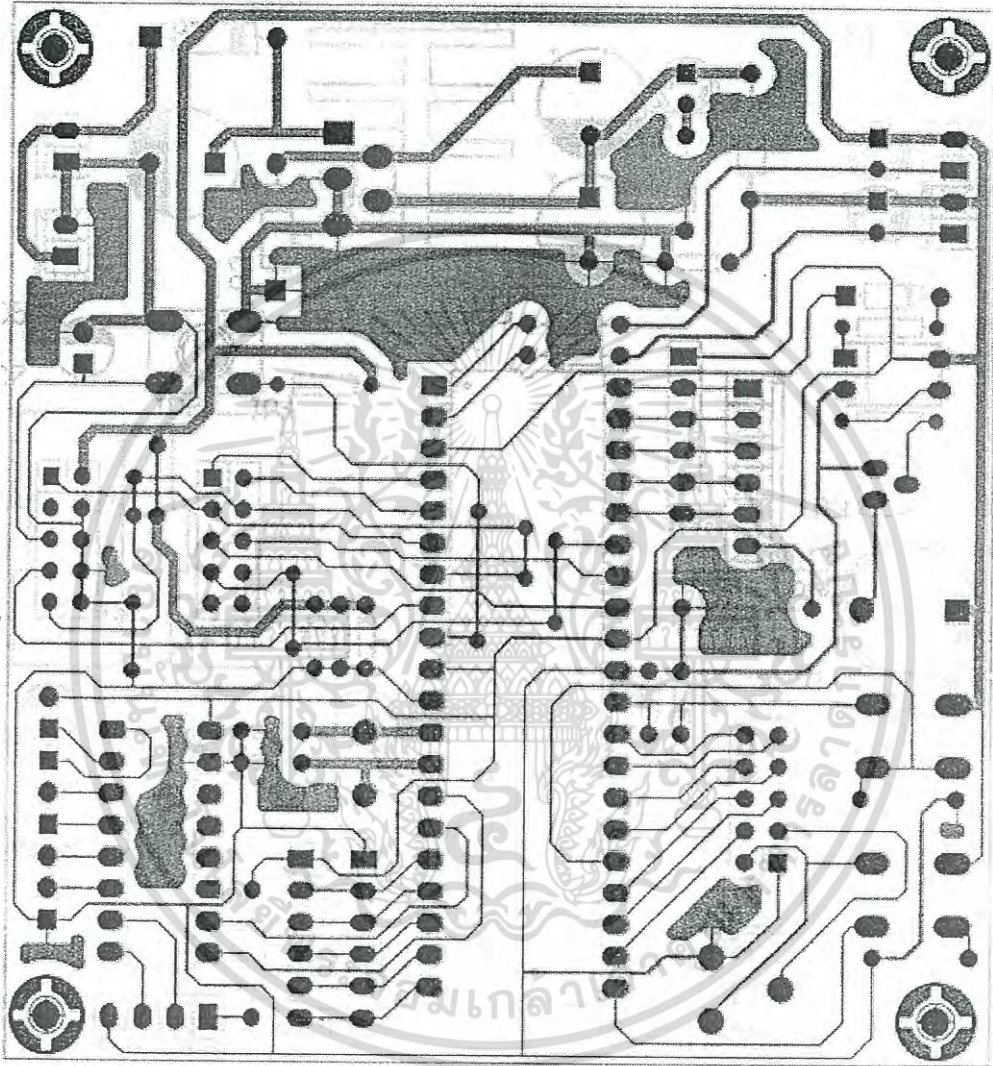
รูปที่ จ.1 ลายวงจรประมวลผลส่งสัญญาณของเซนเซอร์



รูปที่ จ.2 ลายวงจรขับไฟของเซนเซอร์วัดความชื้นดิน

เอกสารนี้เป็นเอกสารที่สงวนไว้สำหรับการใช้งานเพื่อการศึกษาเท่านั้น ไม่อนุญาตให้นำไปใช้ประโยชน์ด้านการค้า ไม่ว่าจะกรณีใดๆทั้งสิ้น อีกทั้งห้ามมิให้ดัดแปลงเนื้อหา และต้องอ้างอิงถึงเจ้าของเอกสารทุกครั้งที่มีการนำไปใช้

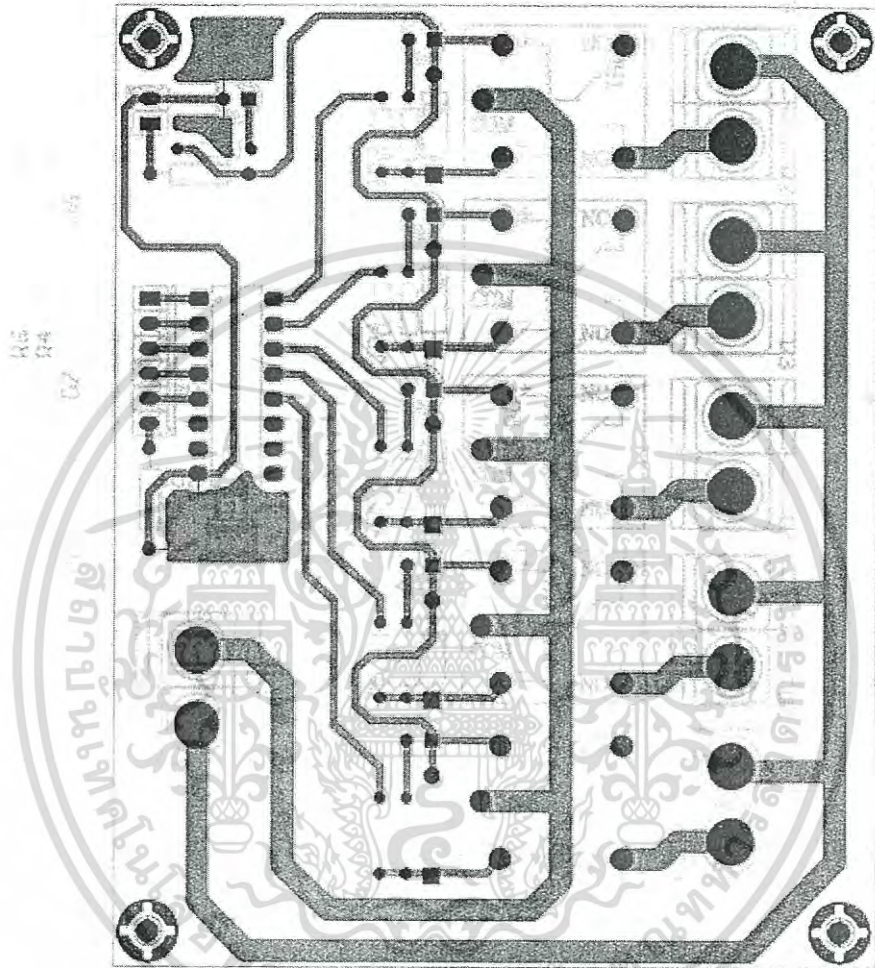
## 2.ลายวงจรควบคุมหลัก



รูปที่ จ.3 วงจรควบคุมหลัก

เอกสารนี้เป็นเอกสารที่สงวนไว้สำหรับการใช้งานเพื่อการศึกษาเท่านั้น ไม่อนุญาตให้นำไปใช้ประโยชน์ด้านการค้า  
ไม่ว่ากรณีใดๆทั้งสิ้น อีกทั้งห้ามมิให้ตัดแปลงเนื้อหา และต้องอ้างอิงถึงเจ้าของเอกสารทุกครั้งที่มีการนำไปใช้

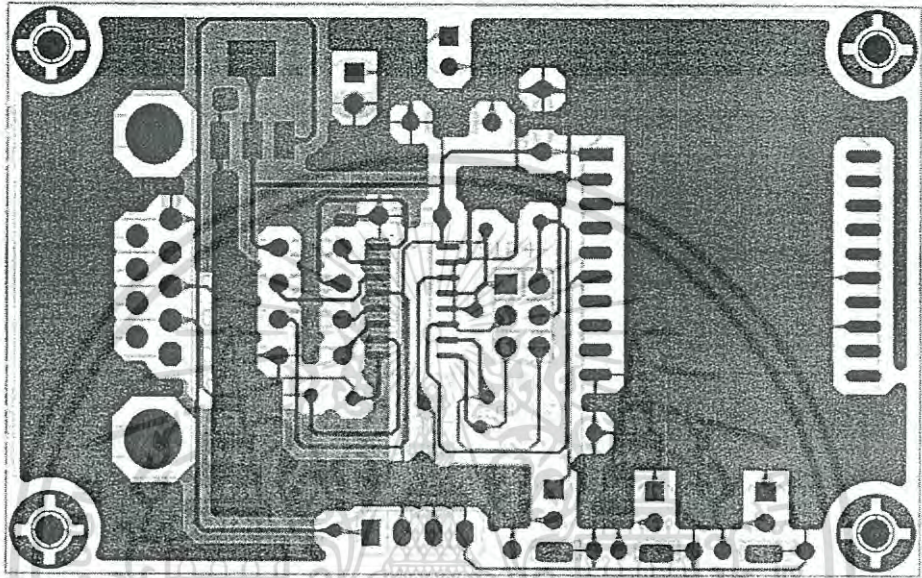
### 3.ลายวงจร Relay ขับปั๊ม



รูปที่ จ.4 วงจรขับ Relay ขับปั๊ม

เอกสารนี้เป็นเอกสารที่สงวนไว้สำหรับการใช้งานเพื่อการศึกษาเท่านั้น ไม่อนุญาตให้นำไปใช้ประโยชน์ด้านการค้า  
ไม่ว่ากรณีใดๆทั้งสิ้น อีกทั้งห้ามมิให้ตัดแปลงเนื้อหา และต้องอ้างอิงถึงเจ้าของเอกสารทุกครั้งที่มีการนำไปใช้

## 4.ลายวงจ รX-Bee

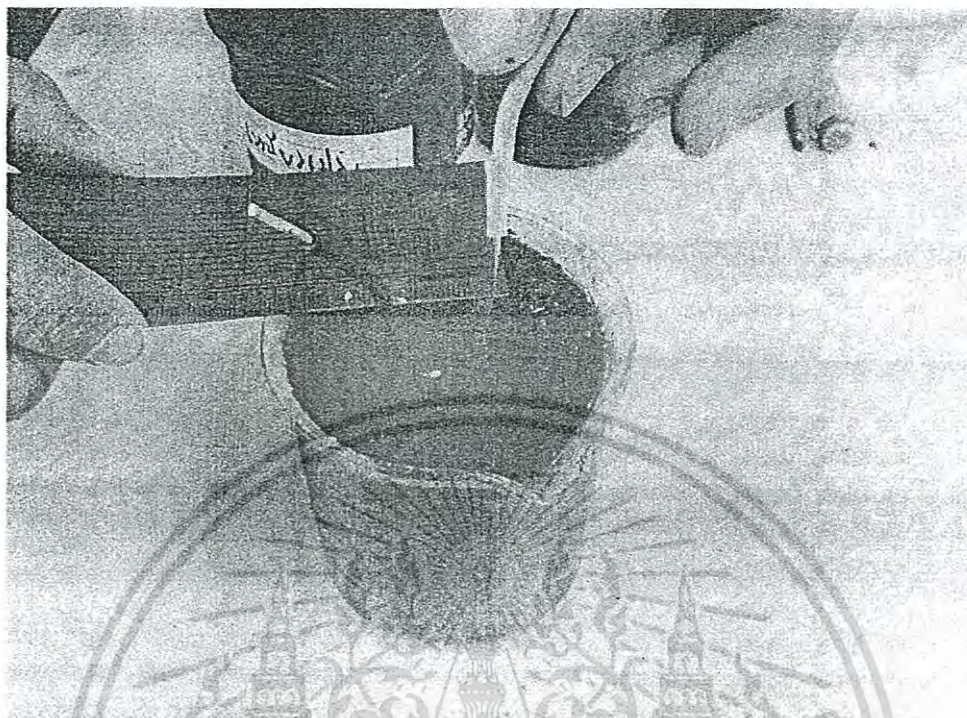


รูปที่ 4.5 วงจร X-Bee

เอกสารนี้เป็นเอกสารที่สงวนไว้สำหรับการใช้งานเพื่อการศึกษาเท่านั้น ไม่อนุญาตให้นำไปใช้ประโยชน์ด้านการค้า  
ไม่ว่ากรณีใดๆทั้งสิ้น อีกทั้งห้ามมิให้ตัดแปลงเนื้อหา และต้องอ้างอิงถึงเจ้าของเอกสารทุกครั้งที่มีการนำไปใช้



เอกสารนี้เป็นเอกสารที่สงวนไว้สำหรับการใช้งานเพื่อการศึกษาเท่านั้น ไม่อนุญาตให้นำไปใช้ประโยชน์ด้านการค้า  
ไม่ว่ากรณีใดๆทั้งสิ้น อีกทั้งห้ามมิให้ตัดแปลงเนื้อหา และต้องอ้างอิงถึงเจ้าของเอกสารทุกครั้งที่มีการนำไปใช้

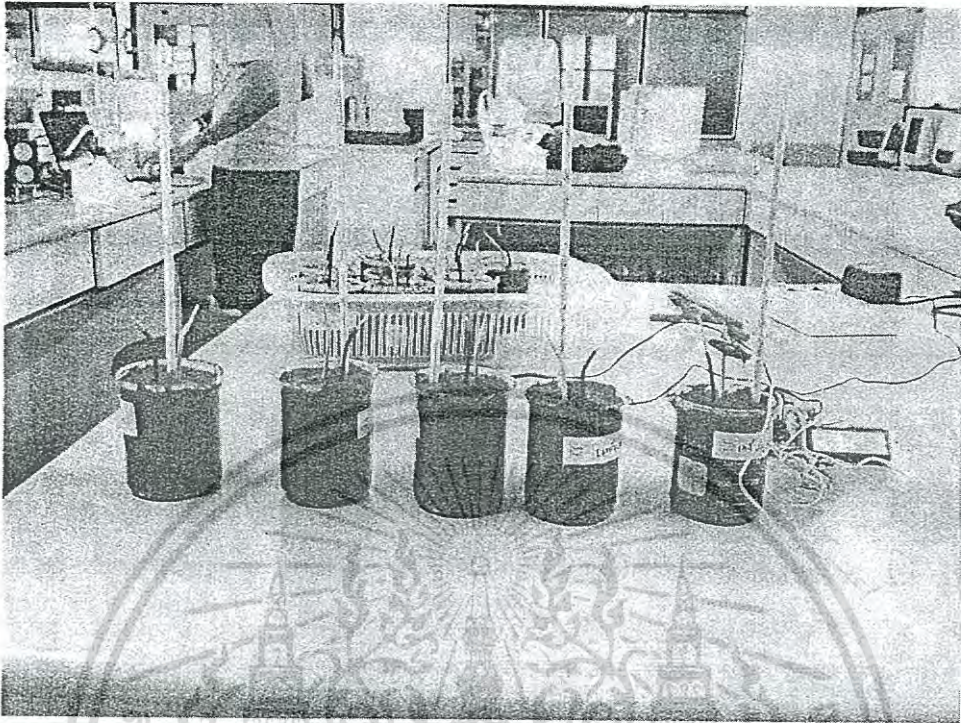


รูปที่ ๑.1 แสดงการทดลองเปรียบเทียบวิเคราะห์ขนาดเซนเซอร์

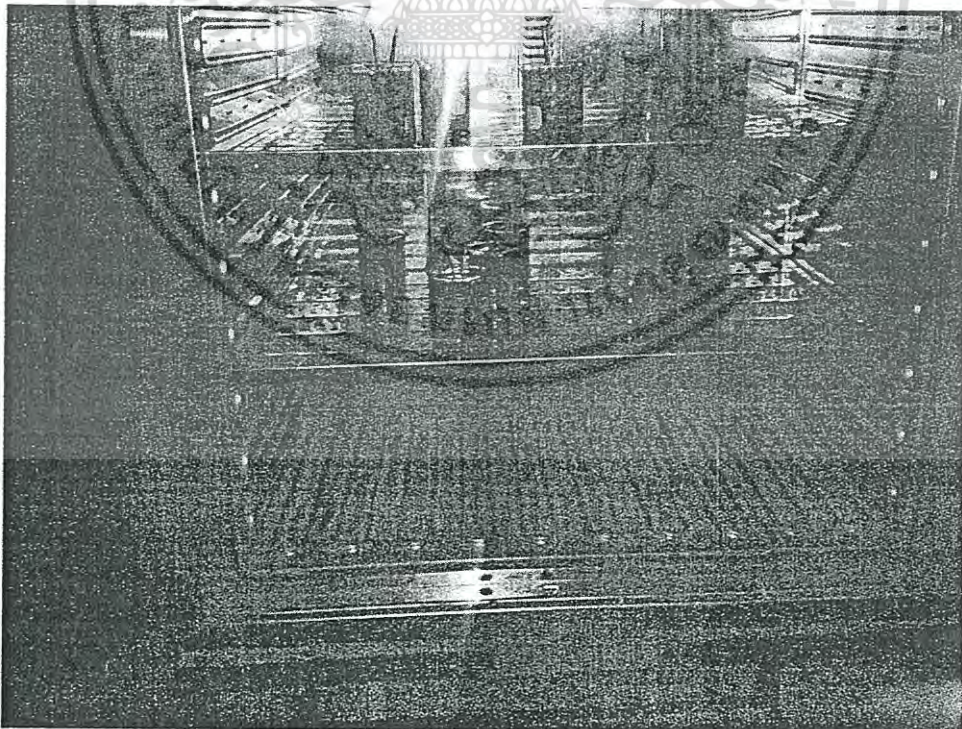


รูปที่ ๑.2 แสดงการอ่านค่า ADC

เอกสารนี้เป็นเอกสารที่สงวนไว้สำหรับการใช้งานเพื่อการศึกษาเท่านั้น ไม่อนุญาตให้นำไปใช้ประโยชน์ด้านการค้า  
ไม่ว่ากรณีใดๆทั้งสิ้น อีกทั้งห้ามมิให้ดัดแปลงเนื้อหา และต้องอ้างอิงถึงเจ้าของเอกสารทุกครั้งที่มีการนำไปใช้

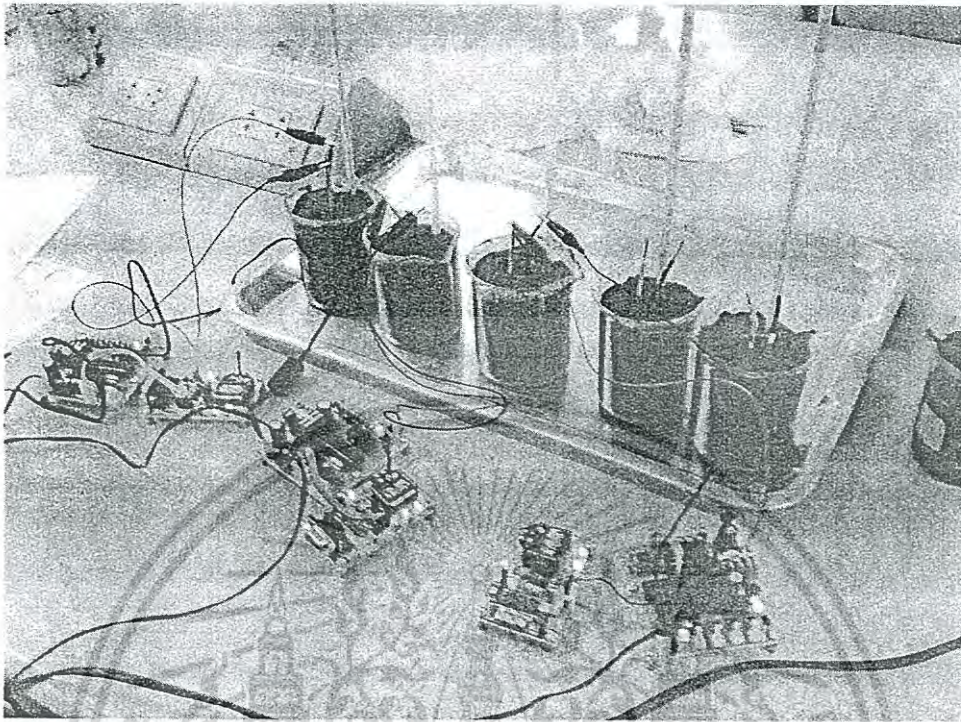


รูปที่ ฉ.3 การอ่านค่าอุณหภูมิและค่า ADC



รูปที่ ฉ.4 การอปโล่ความชื้นดินในตู้อบลมร้อน

เอกสารนี้เป็นเอกสารที่สงวนไว้สำหรับการใช้งานเพื่อการศึกษาเท่านั้น ไม่อนุญาตให้นำไปใช้ประโยชน์ด้านการค้า ไม่ว่าจะกรณีใดๆทั้งสิ้น อีกทั้งห้ามมิให้ดัดแปลงเนื้อหา และต้องอ้างอิงถึงเจ้าของเอกสารทุกครั้งที่มีการนำไปใช้

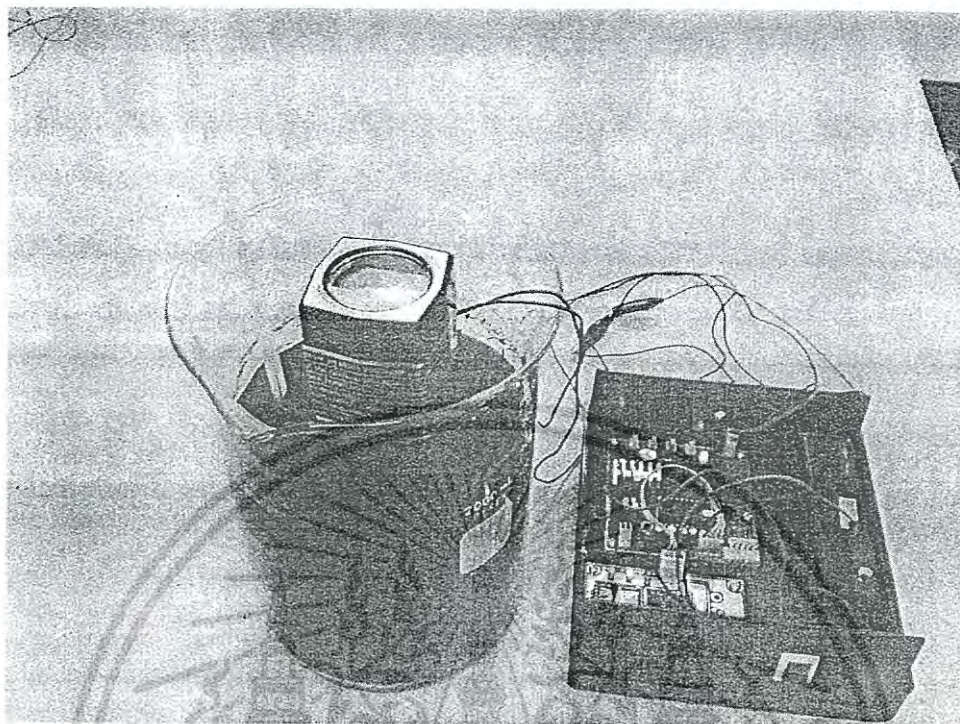


รูปที่ ๑.5 การทดสอบวัดความชื้นแบบไร้สาย



รูปที่ ๑.6 การผสมดินเพื่อปรับ pH ในการทดลอง

เอกสารนี้เป็นเอกสารที่สงวนไว้สำหรับการใช้งานเพื่อการศึกษาเท่านั้น ไม่อนุญาตให้นำไปใช้ประโยชน์ด้านการค้า  
ไม่ว่ากรณีใดๆทั้งสิ้น อีกทั้งห้ามมิให้ตัดแปลงเนื้อหา และต้องอ้างอิงถึงเจ้าของเอกสารทุกครั้งที่มีการนำไปใช้

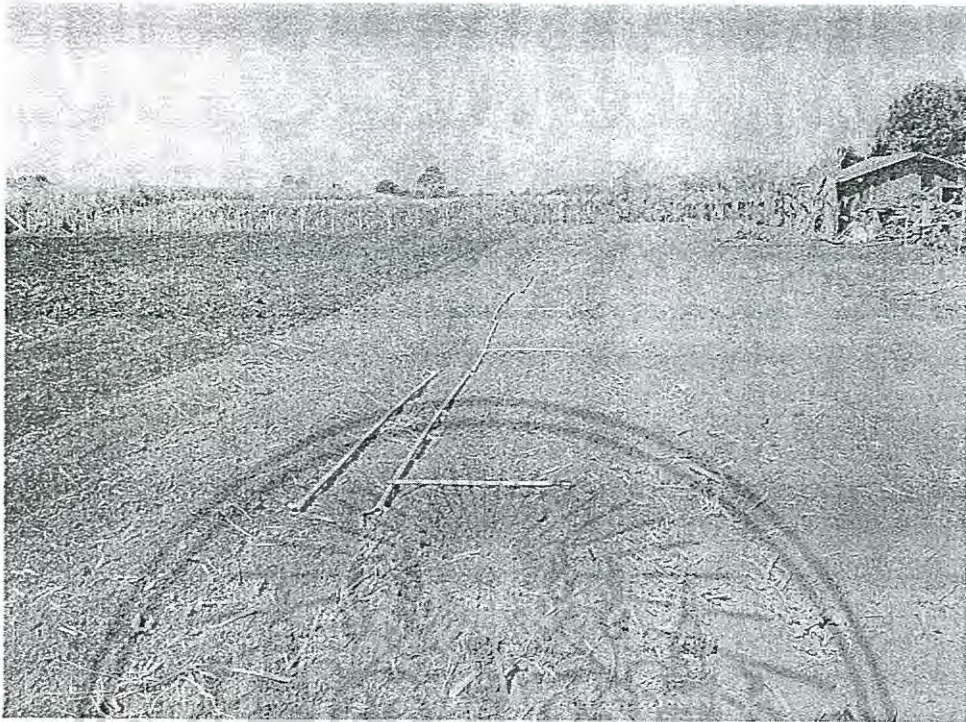


รูปที่ ๑.7 การทดลองวัดความสัมพันธ์ของ pH ดินที่มีผลต่อค่า ADC



รูปที่ ๑.8 การไถเตรียมแปลงทดลอง

เอกสารนี้เป็นเอกสารที่สงวนไว้สำหรับการใช้งานเพื่อการศึกษาเท่านั้น ไม่อนุญาตให้นำไปใช้ประโยชน์ด้านการค้า ไม่ว่ากรณีใดๆทั้งสิ้น อีกทั้งห้ามมิให้ดัดแปลงเนื้อหา และต้องอ้างอิงถึงเจ้าของเอกสารทุกครั้งที่มีการนำไปใช้

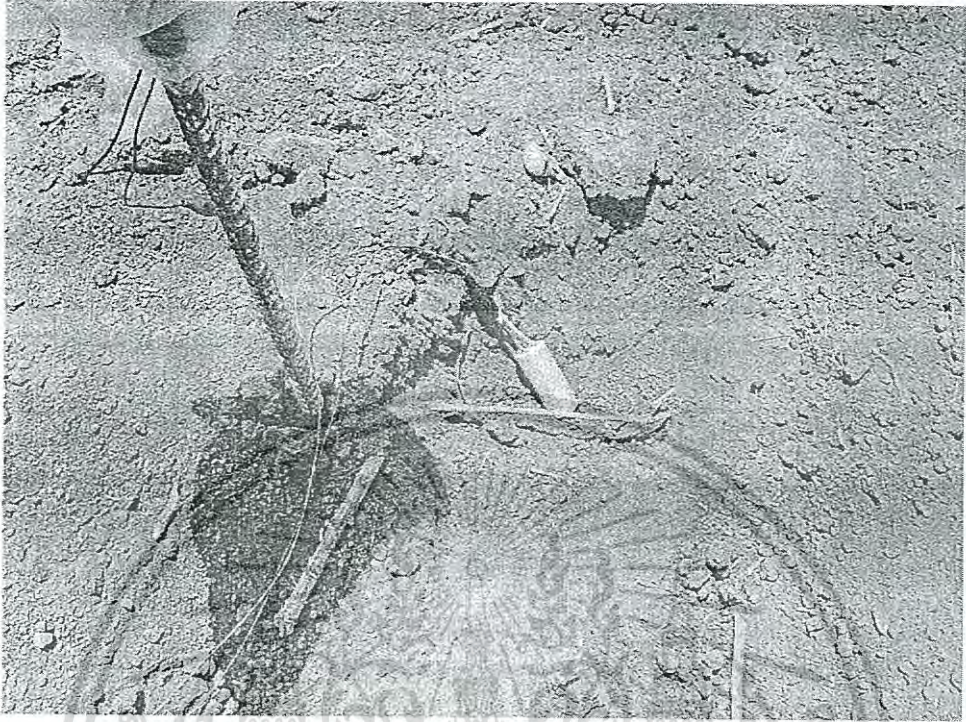


รูปที่ ฉ.9 การติดตั้งระบบสปริงเกอร์ในแปลงทดลอง

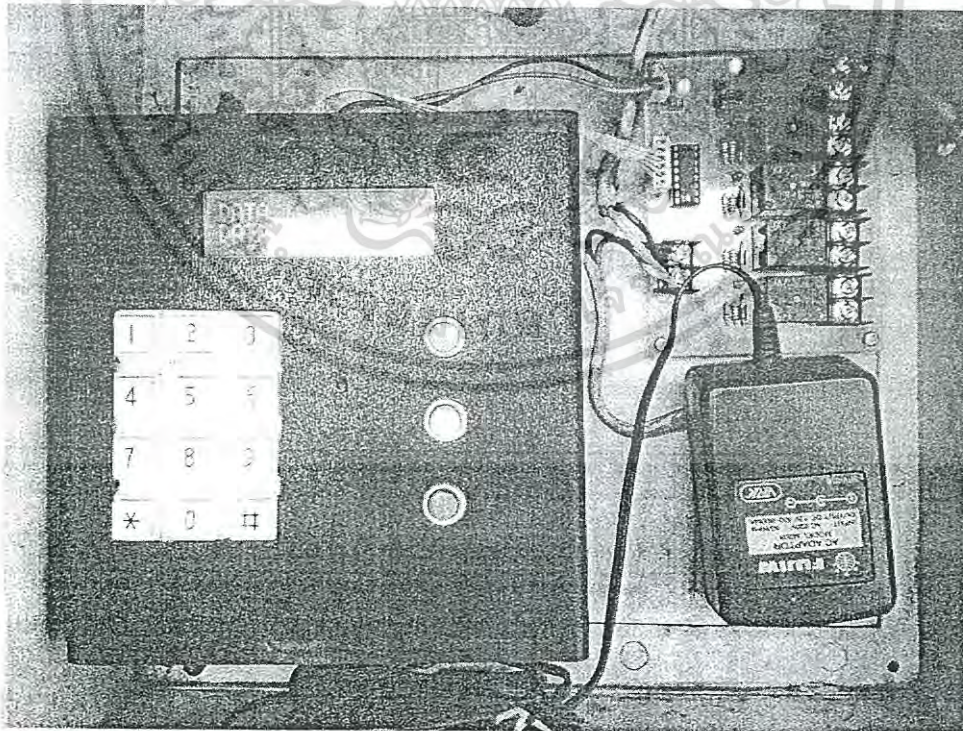


รูปที่ ฉ.10 การหยอดเมล็ดผักเพื่อปลูกลงในแปลงทดลอง

เอกสารนี้เป็นเอกสารที่สงวนไว้สำหรับการใช้งานเพื่อการศึกษาเท่านั้น ไม่อนุญาตให้นำไปใช้ประโยชน์ด้านการค้า  
ไม่ว่ากรณีใดๆทั้งสิ้น อีกทั้งห้ามมิให้ตัดแปลงเนื้อหา และต้องอ้างอิงถึงเจ้าของเอกสารทุกครั้งที่มีการนำไปใช้



รูปที่ ฉ.11 การติดตั้งเซนเซอร์ลงในแปลงปลุก



รูปที่ ฉ.12 การติดตั้งระบบโครงข่ายเซนเซอร์

เอกสารนี้เป็นเอกสารที่สงวนไว้สำหรับการใช้งานเพื่อการศึกษาเท่านั้น ไม่อนุญาตให้นำไปใช้ประโยชน์ด้านการค้า  
ไม่ว่ากรณีใดๆทั้งสิ้น อีกทั้งห้ามมิให้ตัดแปลงเนื้อหา และต้องอ้างอิงถึงเจ้าของเอกสารทุกครั้งที่มีการนำไปใช้



รูปที่ ฉ.13 ระบบโครงข่ายเซนเซอร์ทำงานอย่างเต็มระบบ



รูปที่ ฉ.14 ผักบุ้งมีอายุ 10 วัน

เอกสารนี้เป็นเอกสารที่สงวนไว้สำหรับการใช้งานเพื่อการศึกษาเท่านั้น ไม่อนุญาตให้นำไปใช้ประโยชน์ด้านการค้า  
ไม่ว่ากรณีใดๆทั้งสิ้น อีกทั้งห้ามมิให้ตัดแปลงเนื้อหา และต้องอ้างอิงถึงเจ้าของเอกสารทุกครั้งที่มีการนำไปใช้



รูปที่ ฉ.15 ผักบุ้งมีอายุ 25 วัน



รูปที่ ฉ.16 การตรวจสอบความชื้นในแปลงปลูก

เอกสารนี้เป็นเอกสารที่สงวนไว้สำหรับการใช้งานเพื่อการศึกษาเท่านั้น ไม่อนุญาตให้นำไปใช้ประโยชน์ด้านการค้า ไม่ว่าจะกรณีใดๆทั้งสิ้น อีกทั้งห้ามมิให้ตัดแปลงเนื้อหา และต้องอ้างอิงถึงเจ้าของเอกสารทุกครั้งที่มีการนำไปใช้



รูปที่ ฉ.17 ครอบกำหนดเก็บผักบุ้ง



รูปที่ ฉ.18 การเก็บผลผลิตผักบุ้ง

เอกสารนี้เป็นเอกสารที่สงวนไว้สำหรับการใช้งานเพื่อการศึกษาเท่านั้น ไม่อนุญาตให้นำไปใช้ประโยชน์ด้านการค้า  
ไม่ว่ากรณีใดๆทั้งสิ้น อีกทั้งห้ามมิให้ตัดแปลงเนื้อหา และต้องอ้างอิงถึงเจ้าของเอกสารทุกครั้งที่มีการนำไปใช้

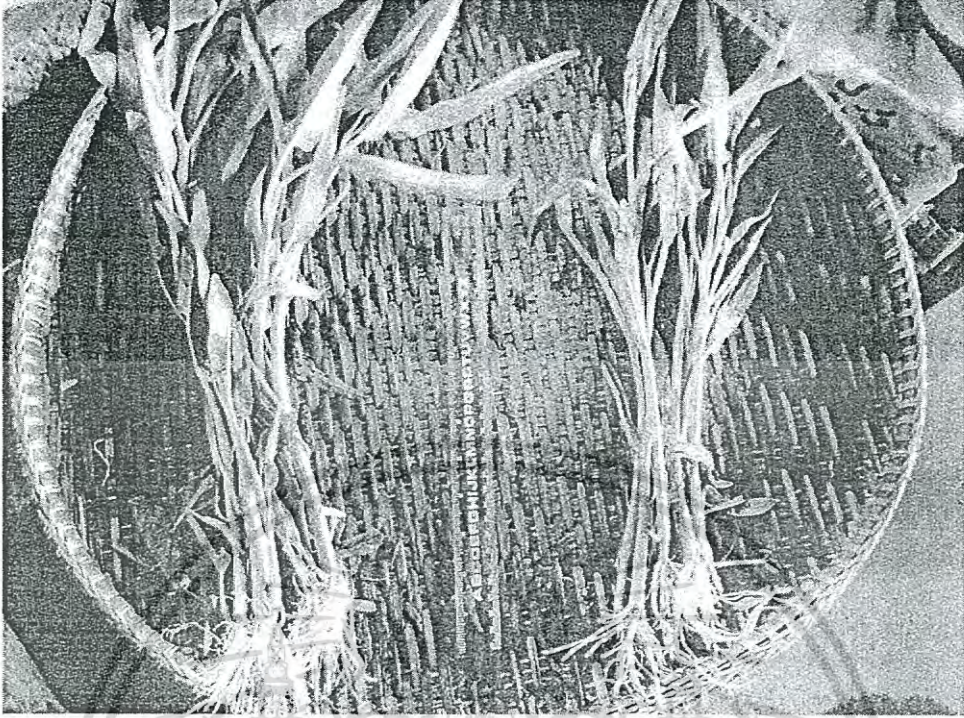


รูปที่ ฉ.19 ล้างฝักก่อนการชั่งน้ำหนักเก็บผลการทดลอง

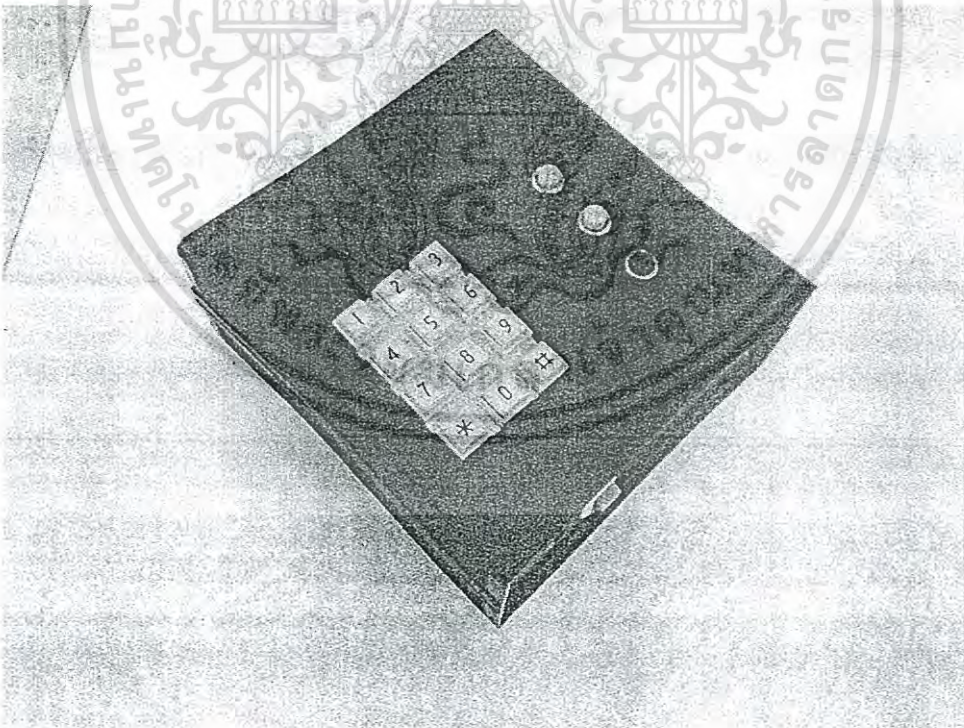


รูปที่ ฉ.20 การชั่งน้ำหนักฝักบุง

เอกสารนี้เป็นเอกสารที่สงวนไว้สำหรับการใช้งานเพื่อการศึกษาเท่านั้น ไม่อนุญาตให้นำไปใช้ประโยชน์ด้านการค้า  
ไม่ว่ากรณีใดๆทั้งสิ้น อีกทั้งห้ามมิให้ดัดแปลงเนื้อหา และต้องอ้างอิงถึงเจ้าของเอกสารทุกครั้งที่มีการนำไปใช้



รูปที่ ๑.20 การเปรียบเทียบขนาดมัดบุงระหว่างแปลงที่ใช้ระบบโครงข่ายเซนเซอร์และไม่ใช้



รูปที่ ๑.21 ชุดควบคุมระบบของระบบโครงข่ายเซนเซอร์ควบคุมความชื้นดิน

เอกสารนี้เป็นเอกสารที่สงวนไว้สำหรับการใช้งานเพื่อการศึกษาเท่านั้น ไม่อนุญาตให้นำไปใช้ประโยชน์ด้านการค้า ไม่ว่าจะกรณีใดๆทั้งสิ้น อีกทั้งห้ามมิให้ดัดแปลงเนื้อหา และต้องอ้างอิงถึงเจ้าของเอกสารทุกครั้งที่มีการนำไปใช้



เอกสารนี้เป็นเอกสารที่สงวนไว้สำหรับการใช้งานเพื่อการศึกษาเท่านั้น ไม่อนุญาตให้นำไปใช้ประโยชน์ด้านการค้า  
ไม่ว่ากรณีใดๆทั้งสิ้น อีกทั้งห้ามมิให้ตัดแปลงเนื้อหา และต้องอ้างอิงถึงเจ้าของเอกสารทุกครั้งที่มีการนำไปใช้

## 1.โค้ดโปรแกรมเซนเซอร์

/\*\*\*\*\*

This program was produced by the  
CodeWizardAVR V1.24.8b Professional  
Automatic Program Generator  
ฉ Copyright 1998-2006 Pavel Haiduc, HP InfoTech s.r.l.  
<http://www.hpinfotech.com>

Project :

Version :

Date : 23/1/2013

Author : F4CG

Company : F4CG

Comments:

Chip type : ATmega8

Program type : Application

Clock frequency : 11.059200 MHz

Memory model : Small

External SRAM size : 0

Data Stack size : 256

\*\*\*\*\*/

```
#include <mega8.h>
```

```
#include <delay.h>
```

```
#include <stdlib.h>
```

```
#include <string.h>
```

```
#include <stdio.h>
```

```
#define SW PINC.5
```

```
float Volt = 0;
```

```
unsigned int Volt_ = 0;
```

```
char flag_send = 0;
```

```
void OPEN_TX (void);
```

```
void CLOSE_TX (void);
```

```
#define ADC_VREF_TYPE 0x00
```

```
// Read the AD conversion result
```

```
unsigned int read_adc(unsigned char adc_input)
```

```
{
```

เอกสารนี้เป็นเอกสารที่สงวนไว้สำหรับการใช้งานเพื่อการศึกษาเท่านั้น ไม่อนุญาตให้นำไปใช้ประโยชน์ด้านการค้า  
ไม่ว่ากรณีใดๆทั้งสิ้น อีกทั้งห้ามมิให้ตัดแปลงเนื้อหา และต้องอ้างอิงถึงเจ้าของเอกสารทุกครั้งที่มีการนำไปใช้

```

ADMUX=adc_input | (ADC_VREF_TYPE & 0xff);
// Delay needed for the stabilization of the ADC input voltage
delay_us(10);
// Start the AD conversion
ADCSRA|=0x40;
// Wait for the AD conversion to complete
while ((ADCSRA & 0x10)!=0);
ADCSRA|=0x10;
return ADCW;
}
#define RXB8 1
#define TXB8 0
#define UPE 2
#define OVR 3
#define FE 4
#define UDRE 5
#define RXC 7
#define FRAMING_ERROR (1<<FE)
#define PARITY_ERROR (1<<UPE)
#define DATA_OVERRUN (1<<OVR)
#define DATA_REGISTER_EMPTY (1<<UDRE)
#define RX_COMPLETE (1<<RXC)

// USART Receiver buffer
#define RX_BUFFER_SIZE 8
char rx_buffer[RX_BUFFER_SIZE];

#if RX_BUFFER_SIZE<256
unsigned char rx_wr_index,rx_rd_index,rx_counter;
#else
unsigned int rx_wr_index,rx_rd_index,rx_counter;
#endif

// This flag is set on USART Receiver buffer overflow
bit rx_buffer_overflow;

```

เอกสารนี้เป็นเอกสารที่สงวนไว้สำหรับการใช้งานเพื่อการศึกษาเท่านั้น ไม่อนุญาตให้นำไปใช้ประโยชน์ด้านการค้า  
ไม่ว่ากรณีใดๆทั้งสิ้น อีกทั้งห้ามมิให้ดัดแปลงเนื้อหา และต้องอ้างอิงถึงเจ้าของเอกสารทุกครั้งที่มีการนำไปใช้

```

// USART Receiver interrupt service routine
interrupt [USART_RXC] void usart_rx_isr(void)
{
char status,data;
status=UCSRA;
data=UDR;
if ((status & (FRAMING_ERROR | PARITY_ERROR | DATA_OVERRUN))==0)
{
if(data=='J') {flag_send=1;} //OPEN_TX(); printf("\n$%2.2fA",Volt); CLOSE_TX();
delay_ms(20);

if (++rx_counter == RX_BUFFER_SIZE)
{
rx_counter=0;
rx_buffer_overflow=1;
};
};

#ifdef _DEBUG_TERMINAL_IO_
// Get a character from the USART Receiver buffer
#define _ALTERNATE_GETCHAR_
#pragma used+
char getchar(void)
{
char data;
while (rx_counter==0);
data=rx_buffer[rx_rd_index];
if (++rx_rd_index == RX_BUFFER_SIZE) rx_rd_index=0;
#asm("cli")
--rx_counter;
#asm("sei")
return data;
}

```

เอกสารนี้เป็นเอกสารที่สงวนไว้สำหรับการใช้งานเพื่อการศึกษาเท่านั้น ไม่อนุญาตให้นำไปใช้ประโยชน์ด้านการค้า  
ไม่ว่ากรณีใดๆทั้งสิ้น อีกทั้งห้ามมิให้ตัดแปลงเนื้อหา และต้องอ้างอิงถึงเจ้าของเอกสารทุกครั้งที่มีการนำไปใช้

```

}
#pragma used-
#endif

// USART Transmitter buffer
#define TX_BUFFER_SIZE 8
char tx_buffer[TX_BUFFER_SIZE];

#if TX_BUFFER_SIZE<256
unsigned char tx_wr_index,tx_rd_index,tx_counter;
#else
unsigned int tx_wr_index,tx_rd_index,tx_counter;
#endif

// USART Transmitter interrupt service routine
interrupt [USART_TXC] void usart_tx_isr(void)
{
    if (tx_counter)
    {
        --tx_counter;
        UDR=tx_buffer[tx_rd_index];
        if (++tx_rd_index == TX_BUFFER_SIZE) tx_rd_index=0;
    };
}

#ifndef _DEBUG_TERMINAL_IO_
// Write a character to the USART Transmitter buffer
#define _ALTERNATE_PUTCHAR_
#pragma used+
void putchar(char c)
{
    while (tx_counter == TX_BUFFER_SIZE);
    #asm("cli")
    if (tx_counter || ((UCSRA & DATA_REGISTER_EMPTY)==0))
    {

```

เอกสารนี้เป็นเอกสารที่สงวนไว้สำหรับการใช้งานเพื่อการศึกษาเท่านั้น ไม่อนุญาตให้นำไปใช้ประโยชน์ด้านการค้า  
ไม่ว่ากรณีใดๆทั้งสิ้น อีกทั้งห้ามมิให้ตัดแปลงเนื้อหา และต้องอ้างอิงถึงเจ้าของเอกสารทุกครั้งที่มีการนำไปใช้

```

tx_buffer[tx_wr_index]=c;
if (++tx_wr_index == TX_BUFFER_SIZE) tx_wr_index=0;
++tx_counter;
}
else
    UDR=c;
#asm("sei")
}
#pragma used-
#endif
// Standard Input/Output functions
#include <stdio.h>
// Declare your global variables here
void OPEN_TX (void)
{
    UCSRB=0xD8;
    //DDRD.1 = 1;
    delay_ms(5);
}
void CLOSE_TX (void)
{
    //UCSRB=0x00;
    UCSRB=0x90;
    // PORTD.1=0;
    // DDRD.1 = 0;
    delay_ms(5);
}
/*****Read_data*****/
void Read_data(void)
{
    long sum = 0;
    unsigned int Read_Volt = 0;
    unsigned int loop = 0;

    while(loop<100)

```

เอกสารนี้เป็นเอกสารที่สงวนไว้สำหรับการใช้งานเพื่อการศึกษาเท่านั้น ไม่อนุญาตให้นำไปใช้ประโยชน์ด้านการค้า  
ไม่ว่ากรณีใดๆทั้งสิ้น อีกทั้งห้ามมิให้ตัดแปลงเนื้อหา และต้องอ้างอิงถึงเจ้าของเอกสารทุกครั้งที่มีการนำไปใช้

```

{
    loop++;
    Read_Volt = read_adc(0);
    sum = sum+Read_Volt;
    Read_Volt = 0;
    if(flag_send==1) loop = 100;
}
if(flag_send==0) Volt_ = sum/100;
}

void main(void)
{PORTB=0x00;
DDR B=0x00;
PORTC=0x00;
DDR C=0x00;
PORTD=0x00;
DDR D=0x00;
TCCR0=0x00;
TCNT0=0x00;
TCCR1A=0x00;
TCCR1B=0x00;
TCNT1H=0x00;
TCNT1L=0x00;
ICR1H=0x00;
ICR1L=0x00;
OCR1AH=0x00;
OCR1AL=0x00;
OCR1BH=0x00;
OCR1BL=0x00;

ASSR=0x00;
TCCR2=0x00;
TCNT2=0x00;
OCR2=0x00;
MCUCR=0x00;
TIMSK=0x00;

```



เอกสารนี้เป็นเอกสารที่สงวนไว้สำหรับการใช้งานเพื่อการศึกษาเท่านั้น ไม่อนุญาตให้นำไปใช้ประโยชน์ด้านการค้า  
ไม่ว่ากรณีใดๆทั้งสิ้น อีกทั้งห้ามมิให้ตัดแปลงเนื้อหา และต้องอ้างอิงถึงเจ้าของเอกสารทุกครั้งที่มีการนำไปใช้

```

UCSRA=0x00;
UCSRC=0x86;
UBRRH=0x00;
UBRRL=0x47;
ACSR=0x80;
SFOR=0x00;
ADMUX=ADC_VREF_TYPE & 0xff;
ADCSRA=0x84;
Volt = 3.3;
Volt_ = 1;
CLOSE_TX();
#asm("sei")
delay_ms(2000);
flag_send = 0;
while (1)
{
flag_send=0;}
    if(flag_send==1) {OPEN_TX(); printf("\nJ%05ij",Volt_); CLOSE_TX();
delay_ms(20); flag_send=0;}
    delay_ms(50);
};
}
#include <mega8.h>
#include <delay.h>
#include <string.h>
#include <stdlib.h>
#define SW PINC.5
unsigned int Volt = 0;
#define RXB8 1
#define TXB8 0
#define UPE 2
#define OVR 3
#define FE 4
#define UDRE 5
#define RXC 7

```

เอกสารนี้เป็นเอกสารที่สงวนไว้สำหรับการใช้งานเพื่อการศึกษาเท่านั้น ไม่อนุญาตให้นำไปใช้ประโยชน์ด้านการค้า  
ไม่ว่ากรณีใดๆทั้งสิ้น อีกทั้งห้ามมิให้ตัดแปลงเนื้อหา และต้องอ้างอิงถึงเจ้าของเอกสารทุกครั้งที่มีการนำไปใช้

```

#define FRAMING_ERROR (1<<FE)
#define PARITY_ERROR (1<<UPE)
#define DATA_OVERRUN (1<<OVR)
#define DATA_REGISTER_EMPTY (1<<UDRE)
#define RX_COMPLETE (1<<RXC)
#define RX_BUFFER_SIZE 8
char rx_buffer[RX_BUFFER_SIZE];
#if RX_BUFFER_SIZE<256
unsigned char rx_wr_index,rx_rd_index,rx_counter;
#else
unsigned int rx_wr_index,rx_rd_index,rx_counter;
#endif
bit rx_buffer_overflow;
interrupt [USART_RXC] void usart_rx_isr(void)
{
char status,data;
status=UCSRA;
data=UDR;
if ((status & (FRAMING_ERROR | PARITY_ERROR | DATA_OVERRUN))==0)
{
rx_buffer[rx_wr_index]=data;
if (++rx_wr_index == RX_BUFFER_SIZE) rx_wr_index=0;
if (++rx_counter == RX_BUFFER_SIZE)
{
rx_counter=0;
rx_buffer_overflow=1;
};
};
}

#ifdef _DEBUG_TERMINAL_IO_
#define _ALTERNATE_GETCHAR_
#pragma used+
char getchar(void)
{

```

เอกสารนี้เป็นเอกสารที่สงวนไว้สำหรับการใช้งานเพื่อการศึกษาเท่านั้น ไม่อนุญาตให้นำไปใช้ประโยชน์ด้านการค้า  
ไม่ว่ากรณีใดๆทั้งสิ้น อีกทั้งห้ามมิให้ตัดแปลงเนื้อหา และต้องอ้างอิงถึงเจ้าของเอกสารทุกครั้งที่มีการนำไปใช้

```

char data;
while (rx_counter==0);
data=rx_buffer[rx_rd_index];
if (++rx_rd_index == RX_BUFFER_SIZE) rx_rd_index=0;
#asm("cli")
--rx_counter;
#asm("sei")
return data;
}
#pragma used-
#endif
#define TX_BUFFER_SIZE 8
char tx_buffer[TX_BUFFER_SIZE];
#if TX_BUFFER_SIZE<256
unsigned char tx_wr_index,tx_rd_index,tx_counter;
#else
unsigned int tx_wr_index,tx_rd_index,tx_counter;
#endif
interrupt [USART_TXC] void usart_tx_isr(void)
{
if (tx_counter)
{
--tx_counter;
UDR=tx_buffer[tx_rd_index];
if (++tx_rd_index == TX_BUFFER_SIZE) tx_rd_index=0;
};
}
#ifndef _DEBUG_TERMINAL_IO_
#define _ALTERNATE_PUTCHAR_
#pragma used+
void putchar(char c)
{
while (tx_counter == TX_BUFFER_SIZE);
#asm("cli")
if (tx_counter || ((UCSRA & DATA_REGISTER_EMPTY)==0))

```

เอกสารนี้เป็นเอกสารที่สงวนไว้สำหรับการใช้งานเพื่อการศึกษาเท่านั้น ไม่อนุญาตให้นำไปใช้ประโยชน์ด้านการค้า  
ไม่ว่ากรณีใดๆทั้งสิ้น อีกทั้งห้ามมิให้ดัดแปลงเนื้อหา และต้องอ้างอิงถึงเจ้าของเอกสารทุกครั้งที่มีการนำไปใช้

```

    {
        tx_buffer[tx_wr_index]=c;
        if (++tx_wr_index == TX_BUFFER_SIZE) tx_wr_index=0;
        ++tx_counter;
    }
else
    UDR=c;
    #asm("sei")
}
#pragma used-
#endif

#include <stdio.h>
void main(void)
{
PORTB=0x00;
DDRB=0x00;
PORTC=0x00;
DDRC=0x00;
PORTD=0x00;
DDRD=0x00;
TCCR0=0x00;
TCNT0=0x00;
TCCR1A=0x00;
TCCR1B=0x00;
TCNT1H=0x00;
TCNT1L=0x00;
ICR1H=0x00;
ICR1L=0x00;
OCR1AH=0x00;
OCR1AL=0x00;
OCR1BH=0x00;
OCR1BL=0x00;
ASSR=0x00;
TCCR2=0x00;

```

เอกสารนี้เป็นเอกสารที่สงวนไว้สำหรับการใช้งานเพื่อการศึกษาเท่านั้น ไม่อนุญาตให้นำไปใช้ประโยชน์ด้านการค้า  
ไม่ว่ากรณีใดๆทั้งสิ้น อีกทั้งห้ามมิให้ตัดแปลงเนื้อหา และต้องอ้างอิงถึงเจ้าของเอกสารทุกครั้งที่มีการนำไปใช้

```

TCNT2=0x00;
OCR2=0x00;
MCUCR=0x00;
TIMSK=0x00;
UCSRA=0x00;
UCSRB=0xD8;
UCSRC=0x86;
UBRRH=0x00;
UBRRL=0x47;
ACSR=0x80;
SFIOR=0x00;
#asm("sei")
Volt = 23456;
while (1)
{
    if(SW) {printf("\n$%05i!",Volt); delay_ms(100);}
    delay_ms(50);
};
}

```

## 2. โค้ดโปรแกรมควบคุมหลัก

/\*\*\*\*\*

This program was produced by the  
CodeWizardAVR V1.24.8b Professional  
Automatic Program Generator  
© Copyright 1998-2006 Pavel Haiduc, HP InfoTech s.r.l.  
<http://www.hpinfotech.com>

Project :

Version :

Date : 23/1/2013

Author : F4CG

Company : F4CG

เอกสารนี้เป็นเอกสารที่สงวนไว้สำหรับการใช้งานเพื่อการศึกษาเท่านั้น ไม่อนุญาตให้นำไปใช้ประโยชน์ด้านการค้า  
ไม่ว่ากรณีใดๆทั้งสิ้น อีกทั้งห้ามมิให้ดัดแปลงเนื้อหา และต้องอ้างอิงถึงเจ้าของเอกสารทุกครั้งที่มีการนำไปใช้

Comments:

Chip type : ATmega32  
 Program type : Application  
 Clock frequency : 11.059200 MHz  
 Memory model : Small  
 External SRAM size : 0  
 Data Stack size : 512

\*\*\*\*\*/

```
#include <mega32.h>
#include <stdlib.h>
#include <delay.h>
#include <string.h>
#include <math.h>
#include < keypad.c>
```

```
/******Relay******/
```

```
#define Relay_1 PORTA.0
#define Relay_2 PORTA.1
#define Relay_3 PORTA.2
#define Relay_4 PORTA.3
#define Relay_5 PORTA.4
```

```
/******Switch******/
```

```
#define SW_SET PIND.7
#define SW_MODE PINC.3
```

```
/*******/
```

```
#define ON 1
```

```
#define OFF 0
```

```
#asm
```

```
.equ __lcd_port=0x15 ;PORTC
```

```
#endasm
```

```
#include <lcd.h>
```

```
/******Variable******/
```

เอกสารนี้เป็นเอกสารที่สงวนไว้สำหรับการใช้งานเพื่อการศึกษาเท่านั้น ไม่อนุญาตให้นำไปใช้ประโยชน์ด้านการค้า  
 ไม่ว่ากรณีใดๆทั้งสิ้น อีกทั้งห้ามมิให้ตัดแปลงเนื้อหา และต้องอ้างอิงถึงเจ้าของเอกสารทุกครั้งที่มีการนำไปใช้

```

char databuff[18];
float Volt_RE = 0;
unsigned int Volt_ = 0;
char i = 0;
char flag_send = 0;
char CH = 0;
float DATA_[11] = {0,0,0,0,0,0,0,0,0,0,0};
float MAX_VALUE[6] = {0,0,0,0,0,0};
float MIN_VALUE[6] = {0,0,0,0,0,0};
char Load_1[10] = {0,0,0,0,0,0,0,0,0,0};
char Load_2[10] = {0,0,0,0,0,0,0,0,0,0};
char Load_3[10] = {0,0,0,0,0,0,0,0,0,0};
char Load_4[10] = {0,0,0,0,0,0,0,0,0,0};
char Load_5[10] = {0,0,0,0,0,0,0,0,0,0};
unsigned int VALUE[6] = {0,0,0,0,0,0};
unsigned int Loop = 0;
#define RXB8 1
#define TXB8 0
#define UPE 2
#define OVR 3
#define FE 4
#define UDRE 5
#define RXC 7
#define FRAMING_ERROR (1<<FE)
#define PARITY_ERROR (1<<UPE)
#define DATA_OVERRUN (1<<OVR)
#define DATA_REGISTER_EMPTY (1<<UDRE)
#define RX_COMPLETE (1<<RXC)
// USART Receiver buffer
#define RX_BUFFER_SIZE 8
char rx_buffer[RX_BUFFER_SIZE];
#if RX_BUFFER_SIZE<256
unsigned char rx_wr_index,rx_rd_index,rx_counter;
#else
unsigned int rx_wr_index,rx_rd_index,rx_counter;

```

เอกสารนี้เป็นเอกสารที่สงวนไว้สำหรับการใช้งานเพื่อการศึกษาเท่านั้น ไม่อนุญาตให้นำไปใช้ประโยชน์ด้านการค้า  
ไม่ว่ากรณีใดๆทั้งสิ้น อีกทั้งห้ามมิให้ตัดแปลงเนื้อหา และต้องอ้างอิงถึงเจ้าของเอกสารทุกครั้งที่มีการนำไปใช้

```

#endif
// This flag is set on USART Receiver buffer overflow
bit rx_buffer_overflow;
// USART Receiver interrupt service routine
interrupt [USART_RXC] void usart_rx_isr(void)
{
char status,data;
status=UCSRA;
data=UDR;
if ((status & (FRAMING_ERROR | PARITY_ERROR | DATA_OVERRUN))==0)
{
rx_buffer[rx_wr_index]=data;
rx_wr_index++;
/*****Check data*****/
/*****test*****/
if(data=='a')
{
DATA_1 = (float)(atoi(rx_buffer)/100.00); //string to float
flag_send = 0;
}
else if(data=='b')
{
DATA_2 = (float)(atoi(rx_buffer)/100.00); //string to float
flag_send = 0;
}
else if(data=='c')
{
DATA_3 = (float)(atoi(rx_buffer)/100.00); //string to float
flag_send = 0;
}
else if(data=='d')
{
DATA_4 = (float)(atoi(rx_buffer)/100.00); //string to float
flag_send = 0;
}
}
}

```

เอกสารนี้เป็นเอกสารที่สงวนไว้สำหรับการใช้งานเพื่อการศึกษาเท่านั้น ไม่อนุญาตให้นำไปใช้ประโยชน์ด้านการค้า  
ไม่ว่ากรณีใดๆทั้งสิ้น อีกทั้งห้ามมิให้ตัดแปลงเนื้อหา และต้องอ้างอิงถึงเจ้าของเอกสารทุกครั้งที่มีการนำไปใช้

```

else if(data=='e')
{
    DATA_[5] = (float)(atoi(rx_buffer)/100.00);           //string to float
    flag_send = 0;
}
else if(data=='f')
{
    DATA_[6] = (float)(atoi(rx_buffer)/100.00);           //string to float
    flag_send = 0;
}
else if(data=='g')
{
    DATA_[7] = (float)(atoi(rx_buffer)/100.00);           //string to float
    flag_send = 0;
}
else if(data=='h')
{
    DATA_[8] = (float)(atoi(rx_buffer)/100.00);           //string to float
    flag_send = 0;
}
else if(data=='i')
{
    DATA_[9] = (float)(atoi(rx_buffer)/100.00);           //string to float
    flag_send = 0;
}
else if(data=='j')
{
    DATA_[10] = (float)(atoi(rx_buffer)/100.00);          //string to float
    flag_send = 0;
    data = ' ';
}

/*****Clear data*****/
else if((data == 'A')||(data == 'B')||(data == 'C')||(data == 'D')||(data == 'E')||(data ==
'F')||(data == 'G')||(data == 'H')||(data == 'I')||(data == 'J'))

```

เอกสารนี้เป็นเอกสารที่สงวนไว้สำหรับการใช้งานเพื่อการศึกษาเท่านั้น ไม่อนุญาตให้นำไปใช้ประโยชน์ด้านการค้า  
ไม่ว่ากรณีใดๆทั้งสิ้น อีกทั้งห้ามมิให้ตัดแปลงเนื้อหา และต้องอ้างอิงถึงเจ้าของเอกสารทุกครั้งที่มีการนำไปใช้

```

{
    for(i=0;i<=RX_BUFFER_SIZE;i++) rx_buffer[i] = 0;
    rx_wr_index = 0;

    if(data == 'A') DATA_[1] = 0;
    else if(data == 'B') DATA_[2] = 0;
    else if(data == 'C') DATA_[3] = 0;
    else if(data == 'D') DATA_[4] = 0;
    else if(data == 'E') DATA_[5] = 0;
    else if(data == 'F') DATA_[6] = 0;
    else if(data == 'G') DATA_[7] = 0;
    else if(data == 'H') DATA_[8] = 0;
    else if(data == 'I') DATA_[9] = 0;
    else if(data == 'J') DATA_[10] = 0;
    flag_send = 1;
}
/*****
if (++rx_counter == RX_BUFFER_SIZE)
{
    rx_counter=0;
    rx_buffer_overflow=1;
};
};
}

#ifndef _DEBUG_TERMINAL_IO_
// Get a character from the USART Receiver buffer
#define _ALTERNATE_GETCHAR_
#pragma used+
char getchar(void)
{
    char data;
    while (rx_counter==0);
    data=rx_buffer[rx_rd_index];
    if (++rx_rd_index == RX_BUFFER_SIZE) rx_rd_index=0;

```

เอกสารนี้เป็นเอกสารที่สงวนไว้สำหรับการใช้งานเพื่อการศึกษาเท่านั้น ไม่อนุญาตให้นำไปใช้ประโยชน์ด้านการค้า  
ไม่ว่ากรณีใดๆทั้งสิ้น อีกทั้งห้ามมิให้ตัดแปลงเนื้อหา และต้องอ้างอิงถึงเจ้าของเอกสารทุกครั้งที่มีการนำไปใช้

```

#asm("cli")
--rx_counter;
#asm("sei")
return data;
}
#pragma used-
#endif
// USART Transmitter buffer
#define TX_BUFFER_SIZE 8
char tx_buffer[TX_BUFFER_SIZE];
#if TX_BUFFER_SIZE<256
unsigned char tx_wr_index,tx_rd_index,tx_counter;
#else
unsigned int tx_wr_index,tx_rd_index,tx_counter;
#endif
// USART Transmitter interrupt service routine
interrupt [USART_TXC] void usart_tx_isr(void)
{
if (tx_counter)
{
--tx_counter;
UDR=tx_buffer[tx_rd_index];
if (++tx_rd_index == TX_BUFFER_SIZE) tx_rd_index=0;
};
}
#ifndef _DEBUG_TERMINAL_IO_
// Write a character to the USART Transmitter buffer
#define _ALTERNATE_PUTCHAR_
#pragma used+
void putchar(char c)
{
while (tx_counter == TX_BUFFER_SIZE);
#asm("cli")
if (tx_counter || ((UCSRA & DATA_REGISTER_EMPTY)==0))
{

```

เอกสารนี้เป็นเอกสารที่สงวนไว้สำหรับการใช้งานเพื่อการศึกษาเท่านั้น ไม่อนุญาตให้นำไปใช้ประโยชน์ด้านการค้า  
ไม่ว่ากรณีใดๆทั้งสิ้น อีกทั้งห้ามมิให้ตัดแปลงเนื้อหา และต้องอ้างอิงถึงเจ้าของเอกสารทุกครั้งที่มีการนำไปใช้

```

tx_buffer[tx_wr_index]=c;
if (++tx_wr_index == TX_BUFFER_SIZE) tx_wr_index=0;
++tx_counter;
}
else
    UDR=c;
#asm("sei")
}
#pragma used-
#endif
// Standard Input/Output functions
#include <stdio.h>
// Declare your global variables here
/*****Read_data*****/
void Read_data(void)
{
    printf("A");
    delay_ms(80);
    printf("B");
    delay_ms(80);
    printf("C");
    delay_ms(80);
    printf("D");
    delay_ms(80);
    printf("E");
    delay_ms(80);
    printf("F");
    delay_ms(80);
    printf("G");
    delay_ms(80);
    printf("H");
    delay_ms(80);
    printf("I");
    delay_ms(80);
}

```

เอกสารนี้เป็นเอกสารที่สงวนไว้สำหรับการใช้งานเพื่อการศึกษาเท่านั้น ไม่อนุญาตให้นำไปใช้ประโยชน์ด้านการค้า  
ไม่ว่ากรณีใดๆทั้งสิ้น อีกทั้งห้ามมิให้ตัดแปลงเนื้อหา และต้องอ้างอิงถึงเจ้าของเอกสารทุกครั้งที่มีการนำไปใช้

```

printf("J");
delay_ms(80);
/*****Init_Relay*****/
void Init_Relay(void)
{
    Relay_1 = OFF;
    Relay_2 = OFF;
    Relay_3 = OFF;
    Relay_4 = OFF;
    Relay_5 = OFF;
}

/*****SET_VALUE*****/
void SET_VALUE(void)
{
    char set = 0;
    char loop = 0;
    char index = 0;
    char index_dot = 0;
    char dot = 0;
    Init_Relay();
    lcd_gotoxy(0,0);
    sprintf(databuff," SET_VALUE ");
    lcd_puts(databuff);
    lcd_gotoxy(0,1);
    sprintf(databuff," LOAD_1 ");
    lcd_puts(databuff);
    delay_ms(500);
/*****SET_LOAD_1*****/
/*****MAX*****/
    lcd_gotoxy(0,0);
    sprintf(databuff," SETTING LOAD_1 ");
    lcd_puts(databuff);
    lcd_gotoxy(0,1);
    sprintf(databuff,"MAX:%3.2f ",MAX_VALUE[0]);

```

เอกสารนี้เป็นเอกสารที่สงวนไว้สำหรับการใช้งานเพื่อการศึกษาเท่านั้น ไม่อนุญาตให้นำไปใช้ประโยชน์ด้านการค้า  
ไม่ว่ากรณีใดๆทั้งสิ้น อีกทั้งห้ามมิให้ตัดแปลงเนื้อหา และต้องอ้างอิงถึงเจ้าของเอกสารทุกครั้งที่มีการนำไปใช้

```

lcd_puts(databuff);
delay_ms(500);
for(loop=0;loop<6;loop++) VALUE[loop] = 0;
dot = 0;
set = 1;
index = 0;
index_dot = 0;
while(set)
{
    scan_keypad();

    if((key>=0)&&(key<=9))
    {
        if(dot==0)
        {
            VALUE[index] = key;
            if(index==0) MAX_VALUE[0] = (float)(VALUE[0]);
            else if(index==1) MAX_VALUE[0] = (float)(VALUE[0]*10+VALUE[1]);
            else if(index==2) MAX_VALUE[0] =
(float)(VALUE[0]*100+VALUE[1]*10+VALUE[2]);
            else if(index==3) MAX_VALUE[0] =
(float)(VALUE[0]*1000+VALUE[1]*100+VALUE[2]*10+VALUE[3]);

            if(index<2) index++;
        }
        else if(dot==1)
        {
            VALUE[index_dot+index] = key;
            if(index_dot==0) MAX_VALUE[0] =
MAX_VALUE[0]+(float)(VALUE[index_dot+index])/10;
            else if(index_dot==1) MAX_VALUE[0] =
MAX_VALUE[0]+(float)(VALUE[index_dot+index])/100;

            if(index_dot<1) index_dot++;
        }
    }
}

```

เอกสารนี้เป็นเอกสารที่สงวนไว้สำหรับการใช้งานเพื่อการศึกษาเท่านั้น ไม่อนุญาตให้นำไปใช้ประโยชน์ด้านการค้า  
ไม่ว่ากรณีใดๆทั้งสิ้น อีกทั้งห้ามมิให้ตัดแปลงเนื้อหา และต้องอ้างอิงถึงเจ้าของเอกสารทุกครั้งที่มีการนำไปใช้

```

    }
    else if((key=='*')&&(dot==0)) dot = 1;
    else if((key=='*')&&(dot==1))
    {
        dot = 0;
        index = 0;
        index_dot = 0;
        for(loop=0;loop<6;loop++) VALUE[loop] = 0;
        MAX_VALUE[0] = 0;
    }
    lcd_gotoxy(0,1);
    sprintf(databuff,"MAX:%3.2f  ",MAX_VALUE[0]);
    lcd_puts(databuff);

    if(key=='#')
    {
        lcd_gotoxy(0,1);
        sprintf(databuff," COMPLETE ");
        lcd_puts(databuff);
        set = 0;
    }
}
/*****MIN*****/
lcd_gotoxy(0,0);
sprintf(databuff," SETTING LOAD_1 ");
lcd_puts(databuff);
lcd_gotoxy(0,1);
sprintf(databuff,"MIN:%3.2f  ",MIN_VALUE[0]);
lcd_puts(databuff);
delay_ms(500);
for(loop=0;loop<6;loop++) VALUE[loop] = 0;
dot = 0;
set = 1;
index = 0;
index_dot = 0;

```

เอกสารนี้เป็นเอกสารที่สงวนไว้สำหรับการใช้งานเพื่อการศึกษาเท่านั้น ไม่อนุญาตให้นำไปใช้ประโยชน์ด้านการค้า  
ไม่ว่ากรณีใดๆทั้งสิ้น อีกทั้งห้ามมิให้ดัดแปลงเนื้อหา และต้องอ้างอิงถึงเจ้าของเอกสารทุกครั้งที่มีการนำไปใช้

```

while(set)
{
    scan_keypad();
    if((key>=0)&&(key<=9))
    {
        if(dot==0)
        {
            VALUE[index] = key;
            if(index==0) MIN_VALUE[0] = (float)(VALUE[0]);
            else if(index==1) MIN_VALUE[0] = (float)(VALUE[0]*10+VALUE[1]);
            else if(index==2) MIN_VALUE[0] =
(float)(VALUE[0]*100+VALUE[1]*10+VALUE[2]);
            else if(index==3) MIN_VALUE[0] =
(float)(VALUE[0]*1000+VALUE[1]*100+VALUE[2]*10+VALUE[3]);
            if(index<2) index++;
        }
        else if(dot==1)
        {
            VALUE[index_dot+index] = key;
            if(index_dot==0) MIN_VALUE[0] =
MIN_VALUE[0]+(float)(VALUE[index_dot+index])/10;
            else if(index_dot==1) MIN_VALUE[0] =
MIN_VALUE[0]+(float)(VALUE[index_dot+index])/100;

            if(index_dot<1) index_dot++;
        }
    }
    else if((key=='*')&&(dot==0)) dot = 1;
    else if((key=='*')&&(dot==1))
    {
        dot = 0;
        index = 0;
        index_dot = 0;
        for(loop=0;loop<6;loop++) VALUE[loop] = 0;
        MIN_VALUE[0] = 0;
    }
}

```

เอกสารนี้เป็นเอกสารที่สงวนไว้สำหรับการใช้งานเพื่อการศึกษาเท่านั้น ไม่อนุญาตให้นำไปใช้ประโยชน์ด้านการค้า  
ไม่ว่ากรณีใดๆทั้งสิ้น อีกทั้งห้ามมิให้ตัดแปลงเนื้อหา และต้องอ้างอิงถึงเจ้าของเอกสารทุกครั้งที่มีการนำไปใช้

```

}

lcd_gotoxy(0,1);
sprintf(databuff,"MIN:%3.2f    ",MIN_VALUE[0]);
lcd_puts(databuff);

if(key=='#')
{
    lcd_gotoxy(0,1);
    sprintf(databuff," COMPLETE ");
    lcd_puts(databuff);
    set = 0;
}
}
/*****Select CH*****/
lcd_gotoxy(0,0);
sprintf(databuff," SELECT_CH_1 ");
lcd_puts(databuff);
lcd_gotoxy(0,1);
sprintf(databuff," ");
lcd_puts(databuff);
delay_ms(1000);

lcd_gotoxy(0,0);
sprintf(databuff," ");
lcd_puts(databuff);
lcd_gotoxy(0,1);
sprintf(databuff," ");
lcd_puts(databuff);

for(loop=0;loop<10;loop++) Load_1[loop] = 0;
index = 0;
set = 1;
while(set)
{
    scan_keypad();

```

เอกสารนี้เป็นเอกสารที่สงวนไว้สำหรับการใช้งานเพื่อการศึกษาเท่านั้น ไม่อนุญาตให้นำไปใช้ประโยชน์ด้านการค้า  
ไม่ว่ากรณีใดๆทั้งสิ้น อีกทั้งห้ามมิให้ตัดแปลงเนื้อหา และต้องอ้างอิงถึงเจ้าของเอกสารทุกครั้งที่มีการนำไปใช้

```
if((key>=0)&&(key<=9))
```

```
{
```

```
    if(key==0) key = 10;
```

```
if((key!=Load_1[0])&&(key!=Load_1[1])&&(key!=Load_1[2])&&(key!=Load_1[3])&&(key!=Load_1[4])&&(key!=Load_1[5])&&(key!=Load_1[6])&&(key!=Load_1[7])&&(key!=Load_1[8])&&(key!=Load_1[9]))
```

```
{
```

```
    Load_1[index] = key;
```

```
    if(index<10) index++;
```

```
}
```

```
}
```

```
else if(key=='#') set = 0;
```

```
else if(key=='*')
```

```
{
```

```
    for(loop=0;loop<10;loop++) Load_1[loop] = 0;
```

```
    index = 0;
```

```
    lcd_gotoxy(0,0);
```

```
    sprintf(databuff,"");
```

```
    lcd_puts(databuff);
```

```
    lcd_gotoxy(0,1);
```

```
    sprintf(databuff,"");
```

```
    lcd_puts(databuff);
```

```
}
```

```
if(index<6)
```

```
{
```

```
    lcd_gotoxy((index*2)-1,0);
```

```
    sprintf(databuff,"%01i",Load_1[index-1]);
```

```
    lcd_puts(databuff);
```

```
}
```

```
else
```

```
{
```

```
    lcd_gotoxy(((index-5)*2)-1,1);
```

```
    sprintf(databuff,"%01i",Load_1[index-1]);
```

เอกสารนี้เป็นเอกสารที่สงวนไว้สำหรับการใช้งานเพื่อการศึกษาเท่านั้น ไม่อนุญาตให้นำไปใช้ประโยชน์ด้านการค้า  
ไม่ว่ากรณีใดๆทั้งสิ้น อีกทั้งห้ามมิให้ตัดแปลงเนื้อหา และต้องอ้างอิงถึงเจ้าของเอกสารทุกครั้งที่มีการนำไปใช้

```

        lcd_puts(databuff);
    }
}

/*****SET_LOAD_2*****/
/*****MAX*****/
    lcd_gotoxy(0,0);
    sprintf(databuff," SETTING LOAD_2 ");
    lcd_puts(databuff);
    lcd_gotoxy(0,1);
    sprintf(databuff,"MAX:%3.2f      ",MAX_VALUE[1]);
    lcd_puts(databuff);
    delay_ms(500);

for(loop=0;loop<6;loop++) VALUE[loop] = 0;
dot = 0;
set = 1;
index = 0;
index_dot = 0;
while(set)
{
    scan_keypad();

    if((key>=0)&&(key<=9))
    {
        if(dot==0)
        {
            VALUE[index] = key;
            if(index==0) MAX_VALUE[1] = (float)(VALUE[0]);
            else if(index==1) MAX_VALUE[1] = (float)(VALUE[0]*10+VALUE[1]);
            else if(index==2) MAX_VALUE[1] =
(float)(VALUE[0]*100+VALUE[1]*10+VALUE[2]);
            else if(index==3) MAX_VALUE[1] =
(float)(VALUE[0]*1000+VALUE[1]*100+VALUE[2]*10+VALUE[3]);

            if(index<2) index++;

```

เอกสารนี้เป็นเอกสารที่สงวนไว้สำหรับการใช้งานเพื่อการศึกษาเท่านั้น ไม่อนุญาตให้นำไปใช้ประโยชน์ด้านการค้า  
ไม่ว่ากรณีใดๆทั้งสิ้น อีกทั้งห้ามมิให้ตัดแปลงเนื้อหา และต้องอ้างอิงถึงเจ้าของเอกสารทุกครั้งที่มีการนำไปใช้

```

        //else index = 0;
    }
    else if(dot==1)
    {
        VALUE[index_dot+index] = key;
        if(index_dot==0) MAX_VALUE[1] =
MAX_VALUE[1]+(float)(VALUE[index_dot+index])/10;
        else if(index_dot==1) MAX_VALUE[1] =
MAX_VALUE[1]+(float)(VALUE[index_dot+index])/100;

        if(index_dot<1) index_dot++;
    }
}
else if((key=='*')&&(dot==0)) dot = 1;
else if((key=='*')&&(dot==1))
{
    dot = 0;
    index = 0;
    index_dot = 0;
    for(loop=0;loop<6;loop++) VALUE[loop] = 0;
    MAX_VALUE[1] = 0;
}

lcd_gotoxy(0,1);
printf(databuff,"MAX:%3.2f    ",MAX_VALUE[1]);
lcd_puts(databuff);

if(key=='#')
{
    lcd_gotoxy(0,1);
    printf(databuff," COMPLETE  ");
    lcd_puts(databuff);
    set = 0;
}
}
}

```

เอกสารนี้เป็นเอกสารที่สงวนไว้สำหรับการใช้งานเพื่อการศึกษาเท่านั้น ไม่อนุญาตให้นำไปใช้ประโยชน์ด้านการค้า  
ไม่ว่ากรณีใดๆทั้งสิ้น อีกทั้งห้ามมิให้ดัดแปลงเนื้อหา และต้องอ้างอิงถึงเจ้าของเอกสารทุกครั้งที่มีการนำไปใช้

```

/*****MIN*****/
lcd_gotoxy(0,0);
sprintf(databuff," SETTING LOAD_2 ");
lcd_puts(databuff);
lcd_gotoxy(0,1);
sprintf(databuff,"MIN:%3.2f    ",MIN_VALUE[1]);
lcd_puts(databuff);
delay_ms(500);

for(loop=0;loop<6;loop++) VALUE[loop] = 0;
dot = 0;
set = 1;
index = 0;
index_dot = 0;
while(set)
{
    scan_keypad();

    if((key>=0)&&(key<=9))
    {
        if(dot==0)
        {
            VALUE[index] = key;
            if(index==0) MIN_VALUE[1] = (float)(VALUE[0]);
            else if(index==1) MIN_VALUE[1] = (float)(VALUE[0]*10+VALUE[1]);
            else if(index==2) MIN_VALUE[1] =
(float)(VALUE[0]*100+VALUE[1]*10+VALUE[2]);
            else if(index==3) MIN_VALUE[1] =
(float)(VALUE[0]*1000+VALUE[1]*100+VALUE[2]*10+VALUE[3]);

            if(index<2) index++;
        }
        else if(dot==1)
        {
            VALUE[index_dot+index] = key;

```

เอกสารนี้เป็นเอกสารที่สงวนไว้สำหรับการใช้งานเพื่อการศึกษาเท่านั้น ไม่อนุญาตให้นำไปใช้ประโยชน์ด้านการค้า  
ไม่ว่ากรณีใดๆทั้งสิ้น อีกทั้งห้ามมิให้ตัดแปลงเนื้อหา และต้องอ้างอิงถึงเจ้าของเอกสารทุกครั้งที่มีการนำไปใช้

```

        if(index_dot==0) MIN_VALUE[1] =
MIN_VALUE[1]+(float)(VALUE[index_dot+index])/10;
        else if(index_dot==1) MIN_VALUE[1] =
MIN_VALUE[1]+(float)(VALUE[index_dot+index])/100;

        if(index_dot<1) index_dot++;
    }
}
else if((key=='*')&&(dot==0)) dot = 1;
else if((key=='*')&&(dot==1))
{
    dot = 0;
    index = 0;
    index_dot = 0;
    for(loop=0;loop<6;loop++) VALUE[loop] = 0;
    MIN_VALUE[1] = 0;
}
lcd_gotoxy(0,1);
sprintf(databuff,"MIN:%3.2f",MIN_VALUE[1]);
lcd_puts(databuff);

if(key=='#')
{
    lcd_gotoxy(0,1);
    sprintf(databuff," COMPLETE ");
    lcd_puts(databuff);
    set = 0;
}
}

/*****Select_CH*****/
lcd_gotoxy(0,0);
sprintf(databuff," SELECT_CH_2 ");
lcd_puts(databuff);
lcd_gotoxy(0,1);

```

เอกสารนี้เป็นเอกสารที่สงวนไว้สำหรับการใช้งานเพื่อการศึกษาเท่านั้น ไม่อนุญาตให้นำไปใช้ประโยชน์ด้านการค้า  
ไม่ว่ากรณีใดๆทั้งสิ้น อีกทั้งห้ามมิให้ดัดแปลงเนื้อหา และต้องอ้างอิงถึงเจ้าของเอกสารทุกครั้งที่มีการนำไปใช้

```

sprintf(databuff,"          ");
lcd_puts(databuff);
delay_ms(1000);
lcd_gotoxy(0,0);
sprintf(databuff,"          ");
lcd_puts(databuff);
lcd_gotoxy(0,1);
sprintf(databuff,"          ");
lcd_puts(databuff);
for(loop=0;loop<10;loop++) Load_2[loop] = 0;
index = 0;
set = 1;
while(set)
{
    scan_keypad();
    if((key>=0)&&(key<=9))
    {
        if(key==0) key = 10;
        if((key!=Load_2[0]&&(key!=Load_2[1]&&(key!=Load_2[2]&&(key!=Load_2[3]&&(key!=Load_2[4]&&(key!=Load_2[5]&&(key!=Load_2[6]&&(key!=Load_2[7]&&(key!=Load_2[8]&&(key!=Load_2[9]))))))
        {
            Load_2[index] = key;
            if(index<10) index++;
        }
    }
    else if(key=='#') set = 0;
    else if(key=='*')
    {
        for(loop=0;loop<10;loop++) Load_2[loop] = 0;
        index = 0;
        lcd_gotoxy(0,0);
        sprintf(databuff,"          ");
        lcd_puts(databuff);
        lcd_gotoxy(0,1);
    }
}

```

เอกสารนี้เป็นเอกสารที่สงวนไว้สำหรับการใช้งานเพื่อการศึกษาเท่านั้น ไม่อนุญาตให้นำไปใช้ประโยชน์ด้านการค้า ไม่ว่าจะกรณีใดๆทั้งสิ้น อีกทั้งห้ามมิให้ตัดแปลงเนื้อหา และต้องอ้างอิงถึงเจ้าของเอกสารทุกครั้งที่มีการนำไปใช้

```

        sprintf(databuff,"          ");
        lcd_puts(databuff);
    }
    if(index<6)
    {
        lcd_gotoxy((index*2)-1,0);
        sprintf(databuff,"%01i",Load_2[index-1]);
        lcd_puts(databuff);
    }
    else
    {
        lcd_gotoxy(((index-5)*2)-1,1);
        sprintf(databuff,"%01i",Load_2[index-1]);
        lcd_puts(databuff);
    }
}
/*****
**
**/
/*****SET_LOAD_3*****/
/*****MAX*****/
lcd_gotoxy(0,0);
sprintf(databuff," SETTING LOAD_3 ");
lcd_puts(databuff);
lcd_gotoxy(0,1);
sprintf(databuff,"MAX:%3.2f          ",MAX_VALUE[2]);
lcd_puts(databuff);
delay_ms(500);
for(loop=0;loop<6;loop++) VALUE[loop] = 0;
dot = 0;
set = 1;
index = 0;
index_dot = 0;
while(set)
{
    scan_keypad();
    if((key>=0)&&(key<=9))

```

เอกสารนี้เป็นเอกสารที่สงวนไว้สำหรับการใช้งานเพื่อการศึกษาเท่านั้น ไม่อนุญาตให้นำไปใช้ประโยชน์ด้านการค้า  
ไม่ว่ากรณีใดๆทั้งสิ้น อีกทั้งห้ามมิให้ตัดแปลงเนื้อหา และต้องอ้างอิงถึงเจ้าของเอกสารทุกครั้งที่มีการนำไปใช้

```

{
    if(dot==0)
    {
        VALUE[index] = key;
        if(index==0) MAX_VALUE[2] = (float)(VALUE[0]);
        else if(index==1) MAX_VALUE[2] = (float)(VALUE[0]*10+VALUE[1]);
        else if(index==2) MAX_VALUE[2] =
(float)(VALUE[0]*100+VALUE[1]*10+VALUE[2]);
        else if(index==3) MAX_VALUE[2] =
(float)(VALUE[0]*1000+VALUE[1]*100+VALUE[2]*10+VALUE[3]);
        if(index<2) index++;
    }
    else if(dot==1)
    {
        VALUE[index_dot+index] = key;
        if(index_dot==0) MAX_VALUE[2] =
MAX_VALUE[2]+(float)(VALUE[index_dot+index])/10;
        else if(index_dot==1) MAX_VALUE[2] =
MAX_VALUE[2]+(float)(VALUE[index_dot+index])/100;
        if(index_dot<1) index_dot++;
    }
}
else if((key=='*')&&(dot==0)) dot = 1;
else if((key=='*')&&(dot==1))
{
    dot = 0;
    index = 0;
    index_dot = 0;
    for(loop=0;loop<6;loop++) VALUE[loop] = 0;
    MAX_VALUE[2] = 0;
}
}
lcd_gotoxy(0,1);
sprintf(databuff,"MAX:%3.2f    ",MAX_VALUE[2]);
lcd_puts(databuff);
if(key=='#')

```

เอกสารนี้เป็นเอกสารที่สงวนไว้สำหรับการใช้งานเพื่อการศึกษาเท่านั้น ไม่อนุญาตให้นำไปใช้ประโยชน์ด้านการค้า  
ไม่ว่ากรณีใดๆทั้งสิ้น อีกทั้งห้ามมิให้ดัดแปลงเนื้อหา และต้องอ้างอิงถึงเจ้าของเอกสารทุกครั้งที่มีการนำไปใช้

```

    {
        lcd_gotoxy(0,1);
        sprintf(databuff," COMPLETE ");
        lcd_puts(databuff);
        set = 0;
    }
}
/*****MIN*****/
lcd_gotoxy(0,0);
sprintf(databuff," SETTING LOAD_3 ");
lcd_puts(databuff);
lcd_gotoxy(0,1);
sprintf(databuff,"MIN:%3.2f ",MIN_VALUE[2]);
lcd_puts(databuff);
delay_ms(500);
for(loop=0;loop<6;loop++) VALUE[loop] = 0;
dot = 0;
set = 1;
index = 0;
index_dot = 0;
while(set)
{
    scan_keypad();
    if((key>=0)&&(key<=9))
    {
        if(dot==0)
        {
            VALUE[index] = key;
            if(index==0) MIN_VALUE[2] = (float)(VALUE[0]);
            else if(index==1) MIN_VALUE[2] = (float)(VALUE[0]*10+VALUE[1]);
            else if(index==2) MIN_VALUE[2] =
(float)(VALUE[0]*100+VALUE[1]*10+VALUE[2]);
            else if(index==3) MIN_VALUE[2] =
(float)(VALUE[0]*1000+VALUE[1]*100+VALUE[2]*10+VALUE[3]);
            if(index<2) index++;

```

เอกสารนี้เป็นเอกสารที่สงวนไว้สำหรับการใช้งานเพื่อการศึกษาเท่านั้น ไม่อนุญาตให้นำไปใช้ประโยชน์ด้านการค้า  
ไม่ว่ากรณีใดๆทั้งสิ้น อีกทั้งห้ามมิให้ตัดแปลงเนื้อหา และต้องอ้างอิงถึงเจ้าของเอกสารทุกครั้งที่มีการนำไปใช้

```

    }
    else if(dot==1)
    {
        VALUE[index_dot+index] = key;
        if(index_dot==0) MIN_VALUE[2] =
MIN_VALUE[2]+(float)(VALUE[index_dot+index])/10;
        else if(index_dot==1) MIN_VALUE[2] =
MIN_VALUE[2]+(float)(VALUE[index_dot+index])/100;
        if(index_dot<1) index_dot++;
    }
}
else if((key=='*')&&(dot==0)) dot = 1;
else if((key=='*')&&(dot==1))
{
    dot = 0;
    index = 0;
    index_dot = 0;
    for(loop=0;loop<6;loop++) VALUE[loop] = 0;
    MIN_VALUE[2] = 0;
}
lcd_gotoxy(0,1);
sprintf(databuff,"MIN:%3.2f  ",MIN_VALUE[2]);
lcd_puts(databuff);
if(key=='#')
{
    lcd_gotoxy(0,1);
    sprintf(databuff," COMPLETE ");
    lcd_puts(databuff);
    set = 0;
}
}

/*****Select_CH*****/
lcd_gotoxy(0,0);
sprintf(databuff," SELECT_CH_3 ");

```

เอกสารนี้เป็นเอกสารที่สงวนไว้สำหรับการใช้งานเพื่อการศึกษาเท่านั้น ไม่อนุญาตให้นำไปใช้ประโยชน์ด้านการค้า  
ไม่ว่ากรณีใดๆทั้งสิ้น อีกทั้งห้ามมิให้ตัดแปลงเนื้อหา และต้องอ้างอิงถึงเจ้าของเอกสารทุกครั้งที่มีการนำไปใช้

```

lcd_puts(databuff);
lcd_gotoxy(0,1);
sprintf(databuff,"          ");
lcd_puts(databuff);
delay_ms(1000);
lcd_gotoxy(0,0);
sprintf(databuff,"          ");
lcd_puts(databuff);
lcd_gotoxy(0,1);
sprintf(databuff,"          ");
lcd_puts(databuff);
for(loop=0;loop<10;loop++) Load_3[loop] = 0;
index = 0;
set = 1;
while(set)
{
    scan_keypad();
    if((key>=0)&&(key<=9))
    {
        if(key==0) key = 10;
        if((key!=Load_3[0])&&(key!=Load_3[1])&&(key!=Load_3[2])&&(key!=Load_3[3])&&(key!=L
oad_3[4])&&(key!=Load_3[5])&&(key!=Load_3[6])&&(key!=Load_3[7])&&(key!=Load_3[8]
)&&(key!=Load_3[9]))
        {
            Load_3[index] = key;
            if(index<10) index++;
        }
    }
    else if(key=='#') set = 0;
    else if(key=='*')
    {
        for(loop=0;loop<10;loop++) Load_3[loop] = 0;
        index = 0;
        lcd_gotoxy(0,0);
        sprintf(databuff,"          ");

```

เอกสารนี้เป็นเอกสารที่สงวนไว้สำหรับการใช้งานเพื่อการศึกษาเท่านั้น ไม่อนุญาตให้นำไปใช้ประโยชน์ด้านการค้า  
ไม่ว่ากรณีใดๆทั้งสิ้น อีกทั้งห้ามมิให้ดัดแปลงเนื้อหา และต้องอ้างอิงถึงเจ้าของเอกสารทุกครั้งที่มีการนำไปใช้

```

    lcd_puts(databuff);
    lcd_gotoxy(0,1);
    sprintf(databuff,"          ");
    lcd_puts(databuff);
}
if(index<6)
{
    lcd_gotoxy((index*2)-1,0);
    sprintf(databuff,"%01i",Load_3[index-1]);
    lcd_puts(databuff);
}
else
{
    lcd_gotoxy(((index-5)*2)-1,1);
    sprintf(databuff,"%01i",Load_3[index-1]);
    lcd_puts(databuff);
}
}
}
/*****
/*****SET_LOAD_4*****/
/*****MAX*****/
    lcd_gotoxy(0,0);
    sprintf(databuff," SETTING LOAD_4 ");
    lcd_puts(databuff);
    lcd_gotoxy(0,1);
    sprintf(databuff,"MAX:%3.2f",MAX_VALUE[3]);
    lcd_puts(databuff);
    delay_ms(500);
    for(loop=0;loop<6;loop++) VALUE[loop] = 0;
    dot = 0;
    set = 1;
    index = 0;
    index_dot = 0;
    while(set)
    {

```

เอกสารนี้เป็นเอกสารที่สงวนไว้สำหรับการใช้งานเพื่อการศึกษาเท่านั้น ไม่อนุญาตให้นำไปใช้ประโยชน์ด้านการค้า  
ไม่ว่ากรณีใดๆทั้งสิ้น อีกทั้งห้ามมิให้ตัดแปลงเนื้อหา และต้องอ้างอิงถึงเจ้าของเอกสารทุกครั้งที่มีการนำไปใช้

```

scan_keypad();
if((key>=0)&&(key<=9))
{
    if(dot==0)
    {
        VALUE[index] = key;
        if(index==0) MAX_VALUE[3] = (float)(VALUE[0]);
        else if(index==1) MAX_VALUE[3] = (float)(VALUE[0]*10+VALUE[1]);
        else if(index==2) MAX_VALUE[3] =
(float)(VALUE[0]*100+VALUE[1]*10+VALUE[2]);
        else if(index==3) MAX_VALUE[3] =
(float)(VALUE[0]*1000+VALUE[1]*100+VALUE[2]*10+VALUE[3]);
        if(index<2) index++;
    }
    else if(dot==1)
    {
        VALUE[index_dot+index] = key;
        if(index_dot==0) MAX_VALUE[3] =
MAX_VALUE[3]+(float)(VALUE[index_dot+index])/10;
        else if(index_dot==1) MAX_VALUE[3] =
MAX_VALUE[3]+(float)(VALUE[index_dot+index])/100;
        if(index_dot<1) index_dot++;
    }
}
else if((key=='*')&&(dot==0)) dot = 1;
else if((key=='*')&&(dot==1))
{
    dot = 0;
    index = 0;
    index_dot = 0;
    for(loop=0;loop<6;loop++) VALUE[loop] = 0;
    MAX_VALUE[3] = 0;
}
}
lcd_gotoxy(0,1);
sprintf(databuff,"MAX:%3.2f    ",MAX_VALUE[3]);

```

เอกสารนี้เป็นเอกสารที่สงวนไว้สำหรับการใช้งานเพื่อการศึกษาเท่านั้น ไม่อนุญาตให้นำไปใช้ประโยชน์ด้านการค้า  
ไม่ว่ากรณีใดๆทั้งสิ้น อีกทั้งห้ามมิให้ตัดแปลงเนื้อหา และต้องอ้างอิงถึงเจ้าของเอกสารทุกครั้งที่มีการนำไปใช้

```

    lcd_puts(databuff);
    if(key=='#')
    {
        lcd_gotoxy(0,1);
        sprintf(databuff," COMPLETE ");
        lcd_puts(databuff);
        set = 0;
    }
}
/*****MIN*****/
lcd_gotoxy(0,0);
sprintf(databuff," SETTING LOAD_4 ");
lcd_puts(databuff);
lcd_gotoxy(0,1);
sprintf(databuff,"MIN:%3.2f ",MIN_VALUE[3]);
lcd_puts(databuff);
delay_ms(500);
for(loop=0;loop<6;loop++) VALUE[loop] = 0;
dot = 0;
set = 1;
index = 0;
index_dot = 0;
while(set)
{
    scan_keypad();
    if((key>=0)&&(key<=9))
    {
        if(dot==0)
        {
            VALUE[index] = key;
            if(index==0) MIN_VALUE[3] = (float)(VALUE[0]);
            else if(index==1) MIN_VALUE[3] = (float)(VALUE[0]*10+VALUE[1]);
            else if(index==2) MIN_VALUE[3] =
(float)(VALUE[0]*100+VALUE[1]*10+VALUE[2]);

```

เอกสารนี้เป็นเอกสารที่สงวนไว้สำหรับการใช้งานเพื่อการศึกษาเท่านั้น ไม่อนุญาตให้นำไปใช้ประโยชน์ด้านการค้า  
ไม่ว่ากรณีใดๆทั้งสิ้น อีกทั้งห้ามมิให้ตัดแปลงเนื้อหา และต้องอ้างอิงถึงเจ้าของเอกสารทุกครั้งที่มีการนำไปใช้

```

else if(index==3) MIN_VALUE[3] =
(float)(VALUE[0]*1000+VALUE[1]*100+VALUE[2]*10+VALUE[3]);
if(index<2) index++;
//else index = 0;
}
else if(dot==1)
{
VALUE[index_dot+index] = key;
if(index_dot==0) MIN_VALUE[3] =
MIN_VALUE[3]+(float)(VALUE[index_dot+index])/10;
else if(index_dot==1) MIN_VALUE[3] =
MIN_VALUE[3]+(float)(VALUE[index_dot+index])/100;
if(index_dot<1) index_dot++;
}
}
else if((key=='*')&&(dot==0)) dot = 1;
else if((key=='*')&&(dot==1))
{
dot = 0;
index = 0;
index_dot = 0;
for(loop=0;loop<6;loop++) VALUE[loop] = 0;
MIN_VALUE[3] = 0;
}
lcd_gotoxy(0,1);
sprintf(databuff,"MIN:%3.2f ",MIN_VALUE[3]);
lcd_puts(databuff);
if(key=='#')
{
lcd_gotoxy(0,1);
sprintf(databuff," COMPLETE ");
lcd_puts(databuff);
set = 0;
}
}
}

```

เอกสารนี้เป็นเอกสารที่สงวนไว้สำหรับการใช้งานเพื่อการศึกษาเท่านั้น ไม่อนุญาตให้นำไปใช้ประโยชน์ด้านการค้า  
ไม่ว่ากรณีใดๆทั้งสิ้น อีกทั้งห้ามมิให้ตัดแปลงเนื้อหา และต้องอ้างอิงถึงเจ้าของเอกสารทุกครั้งที่มีการนำไปใช้

```

/*****Select_CH*****/
lcd_gotoxy(0,0);
sprintf(databuff," SELECT_CH_4 ");
lcd_puts(databuff);
lcd_gotoxy(0,1);
sprintf(databuff," ");
lcd_puts(databuff);
delay_ms(1000);
lcd_gotoxy(0,0);
sprintf(databuff," ");
lcd_puts(databuff);
lcd_gotoxy(0,1);
sprintf(databuff," ");
lcd_puts(databuff);
for(loop=0;loop<10;loop++) Load_4[loop] = 0;
index = 0;
set = 1;
while(set)
{
    scan_keypad();
    if((key>=0)&&(key<=9))
    {
        if(key==0) key = 10;

        if((key!=Load_4[0])&&(key!=Load_4[1])&&(key!=Load_4[2])&&(key!=Load_4[3])&&(key!=L
oad_4[4])&&(key!=Load_4[5])&&(key!=Load_4[6])&&(key!=Load_4[7])&&(key!=Load_4[8]
)&&(key!=Load_4[9]))
        {
            Load_4[index] = key;
            if(index<10) index++;
        }
    }
    else if(key=='#') set = 0;
    else if(key=='*')
    {

```

เอกสารนี้เป็นเอกสารที่สงวนไว้สำหรับการใช้งานเพื่อการศึกษาเท่านั้น ไม่อนุญาตให้นำไปใช้ประโยชน์ด้านการค้า  
ไม่ว่ากรณีใดๆทั้งสิ้น อีกทั้งห้ามมิให้ดัดแปลงเนื้อหา และต้องอ้างอิงถึงเจ้าของเอกสารทุกครั้งที่มีการนำไปใช้

```

for(loop=0;loop<10;loop++) Load_4[loop] = 0;
index = 0;
lcd_gotoxy(0,0);
sprintf(databuff,"          ");
lcd_puts(databuff);
lcd_gotoxy(0,1);
sprintf(databuff,"          ");
lcd_puts(databuff);
}
if(index<6)
{
    lcd_gotoxy((index*2)-1,0);
    sprintf(databuff,"%01i",Load_4[index-1]);
    lcd_puts(databuff);
}
else
{
    lcd_gotoxy(((index-5)*2)-1,1);
    sprintf(databuff,"%01i",Load_4[index-1]);
    lcd_puts(databuff);
}
}
/*****
/*****SET_LOAD_5*****/
/*****MAX*****/
lcd_gotoxy(0,0);
sprintf(databuff," SETTING LOAD_5 ");
lcd_puts(databuff);
lcd_gotoxy(0,1);
sprintf(databuff,"MAX:%3.2f      ",MAX_VALUE[4]);
lcd_puts(databuff);
delay_ms(500);
for(loop=0;loop<6;loop++) VALUE[loop] = 0;
dot = 0;
set = 1;

```

เอกสารนี้เป็นเอกสารที่สงวนไว้สำหรับการใช้งานเพื่อการศึกษาเท่านั้น ไม่อนุญาตให้นำไปใช้ประโยชน์ด้านการค้า  
ไม่ว่ากรณีใดๆทั้งสิ้น อีกทั้งห้ามมิให้ตัดแปลงเนื้อหา และต้องอ้างอิงถึงเจ้าของเอกสารทุกครั้งที่มีการนำไปใช้

```

index = 0;
index_dot = 0;
while(set)
{
    scan_keypad();
    if((key>=0)&&(key<=9))
    {
        if(dot==0)
        {
            VALUE[index] = key;
            if(index==0) MAX_VALUE[4] = (float)(VALUE[0]);
            else if(index==1) MAX_VALUE[4] = (float)(VALUE[0]*10+VALUE[1]);
            else if(index==2) MAX_VALUE[4] =
(float)(VALUE[0]*100+VALUE[1]*10+VALUE[2]);
            else if(index==3) MAX_VALUE[4] =
(float)(VALUE[0]*1000+VALUE[1]*100+VALUE[2]*10+VALUE[3]);
            if(index<2) index++;
        }
        else if(dot==1)
        {
            VALUE[index_dot+index] = key;
            if(index_dot==0) MAX_VALUE[4] =
MAX_VALUE[4]+(float)(VALUE[index_dot+index])/10;
            else if(index_dot==1) MAX_VALUE[4] =
MAX_VALUE[4]+(float)(VALUE[index_dot+index])/100;

            if(index_dot<1) index_dot++;
        }
    }
    else if((key=='*')&&(dot==0)) dot = 1;
    else if((key=='*')&&(dot==1))
    {
        dot = 0;
        index = 0;
        index_dot = 0;
    }
}

```

เอกสารนี้เป็นเอกสารที่สงวนไว้สำหรับการใช้งานเพื่อการศึกษาเท่านั้น ไม่อนุญาตให้นำไปใช้ประโยชน์ด้านการค้า  
ไม่ว่ากรณีใดๆทั้งสิ้น อีกทั้งห้ามมิให้ดัดแปลงเนื้อหา และต้องอ้างอิงถึงเจ้าของเอกสารทุกครั้งที่มีการนำไปใช้

```

        for(loop=0;loop<6;loop++) VALUE[loop] = 0;
        MAX_VALUE[4] = 0;
    }
    lcd_gotoxy(0,1);
    sprintf(databuff,"MAX:%3.2f  ",MAX_VALUE[4]);
    lcd_puts(databuff);
    if(key=='#')
    {
        lcd_gotoxy(0,1);
        sprintf(databuff," COMPLETE ");
        lcd_puts(databuff);
        set = 0;
    }
}
/*****MIN*****/
lcd_gotoxy(0,0);
sprintf(databuff," SETTING LOAD_5 ");
lcd_puts(databuff);
lcd_gotoxy(0,1);
sprintf(databuff,"MIN:%3.2f  ",MIN_VALUE[4]);
lcd_puts(databuff);
delay_ms(500);
for(loop=0;loop<6;loop++) VALUE[loop] = 0;
dot = 0;
set = 1;
index = 0;
index_dot = 0;
while(set)
{
    scan_keypad();
    if((key>=0)&&(key<=9))
    {
        if(dot==0)
        {
            VALUE[index] = key;

```

เอกสารนี้เป็นเอกสารที่สงวนไว้สำหรับการใช้งานเพื่อการศึกษาเท่านั้น ไม่อนุญาตให้นำไปใช้ประโยชน์ด้านการค้า  
ไม่ว่ากรณีใดๆทั้งสิ้น อีกทั้งห้ามมิให้ดัดแปลงเนื้อหา และต้องอ้างอิงถึงเจ้าของเอกสารทุกครั้งที่มีการนำไปใช้

```

if(index==0) MIN_VALUE[4] = (float)(VALUE[0]);
else if(index==1) MIN_VALUE[4] = (float)(VALUE[0]*10+VALUE[1]);
else if(index==2) MIN_VALUE[4] =
(float)(VALUE[0]*100+VALUE[1]*10+VALUE[2]);
else if(index==3) MIN_VALUE[4] =
(float)(VALUE[0]*1000+VALUE[1]*100+VALUE[2]*10+VALUE[3]);
if(index<2) index++;
}
else if(dot==1)
{
VALUE[index_dot+index] = key;
if(index_dot==0) MIN_VALUE[4] =
MIN_VALUE[4]+(float)(VALUE[index_dot+index])/10;
else if(index_dot==1) MIN_VALUE[4] =
MIN_VALUE[4]+(float)(VALUE[index_dot+index])/100;
if(index_dot<1) index_dot++;
}
}
else if((key=='*')&&(dot==0)) dot = 1;
else if((key=='*')&&(dot==1))
{
dot = 0;
index = 0;
index_dot = 0;
for(loop=0;loop<6;loop++) VALUE[loop] = 0;
MIN_VALUE[4] = 0;
}
}
lcd_gotoxy(0,1);
sprintf(databuff,"MIN:%3.2f ",MIN_VALUE[4]);
lcd_puts(databuff);
if(key=='#')
{
lcd_gotoxy(0,1);
sprintf(databuff," COMPLETE ");
lcd_puts(databuff);
}

```

เอกสารนี้เป็นเอกสารที่สงวนไว้สำหรับการใช้งานเพื่อการศึกษาเท่านั้น ไม่อนุญาตให้นำไปใช้ประโยชน์ด้านการค้า  
ไม่ว่ากรณีใดๆทั้งสิ้น อีกทั้งห้ามมิให้ดัดแปลงเนื้อหา และต้องอ้างอิงถึงเจ้าของเอกสารทุกครั้งที่มีการนำไปใช้

```

        set = 0;
    }
}
/*****Select_CH*****/
lcd_gotoxy(0,0);
sprintf(databuff," SELECT_CH_5 ");
lcd_puts(databuff);
lcd_gotoxy(0,1);
sprintf(databuff,"          ");
lcd_puts(databuff);
delay_ms(1000);
lcd_gotoxy(0,0);
sprintf(databuff,"          ");
lcd_puts(databuff);
lcd_gotoxy(0,1);
sprintf(databuff,"          ");
lcd_puts(databuff);
for(loop=0;loop<10;loop++) Load_5[loop] = 0;
index = 0;
set = 1;
while(set)
{
    scan_keypad();
    if((key>=0)&&(key<=9))
    {
        if(key==0) key = 10;

        if((key!=Load_5[0])&&(key!=Load_5[1])&&(key!=Load_5[2])&&(key!=Load_5[3])&&(key!=Load_5[4])&&(key!=Load_5[5])&&(key!=Load_5[6])&&(key!=Load_5[7])&&(key!=Load_5[8])&&(key!=Load_5[9]))
        {
            Load_5[index] = key;
            if(index<10) index++;
        }
    }
}

```

เอกสารนี้เป็นเอกสารที่สงวนไว้สำหรับการใช้งานเพื่อการศึกษาเท่านั้น ไม่อนุญาตให้นำไปใช้ประโยชน์ด้านการค้า  
ไม่ว่ากรณีใดๆทั้งสิ้น อีกทั้งห้ามมิให้ดัดแปลงเนื้อหา และต้องอ้างอิงถึงเจ้าของเอกสารทุกครั้งที่มีการนำไปใช้

```

else if(key=='#') set = 0;
else if(key=='*')
{
    for(loop=0;loop<10;loop++) Load_5[loop] = 0;
    index = 0;
    lcd_gotoxy(0,0);
    sprintf(databuff,"          ");
    lcd_puts(databuff);
    lcd_gotoxy(0,1);
    sprintf(databuff,"          ");
    lcd_puts(databuff);
}
if(index<6)
{
    lcd_gotoxy((index*2)-1,0);
    sprintf(databuff,"%01i",Load_5[index-1]);
    lcd_puts(databuff);
}
else
{
    lcd_gotoxy(((index-5)*2)-1,1);
    sprintf(databuff,"%01i",Load_5[index-1]);
    lcd_puts(databuff);
}
}
}
/*****Check_control*****/
void Check_control(void)
{
    if(Load_1[0]>0) {if(DATA_[Load_1[0]]>=MAX_VALUE[0]) Relay_1 = ON; else
if(DATA_[Load_1[0]]<=MIN_VALUE[0]) Relay_1 = OFF;};
    else if(Load_1[1]>0) {if(DATA_[Load_1[1]]>=MAX_VALUE[0]); else
if(DATA_[Load_1[1]]<=MIN_VALUE[0]);}
    else if(Load_1[2]>0) {if(DATA_[Load_1[2]]>=MAX_VALUE[0]); else
if(DATA_[Load_1[2]]<=MIN_VALUE[0]);}
}
}

```

เอกสารนี้เป็นเอกสารที่สงวนไว้สำหรับการใช้งานเพื่อการศึกษาเท่านั้น ไม่อนุญาตให้นำไปใช้ประโยชน์ด้านการค้า  
ไม่ว่ากรณีใดๆทั้งสิ้น อีกทั้งห้ามมิให้ตัดแปลงเนื้อหา และต้องอ้างอิงถึงเจ้าของเอกสารทุกครั้งที่มีการนำไปใช้

```

else if(Load_1[3]>0) {if(DATA_[Load_1[3]]>=MAX_VALUE[0]); else
if(DATA_[Load_1[3]]<=MIN_VALUE[0]);}
else if(Load_1[4]>0) {if(DATA_[Load_1[4]]>=MAX_VALUE[0]); else
if(DATA_[Load_1[4]]<=MIN_VALUE[0]);}
else if(Load_1[5]>0) {if(DATA_[Load_1[5]]>=MAX_VALUE[0]); else
if(DATA_[Load_1[5]]<=MIN_VALUE[0]);}
else if(Load_1[6]>0) {if(DATA_[Load_1[6]]>=MAX_VALUE[0]); else
if(DATA_[Load_1[6]]<=MIN_VALUE[0]);}
else if(Load_1[7]>0) {if(DATA_[Load_1[7]]>=MAX_VALUE[0]); else
if(DATA_[Load_1[7]]<=MIN_VALUE[0]);}
else if(Load_1[8]>0) {if(DATA_[Load_1[8]]>=MAX_VALUE[0]); else
if(DATA_[Load_1[8]]<=MIN_VALUE[0]);}
else if(Load_1[9]>0) {if(DATA_[Load_1[9]]>=MAX_VALUE[0]); else
if(DATA_[Load_1[9]]<=MIN_VALUE[0]);}

if(Load_2[0]>0) {if(DATA_[Load_2[0]]>=MAX_VALUE[1]); else
if(DATA_[Load_2[0]]<=MIN_VALUE[1]);}
else if(Load_2[1]>0) {if(DATA_[Load_2[1]]>=MAX_VALUE[1]); else
if(DATA_[Load_2[1]]<=MIN_VALUE[1]);}
else if(Load_2[2]>0) {if(DATA_[Load_2[2]]>=MAX_VALUE[1]); else
if(DATA_[Load_2[2]]<=MIN_VALUE[1]);}
else if(Load_2[3]>0) {if(DATA_[Load_2[3]]>=MAX_VALUE[1]); else
if(DATA_[Load_2[3]]<=MIN_VALUE[1]);}
else if(Load_2[4]>0) {if(DATA_[Load_2[4]]>=MAX_VALUE[1]); else
if(DATA_[Load_2[4]]<=MIN_VALUE[1]);}
else if(Load_2[5]>0) {if(DATA_[Load_2[5]]>=MAX_VALUE[1]); else
if(DATA_[Load_2[5]]<=MIN_VALUE[1]);}
else if(Load_2[6]>0) {if(DATA_[Load_2[6]]>=MAX_VALUE[1]); else
if(DATA_[Load_2[6]]<=MIN_VALUE[1]);}
else if(Load_2[7]>0) {if(DATA_[Load_2[7]]>=MAX_VALUE[1]); else
if(DATA_[Load_2[7]]<=MIN_VALUE[1]);}
else if(Load_2[8]>0) {if(DATA_[Load_2[8]]>=MAX_VALUE[1]); else
if(DATA_[Load_2[8]]<=MIN_VALUE[1]);}
else if(Load_2[9]>0) {if(DATA_[Load_2[9]]>=MAX_VALUE[1]); else
if(DATA_[Load_2[9]]<=MIN_VALUE[1]);}

```

เอกสารนี้เป็นเอกสารที่สงวนไว้สำหรับการใช้งานเพื่อการศึกษาเท่านั้น ไม่อนุญาตให้นำไปใช้ประโยชน์ด้านการค้า  
ไม่ว่ากรณีใดๆทั้งสิ้น อีกทั้งห้ามมิให้ตัดแปลงเนื้อหา และต้องอ้างอิงถึงเจ้าของเอกสารทุกครั้งที่มีการนำไปใช้

```

    if(Load_3[0]>0) {if(DATA_[Load_3[0]]>=MAX_VALUE[2]); else
if(DATA_[Load_3[0]]<=MIN_VALUE[2]);}
    else if(Load_3[1]>0) {if(DATA_[Load_3[1]]>=MAX_VALUE[2]); else
if(DATA_[Load_3[1]]<=MIN_VALUE[2]);}
    else if(Load_3[2]>0) {if(DATA_[Load_3[2]]>=MAX_VALUE[2]); else
if(DATA_[Load_3[2]]<=MIN_VALUE[2]);}
    else if(Load_3[3]>0) {if(DATA_[Load_3[3]]>=MAX_VALUE[2]); else
if(DATA_[Load_3[3]]<=MIN_VALUE[2]);}
    else if(Load_3[4]>0) {if(DATA_[Load_3[4]]>=MAX_VALUE[2]); else
if(DATA_[Load_3[4]]<=MIN_VALUE[2]);}
    else if(Load_3[5]>0) {if(DATA_[Load_3[5]]>=MAX_VALUE[2]); else
if(DATA_[Load_3[5]]<=MIN_VALUE[2]);}
    else if(Load_3[6]>0) {if(DATA_[Load_3[6]]>=MAX_VALUE[2]); else
if(DATA_[Load_3[6]]<=MIN_VALUE[2]);}
    else if(Load_3[7]>0) {if(DATA_[Load_3[7]]>=MAX_VALUE[2]); else
if(DATA_[Load_3[7]]<=MIN_VALUE[2]);}
    else if(Load_3[8]>0) {if(DATA_[Load_3[8]]>=MAX_VALUE[2]); else
if(DATA_[Load_3[8]]<=MIN_VALUE[2]);}
    else if(Load_3[9]>0) {if(DATA_[Load_3[9]]>=MAX_VALUE[2]); else
if(DATA_[Load_3[9]]<=MIN_VALUE[2]);}

    if(Load_4[0]>0) {if(DATA_[Load_4[0]]>=MAX_VALUE[3]); else
if(DATA_[Load_4[0]]<=MIN_VALUE[3]);}
    else if(Load_4[1]>0) {if(DATA_[Load_4[1]]>=MAX_VALUE[3]); else
if(DATA_[Load_4[1]]<=MIN_VALUE[3]);}
    else if(Load_4[2]>0) {if(DATA_[Load_4[2]]>=MAX_VALUE[3]); else
if(DATA_[Load_4[2]]<=MIN_VALUE[3]);}
    else if(Load_4[3]>0) {if(DATA_[Load_4[3]]>=MAX_VALUE[3]); else
if(DATA_[Load_4[3]]<=MIN_VALUE[3]);}
    else if(Load_4[4]>0) {if(DATA_[Load_4[4]]>=MAX_VALUE[3]); else
if(DATA_[Load_4[4]]<=MIN_VALUE[3]);}
    else if(Load_4[5]>0) {if(DATA_[Load_4[5]]>=MAX_VALUE[3]); else
if(DATA_[Load_4[5]]<=MIN_VALUE[3]);}
    else if(Load_4[6]>0) {if(DATA_[Load_4[6]]>=MAX_VALUE[3]); else
if(DATA_[Load_4[6]]<=MIN_VALUE[3]);}

```

เอกสารนี้เป็นเอกสารที่สงวนไว้สำหรับการใช้งานเพื่อการศึกษาเท่านั้น ไม่อนุญาตให้นำไปใช้ประโยชน์ด้านการค้า  
ไม่ว่ากรณีใดๆทั้งสิ้น อีกทั้งห้ามมิให้ตัดแปลงเนื้อหา และต้องอ้างอิงถึงเจ้าของเอกสารทุกครั้งที่มีการนำไปใช้

```

    else if(Load_4[7]>0) {if(DATA_[Load_4[7]]>=MAX_VALUE[3]); else
if(DATA_[Load_4[7]]<=MIN_VALUE[3]);}
    else if(Load_4[8]>0) {if(DATA_[Load_4[8]]>=MAX_VALUE[3]); else
if(DATA_[Load_4[8]]<=MIN_VALUE[3]);}
    else if(Load_4[9]>0) {if(DATA_[Load_4[9]]>=MAX_VALUE[3]); else
if(DATA_[Load_4[9]]<=MIN_VALUE[3]);}

```

```

    if(Load_5[0]>0) {if(DATA_[Load_5[0]]>=MAX_VALUE[4]); else
if(DATA_[Load_5[0]]<=MIN_VALUE[4]);}
    else if(Load_5[1]>0) {if(DATA_[Load_5[1]]>=MAX_VALUE[4]); else
if(DATA_[Load_5[1]]<=MIN_VALUE[4]);}
    else if(Load_5[2]>0) {if(DATA_[Load_5[2]]>=MAX_VALUE[4]); else
if(DATA_[Load_5[2]]<=MIN_VALUE[4]);}
    else if(Load_5[3]>0) {if(DATA_[Load_5[3]]>=MAX_VALUE[4]); else
if(DATA_[Load_5[3]]<=MIN_VALUE[4]);}
    else if(Load_5[4]>0) {if(DATA_[Load_5[4]]>=MAX_VALUE[4]); else
if(DATA_[Load_5[4]]<=MIN_VALUE[4]);}
    else if(Load_5[5]>0) {if(DATA_[Load_5[5]]>=MAX_VALUE[4]); else
if(DATA_[Load_5[5]]<=MIN_VALUE[4]);}
    else if(Load_5[6]>0) {if(DATA_[Load_5[6]]>=MAX_VALUE[4]); else
if(DATA_[Load_5[6]]<=MIN_VALUE[4]);}
    else if(Load_5[7]>0) {if(DATA_[Load_5[7]]>=MAX_VALUE[4]); else
if(DATA_[Load_5[7]]<=MIN_VALUE[4]);}
    else if(Load_5[8]>0) {if(DATA_[Load_5[8]]>=MAX_VALUE[4]); else
if(DATA_[Load_5[8]]<=MIN_VALUE[4]);}
    else if(Load_5[9]>0) {if(DATA_[Load_5[9]]>=MAX_VALUE[4]); else
if(DATA_[Load_5[9]]<=MIN_VALUE[4]);}
}

```

```

/*****/

```

```

/*****scan_keypad*****/

```

```

#define ROW1 PINB.3

```

```

#define ROW2 PINB.4

```

```

#define ROW3 PINB.5

```

```

#define ROW4 PINB.6

```

เอกสารนี้เป็นเอกสารที่สงวนไว้สำหรับการใช้งานเพื่อการศึกษาเท่านั้น ไม่อนุญาตให้นำไปใช้ประโยชน์ด้านการค้า  
ไม่ว่ากรณีใดๆทั้งสิ้น อีกทั้งห้ามมิให้ตัดแปลงเนื้อหา และต้องอ้างอิงถึงเจ้าของเอกสารทุกครั้งที่มีการนำไปใช้

```

#define COL1 PORTA.7
#define COL2 PORTA.6
#define COL3 PORTA.5

char key;
/*****init key_pad*****/
void init_keypad(void)
{
  DDRB.3=0;
  DDRB.4=0;
  DDRB.5=0;
  DDRB.6=0;
  DDRA.7=1;
  DDRA.6=1;
  DDRA.5=1;
}
/*****scan_keypad*****/
void scan_keypad(void)
{
  char i=1;
  while(i)
  {
    PORTB=0x3F;
    COL1=1;
    COL2=1;
    COL3=1;

    COL1=0;COL2=1;COL3=1;delay_ms(5);
    if(ROW1==0) {key=1;i=0; while(ROW1==0);}
    else if(ROW2==0) {key=4;i=0; while(ROW2==0);}
    else if(ROW3==0) {key=7;i=0; while(ROW3==0);}
    else if(ROW4==0) {key='*';i=0; while(ROW4==0);}
    COL1=1;COL2=0;COL3=1;delay_ms(5);
    if(ROW1==0) {key=2;i=0; while(ROW1==0);}
    else if(ROW2==0) {key=5;i=0; while(ROW2==0);}
  }
}

```

เอกสารนี้เป็นเอกสารที่สงวนไว้สำหรับการใช้งานเพื่อการศึกษาเท่านั้น ไม่อนุญาตให้นำไปใช้ประโยชน์ด้านการค้า  
ไม่ว่ากรณีใดๆทั้งสิ้น อีกทั้งห้ามมิให้ตัดแปลงเนื้อหา และต้องอ้างอิงถึงเจ้าของเอกสารทุกครั้งที่มีการนำไปใช้

```

else if(ROW3==0) {key=8;i=0; while(ROW3==0);}
else if(ROW4==0) {key=0;i=0; while(ROW4==0);}
COL1=1;COL2=1;COL3=0;delay_ms(5);
if(ROW1==0) {key=3;i=0; while(ROW1==0);}
else if(ROW2==0) {key=6;i=0; while(ROW2==0);}
else if(ROW3==0) {key=9;i=0; while(ROW3==0);}
else if(ROW4==0) {key='#';i=0; while(ROW4==0);}
}
}

```



เอกสารนี้เป็นเอกสารที่สงวนไว้สำหรับการใช้งานเพื่อการศึกษาเท่านั้น ไม่อนุญาตให้นำไปใช้ประโยชน์ด้านการค้า  
ไม่ว่ากรณีใดๆทั้งสิ้น อีกทั้งห้ามมิให้ตัดแปลงเนื้อหา และต้องอ้างอิงถึงเจ้าของเอกสารทุกครั้งที่มีการนำไปใช้



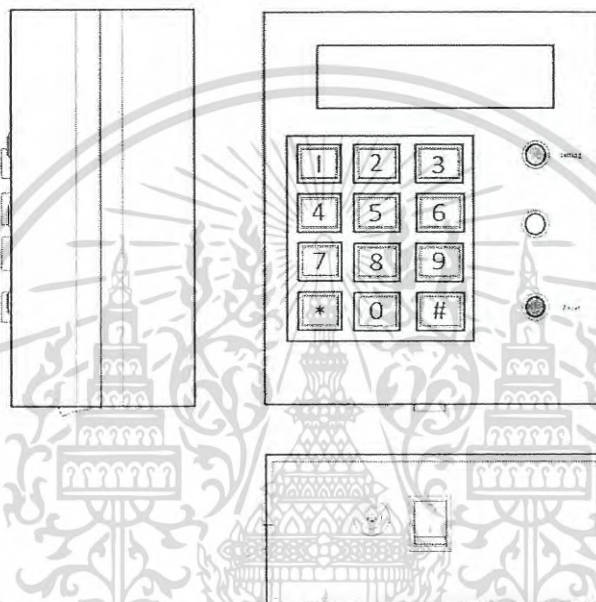
เอกสารนี้เป็นเอกสารที่สงวนไว้สำหรับการใช้งานเพื่อการศึกษาเท่านั้น ไม่อนุญาตให้นำไปใช้ประโยชน์ด้านการค้า  
ไม่ว่ากรณีใดๆทั้งสิ้น อีกทั้งห้ามมิให้ตัดแปลงเนื้อหา และต้องอ้างอิงถึงเจ้าของเอกสารทุกครั้งที่มีการนำไปใช้

## คู่มือการใช้งาน

### โครงข่ายเซนเซอร์ความชื้นในดินสำหรับควบคุมการให้น้ำพืช

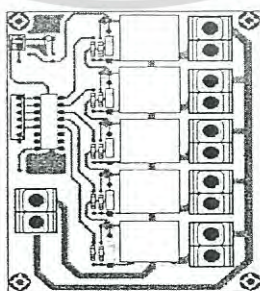
#### 1. ลักษณะโครงสร้างภายนอกของระบบ

##### 1.1. ลักษณะโครงสร้างภายนอกของระบบควบคุมหลัก



รูปที่ 1 ลักษณะโครงสร้างภายนอกของระบบควบคุมหลัก

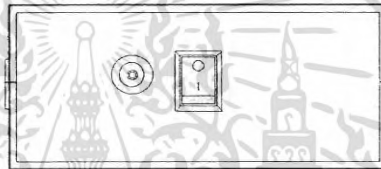
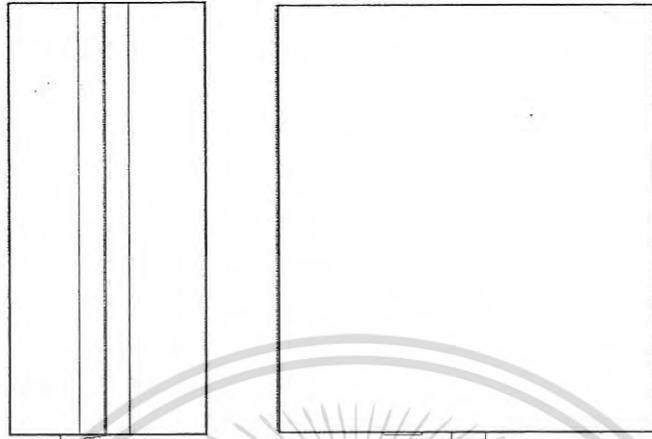
##### 1.2. ลักษณะโครงสร้างของชุด Relay



รูปที่ 2 ลักษณะโครงสร้างของชุดอุปกรณ์ Relay

เอกสารนี้เป็นเอกสารที่สงวนไว้สำหรับการใช้งานเพื่อการศึกษาเท่านั้น ไม่อนุญาตให้นำไปใช้ประโยชน์ด้านการค้า  
ไม่ว่ากรณีใดๆทั้งสิ้น อีกทั้งห้ามมิให้ดัดแปลงเนื้อหา และต้องอ้างอิงถึงเจ้าของเอกสารทุกครั้งที่มีการนำไปใช้

### 1.3. ลักษณะโครงสร้างภายนอกของระบบเซนเซอร์



รูปที่ 3 ลักษณะโครงสร้างภายนอกของระบบเซนเซอร์

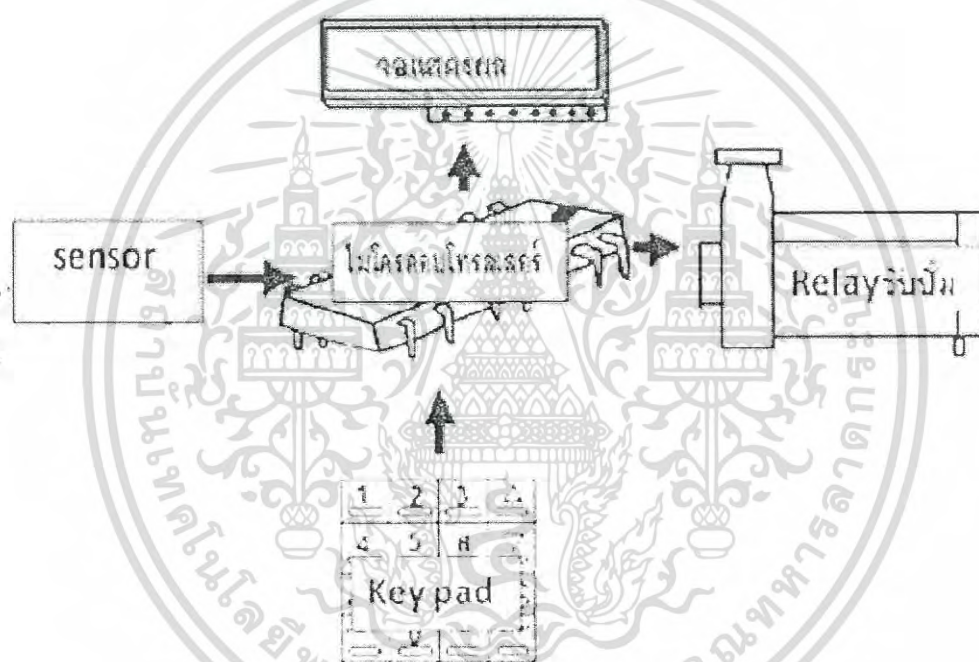


รูปที่ 4 ลักษณะโครงสร้างภายนอกของหัวเซนเซอร์วัดความชื้นดิน

เอกสารนี้เป็นเอกสารที่สงวนไว้สำหรับการใช้งานเพื่อการศึกษาเท่านั้น ไม่อนุญาตให้นำไปใช้ประโยชน์ด้านการค้า  
ไม่ว่ากรณีใดๆทั้งสิ้น อีกทั้งห้ามมิให้ตัดแปลงเนื้อหา และต้องอ้างอิงถึงเจ้าของเอกสารทุกครั้งที่มีการนำไปใช้

## 2. โครงสร้างลักษณะการทำงานของระบบ

ระบบโครงข่ายเซนเซอร์แบ่งการทำงานของระบบออกเป็นส่วนหลักๆ ประกอบไปด้วยส่วนเซนเซอร์ตรวจจับความชื้นในดินทำหน้าที่ตรวจจับค่าความต้านทานแล้วแปลงเป็นค่าทางไฟฟ้าหรือค่าความต่างศักย์ โดยจะส่งค่าเหล่านั้นไปยังไมโครคอนโทรลเลอร์หลัก, Keypad และ rotary switch ทำหน้าที่เลือกฟังก์ชันการทำงานของระบบและใช้กรอกค่าความชื้นเพื่อส่งการให้ระบบเริ่มและหยุดการทำงาน ชุดจอแสดงผล ทำหน้าที่แสดงผลการทำงานของโปรแกรมผ่านทางหน้าจอ และ Relay ทำหน้าที่รับคำสั่งจากส่วนควบคุมหลักเพื่อทำหน้าที่ขับเคลื่อนการทำงานของมอเตอร์ปั๊ม โดยควบคุมความชื้นให้เหมาะสมกับพืชได้ตลอดระยะเวลาการเพาะปลูก โดยโครงสร้างระบบอธิบายไว้ใน รูปที่ 5



รูปที่ 5 โครงสร้างการทำงานของระบบ

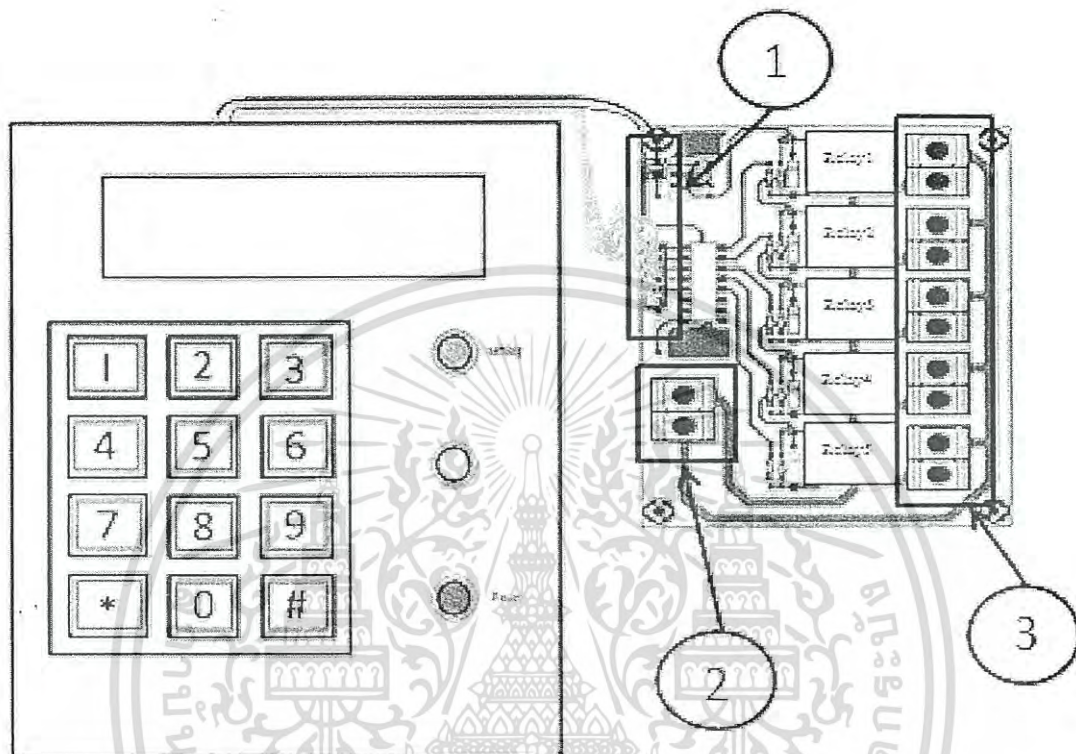
## 4. การติดตั้งระบบ

### 4.1 การติดตั้งระบบ Relay ขับปั๊มกับ อุปกรณ์ควบคุมหลัก

การติดตั้งระบบ Relay กับ อุปกรณ์ควบคุมหลัก เพื่อควบคุมการทำงานปิด - เปิดของปั๊มน้ำติดตั้งโดยการต่อสายควบคุมออกทางด้านบนของอุปกรณ์ควบคุมหลัก ซึ่งต่อพ่วงเข้าไปยังชุดอุปกรณ์ Relay หมายเลข 1 จากนั้นทำการต่อพวกไฟ 220 VAC เพื่อใช้ขับปั๊มเข้าที่ หมายเลข 2 แล้วทำการ

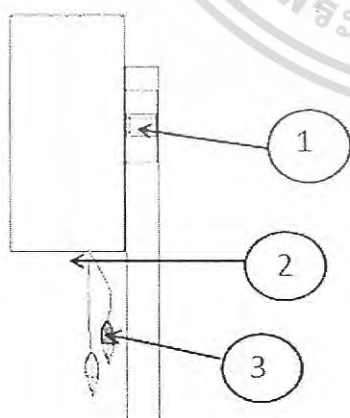
เอกสารนี้เป็นเอกสารที่สงวนไว้สำหรับการใช้งานเพื่อการศึกษาเท่านั้น ไม่อนุญาตให้นำไปใช้ประโยชน์ด้านการค้าไม่ว่ากรณีใดๆทั้งสิ้น อีกทั้งห้ามมิให้ตัดแปลงเนื้อหา และต้องอ้างอิงถึงเจ้าของเอกสารทุกครั้งที่มีการนำไปใช้

เลือก Relay ตัวที่ใช้งานแล้วต่อที่หมายเลข 3 ซึ่ง Relay ของระบบโครงข่ายเซนเซอร์จะมีทั้งหมด 5 ชุด โดยแต่ละชุดสามารถรองรับไฟได้คือ NO:10A 250VAC และ NC: 6A 250VAC ดังรูปที่ 6



รูปที่ 6 โครงสร้างการทำงานของระบบ

#### 4.2 การติดตั้งระบบเซนเซอร์วัดความชื้นดิน



รูปที่ 7 ชุดเซนเซอร์ยึดกับแท่งเหล็ก

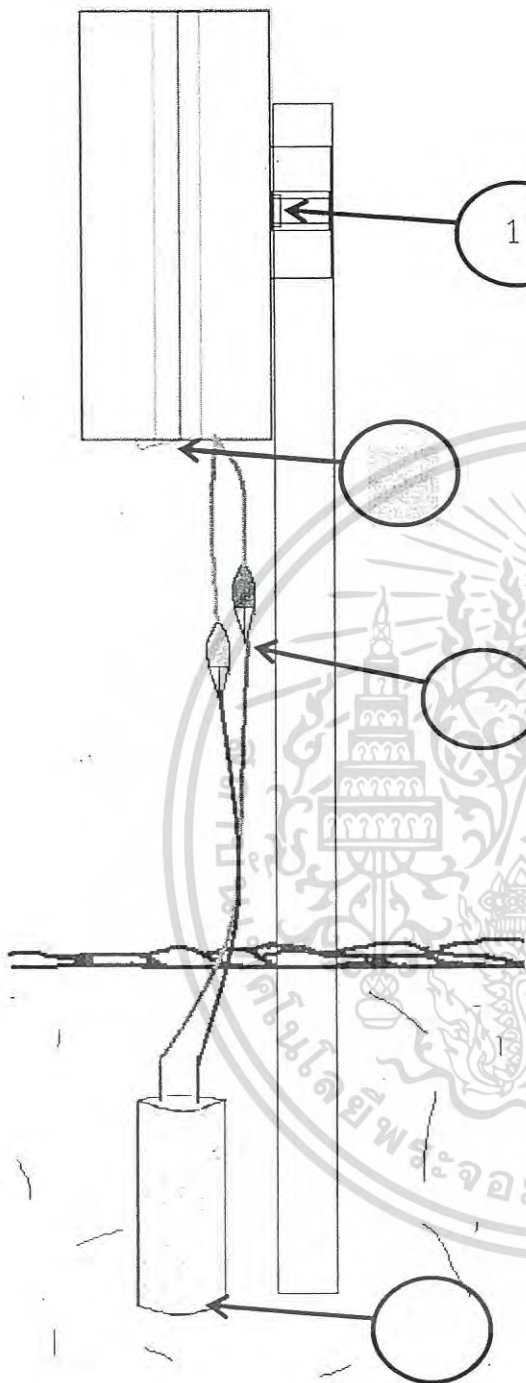
จากรูปที่ 7 แสดงการติดตั้งชุดเซนเซอร์ในแปลง โดยการยึดกล่องเซนเซอร์ ที่หมายเลข 1 จากนั้น คีบสายสัญญาณเซนเซอร์ที่หมายเลข 3 แล้วทำการเปิดสวิตซ์ ที่หมายเลข 2 เพื่อให้ระบบทำงาน

เอกสารนี้เป็นเอกสารที่สงวนไว้สำหรับการใช้งานเพื่อการศึกษาเท่านั้น ไม่อนุญาตให้นำไปใช้ประโยชน์ด้านการค้า ไม่ว่าจะกรณีใดๆทั้งสิ้น อีกทั้งห้ามมิให้ตัดแปลงเนื้อหา และต้องอ้างอิงถึงเจ้าของเอกสารทุกครั้งที่มีการนำไปใช้

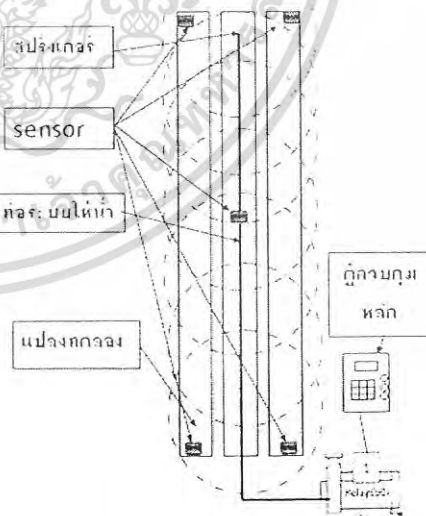
จากรูปที่ 8 จากนั้นทำการติดตั้งเซนเซอร์ ฝังลงไป  
 ในดินที่ความลึก 1 ใน 4 ของเขตรากพืชชนิดนั้นๆ  
 ดังหมายเลข 4 แล้วเชื่อมต่อสัญญาณที่ปลั๊กคียบ  
 หมายเลข 3 ซึ่งจำนวนชุดเซนเซอร์ที่ติดตั้งในแปลง  
 นั้นขึ้นอยู่กับขนาดของแปลง การกระจายตัวของ  
 ระบบน้ำและ ชนิดของระบบการให้น้ำ โดยระยะการ  
 ส่งสัญญาณ จากชุดควบคุมหลักถึงชุดเซนเซอร์นั้น  
 เท่ากับ 80 - 120 m หากระบบการให้น้ำมีการ  
 กระจายตัวที่ดีสามารถ ติดตั้งเซนเซอร์ 2 ชุด ในพื้นที่  
 ควบคุม 10 ไร่ได้ (แต่ไม่ควรติดตั้งเซนเซอร์เพียง 1  
 ชุด แม้ว่าพื้นที่จะขนาดเล็กเพียงใดก็ตาม ทั้งนี้เพราะ  
 ควรสำรองชุดเซนเซอร์ไว้เพื่อป้องกันการเกิดการ  
 ชัดข้องของระบบ)

4.2.1 การติดตั้งในระบบน้ำสปริงเกอร์

ควรติดตั้งในจุดที่สปริงเกอร์กระจายน้ำไปไม่ค่อย  
 ถึง เช่น หัวแปลงท้ายแปลงดังรูปที่ 9

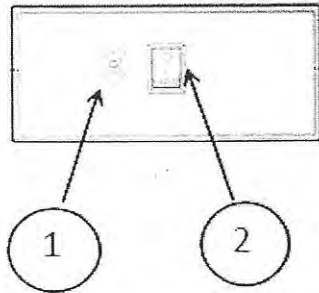


รูปที่ 8 การติดตั้งชุดเซนเซอร์



รูปที่ 9 การติดตั้งชุดเซนเซอร์

เอกสารนี้เป็นเอกสารที่สงวนไว้สำหรับการใช้งานเพื่อการศึกษาเท่านั้น ไม่อนุญาตให้นำไปใช้ประโยชน์ด้านการค้า  
 ไม่ว่ากรณีใดๆทั้งสิ้น อีกทั้งห้ามมิให้ตัดแปลงเนื้อหา และต้องอ้างอิงถึงเจ้าของเอกสารทุกครั้งที่มีการนำไปใช้

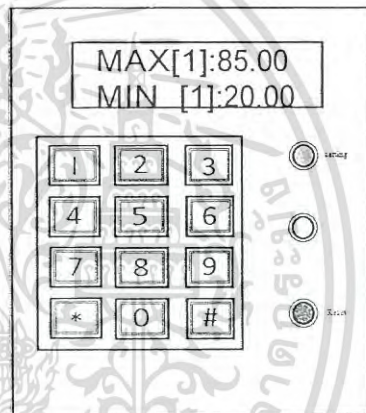
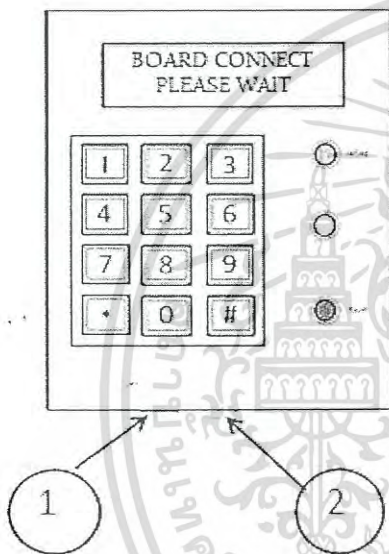


4.2.2 การติดตั้งในระบบน้ำหยด

ควรติดตั้งที่ปลายสายของระบบน้ำเพราะที่ปลายสายของระบบน้ำจะเป็นจุดที่น้ำไปถึงน้อยกว่าจุดอื่นๆ

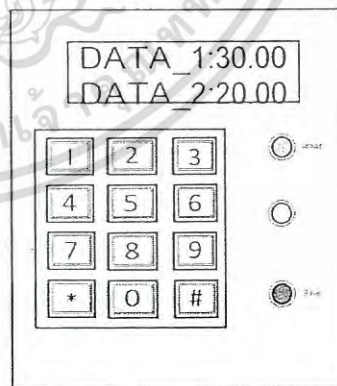
4.3.1 การปิดระบบโครงข่ายเซนเซอร์

จากรูปที่ 10 การเปิดใช้งานระบบเริ่มจากการต่อสายชาร์ตที่หมายเลข 1 เปิดระบบโครงข่ายเซนเซอร์ที่หมายเลข 2 ซึ่งระบบจะแสดงผลข้อความ "BOARD CONNECT PLEASE WAIT" เพื่อแสดงสถานการณ์เริ่มทำงานของระบบ



รูปที่ 11 โปรแกรมแสดงค่า max และ min

รูปที่ 10 แสดงขั้นตอนการเริ่มเปิดระบบของระบบ



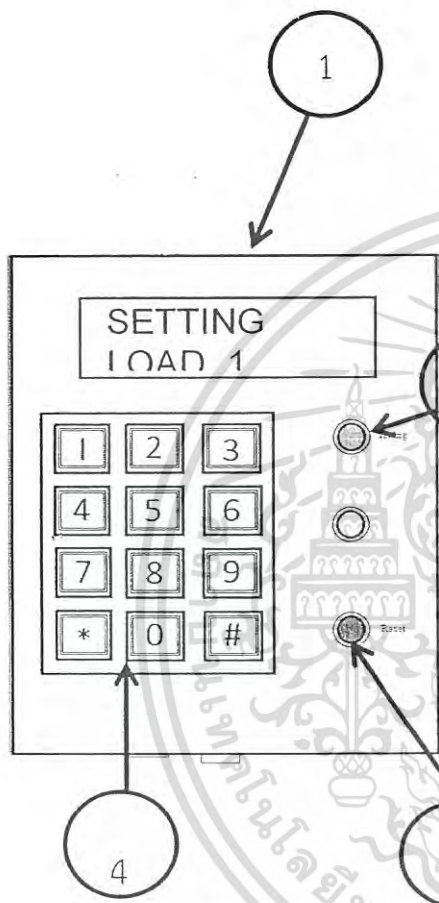
รูปที่ 12 หน้าจอปกติจะแสดงสถานะความชื้นของเซนเซอร์แต่ละตัว

เอกสารนี้เป็นเอกสารที่สงวนไว้สำหรับการใช้งานเพื่อการศึกษาเท่านั้น ไม่อนุญาตให้นำไปใช้ประโยชน์ด้านการค้าไม่ว่ากรณีใดๆทั้งสิ้น อีกทั้งห้ามมิให้ดัดแปลงเนื้อหา และต้องอ้างอิงถึงเจ้าของเอกสารทุกครั้งที่มีการนำไปใช้

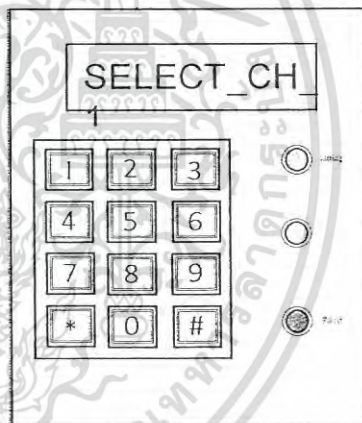
ระบบจะทำการรันแสดงค่า max และ min เดิมที เคยตั้งไว้ดังรูปที่ 11 จากนั้นโปรแกรมจะเข้าสู่ระบบ ทำงานปกติดังรูปที่ 12

4.3.2 การตั้งค่าแรงดึงความชื้นและจัดกลุ่มเซนเซอร์ กับชุด Relay ปุ่มของระบบโครงข่ายเซนเซอร์

จากรูปที่ 13 เริ่มจากการกดที่ปุ่ม “setting” หมายเลข 2 หน้าจอจะแสดงผล setting load 1 เพื่อให้ปรับค่า max และ min ของแรงดึง ความชื้นที่ต้องการให้ระบบทำงาน(สำหรับค่าแรงดึง ความชื้นของพืชแต่ละชนิดได้แนะนำไว้ที่ท้ายของ คู่มือ) เมื่อตั้งค่า max และ min ของ relay ตัวที่ 1 แล้วให้กด ตกลง หรือ “#”



รูปที่ 13 แสดงขั้นตอนการเริ่มเปิดระบบของ ระบบ



รูปที่ 14 แสดงการตั้งค่าจับกลุ่มระหว่างชุด เซนเซอร์กับชุดปุ่ม

หมายเหตุ

ปุ่ม # = “Enter” หรือ “ตกลง”

ปุ่ม \* = “.” หรือ “จุด”

เมื่อตั้งค่า max และ min แล้วขั้นถัดมาคือ การ จับชุด เซนเซอร์เข้ากับ Relay ตัวที่ 1 แล้วกดตกลง “#” เพื่อเข้าสู่ตั้งค่าระบบ Relay ปุ่มตัวถัดไป ซึ่งมี 5 ตัว (หากชุด Relay ตัวใดยังไม่ได้ใช้งานให้กด ตกลง หรือ “#” จนถึงหน้าจอปกติ)

5. ตารางแสดงระดับความเครียดเมตริกที่สมควรให้น้ำชลประทานกับพืชชนิดต่าง ๆ ที่ปลูกในดินลึกและระบายน้ำได้ดีเพื่อให้ได้ผลผลิตสูงสุด

ชนิดพืช	ความเครียดเมตริก, บาร์
ถั่วเมล็ดแบน (beans)	0.75 - 2.00
กะหล่ำดอก	0.60 - 0.70
ถั่วเมล็ดกลม (peas)	0.30 - 0.50
เซเลอรี (celery)	0.20 - 0.30
ข้าวโพดหวาน	0.50 - 1.00
หอมใหญ่ - ระยะแรกของการเติบโต	- 0.55
- ระยะกำลังมีหัว	0.55 - 0.65
มันฝรั่ง	0.30 - 0.50
แครอท	0.55 - 0.65
บล็อกโคลี่ - ระยะแรกของการเติบโต	0.45 - 0.55
- หลังจากแตกตาดอก	0.60 - 0.70
กะหล่ำปลี	0.60 - 0.70
สั้ม	0.20 - 1.00
ไม้ผลพลัดใบ	0.50 - 0.80
องุ่น - ระยะแรกของการเติบโต	0.40 - 0.50
- ระยะเมื่อโตเต็มที่	1.00
สตรอเบอร์รี่	0.20 - 0.30
แคนตาลูป (cantaloupe)	0.35 - 0.40

เอกสารนี้เป็นเอกสารที่สงวนไว้สำหรับการใช้งานเพื่อการศึกษาเท่านั้น ไม่อนุญาตให้นำไปใช้ประโยชน์ด้านการค้า  
ไม่ว่ากรณีใดๆทั้งสิ้น อีกทั้งห้ามมิให้ตัดแปลงเนื้อหา และต้องอ้างอิงถึงเจ้าของเอกสารทุกครั้งที่มีการนำไปใช้

มะเขือเทศ	0.80 - 1.50
กล้วย	0.3 - 1.50
ข้าวโพด - ระยะเติบโตทางต้นและใบ	0.5
-ระยะแก่	8.00 - 12.00
ธัญพืชเมล็ดเล็ก - ระยะเติบโตทางต้นและใบ	0.40 - 0.50
- ระยะแก่	8.00 - 12.00

ที่มา : [10]

หมายเหตุ: หากใช้ในพืชที่ยังไม่มีผลการวิจัยดังในตารางแนะนำให้ใช้ตารางของพืชที่ชนิดใกล้เคียงกันหรือแล้วแต่วิจารณ์ของผู้ใช้



เอกสารนี้เป็นเอกสารที่สงวนไว้สำหรับการใช้งานเพื่อการศึกษาเท่านั้น ไม่อนุญาตให้นำไปใช้ประโยชน์ด้านการค้า  
ไม่ว่ากรณีใดๆทั้งสิ้น อีกทั้งห้ามมิให้ตัดแปลงเนื้อหา และต้องอ้างอิงถึงเจ้าของเอกสารทุกครั้งที่มีการนำไปใช้

## ประวัติผู้เขียน

ชื่อ - นามสกุล นายพรนรินทร์ ต้นกระหาด  
 วันเดือนปีเกิด 23 พฤศจิกายน 2532 ที่นครราชสีมา  
 69/8 หมู่บ้านบุหว่า  
 ตำบลสระว่านพระยา อำเภอครบุรี นครราชสีมา 30250 โทร.081-0724282  
 ประวัติการศึกษา 2544 จบประถมศึกษา โรงเรียนบุหว่าสามัคคี ตำบลสระว่านพระยา อำเภอครบุรี  
 นครราชสีมา  
 2550 จบมัธยมศึกษาตอนปลาย โรงเรียนครบุรี อำเภอครบุรี นครราชสีมา  
 2555 วิศวกรรมศาสตรบัณฑิต สาขาวิชาวิศวกรรมเครื่องกล  
 หลักสูตรวิศวกรรมเกษตร สถาบันเทคโนโลยีพระจอมเกล้าเจ้าคุณทหาร  
 ลาดกระบัง  
 ความชำนาญเฉพาะด้าน 1) ระบบโปรแกรมออกแบบ  
 2) การออกแบบระบบควบคุมการให้น้ำพืชอัตโนมัติแบบไร้สาย  
 ประสบการณ์การทำงานและผลงานวิจัย  
 พ.ศ.2554 - 2555 ออกแบบระบบควบคุมการให้น้ำพืชอัตโนมัติแบบไร้สาย



เอกสารนี้เป็นเอกสารที่สงวนไว้สำหรับการใช้งานเพื่อการศึกษาเท่านั้น ไม่อนุญาตให้นำไปใช้ประโยชน์ด้านการค้า  
 ไม่ว่ากรณีใดๆทั้งสิ้น อีกทั้งห้ามมิให้ตัดแปลงเนื้อหา และต้องอ้างอิงถึงเจ้าของเอกสารทุกครั้งที่มีการนำไปใช้

# TSAE

## 2013

การประชุมวิชาการ  
สมาคมวิศวกรระบบเกษตรแห่งประเทศไทย  
ครั้งที่ 14 และระดับนานาชาติ ครั้งที่ 6  
The 14<sup>th</sup> TSAE National Conference and  
the 6<sup>th</sup> TSAE International Conference  
(TSAE 2013)

โรงแรมเซ็นทาราแกรนด์ เซ็นทรัล พลาซ่า  
อิมพีเรียล ปาร์ค กรุงเทพฯ  
1-4 มกราคม 2556



เอกสารนี้เป็นเอกสารที่สงวนไว้สำหรับการใช้งานเพื่อการศึกษาเท่านั้น ไม่อนุญาตให้นำไปใช้ประโยชน์ด้านการค้า  
ไม่ว่ากรณีใดๆทั้งสิ้น อีกทั้งห้ามมิให้ตัดแปลงเนื้อหา และต้องอ้างอิงถึงเจ้าของเอกสารทุกครั้งที่มีการนำไปใช้



TEA-05	ระบบเก็บพลังงานไฟฟ้าด้วยโซลาร์เซลล์แบบติดตามความเข้มแสง	388
TEA-06	การจัดการพลังงานในกระบวนการผลิตของโรงงานอุตสาหกรรมอาหารทะเลแช่เยือกแข็ง	394
TEA-07	การใช้ประโยชน์น้ำมันสกัดจากเปลือกส้มเพื่อเป็นน้ำมันไบโอดีเซล	399
TEA-08	การทดสอบและประเมินผลถังหั่นลมแก๊สตั้งเพื่อการสูบน้ำ	407
TEA-09	การกำหนดค่าตัวแปรที่เหมาะสมของอุณหภูมิการเผาไหม้ ในระบบการผลิตไฟฟ้าจากชีวมวล โดยวิธีออกแบบการทดลอง	410
TET-01	สารตกค้างในผักที่วางจำหน่ายในต.หนองกอมเกาะอ.เมืองจ.หนองคาย	417
TET-02	การวิจัยเตาผลิตถ่านและน้ำส้มควันไม้จากมังคุดที่เหลือทิ้ง	421
TETA-01	ต้นแบบเครื่องวัดเปอร์เซ็นต์เนื้อยาง	425
TETA-02	การสร้างเครื่องต้นแบบเพื่อตรวจวัดความชื้นของลำไยอบแห้งแบบมีเปลือก	429
TETA-05	โครงข่ายเซนเซอร์ความชื้นในดินสำหรับควบคุมการให้น้ำพืช	430
TETA-07	การพัฒนาเครื่องมือวัดแรงแบบสามแนวแกนสำหรับการต่อพ่วงสามจุด ของรถแทรกเตอร์เกษตรขนาดเล็ก	436
TFE-02	การลดความสูญเสียวัตถุดิบในขั้นตอนการแช่และบรรจุปลา	443
TFE-03	ศึกษาการผลิตน้ำมันมะพร้าวบริสุทธิ์ด้วยวิธีการแช่เยือกแข็ง	448
TFE-04	จลนพลศาสตร์การเปลี่ยนแปลงสีของใบกะเพราในระหว่างการอบแห้งด้วยคลื่นไมโครเวฟ	452
TFE-05	แบบจำลองการอบแห้งแบบชั้นบางของสาหร่ายเตาด้วยคลื่นไมโครเวฟ	460
TFE-06	อิทธิพลของอุณหภูมิอบแห้งและระยะเวลาอบแห้งที่มีต่อคุณภาพของแป้งข้าวกึ่งอก	469
TFE-07	การศึกษาผลของสภาวะในกระบวนการเจลาตินในชั้นและเวลาการตัดกิ่งสายไซโมเลกุลสตาร์ชต่อสมบัติของสตาร์ชด้านทานการย่อยจากกล้วยน้ำว้า (MUSA SAPIENTUM LINN.)	477
TFE-08	การทำแห้งแป้งบุกแบบสองขั้นตอนโดยใช้เทคนิคการปั่นเหวี่ยงและการอบแห้งแบบฟลูอิดไดซ์เบด	485
TFE-11	การพัฒนาตู้อบสำหรับกระบวนการอบข้าวเหนียวโดยการใช้หัวเผาก๊าซอินฟราเรด	491
TFE-12	อิทธิพลของการเขย่าและความหนืดของของเหลวที่มีต่อการแทรกผ่านความร้อน ในกระป๋องระหว่างการฆ่าเชื้อ	497
TFE-13	การศึกษาเวลาฆ่าเชื้อและเนื้อสัมผัสของส่วนประกอบหลักของแกงเขียวหวานไก่บรรจุกระป๋องภายใต้สภาวะเขย่าระหว่างการให้ความร้อน	503
TFE-14	การศึกษาการอบแห้งไส้ข้าวกึ่งอกถึงสำเร็จรูปด้วยเครื่องอบแห้งแบบลูกกลิ้ง	509
TFE-16	การศึกษาการแทรกผ่านความร้อนในน้ำกะทิกระป๋องภายใต้สภาวะการเขย่าแบบไม่ต่อเนื่อง	513
TFE-20	จลนพลศาสตร์การอบแห้งปลาข้าวสาร ด้วยลมร้อนและรังสีอินฟราเรด	519
TFE-21	การผลิตอาหารเพื่อสุขภาพจากถั่ว 5 สีสำหรับผู้สูงอายุด้วยกรรมวิธีเอ็กซ์ทรูชัน	526
TFE-22	การผลิตเครื่องดื่มผงจากถั่วเหลืองและงาดำที่ผ่านการเพาะออก	533
TFE-24	ผลกระทบของอุณหภูมิต่อการเปลี่ยนแปลงคุณภาพสีของเหง้าขมิ้นชันแผ่นในระหว่างการอบแห้งด้วยลมร้อน	539
TFE-28	การออกแบบและพัฒนาเครื่องบรรจุขึ้นเนื้ออาหารลงกระป๋องความเร็วสูง	546
TFE-29	การอบแห้งเนื้อไก่ด้วยลมร้อนและรังสีอินฟราเรด	552
TFE-30	การอบแห้งใบเตยและตะไคร้เพื่อผลิตเป็นชาขงสมุนไพร ด้วยแหล่งพลังงานความร้อนหลายรูปแบบ	558

เอกสารนี้เป็นเอกสารที่สงวนไว้สำหรับการใช้งานเพื่อการศึกษาเท่านั้น ไม่อนุญาตให้นำไปใช้ประโยชน์ด้านการค้า ไม่ว่าจะกรณีใดๆทั้งสิ้น อีกทั้งห้ามมิให้ตัดแปลงเนื้อหา และต้องอ้างอิงถึงเจ้าของเอกสารทุกครั้งที่มีการนำไปใช้



## โครงข่ายเซนเซอร์ความชื้นในดินสำหรับควบคุมการให้น้ำพืช

พรนรินทร์ ดันกระหาด และ ทรงวุฒิ แสงจันทร์  
หลักสูตรวิศวกรรมเกษตร สาขาวิชาวิศวกรรมเครื่องกล คณะวิศวกรรมศาสตร์  
สถาบันเทคโนโลยีพระจอมเกล้าเจ้าคุณทหารลาดกระบัง  
เขตลาดกระบัง กรุงเทพมหานคร 10520

ผู้เขียนติดต่อ: พรนรินทร์ ดันกระหาด E-mail: pop16491@hotmail.com

### บทคัดย่อ

การศึกษานี้มีวัตถุประสงค์เพื่อออกแบบโครงข่ายเซนเซอร์สำหรับตรวจจับความชื้นในดินเพื่อควบคุมการให้น้ำพืช โดยใช้ไมโครคอนโทรลเลอร์ในการประมวลผลความชื้นในดินและควบคุมการให้น้ำอัตโนมัติซึ่งสามารถปรับตั้งค่าความชื้นที่ต้องการได้ตามความต้องการของพืช โดยระบบมีส่วนประกอบ 2 ส่วน คือ ส่วนควบคุมการทำงานหลักและส่วนตรวจวัดความชื้นซึ่งทำงานโดยระบบไร้สาย งานวิจัยนี้ได้ทำการทดลองใช้เซนเซอร์ตรวจจับความชื้นในดินเพื่อสร้างแบบจำลองความสัมพันธ์ระหว่างค่าความชื้นของดินกับค่าต่างศักย์ซึ่งได้จากกระแสไฟฟ้าที่ส่งไปยังเซนเซอร์โดยที่กระแสไฟฟ้าจะไหลกลับมากน้อยนั้นขึ้นอยู่กับความชื้นของดินไมโครคอนโทรลเลอร์จะทำหน้าที่รับค่าความต่างศักย์ ( $V_{out}$ ) จากกระแสไฟฟ้า DC ที่ส่งออกไปเพื่อเข้าสู่กระบวนการ ADC Conversion ซึ่งจะทำการแปลงค่าจาก analog เป็น digital และบันทึกค่าไว้ในไมโครคอนโทรลเลอร์ ทั้งนี้เพื่อนำข้อมูลไปใช้อ้างอิงสำหรับสร้างสมการแบบจำลองความสัมพันธ์ในการเขียนโปรแกรมควบคุม ซึ่งจะเป็นการสร้างระบบโครงข่ายที่สามารถทำงานประสานกันได้อย่างมีประสิทธิภาพ และสามารถประเมินขนาดพื้นที่ที่เหมาะสมสำหรับจำนวนเซนเซอร์ได้ และได้ทำการศึกษาตัวแปรอื่นๆ ที่อาจมีผลต่อการตรวจจับความชื้น เช่น อุณหภูมิของดิน ชนิดของดิน และระยะห่างของเซนเซอร์ตรวจจับกับส่วนควบคุมหลัก

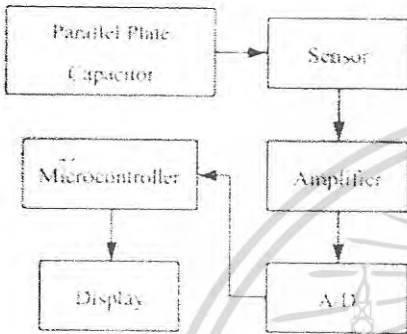
คำสำคัญ: โครงข่ายเซนเซอร์, ระบบไร้สาย, ความชื้นดิน

ดังนั้น ถ้าโยสด 1,000 g / ถ้าโยแห้ง 361 g

ถ้าถ้าโยสด  $A$  g / ถ้าโยแห้ง  $B$  g แล้ว  $B = \frac{A \times 361}{1,000}$  g

คำนวณหาเปอร์เซ็นต์ความชื้นที่น้ำหนักต่างๆ ใช้สูตรการประมาณค่าเชิงเส้นแบบลากรองจ์ [2]

4 ออกแบบเครื่องตรวจวัดความชื้นของลำโยบแห้ง ดังภาพที่ 2 วงจรตรวจวัดใช้ไอซี CAV424 (converter C to V) แปลงค่าความจุไฟฟ้าเป็นแรงดัน ให้เอาท์พุทเป็น differential voltage การประมวลผลควบคุมโดยไมโครคอนโทรลเลอร์ T89C51AC2 แปลงสัญญาณอนาล็อกเป็นดิจิทัล แสดงผลทางแอลอีดีเจ็ดส่วน



ภาพที่ 2 การออกแบบเครื่องตรวจวัดความชื้นของลำโยบแห้ง

**ผลการทดลอง**

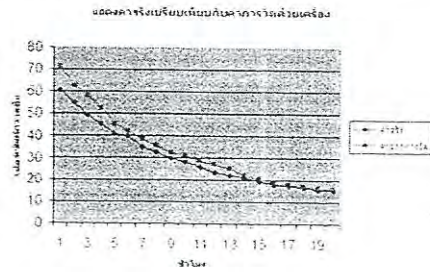
การวัดความชื้นของลำโยกับความจุไฟฟ้า ดังภาพที่ 3 และ ความชื้นของลำโยกับแรงดันไฟฟ้าดังภาพที่ 4



ภาพที่ 3 ความชื้นของลำโยกับความจุไฟฟ้า

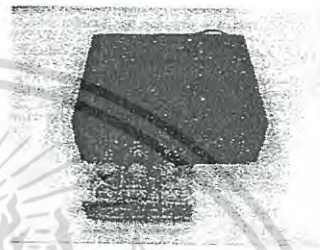
ภาพที่ 4 ความชื้นของลำโยกับแรงดันไฟฟ้า

ทดสอบค่าจริงกับการวัดด้วยเครื่องที่ออกแบบ ดังภาพที่ 5 และแสดงเครื่องวัดที่ได้ออกแบบดังภาพที่ 6



ภาพที่ 5 ทดสอบค่าจริงกับ

การวัดด้วยเครื่องที่ออกแบบ



ภาพที่ 6 เครื่องวัด

**สรุป**

จากความสัมพันธ์ของความจุไฟฟ้า และแรงดันไฟฟ้ากับความชื้นของลำโยที่อบ นำข้อมูลที่ได้มาออกแบบเครื่องวัดผลการทดสอบค่าจริงกับค่าการวัดด้วยเครื่องที่ออกแบบผลที่ได้มีความคลาดเคลื่อนระหว่าง 1.48-19.03%

**เอกสารอ้างอิง**

- [1] จดหมายข่าวผลิใบข่าวใบงานการวิจัยและพัฒนาการเกษตรกรมวิชาการเกษตร, การผลิตลำโย
- [2] R.J.Hosking, G.C.Joyce and J.C.Turner. First Steps In Numerical Analysis, 2nd

TETA-05

**โครงการขายนเซอร์ความชื้นในดินสำหรับควบคุมการให้น้ำพืช**

พรนรินทร์ ตันกระหาต และ ทรงวุฒิ แสงจันทร์  
หลักสูตรวิศวกรรมเกษตร สาขาวิชาวิศวกรรมเครื่องกล คณะวิศวกรรมศาสตร์  
สถาบันเทคโนโลยีพระจอมเกล้าเจ้าคุณทหารลาดกระบัง  
เขตลาดกระบัง กรุงเทพฯ 10520



ผู้เขียนติดต่อ: พรนรินทร์ ต้นกระหาด E-mail: pop16491@hotmail.com

### บทคัดย่อ

การศึกษาวิจัยนี้มีวัตถุประสงค์เพื่อออกแบบโครงข่ายเซนเซอร์สำหรับตรวจจับความชื้นในดินเพื่อควบคุมการให้น้ำพืช โดยใช้ไมโครคอนโทรลเลอร์ในการประมวลผลความชื้นในดินและควบคุมการให้น้ำอัตโนมัติซึ่งสามารถปรับตั้งค่าความชื้นที่ต้องการได้ตามความต้องการของพืช โดยระบบมีส่วนประกอบ 2 ส่วน คือ ส่วนควบคุมการทำงานหลักและส่วนตรวจวัดความชื้น ซึ่งทำงานโดยระบบไร้สาย งานวิจัยนี้ได้ทำการทดลองใช้เซนเซอร์ตรวจจับความชื้นในดินเพื่อสร้างแบบจำลองความสัมพันธ์ระหว่างค่าความชื้นของดินกับค่าต่างศักย์ซึ่งได้จากกระแสไฟฟ้าที่ส่งไปยังเซนเซอร์โดยที่กระแสไฟฟ้าจะไหลกลับมากน้อยนั้นขึ้นอยู่กับความชื้นของดินไมโครคอนโทรลเลอร์จะทำหน้าที่รับค่าความต่างศักย์( $V_{out}$ )จากกระแสไฟฟ้า DC ที่ส่งออกไปเพื่อเข้าสู่กระบวนการ ADC Conversion ซึ่งจะทำการแปลงค่าจาก analog เป็น digital และบันทึกค่าไว้ในไมโครคอนโทรลเลอร์ ทั้งนี้เพื่อนำข้อมูลไปใช้อ้างอิงสำหรับสร้างสมการแบบจำลองความสัมพันธ์ในการเขียนโปรแกรมควบคุม ซึ่งจะเป็นการสร้างระบบโครงข่ายที่สามารถทำงานประสานกันได้อย่างมีประสิทธิภาพ และสามารถประเมินขนาดพื้นที่ที่เหมาะสมสำหรับจำนวนเซนเซอร์ได้ และได้ทำการศึกษาตัวแปรอื่นๆ ที่อาจมีผลต่อการตรวจจับความชื้น เช่น อุณหภูมิของดิน ชนิดของดิน และระยะห่างของเซนเซอร์ตรวจจับกับส่วนควบคุมหลัก

คำสำคัญ: โครงข่ายเซนเซอร์, ระบบไร้สาย, ความชื้นดิน

### 1. บทนำ

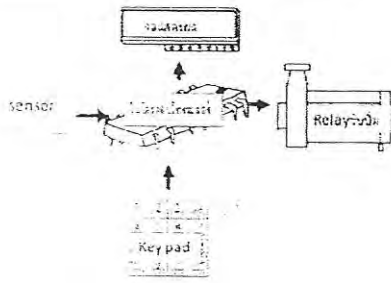
ในปัจจุบันโลกได้เปลี่ยนแปลงไปมากประชากรของโลกเพิ่มมากขึ้น (7,000 ล้านคน, ปี 2012) [1] ซึ่งขึ้นอย่างต่องเนื่องทำให้มีความต้องการทรัพยากรทางด้านต่างๆ มากขึ้น โดยเฉพาะทางด้านอาหาร ซึ่งเป็นผลที่ได้จากการเกษตร แต่แรงงานทางด้านเกษตรมีจำนวนลดลงมาก อีกทั้งพื้นที่ทำการเกษตรนั้นมีลดลง [2] เป็นผลมาจากความขยายตัวของเมืองและประชากรซึ่งไม่สอดคล้องกัน ดังนั้นเทคโนโลยีที่ทันสมัยจึงมีบทบาทสำคัญต่อการเกษตรในยุคปัจจุบัน

ปัจจัยหลักที่มีผลต่อการเจริญเติบโตของพืชได้แก่ น้ำ ปุ๋ย แร่ธาตุต่างๆ และ อุณหภูมิที่พอเหมาะและอากาศ (CO<sub>2</sub>) ซึ่งพืชแต่ละชนิดต้องการปัจจัยเหล่านี้แตกต่างกันขึ้นอยู่กับชนิดและอายุของพืช [3] ถ้าหากพืชได้รับปัจจัยดังกล่าวอย่างพอเหมาะและสม่ำเสมอไม่มากไม่น้อยเกินไปพืชก็จะให้ผลผลิตที่มีคุณภาพและได้ปริมาณที่มากขึ้น แต่ถ้าหากได้รับปัจจัยดังกล่าวไม่เพียงพอหรือมากเกินไปก็จะทำให้พืชให้ผลผลิตได้ไม่เท่าที่ควร ดังนั้นหากต้องการผลผลิตที่มีคุณภาพและปริมาณมากเราควรจะควบคุมปัจจัยเหล่านี้ให้พอเหมาะ โดยใช้เทคโนโลยีที่มีในปัจจุบันมาเป็นตัวควบคุมปัจจัย ซึ่งโครงการวิจัยนี้จะเริ่มศึกษาวิจัยระบบการให้น้ำพืชที่สามารถรับความชื้นของน้ำในดินที่ให้แก่พืชได้ตลอดเวลาสะดวกต่อการให้น้ำ [4,5] และมีความแม่นยำ อีกทั้งยังประหยัดแรงงานในการควบคุมระบบ ทำให้เกษตรกรมีเวลาในการดูแลพืชมากขึ้น ทำให้ผลผลิตที่ได้มีคุณภาพและได้ปริมาณสูงเหมาะสมกับสถานการณ์ในปัจจุบัน โดยระบบนี้จะมีส่วนประกอบหลักคือ เซนเซอร์วัดความชื้นดิน ตัวส่งสัญญาณ

และ Microcontroller เพื่อประมวลผลและสั่งการปั้มน้ำอัตโนมัติ โดยจะทำงานประสานกันอย่างเป็นระบบโดยมีวัตถุประสงค์เพื่อออกแบบระบบการควบคุมการให้น้ำพืชอัตโนมัติแบบไร้สายเป็นโครงข่ายสัญญาณ ที่มีประสิทธิภาพและเหมาะสมกับลักษณะการใช้งานที่สภาวะต่างๆ

### 2. โครงสร้างของระบบ

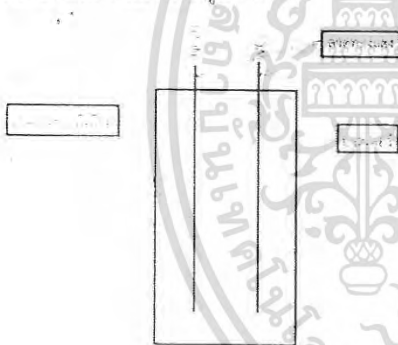
ระบบโครงข่ายเซนเซอร์แบ่งการทำงานของระบบออกเป็นส่วนใหญ่ๆ ประกอบไปด้วยส่วนเซนเซอร์ตรวจจับความชื้นในดินทำหน้าที่ตรวจจับค่าความชื้นแล้วแปลงเป็นค่าทางไฟฟ้าหรือค่าความต่างศักย์ โดยจะส่งค่าเหล่านั้นไปยังไมโครคอนโทรลเลอร์หลัก, Keypad และ rotary switch ทำหน้าที่เลือกฟังก์ชันการทำงานของระบบและใช้กรอกค่าความชื้นเพื่อส่งการให้ระบบเริ่มและหยุดการทำงาน ชุดจอแสดงผล ทำหน้าที่แสดงผลการทำงานของโปรแกรมผ่านทางหน้าจอ และ Relay ทำหน้าที่รับคำสั่งจากส่วนควบคุมหลักเพื่อทำหน้าที่ขับเคลื่อนการทำงานของมอเตอร์ปั้มน้ำ โดยเมื่อทำการวิจัยสำเร็จระบบการโครงข่ายเซนเซอร์จะสามารถให้น้ำโดยควบคุมความชื้นให้เหมาะสมกับพืชได้ตลอดระยะเวลาการเพาะปลูก โดยโครงสร้างระบบอธิบายไว้ในรูปที่ 1



รูปที่ 1 โครงสร้างการทำงานของอุปกรณ์ในระบบ

## 2.1 เซนเซอร์ตรวจจับความชื้นดิน

ลักษณะของเซนเซอร์ตรวจวัดความชื้นในดินสำหรับวิจัยนี้ใช้หลอดทองแดงหุ้มด้วยพลาสติกเพื่อติดตั้งวัดความชื้นจากดินมาใช้ตรวจสอบความชื้นซึ่งแสดงใน รูปที่ 2 โดยใช้หลักการตรวจจับค่าความต้านทานที่เปลี่ยนแปลงไปจากค่าความชื้นที่เปลี่ยนโดยใช้ optoisolator ในการจ่ายไฟไปยังเซนเซอร์เพื่อตรวจจับความต้านทานโดยอาศัยการวัดแรงดันไฟฟ้า 0-5 โวลต์ซึ่งไอซีเบอร์ ATMEGA32 เป็นไอซี analog to digital ซึ่งนำค่าที่ได้นั้นไป สอบเทียบเพื่อหาสมการแนวโน้มแล้วนำไปเขียนโปรแกรมเพื่อประมวลผลความชื้นดินต่อไป ดังแสดงใน รูปที่ 3



รูปที่ 2 เซนเซอร์ตรวจจับ ความชื้นดิน

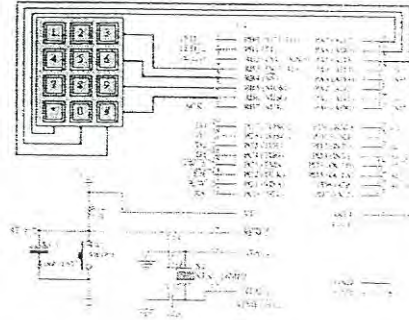


รูปที่ 3 วงจรตรวจวัดความชื้นดิน

## 2.2 Key pad

Module keypad เป็นชุด Matrix Keyboard 4x3 โดยจะมี PIN ใช้ต่อกับไมโครคอนโทรลเลอร์ทั้งหมด 7 PIN โดยจะเป็น Input เพื่อให้ไมโครคอนโทรลเลอร์อ่านค่ารหัสของคีย์ที่ถูกกด เพื่ออ่านค่า max และ min ของความชื้นและ

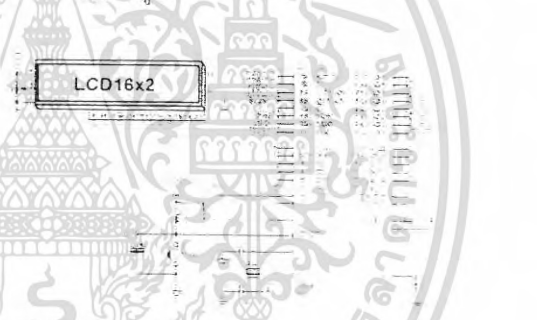
จับ relay กับ sensor ซึ่งถูกบ่อนค่าลงสู่โปรแกรมโดยผู้ใช้งาน [6] โดยซึ่งวงจรแสดงดังรูปที่ 4



รูปที่ 4 วงจร key pad

## 2.3 ชุดจอแสดงผล

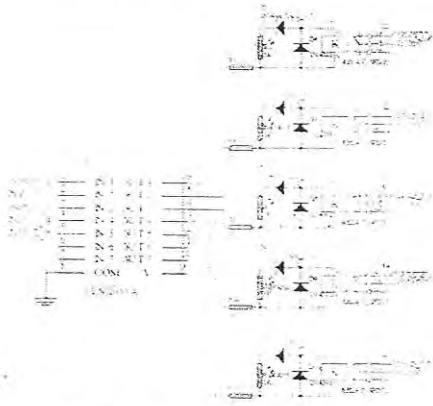
การทำงานในภาคนี้จะแสดงผลการทำงานของโปรแกรมตลอดการทำงานตั้งแต่เซตค่าความชื้นจนถึงรับแสดงค่าความชื้นของเซนเซอร์แต่ละตัวซึ่งแสดงผลออกทางหน้าจอ LCD 16x2 ในภาคนี้นี้จะแสดงผลข้อมูลตามอักษรในตาราง ascii ดังรูปที่ 5



รูปที่ 5 วงจรแสดงผลของ LCD

## 2.4 ชุดวงจรจับ RELAY

ชุดวงจรจับRELAY ใช้ IC เบอร์ ULM2003 A เป็น IC ขับโหลด RELAY ซึ่งจะคอยรับการสั่งการจากโปรแกรมควบคุมหลักซึ่งควบคุมโดย IC เบอร์ ATMEGA32A ซึ่งวงจรแสดงดังรูปที่ 6



รูปที่ 6 วงจรขับ Relay

## 2.5 ชุดประมวลผล (Microcontroller)

ชุดประมวลผลหลักใช้ IC เบอร์ ATMEGA32 เป็นตัวประมวลผลหลักซึ่งเขียนโปรแกรมโดยใช้โปรแกรม Code Vision AVR และ Burn ลงในไมโครคอนโทรเลอร์ AVR-ATMEGA32 ซึ่งวงจรการทดลองแสดงดังรูปที่ 7 ส่วนชุดประมวลผลเซนเซอร์ใช้ AVR-ATMEGA8 ในการประมวลผลซึ่งแสดงดังรูปที่ 8

รูปที่ 7 วงจรชุดประมวลผลหลัก

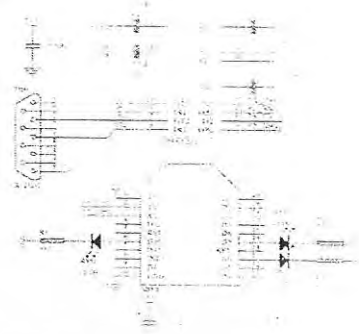


รูปที่ 8 วงจรประมวลผลเซนเซอร์

## 2.6 Module รับ-ส่งสัญญาณ ( X-Bee Series 1)

X-bee เป็น อุปกรณ์ ที่มี Microcontroller และ RF IC อยู่ภายใน ทำหน้าที่เป็นอุปกรณ์ transceiver รับ-ส่งสัญญาณแบบ Half Duplex ย่าน

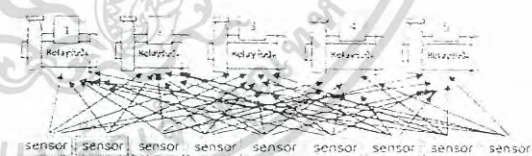
ความถี่ 2.4 Ghz มีการจัดการโดยใช้พลังงานต่ำ มี interface ที่รับและส่งข้อมูลกับ X-bee เป็น UART ดังรูปที่ 9



รูปที่ 9 วงจรรับ-ส่งสัญญาณ

## 3.หลักการทำงานของระบบ

เริ่มจากการติดตั้งเซนเซอร์ในแปลงปลูกแล้วเปิดการทำงานของระบบโครงข่ายเซนเซอร์ จากนั้นเช็คค่าความขึ้น max และ min ของ Relay หรือปุ่มแต่ละตัวที่ต้องการที่ต้องการให้ระบบทำงานจากนั้นกด Enter จากนั้นโปรแกรมจะให้ผู้ใช้งานเลือกจับคู่ระหว่างเซนเซอร์ กับ Relay ซึ่งสามารถเลือกใช้ได้ตามการใช้การโดยระบบจะทำงานสั่งให้ปั๊มทำงานตามความขึ้นของเซนเซอร์ ตัวที่อ่านค่าได้น้อยที่สุดซึ่งความขึ้นทั้งหมดของเซนเซอร์ แต่ตัวค่าจะถูกส่งมาแสดงค่าที่หน้าจอ LCD หลังจากปั๊มทำงานจ่ายน้ำไปยังระบบจนพื้นที่แปลงปลูกนั้นมีความชื้นเพียงพอระบบจึงจะตัดการทำงาน โดยระบบการรับคู่ เซนเซอร์และ relay ปุ่มจะแสดงไว้ดังรูปที่ 10



รูปที่ 10 โครงสร้างการจับคู่ระหว่าง relay ปุ่มกับ เซนเซอร์

## 4.วิธีการทดลอง

การทดลองจะแบ่งออกเป็น 4 ส่วนคือ

### 4.1 การทดลองที่ 1 การหาขนาดเหมาะสมและเปรียบเทียบความจำเป็นในการหุ้มวัสดุประเภทพลาสติกที่หัวเซนเซอร์ที่เหมาะสม

การทดลองนี้เป็นการทดลองเพื่อหาความเหมาะสมของขนาด เซนเซอร์โดยต้องคำนึงถึงความยากง่ายและต้นทุน

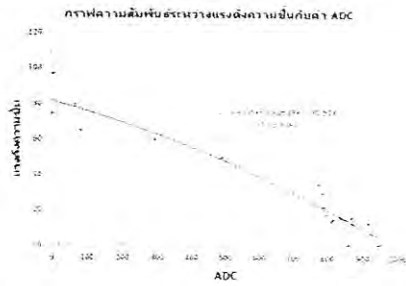
ในผลิตด้วย โดยเก็บค่า ADC หรือค่าความต่างศักย์ ( $V_{out}$ ) ที่ไมโครคอนโทรลเลอร์แปลงค่าจาก analog เป็น digital ซึ่งการทดลองนี้ได้ทำการจำลองสร้าง sensor ขึ้นมาโดยทำการทดลองตัวอย่างที่ไม่หุ้มวัสดุปูนปลาสเตอร์โดยทดลองที่ดินชนิดต่างๆ และเปรียบเทียบกับตัวอย่างที่หุ้มปูนปลาสเตอร์ อีกทั้งยังทดลองถึงอัตราการเร็วในการตรวจจับความชื้นของเซนเซอร์ขนาดต่างๆ และเปรียบเทียบถึงความจำเป็นในการหุ้มตัวอย่างที่เซนเซอร์เพื่อเพิ่มความคงทนแข็งแรงให้กับหัวเซนเซอร์ว่ามีความจำเป็นหรือไม่หากเปรียบเทียบกับปัจจัยอื่นๆ เช่น เวลาในการตรวจจับ

#### 4.2 การทดลองที่ 2 การวัดค่า ADC ซึ่งได้ไมโครคอนโทรลเลอร์แปลงค่าความต่างศักย์จาก analog เป็น digital เพื่อ calibrate ค่ากับค่าความชื้นดินมาตรฐาน

จากการที่ได้สร้างเซ็นเซอร์วัดความชื้นในดินขึ้นใช้เอง โดยอาศัยหลักการทางไฟฟ้า ทำให้ต้องมีการเทียบเคียงค่าของแรงดัน ที่ได้จากเซนเซอร์วัดความชื้นในดินที่สร้างขึ้นเพื่อใช้ในการคำนวณหาค่า ความชื้น โดยทำการสอบเทียบกับวิธีวัดความชื้นในดินแบบมาตรฐาน โดยการทดลองนี้สามารถทำได้โดยการชั่งและคำนวณค่าจากสูตร

$$Pw = \left( \frac{\text{น้ำหนักของดินชื้น} - \text{น้ำหนักของดินแห้ง}}{\text{น้ำหนักของดินแห้ง}} \right) \times 100 \dots (1)$$

จากนั้นทำการแปลงค่าเป็นค่าแรงดันความชื้นโดยใช้โปรแกรม SWAC Fit ซึ่งเป็นโปรแกรมที่จำลองมาจาก BC model, VG model, LN model, DB model, BL model [7-12] โดยทำการทดลองนำเซนเซอร์วัดความชื้นดินที่สร้างขึ้นใส่ในบีกเกอร์ขนาด 250 ml จากนั้นวัดค่า ADC เริ่มต้นและชั่งน้ำหนัก ต่อมานำไปอบที่อุณหภูมิ 105 °c เป็นเวลา 1 ชั่วโมง แล้วนำตัวอย่างมาลดอุณหภูมิจนเท่ากับอุณหภูมิห้องจึงวัดค่าอีกครั้งได้ เก็บค่าอย่างนี้เรื่อยๆ จนกว่าดินจะมีน้ำหนักคงที่หรือมีค่าความชื้นเป็น 0 แล้วนำความสัมพันธ์ของค่าที่ได้ไปสร้างสมการจำลองเพื่อสอบเทียบค่าใช้ในการแปลงค่าของโปรแกรมควบคุมหลักซึ่งสมการที่ได้จากการสอบเทียบค่าโดยการพล็อตดังรูปที่ 11



รูปที่ 11 กราฟแสดงความสัมพันธ์ระหว่างแรงดันความชื้นกับ ADC

รูปสมการคือ

$$y = (-3 \times 10^{-5})x^2 - 0.0529x + \epsilon \quad (1)$$

$$R^2 = 0.9367$$

#### 4.3 การทดลองที่ 3 การทดสอบประสิทธิภาพของระบบกับปัจจัยทางอุณหภูมิและชนิดดินที่อาจมีผลต่อการทำงานของระบบ

**วิธีทดลอง** ทำการเซตค่าความชื้นที่ระดับต่างๆ ตั้งแต่ 0 -100 โดยการใส่เซนเซอร์ที่ทำขึ้นใส่ลงในบีกเกอร์ขนาด 250ml กับดินแล้วเซตให้มีความชื้นสูงจากนั้นนำไปอบเพื่อลดความชื้นที่อุณหภูมิ 105 °c เป็นเวลา 1 ชั่วโมง 30 นาทีที่ตู้อบลมร้อนโดยแต่ละครั้งที่นำไปอบความชื้นจะลดลงครึ่งละประมาณ 2-3 เปอร์เซ็นต์แล้วนำมาวัดอุณหภูมิดินไปพร้อมๆ กับวัดค่า ADC แล้วบันทึกผลการทดลองเป็นระยะๆ ห่างกันครึ่งละ 1 ชั่วโมง 30 นาที จากนั้นนำผลที่ได้มาวิเคราะห์หาความสัมพันธ์ระหว่างอุณหภูมิกับค่า ADC หรือค่าความชื้นที่วัดได้จากเซนเซอร์ที่ทำขึ้นว่ามีการเปลี่ยนแปลงของค่าที่วัดได้ตามอุณหภูมิมากน้อยเพียงใดโดยสามารถวิเคราะห์ได้จากกราฟสรุปผลการทดลองดังรูปที่ 13



รูปที่ 12 ความสัมพันธ์ค่า ADC & temp relation

#### 4.4 การทดลองที่ 4 การทดสอบประสิทธิภาพของระบบกับปัจจัยการส่งสัญญาณในแต่ละระดับความชื้น

การทดลองนี้มีจุดมุ่งหมายเพื่อหาระยะเซนเซอร์ที่แน่นอนและคำนวณหาขนาดพื้นที่ที่ครอบคลุมเซนเซอร์ตัว



นั้นๆ และจำลองสถานที่เพื่อหาจำนวนเซนเซอร์ที่เหมาะสมต่อใช้ในการติดตั้งในพื้นที่จริง โดยทำการทดลองโดยการเซตค่าความชื้นที่บีกเกอร์ 3 ระดับความชื้นวัดอุณหภูมิดินให้อยู่ในระดับเท่าๆกัน จากนั้นให้ผู้ทดลองถือชุดเซนเซอร์พร้อมกับบีกเกอร์ดินที่ระดับความชื้นต่างๆ โดยให้คอนโทรลเลอร์ตัวหลักอยู่ตรงกลางวัดหาระยะสัญญาณแบบสุ่มโดยความชื้นที่แตกต่างก่อนแล้ววัดระยะทางจากคอนโทรลเลอร์ตัวหลักจนถึงเซนเซอร์โดยขนาดพื้นที่ที่ครอบคลุมสามารถหาได้จากสูตร  $Pir^2$  จากระยะตัวหลักนั่นเอง

### 5. สรุปผลการทดลอง

จากการทดลองหาขนาดเซนเซอร์ที่เหมาะสมและการทดลองหุ้มพลาสติกและไม่หุ้มพบว่าการหุ้มพลาสติกจะมีความชื้นคงที่กว่าไม่หุ้มพลาสติกเมื่อเปลี่ยนชนิดของดิน ทั้งนี้เพราะความหนาแน่นของดินที่เปลี่ยนไปทำให้ค่าการนำไฟฟ้าเปลี่ยนไปด้วยดังนั้นการมีวัสดุเช่น ปูนพลาสติกหุ้มย่อมดีกว่าเพราะทำให้การนำไฟฟ้าผ่านวัสดุนั้นมีค่าคงที่ ส่วนขนาดที่เหมาะสมนั้นพบว่าขนาดเส้นผ่านศูนย์กลางทั้งเซนเซอร์มีขนาด 2.5 cm เหมาะสมสุดเนื่องจากเป็นขนาดที่ง่ายต่อการผลิต และเป็นขนาดที่วัดการตอบสนองต่อการวัดมากกว่าขนาดเส้นผ่านศูนย์กลาง 3 cm ขนาดความยาวของแท่นเซนเซอร์พบว่าไม่มีผลต่อการวัดค่าต่างๆแต่หากพิจารณาถึงการใช้งานควรอยู่ระหว่าง 6-7 cm เนื่องจากง่ายต่อการฝังดินขณะใช้ง่ายในเล้าหรือใหญ่จนเกินไป ขนาดลวดที่ใช้มีผลต่อการวัดค่าทางไฟฟ้าคือหากลวดเล็กค่าทางไฟฟ้าที่ออกมาจะน้อยลงดังนั้นหากต้องการการใช้งานอย่างสะดวกและมีอายุตามห้องตลาดนั้นควรเลือกขนาด 2.5 mm เพราะไม่เล็กหรือใหญ่จนเกินไปเหมาะแก่การนำไปใช้การและสามารถส่งสัญญาณไฟฟ้าได้ในระดับหนึ่ง

การทดลองเปรียบเทียบค่าความชื้นกับค่าที่ Microcontroller อ่านได้พบว่าค่าที่ได้มีความสัมพันธ์กันแบบโพสิทีฟในเมื่อยกกำลังสอง ( $R^2 = 0.9367$ ) โดยสูตรความสัมพันธ์ดังกล่าวสามารถนำไปเขียนโปรแกรม calibrate ค่าความชื้นใน Microcontroller ได้

การทดลองทดสอบประสิทธิภาพของระบบกับปัจจัยทางอุณหภูมิและชนิดของดินที่มีผลต่อระบบพบว่าที่อุณหภูมิเปลี่ยนแปลงที่ความชื้นระดับเดียวกันแต่ระดับความชื้นนั้นมีผลแปรตรงกันโดยเมื่ออุณหภูมิสูงขึ้นการนำไฟฟ้าผ่านน้ำจะเป็นไปได้ดีขึ้นทำให้อ่านค่าความชื้นได้มากขึ้นดังนั้นหากนำไปใช้งานจริงอุณหภูมิในพื้นที่ที่ใช้งานไม่ควรจะเกิน  $30 \pm 5$  °C เพราะยังอยู่ในช่วงค่าที่ยอมรับได้เพราะยังมีค่าความผิดพลาดน้อยกว่า 20 % ส่วนการเปลี่ยนแปลงชนิดของดินนั้นไม่มีผลใน

การวัดความชื้นมากนักเพราะดินพลาสติกเป็นตัวกลางให้น้ำซึมผ่านดังนั้นจึงไม่มีผลหากเปลี่ยนชนิดของดินนั่นเอง

การทดสอบระดับสัญญาณในแต่ละระดับความชื้นนั้นพบว่าความชื้นในแต่ละระดับไม่มีผลต่อระยะการส่งสัญญาณ ส่วนการส่งสัญญาณนั้นสำหรับ x-bee Series 1 จากการทดสอบสัญญาณแบบสุ่มพบว่า มีระยะการส่งสัญญาณตั้งแต่ 138 - 88 m ดังนั้นเซนเซอร์ เซนเซอร์ 1 ตัวสามารถครอบคลุมพื้นที่ได้ประมาณ 15 ไร่ ทั้งนี้ต้องพิจารณาจากระบบการส่งน้ำและการใช้งานแต่ละพื้นที่ด้วย

### 6. ข้อเสนอแนะ

สำหรับงานการวิจัยขั้นนี้เป็นงานวิจัยที่ใช้การควบคุมระบบโดยใช้ความชื้นดินอย่างเดียวจึงอาจยังไม่เหมาะกับพืชที่ปลูกในกระถางหรือไม่ใช้ดิน จึงอาจมีการพัฒนาให้มีเมนูตั้งเวลาสูบน้ำ ระบบตรวจสอบความชื้นอากาศ แสง และ อุณหภูมิขณะให้น้ำ อีกทั้งยังต้องหาวิธีลดต้นทุนค่าเซนเซอร์ เพื่อให้เพิ่มจำนวนในการประมงผลได้มากขึ้น เพื่อให้มีความแม่นยำ และสะดวกกับการใช้งานทุกประเภท

### 7. กิตติกรรมประกาศ

คณะผู้จัดทำขอขอบคุณคณะวิศวกรรมศาสตร์ สถาบันเทคโนโลยีพระจอมเกล้าเจ้าคุณทหารลาดกระบังที่ให้การสนับสนุนเงินทุนการศึกษาวิจัย และให้ออกาสจนสามารถทำการวิจัยนี้สำเร็จได้เป็นอย่างดี

### 8. เอกสารอ้างอิง

[1] กลองดี สวิตเซอร์แลนด์/กรุงเทพฯ (2555) “ WWF Living Planet 2012” <http://www.wwf.or.th/?204772/Risingconsumptionincreased-resource-use-by-a-growingpopulationputs-unbearable-pressure-on-our-Planet-WWF-2012-Living-Planet-Report> [2012 June 16 10.00 PM].

[2] สำนักงานสถิติแห่งชาติ “ทิศทางการงานไทย” :[http://service.nso.go.th/nso/nso-publish/citizen/news/news\\_ifsdirect.jsp](http://service.nso.go.th/nso/nso-publish/citizen/news/news_ifsdirect.jsp)[2012 June 16 08.00 PM].

[3] myfirstbrain.com. “พี ช” : [http://www.myfirstbrain.com/student\\_view.aspx?ID=72392](http://www.myfirstbrain.com/student_view.aspx?ID=72392)[2012 June 24 10.00 PM].

เอกสารนี้เป็นเอกสารที่สงวนไว้สำหรับการใช้งานเพื่อการศึกษาเท่านั้น ไม่อนุญาตให้นำไปใช้ประโยชน์ด้านการค้าไม่ว่ากรณีใดๆทั้งสิ้น อีกทั้งห้ามมิให้ตัดแปลงเนื้อหา และต้องอ้างอิงถึงเจ้าของเอกสารทุกครั้งที่มีการนำไปใช้

- [4] NAKHON SAWAN RAJABHAT UNIVERSITY. “ความชื้นของดิน” แหล่งที่มา [http://www.nsruc.ac.th/elearning/soil/lesson\\_4\\_5.php](http://www.nsruc.ac.th/elearning/soil/lesson_4_5.php).
- [5] วินัย กล้าจริง “Design Sprinkle and Drip Irrigation System”. ภาควิชาวิศวกรรมเกษตร คณะวิศวกรรมศาสตร์ สถาบันเทคโนโลยีพระจอมเกล้าเจ้าคุณทหารลาดกระบัง
- [6] เดชฤทธิ์ มณีธรรม และ สำเร็จ เต็มรามคัมภีร์(2548). “ไมโครคอนโทรลเลอร์ MCS-51” พิมพ์ครั้งที่ 1 สำนักพิมพ์เคเคพี
- [7] Brooks, R. H., and Corey, A.T.: Hydraulic properties of porous media. Hydrol. Paper 3. Colorado State Univ., Fort Collins, CO, USA, 1964.
- [8] Durner, W.: Hydraulic conductivity estimation for soils with heterogeneous pore structure. *Water Resour. Res.*, 30(2): 211--223, 1994.
- [9] Kosugi, K.: Lognormal distribution model for unsaturated soil hydraulic properties. *Water Resour. Res.* 32(9), 2697--2703, 1996.
- [10] Nemes, A., M.G. Shaap, F.J. Leij, and J.H.M. Wosten: Description of the unsaturated soilhydraulic database UNSODA version 2.0. *J. Hydrol. (Amsterdam)* 251:151--162, 2001.
- [11] Seki, K. (2007) SWRC fit - a nonlinear fitting program with a water retention curve for soils having unimodal and bimodal pore structure. *Hydrol. Earth Syst. Sci. Discuss.*, 4:407-437.
- [12] van Genuchten, M.T.: A closed-form equation for predicting the hydraulic conductivity of unsaturated soils. *Soil Sci. Soc. Am. J.* 44, 892--898, 1980.

TETA-07

### การพัฒนาเครื่องมือวัดแรงแบบสามแนวแกนสำหรับการต่อพ่วงสามจุดของรถแทรกเตอร์เกษตรขนาดเล็ก

กวี คงมัน, พยุงศักดิ์ จุลยเสน, ศธา วาห์กิจ และ จริญญาศักดิ์ สมพงษ์  
สาขาวิชาวิศวกรรมเกษตร สำนักวิชาวิศวกรรมศาสตร์ มหาวิทยาลัยเทคโนโลยีสุรนารี  
111 ถนนมหาวิทยาลัย อำเภอเมือง จังหวัดนครราชสีมา 30000

ผู้เขียนติดต่อ: กวี คงมัน E-mail: kkhongman@sut.ac.th

#### บทคัดย่อ

เครื่องมือวัดแรงแบบ extended circular ring (ECR) เป็นอุปกรณ์วัดแรงและโมเมนต์ในงานวิจัยทางวิศวกรรมเกษตร เพราะสามารถวัดแรงกระทำในแต่ละแนวแกนได้อย่างอิสระต่อกัน ในงานวิจัยนี้ เครื่องมือวัดแรงแบบ ECR สามแกน ถูกออกแบบให้สามารถวัดแรงกระทำที่จุดต่อพ่วงสามจุดระหว่างรถแทรกเตอร์เกษตรและเครื่องมือเกษตรได้ทั้งสามแนวแกน แรงทั้งสามแนวแกนที่กระทำกับจุดต่อพ่วงสามารถหาได้จากความสัมพันธ์ระหว่างแรงและความเครียดที่เกิดขึ้นในเครื่องมือวัดแรงแบบ ECR สามแกน การกระจายตัวของความเครียดบนเครื่องมือวัดแรงแบบ ECR สามแกน ถูกวิเคราะห์โดยใช้วิธีทางไฟไนต์เอลิเมนต์ เพื่อตรวจสอบความแข็งแรงและหาตำแหน่งที่เหมาะสมในการติดตั้งมาตรวัดความเครียด เครื่องมือวัดแรงแบบ ECR สามแกนสามารถใช้งานกับรถแทรกเตอร์ใน category 1 ซึ่งมีค่าแรงในแนวราบสูงสุดไม่เกิน 20 กิโลนิวตัน มุมที่เหมาะสมในการติดตั้งมาตรวัดความเครียดของการวัดแรงในแนวราบ แรงในแนวตั้ง และแรงในแนวด้านข้าง คือ 58°, 25° และ 25° ตามลำดับ การสอบเทียบเครื่องมือวัดแรงแบบ ECR สามแกน สำหรับการวัดแรงบนแขนบน แขนล่างซ้าย และแขนล่างขวา ถูกทำในห้องปฏิบัติการ ผลการสอบเทียบเครื่องมือวัดแรงแบบ ECR สามแกนทั้งสามตัวมีค่า cross sensitivities สูงสุด 8.35%, 2.74% และ 3.07% ตามลำดับ เครื่องมือวัดแรงแบบ ECR สามแกนสามารถนำไปใช้วัดแรงกระทำที่จุดต่อพ่วงระหว่างรถแทรกเตอร์เกษตรและเครื่องมือเกษตรได้อย่างถูกต้อง

คำสำคัญ: เครื่องมือวัดแรงแบบสามแนวแกน; ไฟไนต์เอลิเมนต์; extended circular ring

เอกสารนี้เป็นเอกสารที่สงวนไว้สำหรับการใช้งานเพื่อการศึกษาเท่านั้น ไม่อนุญาตให้นำไปใช้ประโยชน์ด้านการค้า ไม่ว่าจะกรณีใดๆทั้งสิ้น อีกทั้งห้ามมิให้ตัดแปลงเนื้อหา และต้องอ้างอิงถึงเจ้าของเอกสารทุกครั้งที่มีการนำไปใช้